



**HILTI HIT-HY 200-A V3
HILTI HIT-HY 200-R V3
INJECTION MORTAR
ETA-19/0601 (02.06.2023)**



English	2-54
Deutsch	55-107
Français	108-160
Polski	161-213

Approval body for construction products
and types of construction

Bautechnisches Prüfamt

An institution established by the Federal and
Laender Governments



European Technical Assessment

ETA-19/0601
of 2 June 2023

English translation prepared by DIBt - Original version in German language

General Part

Technical Assessment Body issuing the
European Technical Assessment:

Deutsches Institut für Bautechnik

Trade name of the construction product

Injection System Hilti HIT-HY 200-A V3 and
HIT-HY 200-R V3

Product family
to which the construction product belongs

Bonded fastener and bonded expansion fasteners for use
in concrete

Manufacturer

Hilti Aktiengesellschaft
Feldkircherstrasse 100
9494 SCHAAN
FÜRSTENTUM LIECHTENSTEIN

Manufacturing plant

Hilti Plants

This European Technical Assessment
contains

53 pages including 3 annexes which form an integral part
of this assessment

This European Technical Assessment is
issued in accordance with Regulation (EU)
No 305/2011, on the basis of

EAD 330499-02-0601 Edition 04/2023

This version replaces

ETA-19/0601 issued on 2 December 2021

The European Technical Assessment is issued by the Technical Assessment Body in its official language. Translations of this European Technical Assessment in other languages shall fully correspond to the original issued document and shall be identified as such.

Communication of this European Technical Assessment, including transmission by electronic means, shall be in full. However, partial reproduction may only be made with the written consent of the issuing Technical Assessment Body. Any partial reproduction shall be identified as such.

This European Technical Assessment may be withdrawn by the issuing Technical Assessment Body, in particular pursuant to information by the Commission in accordance with Article 25(3) of Regulation (EU) No 305/2011.

Specific Part

1 Technical description of the product

The injection system Hilti HIT-HY 200-A V3 and HIT-HY 200-R V3 is a bonded fastener consisting of a foil pack with injection mortar Hilti HIT-HY 200-A V3 or HIT-HY 200-R V3 and a steel element according to Annex A.

The steel element is placed into a drilled hole filled with injection mortar and is anchored via the bond between metal part, injection mortar and concrete.

The product description is given in Annex A.

2 Specification of the intended use in accordance with the applicable European Assessment Document

The performances given in Section 3 are only valid if the fastener is used in compliance with the specifications and conditions given in Annex B.

The verifications and assessment methods on which this European Technical Assessment is based lead to the assumption of a working life of the anchor of at least 50 and / or 100 years. The indications given on the working life cannot be interpreted as a guarantee given by the producer, but are to be regarded only as a means for choosing the right products in relation to the expected economically reasonable working life of the works.

3 Performance of the product and references to the methods used for its assessment

3.1 Mechanical resistance and stability (BWR 1)

Essential characteristic	Performance
Characteristic resistance to tension load (static and quasi-static loading)	See Annex C1 to C3, C5 to C6, C8 to C10, C12 to C14, B3 to B7
Characteristic resistance to shear load (static and quasi-static loading)	See Annex C4, C7, C11, C15
Displacements under short-term and long-term loading	See Annex C16 to C19
Characteristic resistance and displacements for seismic performance categories C1 and C2	See Annex C20 to C24

3.2 Safety in case of fire (BWR 2)

Essential characteristic	Performance
Reaction to fire	class A1
Resistance to fire	See Annex C25 to C27

3.3 Hygiene, health and the environment (BWR 3)

Essential characteristic	Performance
Content, emission and/or release of dangerous substances	No performance assessed

English translation prepared by DIBt

4 Assessment and verification of constancy of performance (AVCP) system applied, with reference to its legal base

In accordance with the European Assessment Document EAD 330499-02-0601 the applicable European legal act is: [96/582/EC].

The system to be applied is: 1

5 Technical details necessary for the implementation of the AVCP system, as provided for in the applicable European Assessment Document

Technical details necessary for the implementation of the AVCP system are laid down in the control plan deposited at Deutsches Institut für Bautechnik.

The following standards and documents are referred to in this European Technical Assessment:

- EN 1992-1-1:2004 + AC:2010 Eurocode 2: Design of concrete structures - Part 1-1: General rules and rules for buildings
- EN 1992-4:2018 Eurocode 2: Design of concrete structures - Part 4: Design of fastenings for use in concrete
- EN 1993-1-4:2006 + A1:2015 Eurocode 3: Design of steel structures - Part 1-4: General rules - Supplementary rules for stainless steels
- EN 10088-1:2014 Stainless steels - Part 1: List of stainless steels
- EN 206:2013 + A1:2016 Concrete - Specification, performance, production and conformity
- EN 10204:2004 Metallic products – Types of inspection documents
- DIN 488-1:2009-08 Reinforcing steels – Part 1: Grades, properties, marking
- EOTA TR 055 Design of fastenings based on EAD 330232-00-0601, EAD 330499-00-0601 and EAD 330747-00-0601, Februar 2018
- EOTA TR 082 Design of bonded fasteners in concrete under fire conditions, August 2022

Issued in Berlin on 2 June 2023 by Deutsches Institut für Bautechnik

Dipl.-Ing. Beatrix Wittstock
Head of Section

beglaubigt:
Stiller

Installed condition

Figure A1:

Threaded rod, HAS..., HAS-U..., HIT-V-... and AM 8.8

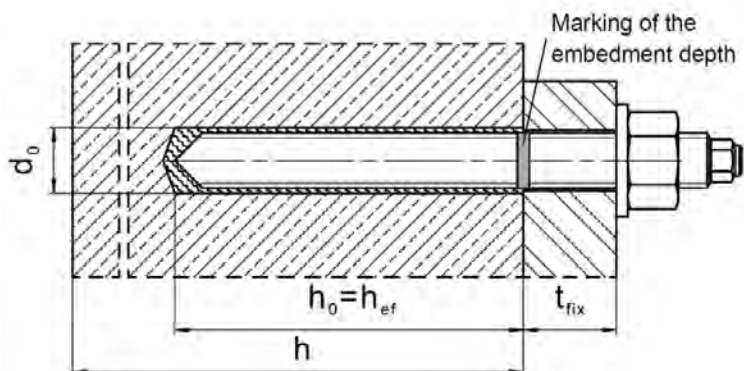


Figure A2:

Threaded rod, HAS..., HAS-U..., HIT-V-... and AM 8.8 with Hilti Filling Set

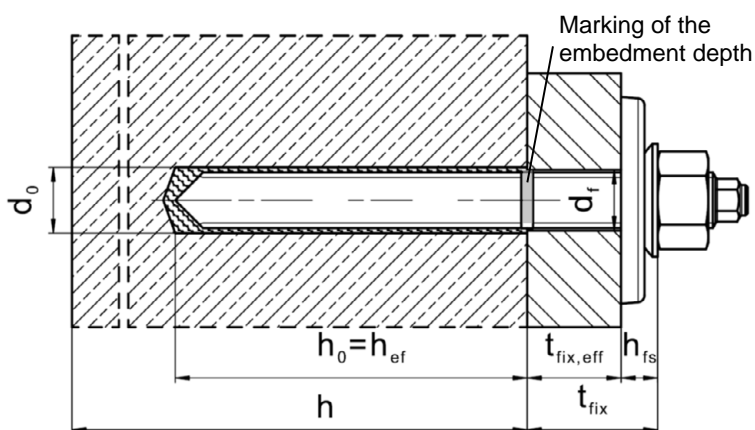
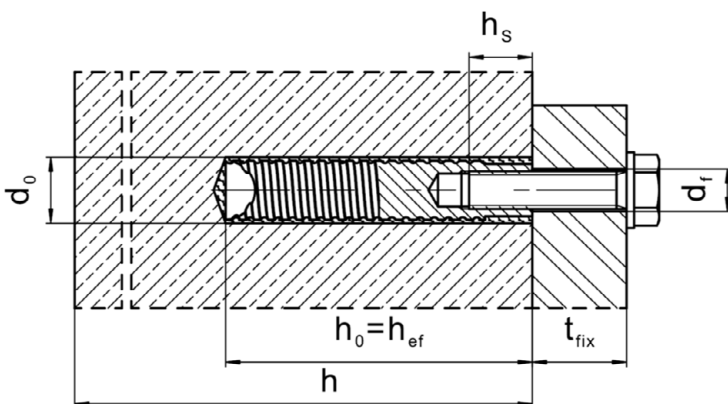


Figure A3:

Internally threaded sleeve HIS-(R)N



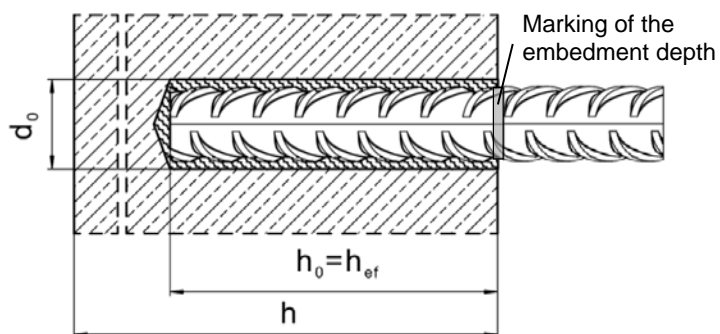
Injection System Hilti HIT-HY 200-A V3 and HIT-HY 200-R V3

Product description
Installed condition

Annex A1

Installed condition

Figure A4:
Reinforcing bar



Injection System Hilti HIT-HY 200-A V3 and HIT-HY 200-R V3

Product description
Installed condition

Annex A2

Product description: Injection mortar

Injection mortar Hilti HIT-HY 200-A V3 and HIT-HY 200-R V3: hybrid system with aggregate 330 ml and 500 ml

Marking:
HILTI HIT
HY 200-A V3
Production time and production line
Expiry date mm/yyyy



Product name: "Hilti HIT-HY 200-A V3"

Marking:
HILTI HIT
HY 200-R V3
Production time and
production line
Expiry date mm/yyyy



Product name: "Hilti HIT-HY 200-R V3"

Static mixer Hilti HIT-RE-M

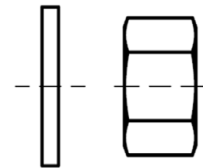
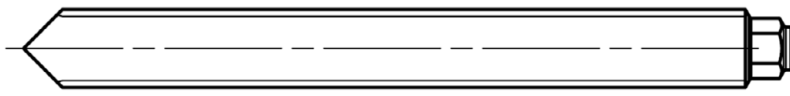


Injection System Hilti HIT-HY 200-A V3 and HIT-HY 200-R V3

Product description
Injection mortar / Static mixer

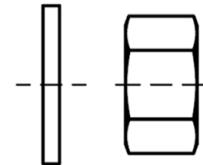
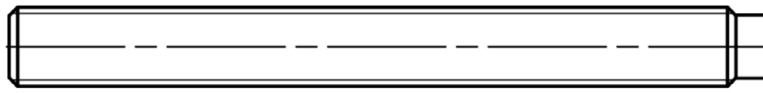
Annex A3

Steel elements



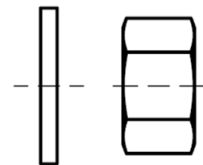
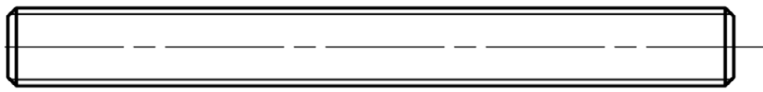
HAS-U-...: M8 to M30

washer nut



HIT-V-...: M8 to M30

washer nut



HAS...: M8 to M30

Threaded rod: M8 to M30

Hilti AM 8.8 meter rod electroplated zinc coated: M8 to M30, 1m to 3m

Hilti AM HDG 8.8 meter rod hot dip galvanized: M8 to M30, 1m to 3m

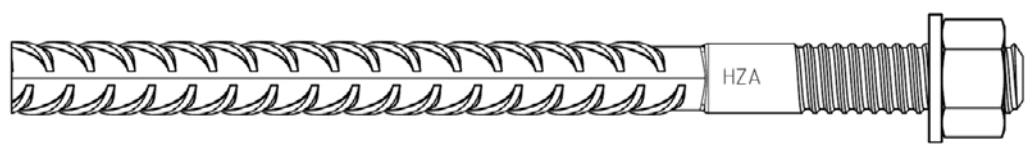
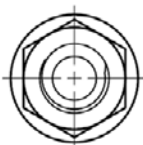
washer nut

Commercial standard threaded rod:

- Materials and mechanical properties according to Table A1.
- Inspection certificate 3.1 according to EN 10204. The document shall be stored.
- Marking of embedment depth.



Internally threaded sleeve: HIS-(R)N M8 to M20



Hilti Tension Anchor: HZA M12 to M27 and HZA-R M12 to M24



Reinforcing bar (rebar): ϕ 8 to ϕ 32

- Materials and mechanical properties according to Table A1
- Dimensions according to Annex B7

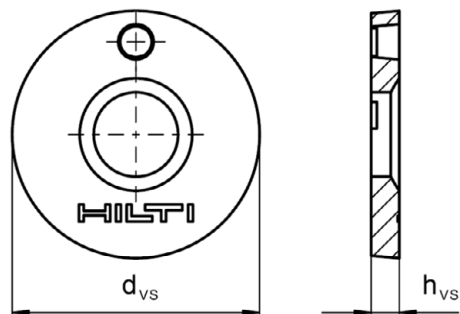
Injection System Hilti HIT-HY 200-A V3 and HIT-HY 200-R V3

Product description
Steel elements

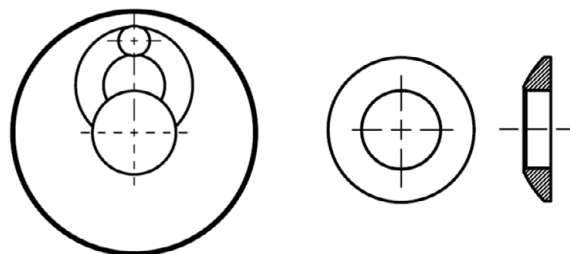
Annex A4

Hilti Filling Set to fill the annular gap between steel element and fixture

Sealing washer



Spherical washer



Hilti Filling Set		M10	M12	M16	M20	M24
Diameter of sealing washer	d_{vs} [mm]	42	44	52	60	70
Thickness of sealing washer	h_{vs} [mm]	5	5	6	6	6
Thickness of Hilti Filling Set	h_{fs} [mm]	9	10	11	13	15

Injection System Hilti HIT-HY 200-A V3 and HIT-HY 200-R V3

Product description
Hilti Filling Set

Annex A5

Table A1: Materials

Designation	Material
Reinforcing bars (rebars)	
Rebar EN 1992-1-1, Annex C	Bars and de-coiled rods class B or C with f_{yk} and k according to NDP or NCI of EN 1992-1-1/NA $f_{uk} = f_{tk} = k \cdot f_{yk}$
Steel elements made of zinc coated steel	
HAS 5.8 (HDG), HAS-U 5.8 (HDG), HIT-V 5.8(F), Threaded rod 5.8	Strength class 5.8, $f_{uk} = 500 \text{ N/mm}^2$, $f_{yk} = 400 \text{ N/mm}^2$, Elongation at fracture ($l_0=5d$) > 8% ductile Electroplated zinc coated $\geq 5 \mu\text{m}$, (F) or (HDG) hot dip galvanized $\geq 50 \mu\text{m}$
Threaded rod 6.8	Strength class 6.8, $f_{uk} = 600 \text{ N/mm}^2$, $f_{yk} = 480 \text{ N/mm}^2$, Elongation at fracture ($l_0=5d$) > 8% ductile Electroplated zinc coated $\geq 5 \mu\text{m}$ or hot dip galvanized $\geq 50 \mu\text{m}$
HAS 8.8 (HDG), HAS-U 8.8 (HDG), HIT-V 8.8 (F), Threaded rod 8.8	Strength class 8.8, $f_{uk} = 800 \text{ N/mm}^2$, $f_{yk} = 640 \text{ N/mm}^2$, Elongation at fracture ($l_0=5d$) > 12% ductile Electroplated zinc coated $\geq 5 \mu\text{m}$, (F) or (HDG) hot dip galvanized $\geq 50 \mu\text{m}$
Hilti Meter rod AM 8.8 (HDG)	Strength class 8.8, $f_{uk} = 800 \text{ N/mm}^2$, $f_{yk} = 640 \text{ N/mm}^2$ Elongation at fracture ($l_0 = 5d$) > 12% ductile, Electroplated zinc coated $\geq 5 \mu\text{m}$, (F) hot dip galvanized $\geq 50 \mu\text{m}$
Hilti tension anchor HZA	Round steel with threaded part: electroplated zinc coated $\geq 5 \mu\text{m}$ Rebar: Bars class B according to NDP or NCI of EN 1992-1-1/NA
Internally threaded sleeve HIS-N	Electroplated zinc coated $\geq 5 \mu\text{m}$
Washer	Electroplated zinc coated $\geq 5 \mu\text{m}$, hot dip galvanized $\geq 50 \mu\text{m}$
Nut	Strength class of nut adapted to strength class of threaded rod Electroplated zinc coated $\geq 5 \mu\text{m}$, (F) hot dip galvanized $\geq 50 \mu\text{m}$
Hilti Filling Set (F)	Filling washer: Electroplated zinc coated $\geq 5 \mu\text{m}$, (F) hot dip galvanized $\geq 50 \mu\text{m}$ Spherical washer: Electroplated zinc coated $\geq 5 \mu\text{m}$, (F) hot dip galvanized $\geq 50 \mu\text{m}$ Lock nut: Electroplated zinc coated $\geq 5 \mu\text{m}$, (F) Electroplated zinc-nickel coated $\geq 6 \mu\text{m}$

Injection System Hilti HIT-HY 200-A V3 and HIT-HY 200-R V3

Product description
Materials

Annex A6

Table A1: continued

Steel elements made of stainless steel corrosion resistance class (CRC) II according EN 1993-1-4	
Threaded rod	For \leq M24: strength class 70, $f_{uk} = 700$ N/mm ² , $f_{yk} = 450$ N/mm ² ; For $>$ M24: strength class 50, $f_{uk} = 500$ N/mm ² , $f_{yk} = 210$ N/mm ² ; Elongation at fracture ($l_0=5d$) $>$ 12% ductile Stainless steel 1.4301, 1.4307, 1.4311, 1.4541, 1.4306, 1.4567 EN 10088-1
Washer	Stainless steel 1.4301, 1.4307, 1.4311, 1.4541, 1.4306, 1.4567 EN 10088-1
Nut	For \leq M24: strength class 70, $f_{uk} = 700$ N/mm ² , $f_{yk} = 450$ N/mm ² ; For $>$ M24: strength class 50, $f_{uk} = 500$ N/mm ² , $f_{yk} = 210$ N/mm ² ; Stainless steel 1.4301, 1.4307, 1.4311, 1.4541, 1.4306, 1.4567 EN 10088-1
Steel elements made of stainless steel corrosion resistance class (CRC) III according EN 1993-1-4	
HAS A4, HAS-U A4, HIT-V-R	For \leq M24: strength class 70, $f_{uk} = 700$ N/mm ² , $f_{yk} = 450$ N/mm ² ; For $>$ M24: strength class 50, $f_{uk} = 500$ N/mm ² , $f_{yk} = 210$ N/mm ² ; Elongation at fracture ($l_0=5d$) $>$ 12% ductile
Threaded rod	For \leq M24: strength class 70, $f_{uk} = 700$ N/mm ² , $f_{yk} = 450$ N/mm ² ; For $>$ M24: strength class 50, $f_{uk} = 500$ N/mm ² , $f_{yk} = 210$ N/mm ² ; Elongation at fracture ($l_0=5d$) $>$ 12% ductile Stainless steel 1.4401, 1.4404, 1.4578, 1.4571, 1.4439, 1.4362 EN 10088-1
Hilti tension anchor HZA-R	Round steel with threaded part: Stainless steel 1.4404, 1.4362, 1.4571 EN 10088-1 Rebar: Bars class B according to NDP or NCI of EN 1992-1-1/NA
Internally threaded sleeve HIS-RN	Stainless steel 1.4401, 1.4571 EN 10088-1
Washer	Stainless steel 1.4401, 1.4404, 1.4578, 1.4571, 1.4439, 1.4362 EN 10088-1
Nut	For \leq M24: strength class 70, $f_{uk} = 700$ N/mm ² , $f_{yk} = 450$ N/mm ² ; For $>$ M24: strength class 50, $f_{uk} = 500$ N/mm ² , $f_{yk} = 210$ N/mm ² ; Stainless steel 1.4401, 1.4404, 1.4578, 1.4571, 1.4439, 1.4362 EN 10088-1
Hilti Filling Set A4	Filling washer: Stainless steel according to EN 10088-1 Spherical washer: Stainless steel according to EN 10088-1 Lock nut: Stainless steel according to EN 10088-1
Steel elements made of high corrosion resistant steel corrosion resistance class (CRC) V according EN 1993-1-4	
HAS-U HCR, HIT-V-HCR	For \leq M20: $f_{uk} = 800$ N/mm ² , $f_{yk} = 640$ N/mm ² ; For $>$ M20: $f_{uk} = 700$ N/mm ² , $f_{yk} = 400$ N/mm ² ; Elongation at fracture ($l_0=5d$) $>$ 12% ductile
Threaded rod	For \leq M20: $f_{uk} = 800$ N/mm ² , $f_{yk} = 640$ N/mm ² ; For $>$ M20: $f_{uk} = 700$ N/mm ² , $f_{yk} = 400$ N/mm ² ; Elongation at fracture ($l_0=5d$) $>$ 12% ductile High corrosion resistant steel 1.4529, 1.4565 EN 10088-1
Washer	High corrosion resistant steel 1.4529, 1.4565 EN 10088-1
Nut	For \leq M20: $f_{uk} = 800$ N/mm ² , $f_{yk} = 640$ N/mm ² ; For $>$ M20: $f_{uk} = 700$ N/mm ² , $f_{yk} = 400$ N/mm ² ; High corrosion resistant steel 1.4529, 1.4565 EN 10088-1

Injection System Hilti HIT-HY 200-A V3 and HIT-HY 200-R V3

Product description
Materials

Annex A7

Specifications of intended use

Anchorage subject to:

- Static and quasi static loading.
- Seismic performance category C1 and C2 (see Table B1).
- Fire exposure: threaded rod size M8 to M30

Base material:

- Compacted reinforced or unreinforced normal weight concrete without fibres according to EN 206.
- Strength classes C20/25 to C50/60 according to EN 206.
- Cracked and uncracked concrete.

Temperature in the base material:

- **at installation**

-10 °C to +40 °C for the standard variation of temperature after installation

- **in-service**

Temperature range I: -40 °C to +40 °C

(max. long term temperature +24 °C and max. short term temperature +40 °C)

Temperature range II: -40 °C to +80 °C

(max. long term temperature +50 °C and max. short term temperature +80 °C)

Temperature range III: -40 °C to +120 °C









(max. long term temperature +72 °C and max. short term temperature +120 °C)

Injection System Hilti HIT-HY 200-A V3 and HIT-HY 200-R V3

Intended Use
Specifications

Annex B1

Table B1: Specifications of intended use

Steel elements	HIT-HY 200-A V3 and HIT-HY 200-R V3 with ...			
	Threaded rods according to Annex A 	Rebar 	HZA(-R) 	HIS-(R)N 
Hammer drilling with hollow drill bit TE-CD or TE-YD 	✓	✓	✓	✓
Hammer drilling 	✓	✓	✓	✓
Diamond drilling with roughening tool TE-YRT  	✓	✓	✓	✓
Installation in waterfilled hole	✓	✓	✓	- ¹⁾
Static and quasi static loading in uncracked concrete	M8 to M30	φ 8 to φ 32	M12 to M27	M8 to M20
Static and quasi static loading in cracked concrete	M8 to M30	φ 10 to φ 32	M12 to M27	M8 to M20
Seismic performance category C1	M10 to M30	φ 10 to φ 32	M12 to M27	- ¹⁾
Seismic performance category C2	M12 to M24, HAS (8.8, -8.8 HDG, A4) HAS-U (8.8, 8.8 HDG, A4, HCR) HIT-V- (8.8, 8.8 F, R, HCR), AM (8.8, 8.8 HDG) Threaded rod (electroplated zinc coated 8.8 and CRC III, V, Table A1)	- ¹⁾	- ¹⁾	- ¹⁾
Working life 50 or 100 years	50 and 100	50 and 100	50 and 100	50
Exposure under fire	Elements made of zinc coated steel and stainless steel CRC III and CRC V see Table A1	- ¹⁾	- ¹⁾	- ¹⁾

¹⁾ No performance assessed.

Injection System Hilti HIT-HY 200-A V3 and HIT-HY 200-R V3

Intended Use Specifications

Annex B2

Use conditions (Environmental conditions):

- Structures subject to dry internal conditions (all materials).
- For all other conditions according EN 1993-1-4 corresponding to corrosion resistance classes Table A1 (stainless steels).

Design:

- Fastenings are designed under the responsibility of an engineer experienced in fastenings and concrete work.
- Verifiable calculation notes and drawings are prepared taking account of the loads to be fastened. The position of the fastener is indicated on the design drawings (e. g. position of the fastener relative to reinforcement or to supports, etc.).
- The anchorages are designed in accordance with: EN 1992-4 and EOTA Technical Report TR 055.
- Design under fire exposure in accordance with: EOTA Technical Report TR 082.

Installation:

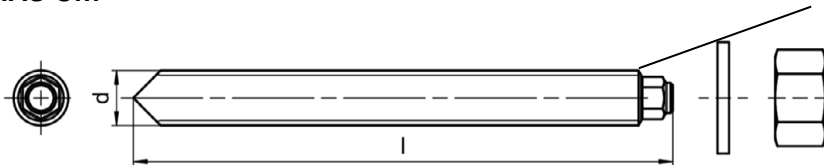
- Concrete condition I1: Installation in dry or wet (water saturated) concrete and use in service in dry or wet concrete for all drilling techniques
- Concrete condition I2: Installation in water-filled drill holes (not sea water) and use in service in dry or wet concrete for hammer drilling and hammer drilling with Hilti hollow drill bit TE-CD, TE-YD
- Drilling technique:
 - Hammer drilling,
 - Hammer drilling with Hilti hollow drill bit TE-CD, TE-YD,
 - Diamond coring with roughening with Hilti roughening tool TE-YRT.
- Installation direction D3: downward, horizontal and upward (e.g. overhead) installation admissible for all elements.
- Fastener installation carried out by appropriately qualified personnel and under the supervision of the person responsible for technical matters of the site.

Injection System Hilti HIT-HY 200-A V3 and HIT-HY 200-R V3	
Intended Use Specifications	Annex B3

Table B2: Installation parameters of threaded rods according to Annex A

Threaded rods according to Annex A			M8	M10	M12	M16	M20	M24	M27	M30
Diameter of element	d	[mm]	8	10	12	16	20	24	27	30
Nominal diameter of drill bit	d ₀	[mm]	10	12	14	18	22	28	30	35
Effective embedment depth and drill hole depth	h _{ef} = h ₀	[mm]	60 to 160	60 to 200	70 to 240	80 to 320	90 to 400	96 to 480	108 to 540	120 to 600
Maximum diameter of clearance hole in the fixture	d _f	[mm]	9	12	14	18	22	26	30	33
Thickness of Hilti Filling Set	h _{fs}	[mm]	-	9	10	11	13	15	-	-
Effective fixture thickness with Hilti Filling Set	t _{fix,eff}	[mm]	$t_{fix,eff} = t_{fix} - h_{fs}$							
Minimum thickness of concrete member	h _{min}	[mm]	$h_{ef} + 30$ ≥ 100 mm			$h_{ef} + 2 \cdot d_0$				
Maximum installation torque	max T _{inst}	[Nm]	10	20	40	80	150	200	270	300
Minimum spacing	s _{min}	[mm]	40	50	60	75	90	115	120	140
Minimum edge distance	c _{min}	[mm]	40	45	45	50	55	60	75	80

HAS-U...



Marking:

Steel grade number and length identification letter: e.g. 8L

HAS..., HIT-V-...



HIT-V Marking:

5.8 - l = HIT-V-5.8 M...x l
 5.8F - l = HIT-V-5.8F M...x l
 8.8 - l = HIT-V-8.8 M...x l
 8.8F - l = HIT-V-8.8F M...x l
 R - l = HIT-V-R M...x l
 HCR - l = HIT-V-HCR M...x l

Hilti meter rod AM (HDG) 8.8



HAS Color code marking:

5.8 = RAL 5010 (blue)
 8.8 = RAL 1023 (yellow)
 A4 = RAL 3000 (red)

Injection System Hilti HIT-HY 200-A V3 and HIT-HY 200-R V3

Intended Use

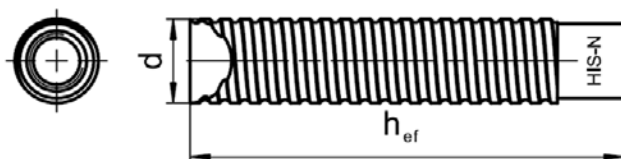
Installation parameters of threaded rod, HAS..., HAS-U..., HIT-V-... and AM 8.8

Annex B4

Table B3: Installation parameters of internally threaded sleeve HIS-(R)N

Internally threaded sleeve HIS-(R)N...			M8	M10	M12	M16	M20
Outer diameter of sleeve	d	[mm]	12,5	16,5	20,5	25,4	27,6
Nominal diameter of drill bit	d ₀	[mm]	14	18	22	28	32
Effective embedment depth and drill hole depth	h _{ef} = h ₀	[mm]	90	110	125	170	205
Maximum diameter of clearance hole in the fixture	d _f	[mm]	9	12	14	18	22
Minimum thickness of concrete member	h _{min}	[mm]	120	150	170	230	270
Maximum installation torque	max T _{inst}	[Nm]	10	20	40	80	150
Thread engagement length min-max	h _s	[mm]	8-20	10-25	12-30	16-40	20-50
Minimum spacing	s _{min}	[mm]	60	75	90	115	130
Minimum edge distance	c _{min}	[mm]	40	45	55	65	90

Internally threaded sleeve HIS-(R)N...



Marking:

Identifying mark - HILTI and embossing "HIS-N" (for C-steel)
embossing "HIS-RN" (for stainless steel)

Injection System Hilti HIT-HY 200-A V3 and HIT-HY 200-R V3

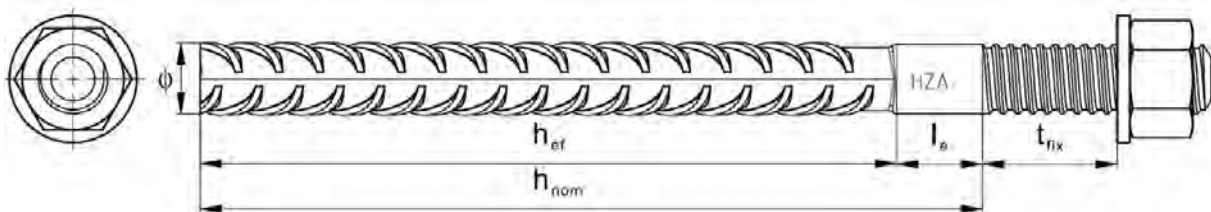
Intended Use

Installation parameters of internally threaded sleeve HIS-(R)N

Annex B5

Table B4: Installation parameters of Hilti tension anchor HZA and HZA-R

Hilti tension anchor HZA		M12	M16	M20	M24	M27
Hilti tension anchor HZA-R		M12	M16	M20	M24	-
Rebar diameter	ϕ [mm]	12	16	20	25	28
Nominal embedment depth and drill hole depth HZA	$h_{nom} = h_0$ [mm]	90 to 240	100 to 320	110 to 400	120 to 500	140 to 560
Nominal embedment depth and drill hole depth HZA-R	$h_{nom} = h_0$ [mm]	170 to 240	180 to 320	190 to 400	200 to 500	-
Effective embedment depth ($h_{ef} = h_{nom} - l_e$) HZA	h_{ef} [mm]	$h_{nom} - 20$				
Effective embedment depth ($h_{ef} = h_{nom} - l_e$) HZA-R	h_{ef} [mm]	$h_{nom} - 100$				
Length of smooth shaft HZA	l_e [mm]	20				
Length of smooth shaft HZA-R	l_e [mm]	100				
Nominal diameter of drill bit	d_0 [mm]	16	20	25	32	35
Maximum diameter of clearance hole in the fixture	d_f [mm]	14	18	22	26	30
Thickness of Hilti Filling Set	h_{fs} [mm]	10	11	13	15	-
Effective fixture thickness with Hilti Filling Set	$t_{fix,eff}$ [mm]	$t_{fix,eff} = t_{fix} - h_{fs}$				
Maximum installation torque	$\max T_{inst}$ [Nm]	40	80	150	200	270
Minimum thickness of concrete member	h_{min} [mm]	$h_{nom} + 2 \cdot d_0$				
Minimum spacing	s_{min} [mm]	65	80	100	130	140
Minimum edge distance	c_{min} [mm]	45	50	55	60	75



Marking:
embossing "HZA(-R)" M .. / t_{fix}

Injection System Hilti HIT-HY 200-A V3 and HIT-HY 200-R V3

Intended Use
Installation parameters of Hilti tension anchor HZA and HZA-R

Annex B6

Table B5: Installation parameters of reinforcing bar

Reinforcing bar (rebar)	ϕ 8	ϕ 10	ϕ 12	ϕ 14	ϕ 16	ϕ 20	ϕ 25	ϕ 26	ϕ 28	ϕ 30	ϕ 32
Diameter ϕ [mm]	8	10	12	14	16	20	25	26	28	30	32
Effective embedment depth and drill hole depth $h_{ef} = h_0$ [mm]	60 to 160	60 to 200	70 to 240	75 to 280	80 to 320	90 to 400	100 to 500	104 to 520	112 to 560	120 to 600	128 to 640
Nominal diameter of drill bit d_0 [mm]	10 / 12 ¹⁾	12 / 14 ¹⁾	14 ¹⁾ / 16 ¹⁾	18	20	25	32	32	35	37	40
Minimum thickness of concrete member h_{min} [mm]	$h_{ef} + 30$ ≥ 100 mm			$h_{ef} + 2 \cdot d_0$							
Minimum spacing s_{min} [mm]	40	50	60	70	80	100	125	130	140	150	160
Minimum edge distance c_{min} [mm]	40	45	45	50	50	65	70	75	75	80	80

¹⁾ Each of the two given values can be used.

Reinforcing bar



For rebar bolt

- Minimum value of related rib area $f_{R,min}$ according to EN 1992-1-1
- Rib height of the bar h_{rib} shall be in the range $0,05 \cdot \phi \leq h_{rib} \leq 0,07 \cdot \phi$
(ϕ : Nominal diameter of the bar; h_{rib} : Rib height of the bar)

Injection System Hilti HIT-HY 200-A V3 and HIT-HY 200-R V3

Intended Use
Installation parameters of reinforcing bar (rebar)

Annex B7

Table B6: Maximum working time and minimum curing time

Temperature in the base material T ¹⁾	HIT-HY 200-A V3		HIT-HY 200-R V3	
	Maximum working time t _{work}	Minimum curing time t _{cure}	Maximum working time t _{work}	Minimum curing time t _{cure}
-10 °C to -5 °C	1,5 hours	7 hours	3 hours	20 hours
> -5 °C to 0 °C	50 min	4 hours	1,5 hours	8 hours
> 0 °C to 5 °C	25 min	2 hours	45 min	4 hours
>5 °C to 10 °C	15 min	75 min	30 min	2,5 hours
>10 °C to 20 °C	7 min	45 min	15 min	1,5 hours
>20 °C to 30 °C	4 min	30 min	9 min	1 hours
>30 °C to 40 °C	3 min	30 min	6 min	1 hours











¹⁾ The minimum foil pack temperature is 0 °C.

Injection System Hilti HIT-HY 200-A V3 and HIT-HY 200-R V3

Intended Use
Maximum working time and minimum curing time

Annex B8

Table B7: Parameters of drilling, cleaning and setting tools

Steel elements				Drill and clean				Installation	
Threaded rods (Annex A)	HIS-(R)N	Rebar	HZA(-R)	Hammer drilling		Diamond coring		Brush	Piston plug
					Hollow drill bit ¹⁾		Roughening tool		
Size	size	size	size	d ₀ [mm]	d ₀ [mm]	d ₀ [mm]	d ₀ [mm]	HIT-RB	HIT-SZ
									
M8	-	φ8	-	10	-	-	-	10	-
M10	-	φ8 / φ10	-	12	12	-	-	12	12
M12	M8	φ10 / φ12	-	14	14	-	-	14	14
-	-	φ12	M12	16	16	-	-	16	16
M16	M10	φ14	-	18	18	18	18	18	18
-	-	φ16	M16	20	20	20	20	20	20
M20	M12	-	-	22	22	22	22	22	22
-	-	φ20	M20	25	25	25	25	25	25
M24	M16	-	-	28	28	28	28	28	28
M27	-	-	-	30	-	30	30	30	30
-	M20	φ25 / φ26	M24	32	32	32	32	32	32
M30	-	φ28	M27	35	35	35	35	35	35
-	-	φ30	-	37	-	-	-	37	37
-	-	φ32	-	40	-	-	-	40	40

¹⁾ With vacuum cleaner Hilti VC 10/20/40 (automatic filter cleaning activated, eco mode off) or a vacuum cleaner providing equivalent cleaning performance in combination with the specified Hilti hollow drill bit TE-CD or TE-YD.

Cleaning alternatives

Manual Cleaning (MC):

Hilti hand pump for blowing out drill holes with diameters $d_0 \leq 20$ mm and drill hole depths $h_0 \leq 10 \cdot d_0$.



Compressed air cleaning (CAC):

Air nozzle with an orifice opening of minimum 3,5 mm in diameter.



Automatic Cleaning (AC):

Cleaning is performed during drilling with Hilti TE-CD and TE-YD drilling system including vacuum cleaner.



Injection System Hilti HIT-HY 200-A V3 and HIT-HY 200-R V3

Intended Use

Parameters of drilling, cleaning and setting tools
Cleaning alternatives

Annex B9

Table B8: Hilti roughening tool TE-YRT – tool parameters




Associated components			
Diamond coring		Roughening tool TE-YRT	Wear gauge RTG...
			
d ₀ [mm]		d ₀ [mm]	size
nominal	measured		
18	17,9 to 18,2	18	18
20	19,9 to 20,2	20	20
22	21,9 to 22,2	22	22
25	24,9 to 25,2	25	25
28	27,9 to 28,2	28	28
30	29,9 to 30,2	30	30
32	31,9 to 32,2	32	32
35	34,9 to 35,2	35	35

Table B9: Hilti roughening tool TE-YRT – roughening and blowing times

	Roughening time t _{roughen}	Minimum blowing time t _{blowing}
h _{ef} [mm]	t _{roughen} [sec] = h _{ef} [mm] / 10	t _{blowing} [sec] = t _{roughen} [sec] + 20
0 to 100	10	30
101 to 200	20	40
201 to 300	30	50
301 to 400	40	60
401 to 500	50	70
501 to 600	60	80

Hilti roughening tool TE-YRT and wear gauge RTG


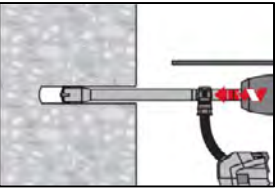
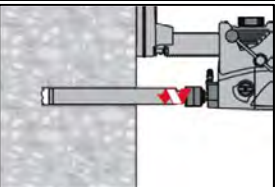
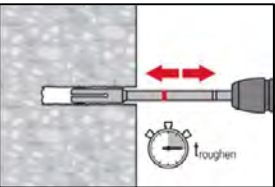
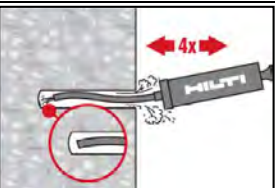
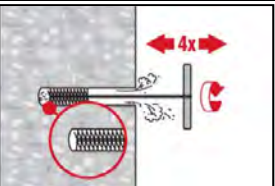
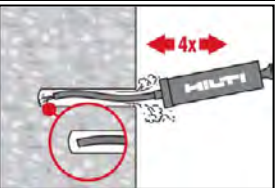
Hilti roughening tool TE-YRT	
Wear gauge RTG	

Injection System Hilti HIT-HY 200-A V3 and HIT-HY 200-R V3

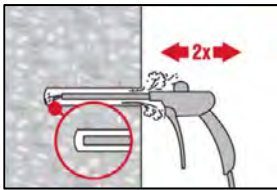
Intended Use
Parameters for use of the Hilti Roughening tool TE-YRT

Annex B10

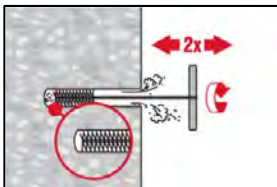
English translation prepared by DIBt

Installation instruction	
Hole drilling	
a) Hammer drilling	
	Drill hole to the required embedment depth with a hammer drill set in rotation-hammer mode using an appropriately sized carbide drill bit.
b) Hammer drilling with Hilti hollow drill bit	
	Drill hole to the required embedment depth with an appropriately sized Hilti TE-CD or TE-YD hollow drill bit with vacuum attachment following the requirements given in Table B7. This drilling system removes the dust and cleans the drill hole during drilling when used in accordance with the user's manual. After drilling is completed, proceed to the "injection preparation" step in the installation instruction.
c) Diamond coring with roughening with Hilti roughening tool TE-YRT:	
	Diamond coring is permissible when suitable diamond core drilling machines and the corresponding core bits are used. For the use in combination with Hilti roughening tool TE-YRT see parameters in Table B8.
	Before roughening water needs to be removed from the drill hole. Check usability of the roughening tool with the wear gauge RTG. Roughen the drill hole over the whole length to the required h_{ef} . Roughening time $t_{roughen}$ see Table B9.
Drill hole cleaning	Just before injection of the mortar, the drill hole must be free of dust and debris. Inadequate hole cleaning = poor load values.
Manual Cleaning (MC) Uncracked concrete only. For drill hole diameters $d_0 \leq 20$ mm and drill hole depths $h_0 \leq 10 \cdot d$.	
	The Hilti hand pump may be used for blowing out drill holes up to diameters $d_0 \leq 20$ mm and drill hole depths $h_0 \leq 10 \cdot d$. Blow out at least 4 times from the back of the drill hole until return air stream is free of noticeable dust.
	Brush 4 times with the specified brush (see Table B7) by inserting the steel brush Hilti HIT-RB to the back of the hole (if needed with extension) in a twisting motion and removing it. The brush must produce natural resistance as it enters the drill hole (brush $\varnothing \geq$ drill hole \varnothing) - if not the brush is too small and must be replaced with the proper brush diameter.
	Blow out again with the Hilti hand pump at least 4 times until return air stream is free of noticeable dust.
Injection System Hilti HIT-HY 200-A V3 and HIT-HY 200-R V3	
Intended Use Installation instructions	Annex B11

Compressed air cleaning (CAC) for all drill hole diameters d_0 and all drill hole depths h_0



Blow 2 times from the back of the hole (if needed with nozzle extension) over the whole length with oil-free compressed air (min. 6 bar at 6 m³/h) until return air stream is free of noticeable dust.
For drill hole diameters ≥ 32 mm the compressor has to supply a minimum air flow of 140 m³/h.

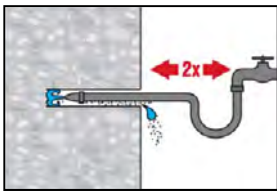


Brush 2 times with the specified brush (see Table B7) by inserting the steel brush Hilti HIT-RB to the back of the hole (if needed with extension) in a twisting motion and removing it. The brush must produce natural resistance as it enters the drill hole (brush $\varnothing \geq$ drill hole \varnothing) - if not the brush is too small and must be replaced with the proper brush diameter.

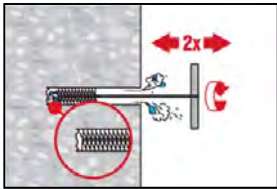


Blow again with compressed air 2 times until return air stream is free of noticeable dust.

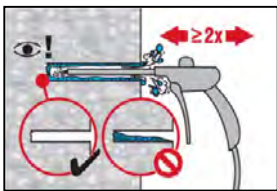
Cleaning of diamond cored holes with roughening with Hilti roughening tool TE-YRT.



Flush 2 times by inserting a water hose (water-line pressure) to the back of the hole until water runs clear.



Brush 2 times with the specified brush (see Table B7) by inserting the steel brush Hilti HIT-RB to the back of the hole (if needed with extension) in a twisting motion and removing it. The brush must produce natural resistance as it enters the drill hole (brush $\varnothing \geq$ drill hole \varnothing) - if not the brush is too small and must be replaced with the proper brush diameter.



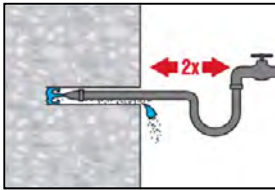
Blow 2 times from the back of the hole (if needed with nozzle extension) over the whole length with oil-free compressed air (min. 6 bar at 6 m³/h) until return air stream is free of noticeable dust and water. Remove all water from the drillhole until drillhole is completely dried before mortar injection ($t_{blowing}$ see Table B9). For drill hole diameters ≥ 32 mm the compressor has to supply a minimum air flow of 140 m³/h.

Injection System Hilti HIT-HY 200-A V3 and HIT-HY 200-R V3

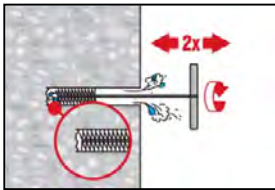
Intended Use
Installation instructions

Annex B12

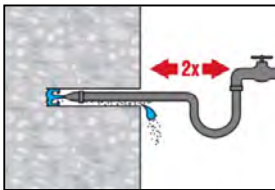
Cleaning and water removal of water-filled drill holes drilled with hammer drilling and hammer drilling with Hilti hollow drill bit: For all drill hole diameters d_0 and all drill hole depths h_0 .



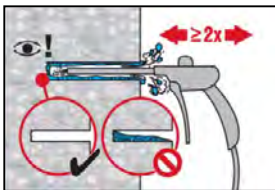
Flush 2 times by inserting a water hose (water-line pressure) to the back of the hole until water runs clear.



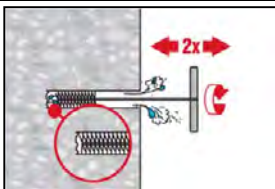
Brush 2 times with the specified brush (see Table B7) by inserting the steel brush Hilti HIT-RB to the back of the hole (if needed with extension) in a twisting motion and removing it.
The brush must produce natural resistance as it enters the drill hole (brush $\varnothing \geq$ drill hole \varnothing) - if not the brush is too small and must be replaced with the proper brush diameter.



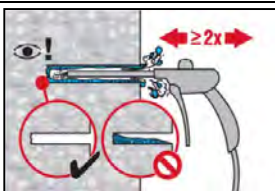
Flush 2 times by inserting a water hose (water-line pressure) to the back of the hole until water runs clear.



Blow 2 times from the back of the hole (if needed with nozzle extension) over the whole length with oil-free compressed air (min. 6 bar at 6 m³/h) until return air stream is free of noticeable dust and water.
For drill hole diameters ≥ 32 mm the compressor has to supply a minimum air flow of 140 m³/h.



Brush 2 times with the specified brush size (see Table B7) by inserting the steel brush Hilti HIT-RB to the back of the hole (if needed with extension) in a twisting motion and removing it.
The brush must produce natural resistance as it enters the drill hole – if not the brush is too small and must be replaced with the proper brush diameter.

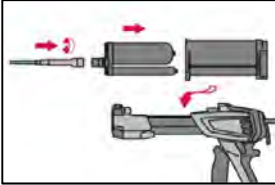

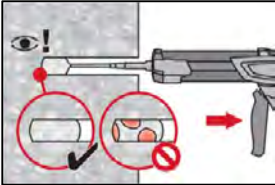

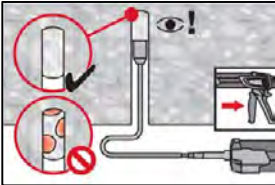


Blow again with compressed air 2 times until return air stream is free of noticeable dust and water.

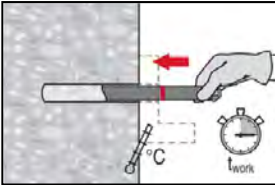
Injection System Hilti HIT-HY 200-A V3 and HIT-HY 200-R V3

Intended Use
Installation instructions

Annex B13

<p>Injection preparation</p>							
	<p>Tightly attach Hilti mixing nozzle HIT-RE-M to foil pack manifold. Do not modify the mixing nozzle. Observe the instruction for use of the dispenser. Check foil pack holder for proper function. Insert foil pack into foil pack holder and put holder into dispenser.</p>						
	<p>The foil pack opens automatically as dispensing is initiated. Depending on the size of the foil pack, an initial amount of adhesive has to be discarded. Discarded quantities are</p> <table border="0"> <tr> <td>2 strokes</td> <td>for 330 ml foil pack,</td> </tr> <tr> <td>3 strokes</td> <td>for 500 ml foil pack,</td> </tr> <tr> <td>4 strokes</td> <td>for 500 ml foil pack ≤ 5 °C.</td> </tr> </table> <p>The minimum foil pack temperature is 0°C.</p>	2 strokes	for 330 ml foil pack,	3 strokes	for 500 ml foil pack,	4 strokes	for 500 ml foil pack ≤ 5 °C.
2 strokes	for 330 ml foil pack,						
3 strokes	for 500 ml foil pack,						
4 strokes	for 500 ml foil pack ≤ 5 °C.						
<p>Inject adhesive from the back of the drill hole without forming air voids.</p>							
	<p>Inject the adhesive starting at the back of the hole, slowly withdrawing the mixer with each trigger pull. Fill approximately 2/3 of the drill hole to ensure that the annular gap between the steel element and the concrete is completely filled with adhesive along the embedment length. In water saturated concrete it is required to set the fastener immediately after cleaning the drillhole.</p>						
	<p>After injection is completed, depressurize the dispenser by pressing the release trigger. This will prevent further adhesive discharge from the mixer.</p>						
	<p>Overhead installation and/or installation with embedment depth $h_{ef} > 250\text{mm}$. For overhead installation the injection is only possible with the aid of extensions and piston plugs. Assemble HIT-RE-M mixer, extension(s) and appropriately sized piston plug (see Table B7). Insert piston plug to back of the hole and inject adhesive. During injection the piston plug will be naturally extruded out of the drill hole by the adhesive pressure.</p>						
<p>Injection System Hilti HIT-HY 200-A V3 and HIT-HY 200-R V3</p>							
<p>Intended Use Installation instructions</p>	<p>Annex B14</p>						

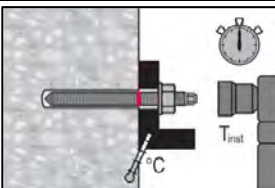
Setting the steel element



Before use, verify that the element is dry and free of oil and other contaminants. Mark and set steel element to the required embedment depth before working time t_{work} has elapsed. The working time t_{work} is given in Table B6.

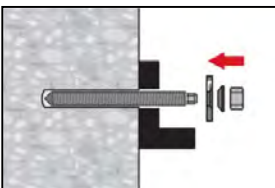


For overhead installation use piston plugs and fix embedded parts with e.g. wedges (Hilti HIT-OHW).

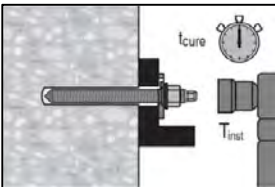


Loading: After required curing time t_{cure} (see Table B6) the fastening can be loaded. The applied installation torque shall not exceed the values $\max T_{inst}$ given in Table B2 to Table B4.

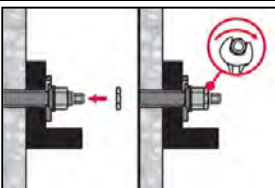
Installation of Hilti Filling Set



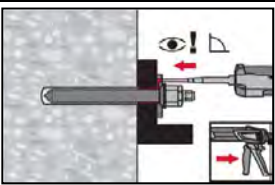
Use Hilti Filling Set with standard nut. Observe the correct orientation of filling washer and spherical washer.



The applied installation torque shall not exceed the values $\max T_{inst}$ given in Table B2 to Table B4.



Optional:
Installation of lock nut. Tighten with a $\frac{1}{4}$ to $\frac{1}{2}$ turn. (Not for size M24.)



Fill the annular gap between steel element and fixture with 1-3 strokes of a Hilti injection mortar HIT-HY ... or HIT-RE Follow the installation instructions supplied with the respective Hilti injection mortar. After required curing time t_{cure} the fastening can be loaded.

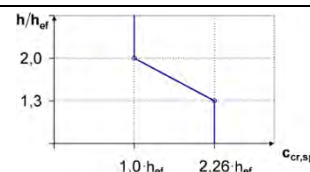
Injection System Hilti HIT-HY 200-A V3 and HIT-HY 200-R V3

Intended Use
Installation instructions

Annex B15

Table C1: Essential characteristics for threaded rods according to Annex A under tension load in concrete

Threaded rods according to Annex A			M8	M10	M12	M16	M20	M24	M27	M30	
For a working life of 50 and 100 years											
Installation factor for installation in dry or wet (water saturated) concrete											
Hammer drilling (HD)	γ_{inst}	[-]	1,0								
Hammer drilling with Hilti hollow drill bit TE-CD or TE-YD (HDB)	γ_{inst}	[-]	1)	1,0							
Diamond coring with roughening with Hilti roughening tool TE-YRT (DD+RT)	γ_{inst}	[-]	1)				1,0				
Installation factor for installation in water-filled drill holes (not sea water)											
Hammer drilling (HD)	γ_{inst}	[-]	1,4								
Hammer drilling with Hilti hollow drill bit TE-CD or TE-YD (HDB)	γ_{inst}	[-]	1)	1,4							
Steel failure											
Characteristic resistance	$N_{Rk,s}$	[kN]	$A_s \cdot f_{uk}$								
Partial factor grade 5.8, 6.8 and 8.8 (Table A1)	$\gamma_{Ms,N^{(2)}}$	[-]	1,5								
Partial factor HAS A4, HAS-U A4, HIT-V-R, Threaded rod: CRC II and III (Table A1)	$\gamma_{Ms,N^{(2)}}$	[-]	1,87						2,86		
Partial factor HAS-U HCR, HIT-V-HCR, Threaded rod: CRC V (Table A1)	$\gamma_{Ms,N^{(2)}}$	[-]	1,5				2,1				
Concrete cone failure											
Factor for uncracked concrete	$k_{ucr,N}$	[-]	11,0								
Factor for cracked concrete	$k_{cr,N}$	[-]	7,7								
Edge distance	$c_{cr,N}$	[mm]	$1,5 \cdot h_{ef}$								
Spacing	$s_{cr,N}$	[mm]	$3,0 \cdot h_{ef}$								
Splitting failure											
Edge distance $c_{cr,sp}$ [mm] for	$h / h_{ef} \geq 2,0$		$1,0 \cdot h_{ef}$								
	$2,0 > h / h_{ef} > 1,3$		$4,6 \cdot h_{ef} - 1,8 \cdot h$								
	$h / h_{ef} \leq 1,3$		$2,26 \cdot h_{ef}$								
Spacing	$s_{cr,sp}$	[mm]	$2 \cdot c_{cr,sp}$								



1) No performance assessed.
2) In absence of national regulations.

Injection System Hilti HIT-HY 200-A V3 and HIT-HY 200-R V3

Performances
Essential characteristics under tension load in concrete

Annex C1

Table C1: continued

Threaded rods according to Annex A	M8	M10	M12	M16	M20	M24	M27	M30
Combined pullout and concrete cone failure for a working life of 50 years								
Characteristic bond resistance in uncracked concrete C20/25 for installation in dry or wet (water saturated) concrete, all drilling methods (HD, HDB, DD + RT)								
Temperature range I: 24°C/40°C $\tau_{Rk,ucr}$ [N/mm ²]	18							
Temperature range II: 50°C/80°C $\tau_{Rk,ucr}$ [N/mm ²]	15							
Temperature range III: 72°C/120°C $\tau_{Rk,ucr}$ [N/mm ²]	13							
Characteristic bond resistance in cracked concrete C20/25 for installation in dry or wet (water saturated) concrete, all drilling methods (HD, HDB, DD + RT)								
Temperature range I: 24°C/40°C $\tau_{Rk,cr}$ [N/mm ²]	7,5	9,4	9,5					
Temperature range II: 50°C/80°C $\tau_{Rk,cr}$ [N/mm ²]	6,4	8,0						
Temperature range III: 72°C/120°C $\tau_{Rk,cr}$ [N/mm ²]	5,5	6,8	6,9					
Characteristic bond resistance in uncracked concrete C20/25 for installation in water-filled drill holes (not sea water), HD and HDB								
Temperature range I: 24°C/40°C $\tau_{Rk,ucr}$ [N/mm ²]	14,0	13,8	13,5	13,0	12,5	11,9	11,4	10,9
Temperature range II: 50°C/80°C $\tau_{Rk,ucr}$ [N/mm ²]	11,9	11,7	11,5	11,1	10,6	10,1	9,7	9,3
Temperature range III: 72°C/120°C $\tau_{Rk,ucr}$ [N/mm ²]	10,2	10,1	9,9	9,5	9,1	8,7	8,3	8,0
Characteristic bond resistance in cracked concrete C20/25 for installation in water-filled drill holes (not sea water), HD and HDB								
Temperature range I: 24°C/40°C $\tau_{Rk,cr}$ [N/mm ²]	6,1	7,4	7,2	6,7	6,4	6,1	6,1	6,0
Temperature range II: 50°C/80°C $\tau_{Rk,cr}$ [N/mm ²]	5,2	6,3	6,1	5,7	5,5	5,2	5,2	5,1
Temperature range III: 72°C/120°C $\tau_{Rk,cr}$ [N/mm ²]	4,5	5,4	5,2	4,9	4,7	4,5	4,5	4,4
Influence factors ψ on bond resistance τ_{Rk} in cracked and uncracked concrete								
Influence of concrete strength class: $\tau_{Rk} = \tau_{Rk,(C20/25)} \cdot \psi_c$								
Temperature range I to III :	ψ_c	[-]	$(f_{ck}/20)^{0,1}$					
Influence of sustained load								
Temperature range I: 24°C/40°C ψ_{sus}^0	[-]	0,74						
Temperature range II: 50°C/80°C ψ_{sus}^0	[-]	0,89						
Temperature range III: 72°C/120°C ψ_{sus}^0	[-]	0,72						

Injection System Hilti HIT-HY 200-A V3 and HIT-HY 200-R V3

Performances
Essential characteristics under tension load in concrete

Annex C2

Table C1: continued

Threaded rods according to Annex A	M8	M10	M12	M16	M20	M24	M27	M30
Combined pullout and concrete cone failure for a working life of 100 years								
Characteristic bond resistance in uncracked concrete C20/25 for installation in dry or wet (water saturated) concrete, all drilling methods (HD, HDB, DD + RT)								
Temperature range I: 24°C/40°C $\tau_{Rk,ucr,100}$ [N/mm ²]	17							
Temperature range II: 50°C/80°C $\tau_{Rk,ucr,100}$ [N/mm ²]	14							
Temperature range III: 72°C/120°C $\tau_{Rk,ucr,100}$ [N/mm ²]	12							
Characteristic bond resistance in cracked concrete C20/25 for installation in dry or wet (water saturated) concrete, all drilling methods (HD, HDB, DD + RT)								
Temperature range I: 24°C/40°C $\tau_{Rk,cr,100}$ [N/mm ²]	6,5	6,7	8,1					
Temperature range II: 50°C/80°C $\tau_{Rk,cr,100}$ [N/mm ²]	5,5	5,7	7,0					
Temperature range III: 72°C/120°C $\tau_{Rk,cr,100}$ [N/mm ²]	5,0		6,0					
Characteristic bond resistance in uncracked concrete C20/25 for installation in water-filled drill holes (not sea water), HD and HDB								
Temperature range I: 24°C/40°C $\tau_{Rk,ucr,100}$ [N/mm ²]	14,0	13,8	13,5	13,0	12,5	11,9	11,4	10,9
Temperature range II: 50°C/80°C $\tau_{Rk,ucr,100}$ [N/mm ²]	11,9	11,7	11,5	11,1	10,6	10,1	9,7	9,3
Temperature range III: 72°C/120°C $\tau_{Rk,ucr,100}$ [N/mm ²]	10,2	10,1	9,9	9,5	9,1	8,7	8,3	8,0
Characteristic bond resistance in cracked concrete C20/25 for installation in water-filled drill holes (not sea water), HD and HDB								
Temperature range I: 24°C/40°C $\tau_{Rk,cr,100}$ [N/mm ²]	5,5	5,3	6,1	5,8	5,5	5,3	5,1	4,8
Temperature range II: 50°C/80°C $\tau_{Rk,cr,100}$ [N/mm ²]	4,5	4,5	5,2	4,9	4,7	4,5	4,3	4,1
Temperature range III: 72°C/120°C $\tau_{Rk,cr,100}$ [N/mm ²]	3,9	3,8	4,5	4,2	4,0	3,8	3,7	3,5
Influence factors ψ on bond resistance $\tau_{Rk,100}$ in cracked and uncracked concrete								
Influence of concrete strength class: $\tau_{Rk} = \tau_{Rk,(C20/25)} \cdot \psi_c$								
Temperature range I to III :	ψ_c	[-]		$(f_{ck}/20)^{0,1}$				
Influence of sustained load								
Temperature range I: 24°C/40°C $\psi_{sus,100}^0$	[-]		0,71					
Temperature range II: 50°C/80°C $\psi_{sus,100}^0$	[-]		0,86					
Temperature range III: 72°C/120°C $\psi_{sus,100}^0$	[-]		0,80					

Injection System Hilti HIT-HY 200-A V3 and HIT-HY 200-R V3

Performances
Essential characteristics under tension load in concrete

Annex C3

Table C2: Essential characteristics for threaded rods according to Annex A under shear load in concrete

Threaded rods according to Annex A		M8	M10	M12	M16	M20	M24	M27	M30
For a working life of 50 and 100 years									
Steel failure without lever arm									
Characteristic resistance	$V_{Rk,s}^0$ [kN]	$k_6 \cdot A_s \cdot f_{uk}$							
Factor grade 5.8	k_6 [-]	0,6							
Factor grade 6.8 and 8.8	k_6 [-]	0,5							
Factor HAS A4, HAS-U A4, HIT-V-R, Threaded rod: CRC II and III (Table A1)	k_6 [-]	0,5							
Factor HAS-U HCR, HIT-V-HCR, Threaded rod: CRC V (Table A1)	k_6 [-]	0,5							
Partial factor grade 5.8, 6.8, 8.8	$\gamma_{Ms,V}^{1)}$ [-]	1,25							
Partial factor HAS A4, HAS-U A4, HIT-V-R, Threaded rod CRC II and III (Table A1)	$\gamma_{Ms,V}^{1)}$ [-]	1,56						2,38	
Partial factor HAS-U HCR, HIT-V-HCR, Threaded rod CRC V (Table A1)	$\gamma_{Ms,V}^{1)}$ [-]	1,25				1,75			
Ductility factor	k_7 [-]	1,0							
Steel failure with lever arm									
Characteristic resistance	$M_{Rk,s}^0$ [Nm]	$1,2 \cdot W_{el} \cdot f_{uk}$							
Ductility factor	k_7 [-]	1,0							
Concrete pry-out failure									
Pry-out factor	k_8 [-]	2,0							
Concrete edge failure									
Effective length of fastener	l_f [mm]	$\min(h_{ef}; 12 \cdot d_{nom})$						$\min(h_{ef}; 8 \cdot d_{nom}; 300)$	
Outside diameter of fastener	d_{nom} [mm]	8	10	12	16	20	24	27	30

¹⁾ In absence of national regulations.

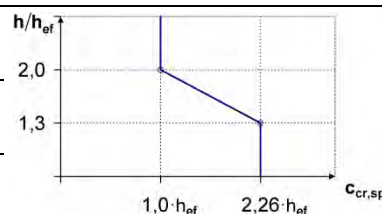
Injection System Hilti HIT-HY 200-A V3 and HIT-HY 200-R V3

Performances
Essential characteristics under shear load in concrete

Annex C4

Table C3: Essential characteristics for internally threaded sleeve HIS-(R)N under tension load in concrete

HIS-(R)N			M8	M10	M12	M16	M20
For a working life of 50 years							
Installation factor							
Hammer drilling	γ_{inst}	[-]	1,0				
Hammer drilling with Hilti hollow drill bit TE-CD or TE-YD	γ_{inst}	[-]	1,0				
Diamond coring with roughening with Hilti roughening tool TE-YRT	γ_{inst}	[-]	1)	1,0			
Steel failure							
Characteristic resistance HIS-N with screw or threaded rod grade 8.8	$N_{Rk,s}$	[kN]	25	46	67	125	116
Partial factor	$\gamma_{Ms,N^2)}$	[-]	1,50				
Characteristic resistance HIS-RN with screw or threaded rod grade 70	$N_{Rk,s}$	[kN]	26	41	59	110	166
Partial factor	$\gamma_{Ms,N^2)}$	[-]	1,87				2,4
Concrete cone failure							
Factor for uncracked concrete	$k_{ucr,N}$	[-]	11,0				
Factor for cracked concrete	$k_{cr,N}$	[-]	7,7				
Edge distance	$c_{cr,N}$	[mm]	$1,5 \cdot h_{ef}$				
Spacing	$s_{cr,N}$	[mm]	$3,0 \cdot h_{ef}$				
Splitting failure							
Edge distance $c_{cr,sp}$ [mm] for	$h / h_{ef} \geq 2,0$		$1,0 \cdot h_{ef}$				
	$2,0 > h / h_{ef} > 1,3$		$4,6 h_{ef} - 1,8 h$				
	$h / h_{ef} \leq 1,3$		$2,26 h_{ef}$				
Spacing	$s_{cr,sp}$	[mm]	$2 \cdot c_{cr,sp}$				



- 1) No performance assessed.
2) In absence of national regulations.

Injection System Hilti HIT-HY 200-A V3 and HIT-HY 200-R V3

Performances
Essential characteristics under tension load in concrete

Annex C5

Table C3: continued

HIS-(R)N	M8	M10	M12	M16	M20
Combined pullout and concrete cone failure for a working life of 50 years					
Effective embedment depth h_{ef} [mm]	90	110	125	170	205
Effective fastener diameter d_1 [mm]	12,5	16,5	20,5	25,4	27,6
Characteristic bond resistance in uncracked concrete C20/25 for installation in dry or wet (water saturated) concrete, all drilling methods (HD, HDB, DD + RT)					
Temperature range I: 24°C/40°C $\tau_{Rk,ucr}$ [N/mm ²]	13				
Temperature range II: 50°C/80°C $\tau_{Rk,ucr}$ [N/mm ²]	11				
Temperature range III: 72°C/120°C $\tau_{Rk,ucr}$ [N/mm ²]	9,5				
Characteristic bond resistance in cracked concrete C20/25 for installation in dry or wet (water saturated) concrete, all drilling methods (HD, HDB, DD + RT)					
Temperature range I: 24°C/40°C $\tau_{Rk,cr}$ [N/mm ²]	7				
Temperature range II: 50°C/80°C $\tau_{Rk,cr}$ [N/mm ²]	5,5				
Temperature range III: 72°C/120°C $\tau_{Rk,cr}$ [N/mm ²]	5				
Influence factors ψ on bond resistance τ_{Rk} in cracked and uncracked concrete					
Influence of concrete strength class: $\tau_{Rk} = \tau_{Rk,(C20/25)} \cdot \psi_c$					
Temperature range I to III : ψ_c [-]	$(f_{ck}/20)^{0,1}$				
Influence of sustained load					
Temperature range I: 24°C/40°C ψ_{sus}^0 [-]	0,74				
Temperature range II: 50°C/80°C ψ_{sus}^0 [-]	0,89				
Temperature range III: 72°C/120°C ψ_{sus}^0 [-]	0,72				

Injection System Hilti HIT-HY 200-A V3 and HIT-HY 200-R V3

Performances
Essential characteristics under tension load in concrete

Annex C6

Table C4: Essential characteristics for internally threaded sleeve HIS-(R)N under shear load in concrete

HIS-(R)N		M8	M10	M12	M16	M20
For a working life of 50 years						
Steel failure without lever arm						
Characteristic resistance HIS-N with screw or threaded rod grade 8.8	$V_{Rk,s}^0$ [kN]	13	23	34	63	58
Partial factor	$\gamma_{Ms,V}^{1)}$ [-]	1,25				
Characteristic resistance HIS-RN with screw or threaded rod grade 70	$V_{Rk,s}^0$ [kN]	13	20	30	55	83
Partial factor	$\gamma_{Ms,V}^{1)}$ [-]	1,56				2,0
Ductility factor	k_7 [-]	1,0				
Steel failure with lever arm						
Characteristic resistance HIS-N with screw or threaded rod grade 8.8	$M_{Rk,s}^0$ [Nm]	30	60	105	266	519
Characteristic resistance HIS-RN with screw or threaded rod grade 70	$M_{Rk,s}^0$ [Nm]	26	52	92	233	454
Ductility factor	k_7 [-]	1,0				
Concrete pry-out failure						
Pry-out factor	k_8 [-]	2,0				
Concrete edge failure						
Effective length of fastener	l_f [mm]	90	110	125	170	205
Outside diameter of fastener	d_{nom} [mm]	12,5	16,5	20,5	25,4	27,6

¹⁾ In absence of national regulations.

Injection System Hilti HIT-HY 200-A V3 and HIT-HY 200-R V3

Performances
Essential characteristics under shear load in concrete

Annex C7

Table C5: Essential characteristics for Hilti tension anchor HZA / HZA-R under tension load in concrete

Hilti tension anchor HZA, HZA-R			M12	M16	M20	M24	M27
For a working life of 50 and 100 years							
Installation factor for installation in dry or wet (water saturated) concrete							
Hammer drilling	γ_{inst}	[-]	1,0				
Hammer drilling with Hilti hollow drill bit TE-CD or TE-YD	γ_{inst}	[-]	1,0				
Diamond coring with roughening with Hilti roughening tool TE-YRT	γ_{inst}	[-]	1)	1,0			
Installation factor for installation in water-filled drill holes (not sea water)							
Hammer drilling	γ_{inst}	[-]	1,4				
Hammer drilling with Hilti hollow drill bit TE-CD or TE-YD	γ_{inst}	[-]	1,4				
Steel failure							
Characteristic resistance HZA	$N_{Rk,s}$	[kN]	46	86	135	194	253
Characteristic resistance HZA-R	$N_{Rk,s}$	[kN]	62	111	173	248	1)
Partial factor	$\gamma_{Ms,N^2)}$	[-]	1,4				
Concrete cone failure							
Effective anchorage depth	HZA	h_{ef}	h_{nom}				
	HZA-R	h_{ef}	h_{nom}				
Factor for uncracked concrete	$k_{ucr,N}$	[-]	11,0				
Factor for cracked concrete	$k_{cr,N}$	[-]	7,7				
Edge distance	$c_{cr,N}$	[mm]	$1,5 \cdot h_{ef}$				
Spacing	$s_{cr,N}$	[mm]	$3,0 \cdot h_{ef}$				
Splitting failure relevant for uncracked concrete							
Edge distance $c_{cr,sp}$ [mm] for	$h / h_{ef} \geq 2,0$		$1,0 \cdot h_{ef}$				
	$2,0 > h / h_{ef} > 1,3$		$4,6 \cdot h_{ef} - 1,8 \cdot h$				
	$h / h_{ef} \leq 1,3$		$2,26 \cdot h_{ef}$				
Spacing	$s_{cr,sp}$	[mm]	$2 \cdot c_{cr,sp}$				

1) No performance assessed.
2) In absence of national regulations.

Injection System Hilti HIT-HY 200-A V3 and HIT-HY 200-R V3

Performances
Essential characteristics under tension load in concrete

Annex C8

Table C5: continued

Hilti tension anchor HZA, HZA-R				M12	M16	M20	M24	M27
Diameter of rebar	d	[mm]		12	16	20	25	28
Effective anchorage depth	HZA	h_{ef}	[mm]	$h_{nom} - 20$				
	HZA-R	h_{ef}	[mm]	$h_{nom} - 100$				
Combined pull-out and concrete cone failure for a working life of 50 years								
Characteristic bond resistance in uncracked concrete C20/25 for installation in dry or wet (water saturated) concrete, all drilling methods (HD, HDB, DD + RT)								
Temperature range I:	24°C/40°C	$\tau_{Rk,ucr}$	[N/mm ²]	12				
Temperature range II:	50°C/80°C	$\tau_{Rk,ucr}$	[N/mm ²]	10				
Temperature range III:	72°C/120°C	$\tau_{Rk,ucr}$	[N/mm ²]	8,5				
Characteristic bond resistance in cracked concrete C20/25 for installation in dry or wet (water saturated) concrete, all drilling methods (HD, HDB, DD + RT)								
Temperature range I:	24°C/40°C	$\tau_{Rk,cr}$	[N/mm ²]	7				
Temperature range II:	50°C/80°C	$\tau_{Rk,cr}$	[N/mm ²]	5,5				
Temperature range III:	72°C/120°C	$\tau_{Rk,cr}$	[N/mm ²]	5				
Characteristic bond resistance in uncracked concrete C20/25 for installation in water-filled drill holes (not sea water), HD and HDB								
Temperature range I:	24°C/40°C	$\tau_{Rk,ucr}$	[N/mm ²]	11,4				
Temperature range II:	50°C/80°C	$\tau_{Rk,ucr}$	[N/mm ²]	9,3				
Temperature range III:	72°C/120°C	$\tau_{Rk,ucr}$	[N/mm ²]	8,1				
Characteristic bond resistance in cracked concrete C20/25 for installation in water-filled drill holes (not sea water), HD and HDB								
Temperature range I:	24°C/40°C	$\tau_{Rk,cr}$	[N/mm ²]	6,5				
Temperature range II:	50°C/80°C	$\tau_{Rk,cr}$	[N/mm ²]	5,2				
Temperature range III:	72°C/120°C	$\tau_{Rk,cr}$	[N/mm ²]	4,5				
Influence factors ψ on bond resistance τ_{Rk} in cracked and uncracked concrete								
Influence of concrete strength class: $\tau_{Rk} = \tau_{Rk,(C20/25)} \cdot \psi_c$								
Temperature range I to III :	ψ_c	[-]		$(f_{ck}/20)^{0,1}$				
Influence of sustained load								
Temperature range I:	24°C/40°C	ψ_{sUS}^0	[-]	0,74				
Temperature range II:	50°C/80°C	ψ_{sUS}^0	[-]	0,89				
Temperature range III:	72°C/120°C	ψ_{sUS}^0	[-]	0,72				

Injection System Hilti HIT-HY 200-A V3 and HIT-HY 200-R V3

Performances
Essential characteristics under tension load in concrete

Annex C9

Table C5: continued

Hilti tension anchor HZA, HZA-R				M12	M16	M20	M24	M27
Diameter of rebar	d	[mm]		12	16	20	25	28
Effective anchorage depth	HZA	h_{ef}	[mm]	$h_{nom} - 20$				
	HZA-R	h_{ef}	[mm]	$h_{nom} - 100$				
Combined pull-out and concrete cone failure for a working life 100 years								
Characteristic bond resistance in uncracked concrete C20/25 for installation in dry or wet (water saturated) concrete, all drilling methods (HD, HDB, DD + RT)								
Temperature range I:	24°C/40°C	$\tau_{RK,ucr,100}$	[N/mm ²]	12				
Temperature range II:	50°C/80°C	$\tau_{RK,ucr,100}$	[N/mm ²]	10				
Temperature range III:	72°C/120°C	$\tau_{RK,ucr,100}$	[N/mm ²]	8,5				
Characteristic bond resistance in cracked concrete C20/25 for installation in dry or wet (water saturated) concrete, all drilling methods (HD, HDB, DD + RT)								
Temperature range I:	24°C/40°C	$\tau_{RK,cr,100}$	[N/mm ²]	7				
Temperature range II:	50°C/80°C	$\tau_{RK,cr,100}$	[N/mm ²]	5,5				
Temperature range III:	72°C/120°C	$\tau_{RK,cr,100}$	[N/mm ²]	5				
Characteristic bond resistance in uncracked concrete C20/25 for installation in water-filled drill holes (not sea water), HD and HDB								
Temperature range I:	24°C/40°C	$\tau_{RK,ucr,100}$	[N/mm ²]	11,4				
Temperature range II:	50°C/80°C	$\tau_{RK,ucr,100}$	[N/mm ²]	9,3				
Temperature range III:	72°C/120°C	$\tau_{RK,ucr,100}$	[N/mm ²]	8,1				
Characteristic bond resistance in cracked concrete C20/25 for installation in water-filled drill holes (not sea water), HD and HDB								
Temperature range I:	24°C/40°C	$\tau_{RK,cr,100}$	[N/mm ²]	6,5				
Temperature range II:	50°C/80°C	$\tau_{RK,cr,100}$	[N/mm ²]	5,2				
Temperature range III:	72°C/120°C	$\tau_{RK,cr,100}$	[N/mm ²]	4,5				
Influence factors ψ on bond resistance τ_{RK} in cracked and uncracked concrete								
Influence of concrete strength class: $\tau_{RK} = \tau_{RK,(C20/25)} \cdot \psi_c$								
Temperature range I to III :	ψ_c	[-]		$(f_{ck}/20)^{0,1}$				
Influence of sustained load								
Temperature range I:	24°C/40°C	$\psi^0_{sus,100}$	[-]	0,71				
Temperature range II:	50°C/80°C	$\psi^0_{sus,100}$	[-]	0,86				
Temperature range III:	72°C/120°C	$\psi^0_{sus,100}$	[-]	0,80				

¹⁾ No performance assessed

Injection System Hilti HIT-HY 200-A V3 and HIT-HY 200-R V3

Performances
Essential characteristics under tension load in concrete

Annex C10

Table C6: Essential characteristics for Hilti tension anchor HZA, HZA-R under shear load in concrete

Hilti tension anchor HZA, HZA-R		M12	M16	M20	M24	M27
For a working life of 50 and 100 years						
Steel failure without lever arm						
Characteristic resistance HZA	$V^0_{Rk,s}$ [kN]	23	43	67	97	126
Characteristic resistance HZA-R	$V^0_{Rk,s}$ [kN]	31	55	86	124	¹⁾
Partial factor	$\gamma_{Ms,V^2)}$ [-]	1,5				
Ductility factor	k_7 [-]	1,0				
Steel failure with lever arm						
Characteristic resistance HZA	$M^0_{Rk,s}$ [Nm]	72	183	357	617	915
Characteristic resistance HZA-R	$M^0_{Rk,s}$ [Nm]	97	234	457	790	¹⁾
Ductility factor	k_7 [-]	1,0				
Concrete pry-out failure						
Pry-out factor	k_8 [-]	2,0				
Concrete edge failure						
Effective length of fastener	l_f [mm]	min (h_{nom} ; $12 \cdot d_{nom}$)				min (h_{nom} ; $8 \cdot d_{nom}$; 300)
Outside diameter of fastener	d_{nom} [mm]	12	16	20	24	27

¹⁾ No performance assessed.

²⁾ In absence of national regulations.

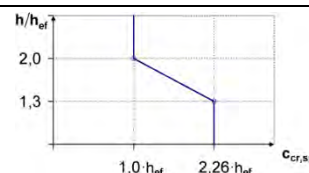
Injection System Hilti HIT-HY 200-A V3 and HIT-HY 200-R V3

Performances
Essential characteristics under shear load in concrete

Annex C11

Table C7: Essential characteristics for rebar under tension load in concrete

Rebar		φ 8	φ 10	φ 12	φ 14	φ 16	φ 20	φ 25	φ 26	φ 28	φ 30	φ 32	
For a working life of 50 and 100 years													
Installation factor for installation in dry or wet (water saturated) concrete													
Hammer drilling	γ_{inst}	[-]						1,0					
Hammer drilling with Hilti hollow drill bit TE-CD or TE-YD	γ_{inst}	[-]						1,0					
Diamond coring with roughening with Hilti roughening tool TE-YRT	γ_{inst}	[-]						1) ¹⁾					
Installation factor for installation in water-filled drill holes (not sea water)													
Hammer drilling	γ_{inst}	[-]						1,4					
Hammer drilling with Hilti hollow drill bit TE-CD or TE-YD	γ_{inst}	[-]						1,4					
Steel failure													
Characteristic resistance	$N_{Rk,s}$	[kN]		$A_s \cdot f_{uk}^{2)}$									
Characteristic resistance Rebar B500B acc. to DIN 488-1	$N_{Rk,s}$	[kN]	28	43	62	85	111	173	270	292	339	388	442
Partial factor	$\gamma_{Ms,N}^{3)}$	[-]						1,4					
Concrete cone failure													
Factor for uncracked concrete	$k_{ucr,N}$	[-]						11,0					
Factor for cracked concrete	$k_{cr,N}$	[-]						7,7					
Edge distance	$c_{cr,N}$	[mm]						$1,5 \cdot h_{ef}$					
Spacing	$s_{cr,N}$	[mm]						$3,0 \cdot h_{ef}$					
Splitting failure relevant for uncracked concrete													
Edge distance $c_{cr,sp}$ [mm] for	$h / h_{ef} \geq 2,0$		$1,0 \cdot h_{ef}$										
	$2,0 > h / h_{ef} > 1,3$		$4,6 \cdot h_{ef} - 1,8 \cdot h$										
	$h / h_{ef} \leq 1,3$		$2,26 \cdot h_{ef}$										
Spacing	$s_{cr,sp}$	[mm]						$2 c_{cr,sp}$					



- 1) No performance assessed.
- 2) f_{uk} according to rebar specification.
- 3) In absence of national regulations.

Injection System Hilti HIT-HY 200-A V3 and HIT-HY 200-R V3

Performances
Essential characteristics under tension load in concrete

Annex C12

Table C7: continued

Rebar	φ 8	φ 10	φ 12	φ 14	φ 16	φ 20	φ 25	φ 26	φ 28	φ 30	φ 32
Diameter of rebar d [mm]	8	10	12	14	16	20	25	26	28	30	32
Combined pull-out and concrete cone failure for a working life of 50 years											
Characteristic bond resistance in uncracked concrete C20/25 for installation in dry or wet (water saturated) concrete, all drilling methods (HD, HDB, DD + RT)											
Temperature range I: 24°C/40°C $\tau_{Rk,ucr}$ [N/mm ²]	12										
Temperature range II: 50°C/80°C $\tau_{Rk,ucr}$ [N/mm ²]	10										
Temperature range III: 72°C/120°C $\tau_{Rk,ucr}$ [N/mm ²]	8,5										
Characteristic bond resistance in cracked concrete C20/25 for installation in dry or wet (water saturated) concrete, all drilling methods (HD, HDB, DD + RT)											
Temperature range I: 24°C/40°C $\tau_{Rk,cr}$ [N/mm ²]	1)	5,0	7,0								
Temperature range II: 50°C/80°C $\tau_{Rk,cr}$ [N/mm ²]	1)	4,0	5,5								
Temperature range III: 72°C/120°C $\tau_{Rk,cr}$ [N/mm ²]	1)	3,5	5,0								
Characteristic bond resistance in uncracked concrete C20/25 for installation in water-filled drill holes (not sea water), HD and HDB											
Temperature range I: 24°C/40°C $\tau_{Rk,ucr}$ [N/mm ²]	1)	11,4									
Temperature range II: 50°C/80°C $\tau_{Rk,ucr}$ [N/mm ²]	1)	9,3									
Temperature range III: 72°C/120°C $\tau_{Rk,ucr}$ [N/mm ²]	1)	8,1									
Characteristic bond resistance in cracked concrete C20/25 for installation in water-filled drill holes (not sea water), HD and HDB											
Temperature range I: 24°C/40°C $\tau_{Rk,cr}$ [N/mm ²]	1)	4,6	6,5								
Temperature range II: 50°C/80°C $\tau_{Rk,cr}$ [N/mm ²]	1)	3,7	5,2								
Temperature range III: 72°C/120°C $\tau_{Rk,cr}$ [N/mm ²]	1)	3,2	4,5								
Influence factors ψ on bond resistance τ_{Rk} in cracked and uncracked concrete											
Influence of concrete strength class: $\tau_{Rk} = \tau_{Rk,(C20/25)} \cdot \psi_c$											
Temperature range I to III :	ψ_c	[-]	$(f_{ck}/20)^{0,1}$								
Influence of sustained load											
Temperature range I: 24°C/40°C ψ_{sus}^0	[-]	0,74									
Temperature range II: 50°C/80°C ψ_{sus}^0	[-]	0,89									
Temperature range III: 72°C/120°C ψ_{sus}^0	[-]	0,72									

Injection System Hilti HIT-HY 200-A V3 and HIT-HY 200-R V3

Performances
Essential characteristics under tension load in concrete

Annex C13

Table C7: continued

Rebar	φ 8	φ 10	φ 12	φ 14	φ 16	φ 20	φ 25	φ 26	φ 28	φ 30	φ 32
Diameter of rebar d [mm]	8	10	12	14	16	20	25	26	28	30	32
Combined pull-out and concrete cone failure for a working life of 100 years											
Characteristic bond resistance in uncracked concrete C20/25 for installation in dry or wet (water saturated) concrete, all drilling methods (HD, HDB, DD + RT)											
Temperature range I: 24°C/40°C $\tau_{Rk,ucr,100}$ [N/mm ²]	12										
Temperature range II: 50°C/80°C $\tau_{Rk,ucr,100}$ [N/mm ²]	10										
Temperature range III: 72°C/120°C $\tau_{Rk,ucr,100}$ [N/mm ²]	8,5										
Characteristic bond resistance in cracked concrete C20/25 for installation in dry or wet (water saturated) concrete, all drilling methods (HD, HDB, DD + RT)											
Temperature range I: 24°C/40°C $\tau_{Rk,cr,100}$ [N/mm ²]	¹⁾	5,0	7,0								
Temperature range II: 50°C/80°C $\tau_{Rk,cr,100}$ [N/mm ²]	¹⁾	4,0	5,5								
Temperature range III: 72°C/120°C $\tau_{Rk,cr,100}$ [N/mm ²]	¹⁾	3,5	5,0								
Characteristic bond resistance in uncracked concrete C20/25 for installation in water-filled drill holes (not sea water), HD and HDB											
Temperature range I: 24°C/40°C $\tau_{Rk,ucr,100}$ [N/mm ²]	¹⁾	11,4									
Temperature range II: 50°C/80°C $\tau_{Rk,ucr,100}$ [N/mm ²]	¹⁾	9,3									
Temperature range III: 72°C/120°C $\tau_{Rk,ucr,100}$ [N/mm ²]	¹⁾	8,1									
Characteristic bond resistance in cracked concrete C20/25 for installation in water-filled drill holes (not sea water), HD and HDB											
Temperature range I: 24°C/40°C $\tau_{Rk,cr,100}$ [N/mm ²]	¹⁾	4,6	6,5								
Temperature range II: 50°C/80°C $\tau_{Rk,cr,100}$ [N/mm ²]	¹⁾	3,7	5,2								
Temperature range III: 72°C/120°C $\tau_{Rk,cr,100}$ [N/mm ²]	¹⁾	3,2	4,5								
Influence factors ψ on bond resistance τ_{Rk} in cracked and uncracked concrete											
Influence of concrete strength class: $\tau_{Rk} = \tau_{Rk,(C20/25)} \cdot \psi_c$											
Temperature range I to III :	ψ_c	[-]	$(f_{ck}/20)^{0,1}$								
Influence of sustained load											
Temperature range I: 24°C/40°C $\psi_{sus,100}^0$	[-]	0,71									
Temperature range II: 50°C/80°C $\psi_{sus,100}^0$	[-]	0,86									
Temperature range III: 72°C/120°C $\psi_{sus,100}^0$	[-]	0,80									

¹⁾ No performance assessed.

Injection System Hilti HIT-HY 200-A V3 and HIT-HY 200-R V3

Performances
Essential characteristics under tension load in concrete

Annex C14

Table C8: Essential characteristics for rebar under shear load in concrete

Rebar	ϕ 8	ϕ 10	ϕ 12	ϕ 14	ϕ 16	ϕ 20	ϕ 25	ϕ 26	ϕ 28	ϕ 30	ϕ 32	
For a working life of 50 and 100 years												
Steel failure without lever arm												
Characteristic resistance	$V_{Rk,s}^0$ [kN]	$0,5 \cdot A_s \cdot f_{uk}^{1)}$										
Characteristic resistance Rebar B500B acc. to DIN 488-1	$V_{Rk,s}^0$ [kN]	14	22	31	42	55	86	135	146	169	194	221
Partial factor	$\gamma_{Ms,V}^{2)}$ [-]	1,5										
Ductility factor	k_7 [-]	1,0										
Steel failure with lever arm												
Characteristic resistance	$M_{Rk,s}^0$ [Nm]	$1,2 \cdot W_{el} \cdot f_{uk}^{1)}$										
Characteristic resistance Rebar B500B acc. to DIN 488-1	$M_{Rk,s}^0$ [Nm]	33	65	112	178	265	518	1012	1139	1422	1749	2123
Ductility factor	k_7 [-]	1,0										
Concrete pry-out failure												
Pry-out factor	k_8 [-]	2,0										
Concrete edge failure												
Effective length of fastener	l_f [mm]	$\min(h_{ef}; 12 \cdot d_{nom})$						$\min(h_{nom}; 8 \cdot d_{nom}; 300)$				
Outside diameter of fastener	d_{nom} [mm]	8	10	12	14	16	20	25	26	28	30	32

1) f_{uk} according to rebar specification

2) In absence of national regulations.

Injection System Hilti HIT-HY 200-A V3 and HIT-HY 200-R V3

Performances
Essential characteristics under shear load in concrete

Annex C15

Table C9: Displacements under tension load

Threaded rods according to Annex A		M8	M10	M12	M16	M20	M24	M27	M30		
Uncracked concrete temperature range I: 24°C / 40°C											
Displacement	δ_{N0}	[mm/(N/mm ²)]	0,02	0,03	0,03	0,04	0,06	0,07	0,07	0,08	
	$\delta_{N\infty}$	[mm/(N/mm ²)]	0,04	0,05	0,06	0,08	0,10	0,13	0,14	0,16	
Uncracked concrete temperature range II: 50°C / 80°C											
Displacement	δ_{N0}	[mm/(N/mm ²)]	0,03	0,04	0,05	0,06	0,08	0,09	0,10	0,12	
	$\delta_{N\infty}$	[mm/(N/mm ²)]	0,04	0,05	0,06	0,09	0,11	0,13	0,15	0,16	
Uncracked concrete temperature range III: 72°C / 120°C											
Displacement	δ_{N0}	[mm/(N/mm ²)]	0,04	0,05	0,06	0,08	0,10	0,12	0,13	0,16	
	$\delta_{N\infty}$	[mm/(N/mm ²)]	0,04	0,05	0,07	0,09	0,11	0,13	0,15	0,17	
Cracked concrete temperature range I: 24°C / 40°C											
Displacement	δ_{N0}	[mm/(N/mm ²)]								0,07	
	$\delta_{N\infty}$	[mm/(N/mm ²)]								0,16	
Cracked concrete temperature range II: 50°C / 80°C											
Displacement	δ_{N0}	[mm/(N/mm ²)]								0,10	
	$\delta_{N\infty}$	[mm/(N/mm ²)]								0,22	
Cracked concrete temperature range III: 72°C / 120°C											
Displacement	δ_{N0}	[mm/(N/mm ²)]								0,13	
	$\delta_{N\infty}$	[mm/(N/mm ²)]								0,29	

Table C10: Displacements under shear load

Threaded rods according to Annex A		M8	M10	M12	M16	M20	M24	M27	M30	
Displacement	δ_{V0}	[mm/kN]	0,06	0,06	0,05	0,04	0,04	0,03	0,03	0,03
	$\delta_{V\infty}$	[mm/kN]	0,09	0,08	0,08	0,06	0,06	0,05	0,05	0,05

Injection System Hilti HIT-HY 200-A V3 and HIT-HY 200-R V3

Performances
Displacements with threaded rod, HAS-U-..., HIT-V-... and AM 8.8

Annex C16

Table C11: Displacements under tension load

HIS-(R)N		M8	M10	M12	M16	M20
Uncracked concrete temperature range I: 24°C / 40°C						
Displacement	δ_{N0} [mm/(N/mm ²)]	0,03	0,05	0,06	0,07	0,08
	$\delta_{N\infty}$ [mm/(N/mm ²)]	0,06	0,09	0,11	0,13	0,14
Uncracked concrete temperature range II: 50°C / 80°C						
Displacement	δ_{N0} [mm/(N/mm ²)]	0,05	0,06	0,08	0,10	0,11
	$\delta_{N\infty}$ [mm/(N/mm ²)]	0,07	0,09	0,11	0,13	0,15
Uncracked concrete temperature range III: 72°C / 120°C						
Displacement	δ_{N0} [mm/(N/mm ²)]	0,06	0,08	0,10	0,13	0,14
	$\delta_{N\infty}$ [mm/(N/mm ²)]	0,07	0,09	0,11	0,14	0,15
Cracked concrete temperature range I: 24°C / 40°C						
Displacement	δ_{N0} [mm/(N/mm ²)]	0,11				
	$\delta_{N\infty}$ [mm/(N/mm ²)]	0,16				
Cracked concrete temperature range II: 50°C / 80°C						
Displacement	δ_{N0} [mm/(N/mm ²)]	0,15				
	$\delta_{N\infty}$ [mm/(N/mm ²)]	0,22				
Cracked concrete temperature range III: 72°C / 120°C						
Displacement	δ_{N0} [mm/(N/mm ²)]	0,20				
	$\delta_{N\infty}$ [mm/(N/mm ²)]	0,29				

Table C12: Displacements under shear load

HIS-(R)N		M8	M10	M12	M16	M20
Displacement	δ_{V0} [mm/kN]	0,06	0,06	0,05	0,04	0,04
	$\delta_{V\infty}$ [mm/kN]	0,09	0,08	0,08	0,06	0,06

Injection System Hilti HIT-HY 200-A V3 and HIT-HY 200-R V3

Performances
Displacements with HIS-(R)N

Annex C17

Table C13: Displacements under tension load

Hilti tension anchor HZA, HZA-R			M12	M16	M20	M24	M27
Uncracked concrete temperature range I: 24°C / 40°C							
Displacement	δ_{N0}	[mm/(N/mm ²)]	0,03	0,04	0,06	0,07	0,08
	$\delta_{N\infty}$	[mm/(N/mm ²)]	0,06	0,08	0,13	0,13	0,15
Uncracked concrete temperature range II: 50°C / 80°C							
Displacement	δ_{N0}	[mm/(N/mm ²)]	0,05	0,06	0,08	0,10	0,11
	$\delta_{N\infty}$	[mm/(N/mm ²)]	0,06	0,09	0,14	0,14	0,15
Uncracked concrete temperature range III: 72°C / 120°C							
Displacement	δ_{N0}	[mm/(N/mm ²)]	0,06	0,08	0,10	0,12	0,14
	$\delta_{N\infty}$	[mm/(N/mm ²)]	0,07	0,09	0,14	0,14	0,16
Cracked concrete temperature range I: 24°C / 40°C							
Displacement	δ_{N0}	[mm/(N/mm ²)]	0,11				
	$\delta_{N\infty}$	[mm/(N/mm ²)]	0,16				
Cracked concrete temperature range II: 50°C / 80°C							
Displacement	δ_{N0}	[mm/(N/mm ²)]	0,15				
	$\delta_{N\infty}$	[mm/(N/mm ²)]	0,22				
Cracked concrete temperature range III: 72°C / 120°C							
Displacement	δ_{N0}	[mm/(N/mm ²)]	0,20				
	$\delta_{N\infty}$	[mm/(N/mm ²)]	0,29				

Table C14: Displacements under shear load

Hilti tension anchor HZA, HZA-R			M12	M16	M20	M24	M27
Displacement	δ_{V0}	[mm/kN]	0,05	0,04	0,04	0,03	0,03
	$\delta_{V\infty}$	[mm/kN]	0,08	0,06	0,06	0,05	0,05

Injection System Hilti HIT-HY 200-A V3 and HIT-HY 200-R V3

Performances
Displacements with HZA and HZA-R

Annex C18

Table C15: Displacements under tension load

Rebar		φ 8	φ 10	φ 12	φ 14	φ 16	φ 20	φ 25	φ 26	φ 28	φ 30	φ 32
Uncracked concrete temperature range I: 24°C / 40°C												
Displacement	δ_{N0} [mm/(N/mm ²)]	0,02	0,03	0,03	0,04	0,04	0,06	0,07	0,08	0,08	0,09	0,09
	$\delta_{N\infty}$ [mm/(N/mm ²)]	0,04	0,05	0,06	0,07	0,08	0,10	0,13	0,14	0,15	0,16	0,17
Uncracked concrete temperature range II: 50°C / 80°C												
Displacement	δ_{N0} [mm/(N/mm ²)]	0,03	0,04	0,05	0,05	0,06	0,08	0,10	0,11	0,11	0,12	0,12
	$\delta_{N\infty}$ [mm/(N/mm ²)]	0,04	0,05	0,06	0,07	0,09	0,11	0,14	0,15	0,15	0,16	0,17
Uncracked concrete temperature range III: 72°C / 120°C												
Displacement	δ_{N0} [mm/(N/mm ²)]	0,04	0,05	0,06	0,07	0,08	0,10	0,12	0,13	0,14	0,15	0,16
	$\delta_{N\infty}$ [mm/(N/mm ²)]	0,04	0,05	0,07	0,08	0,09	0,11	0,14	0,15	0,16	0,17	0,18
Cracked concrete temperature range I: 24°C / 40°C												
Displacement	δ_{N0} [mm/(N/mm ²)]						0,11					
	$\delta_{N\infty}$ [mm/(N/mm ²)]						0,16					
Cracked concrete temperature range II: 50°C / 80°C												
Displacement	δ_{N0} [mm/(N/mm ²)]						0,15					
	$\delta_{N\infty}$ [mm/(N/mm ²)]						0,22					
Cracked concrete temperature range III: 72°C / 120°C												
Displacement	δ_{N0} [mm/(N/mm ²)]						0,20					
	$\delta_{N\infty}$ [mm/(N/mm ²)]						0,29					

Table C16: Displacements under shear load

Rebar		φ 8	φ 10	φ 12	φ 14	φ 16	φ 20	φ 25	φ 26	φ 28	φ 30	φ 32
Displacement	δ_{V0} [mm/kN]	0,06	0,05	0,05	0,04	0,04	0,04	0,03	0,03	0,03	0,03	0,03
	$\delta_{V\infty}$ [mm/kN]	0,09	0,08	0,07	0,06	0,06	0,05	0,05	0,05	0,04	0,04	0,04

Injection System Hilti HIT-HY 200-A V3 and HIT-HY 200-R V3

Performances
Displacements with rebar

Annex C19

Table C17: Essential characteristics for threaded rods according to Annex A under tension load for seismic performance category C1

Threaded rods according to Annex A			M10	M12	M16	M20	M24	M27	M30
For a working life of 50 and 100 years									
Steel failure									
Characteristic resistance	$N_{Rk,s,C1}$	[kN]	$A_s \cdot f_{uk}$						
Combined pullout and concrete cone failure for a working life of 50 years									
Characteristic bond resistance in cracked concrete C20/25									
Temperature range I:	24°C/40°C	$\tau_{Rk,C1}$	[N/mm ²]	5,2	7,0				
Temperature range II:	50°C/80°C	$\tau_{Rk,C1}$	[N/mm ²]	3,9	5,7				
Temperature range III:	72°C/120°C	$\tau_{Rk,C1}$	[N/mm ²]	3,5	4,8				
Combined pullout and concrete cone failure for a working life of 100 years									
Characteristic bond resistance in cracked concrete C20/25									
Temperature range I:	24°C/40°C	$\tau_{Rk,100,C1}$	[N/mm ²]	4,5	6,3				
Temperature range II:	50°C/80°C	$\tau_{Rk,100,C1}$	[N/mm ²]	3,7	5,2				
Temperature range III:	72°C/120°C	$\tau_{Rk,100,C1}$	[N/mm ²]	3,1	4,4				
Influence factors ψ on bond resistance $\tau_{Rk,C1}$ and $\tau_{Rk,100,C1}$ in cracked concrete									
Influence of concrete strength class: $\tau_{Rk} = \tau_{Rk,(C20/25)} \cdot \psi_c$									
Temperature range I to III :	ψ_c	[-]	1,0						

Table C18: Essential characteristics for threaded rods according to Annex A under shear load for seismic performance category C1

Threaded rods according to Annex A			M10	M12	M16	M20	M24	M27	M30
For a working life of 50 and 100 years									
Annular gap factor without Hilti filling set	α_{gap}	[-]	0,5						
Annular gap factor with Hilti filling set	α_{gap}	[-]	1,0						1)
Steel failure without lever arm									
Characteristic resistance HAS 5.8, HAS-U 5.8, HIT-V 5.8	$V_{Rk,s,C1}$	[kN]	0,60 · $A_s \cdot f_{uk}$						
Characteristic resistance HAS 8.8, HAS-U 8.8, HIT-V 8.8, AM 8.8	$V_{Rk,s,C1}$	[kN]	0,50 · $A_s \cdot f_{uk}$						
Characteristic resistance HAS A4, HAS-U A4, HIT-V-R HAS-U HCR, HIT-V-HCR	$V_{Rk,s,C1}$	[kN]	0,50 · $A_s \cdot f_{uk}$						
Characteristic resistance Commercial standard threaded rod	$V_{Rk,s,C1}$	[kN]	0,35 · $A_s \cdot f_{uk}$						

1) No performance assessed.

Injection System Hilti HIT-HY 200-A V3 and HIT-HY 200-R V3

Performances

Essential characteristics under tension and shear load
for seismic performance category C1

Annex C20

Table C19: Essential characteristics for Hilti tension anchor HZA, HZA-R under tension load for seismic performance category C1

Hilti tension anchor HZA, HZA-R			M12	M16	M20	M24	M27
For a working life of 50 and 100 years							
Steel failure							
Characteristic resistance HZA	$N_{Rk,s,C1}$	[kN]	46	86	135	194	253
Characteristic resistance HZA-R	$N_{Rk,s,C1}$	[kN]	62	111	173	248	¹⁾
Partial factor	$\gamma_{Ms,N,C1}$	²⁾ [-]	1,4				
Combined pull-out and concrete cone failure							
Diameter of rebar	d	[mm]	12	16	20	25	28
Characteristic bond resistance in cracked concrete C20/25							
Temperature range I:	24°C/40°C	$\tau_{Rk,C1} = \tau_{Rk,100,C1}$ [N/mm ²]	6,1				
Temperature range II:	50°C/80°C	$\tau_{Rk,C1} = \tau_{Rk,100,C1}$ [N/mm ²]	4,8				
Temperature range III:	72°C/120°C	$\tau_{Rk,C1} = \tau_{Rk,100,C1}$ [N/mm ²]	4,4				
Influence factors ψ on bond resistance $\tau_{Rk,C1}$ and $\tau_{Rk,100,C1}$ in cracked concrete							
Influence of concrete strength class: $\tau_{Rk} = \tau_{Rk,(C20/25)} \cdot \psi_c$							
Temperature range I to III :	ψ_c	[-]	1,0				

¹⁾ No performance assessed.

²⁾ In absence of national regulations.

Table C20: Essential characteristics for Hilti tension anchor HZA, HZA-R under shear load for seismic performance category C1

Hilti tension anchor HZA, HZA-R			M12	M16	M20	M24	M27
For a working life of 50 and 100 years							
Annular gap factor without Hilti filling set	α_{gap}	[-]	0,5				
Annular gap factor with Hilti filling set	α_{gap}	[-]	1,0				
Steel failure without lever arm							
Characteristic resistance HZA	$V_{Rk,s,C1}$	[kN]	16	30	47	68	88
Characteristic resistance HZA-R	$V_{Rk,s,C1}$	[kN]	22	39	60	124	¹⁾
Partial factor	$\gamma_{Ms,V,C1}$	²⁾ [-]	1,5				

¹⁾ No performance assessed.

²⁾ In absence of national regulations.

Injection System Hilti HIT-HY 200-A V3 and HIT-HY 200-R V3

Performances
Essential characteristics under tension and shear load
for seismic performance category C1

Annex C21

Table C21: Essential characteristics for rebar under tension load for seismic performance category C1

Rebar		φ 10	φ 12	φ 14	φ 16	φ 20	φ 25	φ 26	φ 28	φ 30	φ 32	
For a working life of 50 and 100 years												
Steel failure												
Characteristic resistance	$N_{Rk,s,C1}$	[kN]	$A_s \cdot f_{uk}^{1)}$									
Characteristic resistance for rebar B500B acc. to DIN 488-1	$N_{Rk,s,C1}$	[kN]	43	62	85	111	173	270	292	339	388	442
Combined pull-out and concrete cone failure												
Diameter of rebar	d	[mm]	10	12	14	16	20	25	26	28	30	32
Characteristic bond resistance in cracked concrete C20/25												
Temperature range I: 24°C/40°C	$\tau_{Rk,C1} = \tau_{Rk,100,C1}$	[N/mm ²]	4,4	6,1								
Temperature range II: 50°C/80°C	$\tau_{Rk,C1} = \tau_{Rk,100,C1}$	[N/mm ²]	3,5	4,8								
Temperature range III: 72°C/120°C	$\tau_{Rk,C1} = \tau_{Rk,100,C1}$	[N/mm ²]	3	4,4								
Influence factors ψ on bond resistance $\tau_{Rk,C1}$ and $\tau_{Rk,100,C1}$ in cracked concrete												
Influence of concrete strength class: $\tau_{Rk} = \tau_{Rk,(C20/25)} \cdot \psi_c$												
Temperature range I to III :	ψ_c	[-]	1,0									

¹⁾ f_{uk} according to rebar specification

Table C22: Essential characteristics for rebar under shear loads for seismic performance category C1

Rebar		φ 10	φ 12	φ 14	φ 16	φ 20	φ 25	φ 26	φ 28	φ 30	φ 32	
For a working life of 50 and 100 years												
Annular gap factor without Hilti filling set	α_{gap}	[-]	0,5									
Steel failure without lever arm												
Characteristic resistance	$V_{Rk,s,C1}$	[kN]	$0,35 \cdot A_s \cdot f_{uk}^{1)}$									
Characteristic resistance for rebar B500B acc. to DIN 488-1	$V_{Rk,s,C1}$	[kN]	15	22	29	39	60	95	102	118	135	155

¹⁾ f_{uk} according to rebar specification

Injection System Hilti HIT-HY 200-A V3 and HIT-HY 200-R V3

Performances

Essential characteristics under tension and shear load for seismic performance category C1

Annex C22

Table C23: Essential characteristics for threaded rods according to Annex A under tension load for seismic performance category C2

Threaded rods according to Annex A	M12	M16	M20	M24	
For a working life of 50 and 100 years					
Steel failure					
Characteristic resistance HAS (8.8, 8.8 HDG, A4), HAS-U (-8.8, -8.8 HDG, A4, HCR), HIT-V (-8.8, -8.8 F, -,R, HCR), AM (8.8, 8.8 HDG) Threaded rod (electroplated zinc coated 8.8, CRC II, CRC III and CRC V, see Table A1)	$N_{Rk,s,C2}$ [kN]		$A_s \cdot f_{uk}$		
Combined pullout and concrete cone failure					
Characteristic bond resistance in cracked concrete C20/25 in hammer drilled holes and hammer drilled holes with Hilti hollow drill bit TE-CD or TE-YD					
Temperature range I: 24°C/40°C	$\tau_{Rk,C2} = \tau_{Rk,100,C2}$ [N/mm ²]	2,7	4,6	4,6	3,5
Temperature range II: 50°C/80°C	$\tau_{Rk,C2} = \tau_{Rk,100,C2}$ [N/mm ²]	2,3	3,9	3,9	2,9
Temperature range III: 72°C/120°C	$\tau_{Rk,C2} = \tau_{Rk,100,C2}$ [N/mm ²]	2,0	3,3	3,3	2,5
Influence factors ψ on bond resistance $\tau_{Rk,C2}$ and $\tau_{Rk,100,C2}$ in cracked concrete					
Influence of concrete strength class: $\tau_{Rk} = \tau_{Rk,(C20/25)} \cdot \psi_c$					
Temperature range I to III :	ψ_c	[-]		1,0	

Table C24: Essential characteristics for threaded rods according to Annex A under shear load for seismic performance category C2

Threaded rods according to Annex A	M12	M16	M20	M24	
For a working life of 50 and 100 years					
Annular gap factor without Hilti filling set	α_{gap}	[-]		0,5	
Annular gap factor with Hilti filling set	α_{gap}	[-]		1,0	
Steel failure without lever arm with Hilti Filling Set					
Characteristic resistance					
HAS 8.8, HAS-U 8.8, HIT-V 8.8, AM 8.8	$V_{Rk,s,C2}$ [kN]	28	46	77	103
Steel failure without lever arm without Hilti Filling Set					
Characteristic resistance					
HAS 8.8, HAS-U 8.8, HIT-V 8.8, AM 8.8	$V_{Rk,s,C2}$ [kN]	24	40	71	90
HAS A4, HAS-U A4, HIT-V-R	$V_{Rk,s,C2}$ [kN]	21	35	62	79
HAS-U-HCR, HIT-V-HCR	$V_{Rk,s,C2}$ [kN]	24	40	71	79
HAS 8.8 HDG, HAS-U 8.8 HDG, HIT-V-F 8.8, AM-HDG 8.8	$V_{Rk,s,C2}$ [kN]	18	30	46	66
Threaded rod, electroplated zinc coated 8.8	$V_{Rk,s,C2}$ [kN]	17	28	50	63
Threaded rod CRC II and CRC III (Table A1)	$V_{Rk,s,C2}$ [kN]	15	25	43	55
Threaded rod CRC V (Table A1)	$V_{Rk,s,C2}$ [kN]	17	28	50	55

Injection System Hilti HIT-HY 200-A V3 and HIT-HY 200-R V3

Performances

Essential characteristics under tension and shear load
for seismic performance category C2

Annex C23

Table C25: Displacements under tension load for seismic performance category C2

Threaded rods according to Annex A	M12	M16	M20	M24	
Displacement DLS, HAS (8.8, 8.8 HDG, A4), HAS-U (-8.8, -8.8 HDG, A4, HCR), HIT-V (-8.8, -8.8 F, -R, HCR), AM (8.8, 8.8 HDG), Threaded rod (electroplated zinc coated 8.8, CRC II, CRC III and CRC V, see Table A1)	$\delta_{N,C2(DLS)}$ [mm]	0,3	0,4	0,5	0,4
Displacement ULS, HAS (8.8, 8.8 HDG, A4), HAS-U (-8.8, -8.8 HDG, A4, HCR), HIT-V (-8.8, -8.8 F, -R, HCR), AM (8.8, 8.8 HDG), Threaded rod (electroplated zinc coated 8.8, CRC II, CRC III and CRC V, see Table A1)	$\delta_{N,C2(ULS)}$ [mm]	1,2	1,1	0,7	0,9

Table C26: Displacements under shear load for seismic performance category C2

Threaded rods according to Annex A	M12	M16	M20	M24	
Installation with Hilti Filling Set					
Displacement DLS, HAS 8.8, HAS-U 8.8, HIT-V 8.8, AM 8.8	$\delta_{V,C2(DLS)}$ [mm]	0,6	1,2	1,4	1,1
Displacement ULS, HAS 8.8, HAS-U 8.8, HIT-V 8.8, AM 8.8	$\delta_{V,C2(ULS)}$ [mm]	3,1	3,2	3,8	2,6
Installation without Hilti Filling Set					
Displacement DLS, HAS (8.8, A4), HAS-U (-8.8, A4, HCR), HIT-V (-8.8, -R, HCR), AM 8.8, Threaded rod (electroplated zinc coated 8.8, CRC II, CRC III and CRC V, see Table A1)	$\delta_{V,C2(DLS)}$ [mm]	1,9	3,2	2,5	3,5
Displacement DLS, HAS 8.8 HDG, HAS-U 8.8 HDG, HIT-V-F 8.8, AM HDG 8.8	$\delta_{V,C2(DLS)}$ [mm]	2,2	2,3	3,8	3,7
Displacement ULS, HAS (-8.8, A4), HAS-U (-8.8, A4, HCR), HIT-V (-8.8, -R, HCR), AM 8.8, Threaded rod (electroplated zinc coated 8.8, CRC II, CRC III and CRC V, see Table A1)	$\delta_{V,C2(ULS)}$ [mm]	4,4	9,2	7,1	10,2
Displacement ULS, HAS 8.8 HDG, HAS-U 8.8 HDG, HIT-V-F 8.8, AM HDG 8.8	$\delta_{V,C2(ULS)}$ [mm]	4,1	4,3	9,1	8,4

Injection System Hilti HIT-HY 200-A V3 and HIT-HY 200-R V3

Performances

Displacements under tension and shear load
for seismic performance category C2

Annex C24

English translation prepared by DIBt

Characteristic resistance to combined pull-out and concrete failure under fire for concrete strength classes C20/25 to C50/60 for threaded rods for all drilling methods

The characteristic bond resistance $\tau_{Rk,fi}(\theta)$ under fire shall be calculated by using the following equations:

$$\tau_{Rk,fi}(\theta) = k_{fi,p}(\theta) \cdot \tau_{Rk,cr,C20/25}$$

$$\tau_{Rk,fi}(\theta) = k_{fi,p}(\theta) \cdot \tau_{Rk,cr,100,C20/25}$$

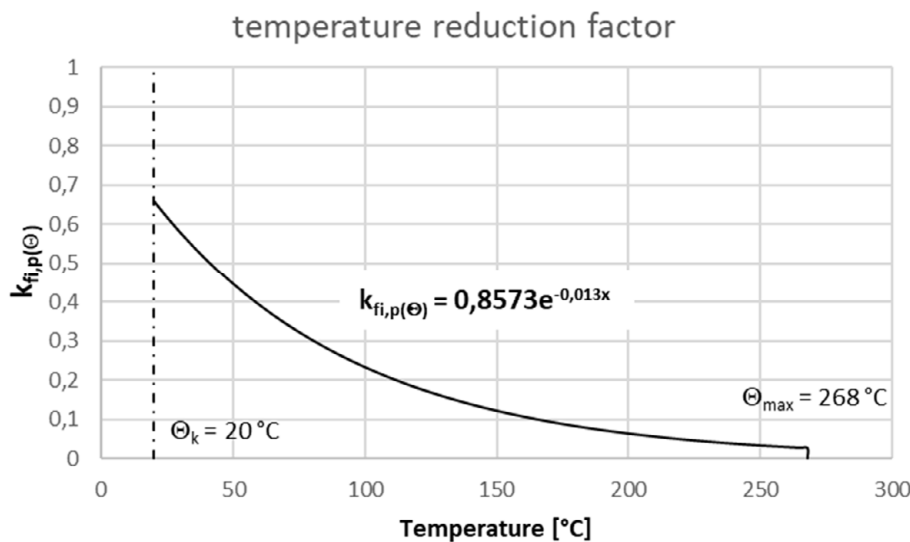
with: $\theta \leq 268 \text{ °C}$: $k_{fi,p}(\theta) = 0,8573 \cdot e^{(-0,013 \cdot \theta)} \leq 1,0$

and $\theta > \theta_{max}$: $k_{fi,p}(\theta) = 0,0$

$$\theta_{max} = 268 \text{ °C}$$

- $\tau_{Rk,fi}(\theta)$ = characteristic bond resistance for cracked concrete under fire exposure for a given temperature
- $k_{fi,p}(\theta)$ = reduction factor for bond resistance under fire conditions
- $\tau_{Rk,cr,C20/25}$ = characteristic bond resistance for cracked concrete C20/25 for a working life of 50 years given in Table C1
- $\tau_{Rk,cr,100,C20/25}$ = characteristic bond resistance for cracked concrete C20/25 for a working life of 100 years given in Table C1

Figure C1 Reduction factor $k_{fi,p}(\theta)$



Injection System Hilti HIT-HY 200-A V3 and HIT-HY 200-R V3

Performances
Characteristic bond resistance under fire conditions

Annex C25

Table C27: Characteristic resistance to steel failure under tension loading for threaded rods in case of fire

Threaded rods according to Annex A		M8	M10	M12	M16	M20	M24	M27	M30
HAS 5.8, HAS-U 5.8, HIT-V 5.8, AM 8.8	$N_{Rk,s,fi(30)}$	1,04	1,80	2,80	5,22	8,15	11,74	15,27	18,67
HAS 5.8 HDG, HAS-U 5.8 HDG, HIT-V-F 5.8, AM-HDG 5.8	$N_{Rk,s,fi(60)}$	0,81	1,36	2,05	3,83	5,98	8,62	11,21	13,70
HAS 8.8, HAS-U 8.8, HIT-V 8.8, AM 8.8	$N_{Rk,s,fi(90)}$	0,58	0,91	1,31	2,44	3,81	5,49	7,14	8,73
HAS 8.8 HDG, HAS-U 8.8 HDG, HIT-V-F 8.8, AM-HDG 8.8	$N_{Rk,s,fi(120)}$	0,47	0,69	0,93	1,74	2,72	3,92	5,10	6,24
HAS A4, HAS-U A4, HIT-V-R HAS-U-HCR, HIT-V-HCR Threaded rod CRC III and Threaded rod CRC V (Table A1)	$N_{Rk,s,fi(30)}$	2,70	4,93	7,93	14,77	23,06	33,23	43,20	52,81
	$N_{Rk,s,fi(60)}$	1,93	3,49	5,56	10,37	16,18	23,31	30,31	37,05
	$N_{Rk,s,fi(90)}$	1,17	2,04	3,20	5,96	9,30	13,40	17,42	21,29
	$N_{Rk,s,fi(120)}$	0,79	1,32	2,01	3,75	5,86	8,44	10,98	13,42

Table C28: Characteristic resistance under tension load for concrete cone failure in case of fire

Threaded rods according to Annex A		M8	M10	M12	M16	M20	M24	M27	M30
HAS 5.8, HAS-U 5.8, HIT-V 5.8, AM 8.8	$N^0_{Rk,c,fi(30)}$ $N^0_{Rk,c,fi(60)}$ $N^0_{Rk,c,fi(90)}$ $N^0_{Rk,c,fi(120)}$ [kN]	$h_{ef}/200 \cdot N^0_{Rk,c} \leq N^0_{Rk,c}$							
HAS 5.8 HDG, HAS-U 5.8 HDG, HIT-V-F 5.8, AM-HDG 5.8									
HAS 8.8, HAS-U 8.8, HIT-V 8.8, AM 8.8									
HAS 8.8 HDG, HAS-U 8.8 HDG, HIT-V-F 8.8, AM-HDG 8.8									
HAS A4, HAS-U A4, HIT-V-R HAS-U-HCR, HIT-V-HCR Threaded rod CRC III and Threaded rod CRC V (Table A1)	$N^0_{Rk,c,fi(120)}$	$0,8 \cdot h_{ef}/200 \cdot N^0_{Rk,c} \leq N^0_{Rk,c}$							
Characteristic spacing	$S_{cr,N,fi}$ [mm]	$4 \cdot h_{ef}$							
Characteristic edge distance	$C_{cr,N,fi}$	$2 \cdot h_{ef}$							

Injection System Hilti HIT-HY 200-A V3 and HIT-HY 200-R V3

Performances

Fire resistance to steel and concrete cone failure under tension loading

Annex C26

Table C29: Characteristic resistance to steel failure under shear loading without lever arm for threaded rods in case of fire

Threaded rods according to Annex A		M8	M10	M12	M16	M20	M24	M27	M30
HAS 5.8, HAS-U 5.8, HIT-V 5.8, AM 8.8	$V_{Rk,s,fi(30)}$	1,04	1,80	2,80	5,22	8,15	11,74	15,27	18,67
HAS 5.8 HDG, HAS-U 5.8 HDG, HIT-V-F 5.8, AM-HDG 5.8	$V_{Rk,s,fi(60)}$	0,81	1,36	2,05	3,83	5,98	8,62	11,21	13,70
HAS 8.8, HAS-U 8.8, HIT-V 8.8, AM 8.8	$V_{Rk,s,fi(30)}$	0,58	0,91	1,31	2,44	3,81	5,49	7,14	8,73
HAS 8.8 HDG, HAS-U 8.8 HDG, HIT-V-F 8.8, AM-HDG 8.8	$V_{Rk,s,fi(120)}$	0,47	0,69	0,93	1,74	2,72	3,92	5,10	6,24
HAS A4, HAS-U A4, HIT-V-R HAS-U-HCR, HIT-V-HCR Threaded rod CRC III and Threaded rod CRC V (Table A1)	$V_{Rk,s,fi(30)}$	2,70	4,93	7,93	14,77	23,06	33,23	43,20	52,81
	$V_{Rk,s,fi(30)}$	1,93	3,49	5,56	10,37	16,18	23,31	30,31	37,05
	$V_{Rk,s,fi(30)}$	1,17	2,04	3,20	5,96	9,30	13,40	17,42	21,29
	$V_{Rk,s,fi(120)}$	0,79	1,32	2,01	3,75	5,86	8,44	10,98	13,42

Table C30: Characteristic resistance to steel failure under shear loading with lever arm for threaded rods in case of fire

Threaded rods according to Annex A		M8	M10	M12	M16	M20	M24	M27	M30
HAS 5.8, HAS-U 5.8, HIT-V 5.8, AM 8.8	$M^0_{Rk,s,fi(30)}$	1,07	2,33	4,36	11,08	21,60	37,36	55,40	74,85
HAS 5.8 HDG, HAS-U 5.8 HDG, HIT-V-F 5.8, AM-HDG 5.8	$M^0_{Rk,s,fi(60)}$	0,83	1,75	3,19	8,13	15,85	27,41	40,65	54,92
HAS 8.8, HAS-U 8.8, HIT-V 8.8, AM 8.8	$M^0_{Rk,s,fi(30)}$	0,60	1,18	2,03	5,18	10,10	17,46	25,90	34,99
HAS 8.8 HDG, HAS-U 8.8 HDG, HIT-V-F 8.8, AM-HDG 8.8	$M^0_{Rk,s,fi(120)}$	0,48	0,89	1,45	3,70	7,22	12,49	18,52	25,03
HAS A4, HAS-U A4, HIT-V-R HAS-U-HCR, HIT-V-HCR Threaded rod CRC III and Threaded rod CRC V (Table A1)	$M^0_{Rk,s,fi(30)}$	2,76	6,35	12,33	31,34	61,10	105,6	156,6	211,7
	$M^0_{Rk,s,fi(30)}$	1,98	4,49	8,65	21,99	42,87	74,14	109,9	148,5
	$M^0_{Rk,s,fi(30)}$	1,20	2,64	4,97	12,64	24,64	42,61	63,19	85,38
	$M^0_{Rk,s,fi(120)}$	0,80	1,71	3,13	7,96	15,52	26,85	39,81	53,80

Injection System Hilti HIT-HY 200-A V3 and HIT-HY 200-R V3

Performances
Fire resistance to steel failure under shear loading

Annex C27

Zulassungsstelle für Bauprodukte und Bauarten

Bautechnisches Prüfamts

Eine vom Bund und den Ländern
gemeinsam getragene Anstalt des öffentlichen Rechts



Europäische Technische Bewertung

ETA-19/0601
vom 2. Juni 2023

Allgemeiner Teil

Technische Bewertungsstelle, die die Europäische Technische Bewertung ausstellt

Handelsname des Bauprodukts

Produktfamilie,
zu der das Bauprodukt gehört

Hersteller

Herstellungsbetrieb

Diese Europäische Technische Bewertung enthält

Diese Europäische Technische Bewertung wird ausgestellt gemäß der Verordnung (EU) Nr. 305/2011, auf der Grundlage von

Diese Fassung ersetzt

Deutsches Institut für Bautechnik

Injektionssystem Hilti HIT-HY 200-A V3 und
HIT-HY 200-R V3

Verbunddübel und Verbundpreisdübel zur Verankerung
im Beton

Hilti Aktiengesellschaft
Feldkircherstrasse 100
9494 SCHAAN
FÜRSTENTUM LIECHTENSTEIN

Hilti Werke

53 Seiten, davon 3 Anhänge, die fester Bestandteil dieser
Bewertung sind.

EAD 330499-02-0601 Edition 04/2023

ETA-19/0601 vom 2. Dezember 2021

Die Europäische Technische Bewertung wird von der Technischen Bewertungsstelle in ihrer Amtssprache ausgestellt. Übersetzungen dieser Europäischen Technischen Bewertung in andere Sprachen müssen dem Original vollständig entsprechen und müssen als solche gekennzeichnet sein.

Diese Europäische Technische Bewertung darf, auch bei elektronischer Übermittlung, nur vollständig und ungekürzt wiedergegeben werden. Nur mit schriftlicher Zustimmung der ausstellenden Technischen Bewertungsstelle kann eine teilweise Wiedergabe erfolgen. Jede teilweise Wiedergabe ist als solche zu kennzeichnen.

Die ausstellende Technische Bewertungsstelle kann diese Europäische Technische Bewertung widerrufen, insbesondere nach Unterrichtung durch die Kommission gemäß Artikel 25 Absatz 3 der Verordnung (EU) Nr. 305/2011.

Besonderer Teil

1 Technische Beschreibung des Produkts

Das Injektionssystem Hilti HIT-HY 200-A V3 und HIT-HY 200-R V3 ist ein Verbunddübel, der aus einem Foliengebinde mit Injektionsmörtel Hilti HIT-HY 200-A V3 oder HIT-HY 200-R V3 und einem Stahlteil gemäß Anhang A besteht.

Das Stahlteil wird in ein mit Injektionsmörtel gefülltes Bohrloch gesteckt und durch Verbund zwischen Stahlteil, Injektionsmörtel und Beton verankert.

Die Produktbeschreibung ist in Anhang A angegeben.

2 Spezifizierung des Verwendungszwecks gemäß dem anwendbaren Europäischen Bewertungsdokument

Von den Leistungen in Abschnitt 3 kann nur ausgegangen werden, wenn der Dübel entsprechend den Angaben und Bedingungen nach Anhang B verwendet wird.

Die Prüf- und Bewertungsmethoden, die dieser Europäischen Technischen Bewertung zu Grunde liegen, führen zur Annahme einer Nutzungsdauer des Dübels von mindestens 50 und / oder 100 Jahren. Die Angabe der Nutzungsdauer kann nicht als Garantie des Herstellers verstanden werden, sondern ist lediglich ein Hilfsmittel zur Auswahl des richtigen Produkts in Bezug auf die angenommene wirtschaftlich angemessene Nutzungsdauer des Bauwerks.

3 Leistung des Produkts und Angaben der Methoden ihrer Bewertung

3.1 Mechanische Festigkeit und Standsicherheit (BWR 1)

Wesentliches Merkmal	Leistung
Charakteristischer Widerstand für Zugbeanspruchung (statische und quasi-statische Einwirkungen)	Siehe Anhang C1 bis C3, C5 bis C6, C8 bis C10, C12 bis C14, B3 bis B7
Charakteristischer Widerstand für Querbeanspruchung (statische und quasi-statische Einwirkungen)	Siehe Anhang C4, C7, C11, C15
Verschiebungen für Kurzzeit- und Langzeiteinwirkungen	Siehe Anhang C16 bis C19
Charakteristischer Widerstand und Verschiebungen für seismische Leitungskategorie C1 und C2	Siehe Anhang C20 bis C24

3.2 Safety in case of fire (BWR 2)

Wesentliches Merkmal	Performance
Brandverhalten	Klasse A1
Feuerwiderstand	Siehe Anhang C25 bis C27

3.3 Hygiene, Gesundheit und Umweltschutz (BWR 3)

Wesentliches Merkmal	Leistung
Inhalt, Emission und/oder Freisetzung von gefährlichen Stoffen	Leistung nicht bewertet

4 Angewandtes System zur Bewertung und Überprüfung der Leistungsbeständigkeit mit der Angabe der Rechtsgrundlage

Gemäß EAD 330499-02-0601 gilt folgende Rechtsgrundlage: [96/582/EG].

Folgendes System ist anzuwenden: 1

5 Für die Durchführung des Systems zur Bewertung und Überprüfung der Leistungsbeständigkeit erforderliche technische Einzelheiten gemäß anwendbarem Europäischen Bewertungsdokument

Technische Einzelheiten, die für die Durchführung des Systems zur Bewertung und Überprüfung der Leistungsbeständigkeit notwendig sind, sind Bestandteil des Prüfplans, der beim Deutschen Institut für Bautechnik hinterlegt ist.

Folgende Normen und Dokumente werden in dieser Europäischen Technischen Bewertung in Bezug genommen:

- EN 1992-1-1:2004 + AC:2010 Eurocode 2: Bemessung und Konstruktion von Stahlbeton- und Spannbetontragwerken - Teil 1-1: Allgemeine Bemessungsregeln und Regeln für den Hochbau
- EN 1992-4:2018 Eurocode 2 - Bemessung und Konstruktion von Stahlbeton- und Spannbetontragwerken - Teil 4: Bemessung der Verankerung von Befestigungen in Beton
- EN 1993-1-4:2006 + A1:2015 Eurocode 3: Bemessung und Konstruktion von Stahlbauten - Teil 1-4: Allgemeine Bemessungsregeln - Ergänzende Regeln zur Anwendung von nichtrostenden Stählen
- EN 10088-1:2014 Nichtrostende Stähle - Teil 1: Verzeichnis der nichtrostenden Stähle
- EN 206:2013 + A1:2016 Beton - Festlegung, Eigenschaften, Herstellung und Konformität
- EN 10204:2004 Metallische Erzeugnisse – Arten von Prüfbescheinigungen
- DIN 488-1:2009-08 Betonstahl – Teil 1: Stahlsorten, Eigenschaften, Kennzeichnung
- EOTA TR 055 Design of fastenings based on EAD 330232-00-0601, EAD 330499-00-0601 and EAD 330747-00-0601, Februar 2018
- EOTA TR 082 Design of bonded fasteners in concrete under fire conditions, August 2022

Ausgestellt in Berlin am 2 Juni 2023 vom Deutschen Institut für Bautechnik

Dipl.-Ing. Beatrix Wittstock
Referatsleiterin

Beglaubigt
Stiller

Einbauzustand

Bild A1:

Gewindestange, HAS..., HAS-U..., HIT-V-... und AM 8.8

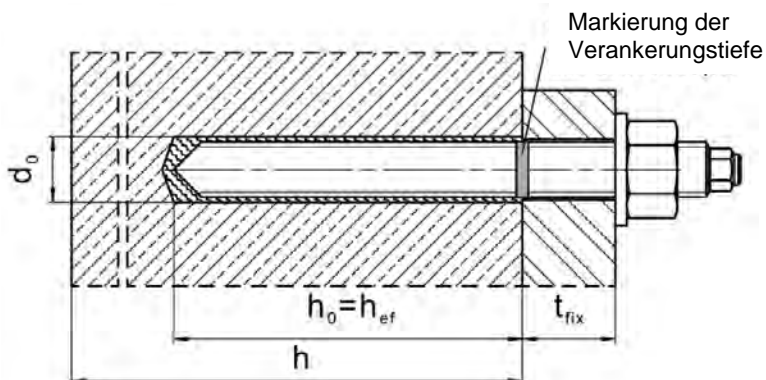


Bild A2:

Gewindestange, HAS..., HAS-U..., HIT-V-... und AM 8.8 mit Hilti Verfüll-Set

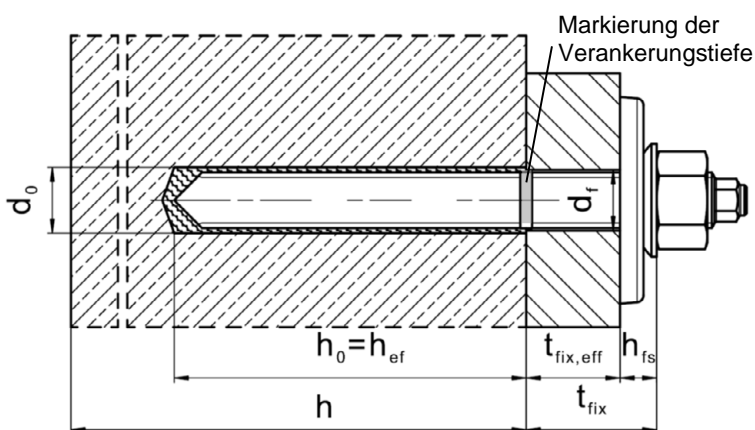
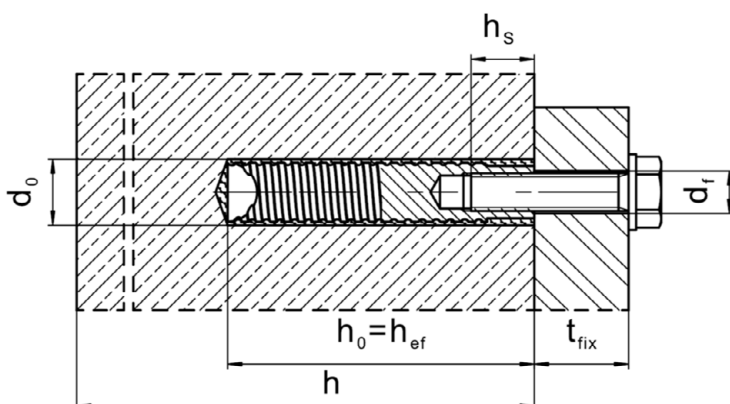


Bild A3:

Innengewindehülse HIS-(R)N



Injektionssystem Hilti HIT-HY 200-A V3 und HIT-HY 200-R V3

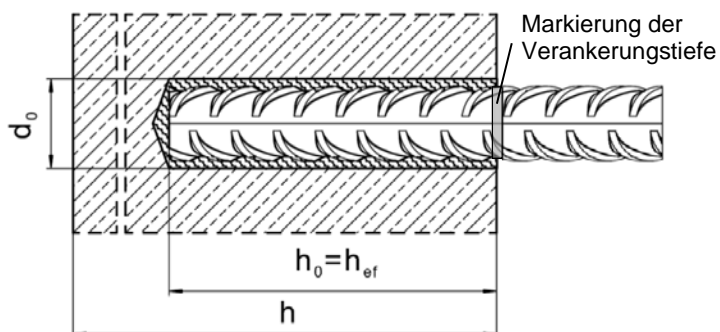
Produktbeschreibung
Einbauzustand

Anhang A1

Einbauzustand

Bild A4:

Betonstahl



Injektionssystem Hilti HIT-HY 200-A V3 und HIT-HY 200-R V3

Produktbeschreibung
Einbauzustand

Anhang A2

Produktbeschreibung: Injektionsmörtel und Stahlelemente

**Injektionsmörtel Hilti HIT-HY 200-A V3 und HIT-HY 200-R V3: Hybridsystem mit Zuschlag
330 ml und 500 ml**

Kennzeichnung:
HILTI HIT
HY 200-A V3
Produktionszeit und Produktionslinie
Verfallsdatum mm/yyyy



Produktname: "Hilti HIT-HY 200-A V3"

Kennzeichnung:
HILTI HIT
HY 200-R V3
Produktionszeit und Produktionslinie
Verfallsdatum mm/yyyy



Produktname: "Hilti HIT-HY 200-R V3"

Statikmischer Hilti HIT-RE-M

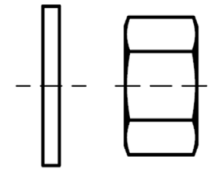
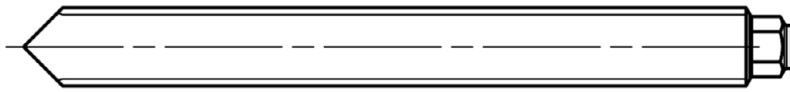


Injektionssystem Hilti HIT-HY 200-A V3 und HIT-HY 200-R V3

Produktbeschreibung
Injektionsmörtel / Statikmischer

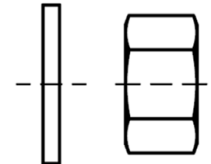
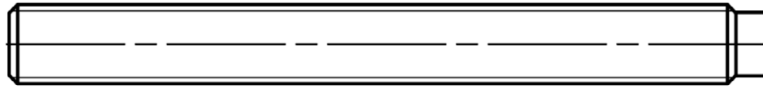
Anhang A3

Stahlelemente



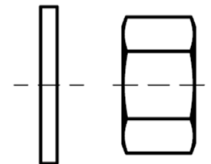
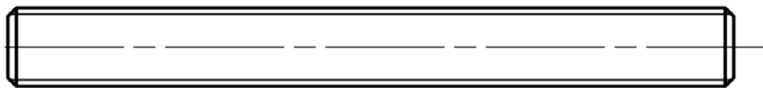
HAS-U-...: M8 bis M30

Scheibe Mutter



HIT-V-...: M8 bis M30

Scheibe Mutter



HAS...: M8 bis M30

Gewindestange: M8 bis M30

Hilti AM 8.8 Gewindestange Meterware galvanisch verzinkt: M8 bis M30, 1m bis 3m

Hilti AM HDG 8.8 Gewindestange Meterware feuerverzinkt: M8 bis M30, 1m bis 3m

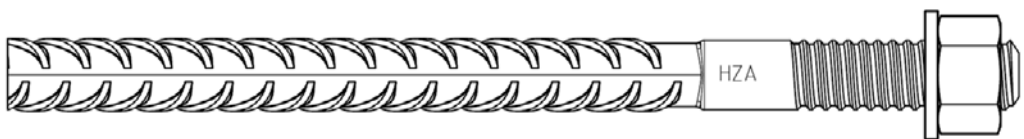
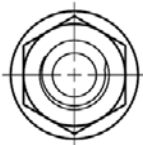
Handelsübliche Gewindestange:

- Werkstoffe und mechanische Eigenschaften nach Tabelle A1.
- Abnahmeprüfzeugnis 3.1 nach EN 10204. Die Dokumente sind aufzubewahren.
- Markierung der Verankerungstiefe.

Scheibe Mutter



Innengewindehülse: HIS-(R)N M8 bis M20



Hilti Zuganker: HZA M12 bis M27 und HZA-R M12 bis M24



Betonstahl (rebar): ϕ 8 bis ϕ 32

- Werkstoffe und mechanische Eigenschaften nach Tabelle A1
- Maße nach Anhang B7

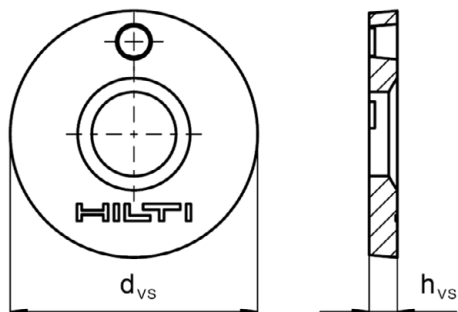
Injektionssystem Hilti HIT-HY 200-A V3 und HIT-HY 200-R V3

Produktbeschreibung
Stahlelemente

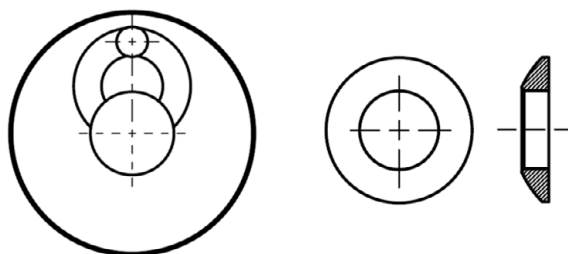
Anhang A4

Hilti Verfüll-Set zum Verfüllen des Ringspalts zwischen Stahlelement und Anbauteil

Verschlusscheibe



Kugelscheibe



Hilti Verfüll-Set		M10	M12	M16	M20	M24
Durchmesser der Verschlusscheibe d_{vs}	[mm]	42	44	52	60	70
Höhe der Verschlusscheibe h_{vs}	[mm]	5	5	6	6	6
Höhe des Verfüll-Sets h_{is}	[mm]	9	10	11	13	15

Injektionssystem Hilti HIT-HY 200-A V3 und HIT-HY 200-R V3

Produktbeschreibung
Hilti Verfüll-Set

Anhang A5

Tabelle A1: Werkstoffe

Bezeichnung	Werkstoff
Betonstahl (rebar)	
Betonstahl EN 1992-1-1, Anhang C	Stäbe und Betonstabstahl vom Ring Klasse B oder C mit f_{yk} und k nach NDP oder NCI des EN 1992-1-1/NA $f_{uk} = f_{tk} = k \cdot f_{yk}$.
Stahlelemente aus verzinktem Stahl	
HAS 5.8 (HDG) HAS-U-5.8 (HDG), HIT-V-5.8(F), Gewindestange 5.8	Festigkeitsklasse 5.8, $f_{uk} = 500 \text{ N/mm}^2$, $f_{yk} = 400 \text{ N/mm}^2$, Bruchdehnung ($l_0=5d$) > 8% duktil. Galvanisch verzinkt $\geq 5 \mu\text{m}$, (F) oder (HDG) feuerverzinkt $\geq 50 \mu\text{m}$.
Gewindestange 6.8	Festigkeitsklasse 6.8, $f_{uk} = 600 \text{ N/mm}^2$, $f_{yk} = 480 \text{ N/mm}^2$, Bruchdehnung ($l_0=5d$) > 8% duktil. Galvanisch verzinkt $\geq 5 \mu\text{m}$ oder feuerverzinkt $\geq 50 \mu\text{m}$.
HAS 8.8 (HDG), HAS-U 8.8 (HDG), HIT-V-8.8(F), Gewindestange 8.8	Festigkeitsklasse 8.8, $f_{uk} = 800 \text{ N/mm}^2$, $f_{yk} = 640 \text{ N/mm}^2$, Bruchdehnung ($l_0=5d$) > 12% duktil. Galvanisch verzinkt $\geq 5 \mu\text{m}$, (F) oder (HDG) feuerverzinkt $\geq 50 \mu\text{m}$.
Hilti Meter Stange AM 8.8 (HDG)	Festigkeitsklasse 8.8, $f_{uk} = 800 \text{ N/mm}^2$, $f_{yk} = 640 \text{ N/mm}^2$ Bruchdehnung ($l_0 = 5d$) > 12% duktil. Galvanisch verzinkt $\geq 5 \mu\text{m}$, (HDG) feuerverzinkt $\geq 50 \mu\text{m}$.
Hilti Zuganker HZA	Rundstahl mit Gewinde: galvanisch verzinkt $\geq 5 \mu\text{m}$. Betonstahl: Betonstabstahl Klasse B gemäß NDP oder NCI des EN 1992-1-1/NA.
Innengewindehülse HIS-N	Galvanisch verzinkt $\geq 5 \mu\text{m}$.
Scheibe	Galvanisch verzinkt $\geq 5 \mu\text{m}$, feuerverzinkt $\geq 50 \mu\text{m}$.
Mutter	Festigkeit der Mutter abgestimmt auf die Festigkeit der Gewindestange. Galvanisch verzinkt $\geq 5 \mu\text{m}$, (F) feuerverzinkt $\geq 50 \mu\text{m}$.
Hilti Verfüll-Set (F)	Verschlusscheibe: Galvanisch verzinkt $\geq 5 \mu\text{m}$, (F) feuerverzinkt $\geq 45 \mu\text{m}$. Kugelscheibe: Galvanisch verzinkt $\geq 5 \mu\text{m}$, (F) feuerverzinkt $\geq 50 \mu\text{m}$. Sicherungsmutter: Galvanisch verzinkt $\geq 5 \mu\text{m}$, (F) Galvanische Zink-Nickel Beschichtung $\geq 6 \mu\text{m}$.

Injektionssystem Hilti HIT-HY 200-A V3 und HIT-HY 200-R V3

Produktbeschreibung
Werkstoffe

Anhang A6

Tabelle A1: fortgesetzt

Stahlelemente aus nichtrostendem Stahl der Korrosionsbeständigkeitsklasse (CRC) II gemäß EN 1993-1-4	
Gewindestange	Für ≤ M24: Festigkeitsklasse 70, $f_{uk} = 700 \text{ N/mm}^2$, $f_{yk} = 450 \text{ N/mm}^2$; Für > M24: Festigkeitsklasse 50, $f_{uk} = 500 \text{ N/mm}^2$, $f_{yk} = 210 \text{ N/mm}^2$; Bruchdehnung ($l_0=5d$) > 12% duktil. Nichtrostender Stahl 1.4301, 1.4307, 1.4311, 1.4541, 1.4306, 1.4567 EN 10088-1
Scheibe	Nichtrostender Stahl 1.4301, 1.4307, 1.4311, 1.4541, 1.4306, 1.4567 EN 10088-1
Mutter	Für ≤ M24: Festigkeitsklasse 70, $f_{uk} = 700 \text{ N/mm}^2$, $f_{yk} = 450 \text{ N/mm}^2$; Für > M24: Festigkeitsklasse 50, $f_{uk} = 500 \text{ N/mm}^2$, $f_{yk} = 210 \text{ N/mm}^2$; Nichtrostender Stahl 1.4301, 1.4307, 1.4311, 1.4541, 1.4306, 1.4567 EN 10088-1
Stahlelemente aus nichtrostendem Stahl der Korrosionsbeständigkeitsklasse (CRC) III gemäß EN 1993-1-4	
HAS A4 HAS-U A4, HIT-V-R	Für ≤ M24: Festigkeitsklasse 70, $f_{uk} = 700 \text{ N/mm}^2$, $f_{yk} = 450 \text{ N/mm}^2$; Für > M24: Festigkeitsklasse 50, $f_{uk} = 500 \text{ N/mm}^2$, $f_{yk} = 210 \text{ N/mm}^2$; Bruchdehnung ($l_0=5d$) > 12% duktil.
Gewindestange	Für ≤ M24: Festigkeitsklasse 70, $f_{uk} = 700 \text{ N/mm}^2$, $f_{yk} = 450 \text{ N/mm}^2$; Für > M24: Festigkeitsklasse 50, $f_{uk} = 500 \text{ N/mm}^2$, $f_{yk} = 210 \text{ N/mm}^2$; Bruchdehnung ($l_0=5d$) > 12% duktil. Nichtrostender Stahl 1.4401, 1.4404, 1.4578, 1.4571, 1.4439, 1.4362 EN 10088-1
Hilti Zuganker HZA-R	Rundstahl mit Gewinde: Nichtrostender Stahl 1.4404, 1.4362, 1.4571 EN 10088-1 Betonstahl: Betonstabstahl Klasse B gemäß NDP oder NCI des EN 1992-1-1/NA.
Innengewindehülse HIS-RN	Nichtrostender Stahl 1.4401, 1.4571 EN 10088-1
Scheibe	Nichtrostender Stahl 1.4401, 1.4404, 1.4578, 1.4571, 1.4439, 1.4362 EN 10088-1
Mutter	Für ≤ M24: Festigkeitsklasse 70, $f_{uk} = 700 \text{ N/mm}^2$, $f_{yk} = 450 \text{ N/mm}^2$; Für > M24: Festigkeitsklasse 50, $f_{uk} = 500 \text{ N/mm}^2$, $f_{yk} = 210 \text{ N/mm}^2$; Nichtrostender Stahl 1.4401, 1.4404, 1.4578, 1.4571, 1.4439, 1.4362 EN 10088-1
Hilti Verfüll-Set A4	Verschluss Scheibe: Nichtrostender Stahl gemäß EN 10088-1 Kugelscheibe: Nichtrostender Stahl gemäß EN 10088-1 Sicherungsmutter: Nichtrostender Stahl gemäß EN 10088-1
Stahlelemente aus hochkorrosionsbeständigem Stahl der Korrosionsbeständigkeitsklasse (CRC) V gemäß EN 1993-1-4	
HAS-U HCR, HIT-V-HCR	Für ≤ M20: $f_{uk} = 800 \text{ N/mm}^2$, $f_{yk} = 640 \text{ N/mm}^2$; Für > M20: $f_{uk} = 700 \text{ N/mm}^2$, $f_{yk} = 400 \text{ N/mm}^2$; Bruchdehnung ($l_0=5d$) > 12% duktil.
Gewindestange	Für ≤ M20: $f_{uk} = 800 \text{ N/mm}^2$, $f_{yk} = 640 \text{ N/mm}^2$; Für > M20: $f_{uk} = 700 \text{ N/mm}^2$, $f_{yk} = 400 \text{ N/mm}^2$; Bruchdehnung ($l_0=5d$) > 12% duktil Hochkorrosionsbeständiger Stahl 1.4529, 1.4565 EN 10088-1
Scheibe	Hochkorrosionsbeständiger Stahl 1.4529, 1.4565 EN 10088-1
Mutter	Für ≤ M20: $f_{uk} = 800 \text{ N/mm}^2$, $f_{yk} = 640 \text{ N/mm}^2$; Für > M20: $f_{uk} = 700 \text{ N/mm}^2$, $f_{yk} = 400 \text{ N/mm}^2$; Hochkorrosionsbeständiger Stahl 1.4529, 1.4565 EN 10088-1

Injektionssystem Hilti HIT-HY 200-A V3 und HIT-HY 200-R V3

Produktbeschreibung
Werkstoffe

Anhang A7

Spezifizierung des Verwendungszwecks

Beanspruchung der Verankerung:

- Statische und quasi-statische Belastung.
- Seismische Leistungskategorie C1 und C2 (siehe Tabelle B1).
- Brandbeanspruchung: Gewindestange Größe M8 bis M30

Verankerungsgrund:

- Verdichteter bewehrter oder unbewehrter Normalbeton ohne Fasern nach EN 206.
- Festigkeitsklassen C20/25 bis C50/60 nach EN 206.
- Gerissener und ungerissener Beton.

Temperatur im Verankerungsgrund:









- **Beim Einbau**
-10 °C bis +40 °C für die übliche Temperaturveränderung nach dem Einbau
- **Im Nutzungszustand**
Temperaturbereich I: -40 °C bis +40 °C
(max. Langzeittemperatur +24 °C und max. Kurzzeittemperatur +40 °C)
Temperaturbereich II: -40 °C bis +80 °C
(max. Langzeittemperatur +50 °C und max. Kurzzeittemperatur +80 °C)
Temperaturbereich III: -40 °C bis +120 °C
(max. Langzeittemperatur +72 °C und max. Kurzzeittemperatur +120 °C)

Injektionssystem Hilti HIT-HY 200-A V3 und HIT-HY 200-R V3

Verwendungszweck
Spezifizierung

Anhang B1

Tabelle B1: Spezifikationen des Verwendungszweckes

Stahlelemente	HIT-HY 200-A V3 und HIT-HY 200-R V3 mit ...			
	Gewindestangen entsprechend Anhang A 	Betonstahl 	HZA(-R) 	HIS-(R)N 
Hammerbohren mit Hohlbohrer TE-CD oder TE-YD 	✓	✓	✓	✓
Hammerbohren 	✓	✓	✓	✓
Diamantbohren mit Aufrauhwerkzeug TE-YRT  	✓	✓	✓	✓
Installation im wassergefülltem Bohrloch	✓	✓	✓	- ¹⁾
Statische und quasistatische Belastung in ungerissenem Beton	M8 bis M30	φ 8 bis φ 32	M12 bis M27	M8 bis M20
Statische und quasistatische Belastung in gerissenem Beton	M8 bis M30	φ 10 bis φ 32	M12 bis M27	M8 bis M20
Seismische Leistungskategorie C1	M10 bis M30	φ 10 bis φ 32	M12 bis M27	- ¹⁾
Seismische Leistungskategorie C2	M12 bis M24, HAS (8.8, -8.8 HDG, A4) HAS-U (-8.8, -8.8 HDG, A4, HCR), HIT-V (-8.8, -8.8 F, -,R, HCR), AM (8.8, 8.8 HDG), Gewindestange (galvanisch verzinkt 8.8 und CRC III, V, Tabelle A1)	- ¹⁾	- ¹⁾	- ¹⁾
Nutzungsdauer 50 oder 100 Jahre	50 und 100	50 und 100	50 und 100	50
Brandbeanspruchung	Stahlelemente aus verzinktem Stahl und nichtrostendem Stahl CRC III und CRC V nach Tabelle A1	- ¹⁾	- ¹⁾	- ¹⁾

¹⁾ Leistung nicht bewertet.

Injektionssystem Hilti HIT-HY 200-A V3 und HIT-HY 200-R V3

Verwendungszweck
Spezifizierung

Anhang B2

Anwendungsbedingungen (Umweltbedingungen):

- Bauteile unter den Bedingungen trockener Innenräume (alle Stahlsorten).
- Für alle anderen Bedingungen entsprechend EN 1993-1-4 Korrosionsbeständigkeitsklasse nach Tabelle A1 (nichtrostende Stähle).

Bemessung:

- Die Befestigungen müssen unter der Verantwortung eines auf dem Gebiet der Verankerungen und des Betonbaus erfahrenen Ingenieurs bemessen werden.
- Unter Berücksichtigung der zu verankernden Lasten sind prüfbare Berechnungen und Konstruktionszeichnungen anzufertigen. Auf den Konstruktionszeichnungen ist die Lage des Befestigungselements (z.B. Lage des Befestigungselements zur Bewehrung oder zu den Auflagern usw.) anzugeben.
- Die Bemessung der Verankerungen erfolgt in Übereinstimmung mit: EN 1992-4 und EOTA Technical Report TR 055.
- Bemessung unter Brandbeanspruchung in Übereinstimmung mit: EOTA Technical Report TR 082

Einbau:

- Nutzungskategorie I1: Montage und Verwendung in trockenem oder feuchtem Beton (nicht in mit Wasser gefüllten Bohrlöchern) für alle Bohrverfahren.
- Nutzungskategorie I2: Montage im wassergefüllten Bohrloche (kein Meerwasser) und Verwendung in trockenem oder feuchtem Beton für Hammerbohren und Hammerbohren mit Hilti Hohlbohrer TE-CD, TE-YD
- Bohrverfahren:
 - Hammerbohren,
 - Hammerbohren mit Hilti Hohlbohrer TE-CD, TE-YD,
 - Diamantbohren mit nachfolgendem Aufrauen mit Hilti Aufrauwerkzeug TE-YRT.
- Montagerichtung D3: vertikal nach unten, horizontal und vertikal nach oben (z.B. Überkopf) für alle Elemente zulässig.
- Der Einbau erfolgt durch entsprechend geschulten Personals unter der Aufsicht des Bauleiters.

Injektionssystem Hilti HIT-HY 200-A V3 und HIT-HY 200-R V3

Verwendungszweck
Spezifizierung

Anhang B3

Tabelle B2: Montagekennwerte Gewindestangen entsprechend Anhang A

Gewindestangen entsprechend Anhang A			M8	M10	M12	M16	M20	M24	M27	M30
Elementdurchmesser	d	[mm]	8	10	12	16	20	24	27	30
Bohrerinnendurchmesser	d ₀	[mm]	10	12	14	18	22	28	30	35
Wirksame Verankerungstiefe und Bohrlochtiefe	h _{ef} = h ₀	[mm]	60 bis 160	60 bis 200	70 bis 240	80 bis 320	90 bis 400	96 bis 480	108 bis 540	120 bis 600
Maximaler Durchmesser des Durchgangslochs im Anbauteil	d _f	[mm]	9	12	14	18	22	26	30	33
Höhe des Verfüll-Sets	h _{fs}	[mm]	-	9	10	11	13	15	-	-
Effektive Anbauteildicke mit Hilti Verfüll-Set	t _{fix,eff}	[mm]	$t_{fix,eff} = t_{fix} - h_{fs}$							
Minimale Bauteildicke	h _{min}	[mm]	$h_{ef} + 30$ ≥ 100 mm			$h_{ef} + 2 \cdot d_0$				
Maximales Anzugsdrehmoment	max T _{inst}	[Nm]	10	20	40	80	150	200	270	300
Minimaler Achsabstand	s _{min}	[mm]	40	50	60	75	90	115	120	140
Minimaler Randabstand	c _{min}	[mm]	40	45	45	50	55	60	75	80

HAS-U...



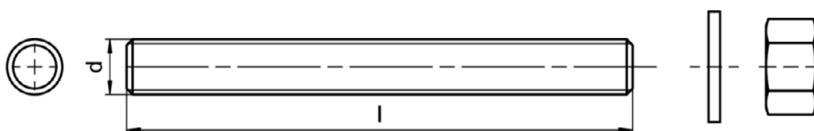
Kennzeichnung:
Zahl für Festigkeitsklasse und Buchstabe zur Längenidentifikation: z. B. 8L.

HAS..., HIT-V...



HIT-V Kennzeichnung:
5.8 - l = HIT-V-5.8 M...x l
5.8F - l = HIT-V-5.8F M...x l
8.8 - l = HIT-V-8.8 M...x l
8.8F - l = HIT-V-8.8F M...x l
R - l = HIT-V-R M...x l
HCR - l = HIT-V-HCR M...x l

Hilti Gewindestange Meterware AM (HDG) 8.8



HAS Farbkennzeichnung:
5.8 = RAL 5010 (blau)
8.8 = RAL 1023 (gelb)
A4 = RAL 3000 (rot)

Injektionssystem Hilti HIT-HY 200-A V3 und HIT-HY 200-R V3

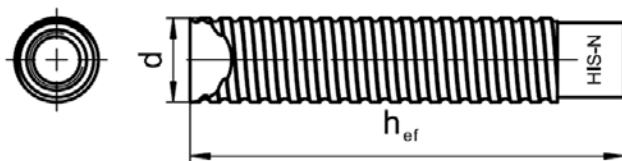
Verwendungszweck
Montagekennwerte für Gewindestange, HAS-U-..., HIT-V-... und AM 8.8

Anhang B4

Tabelle B3: Montagekennwerte Innengewindehülse HIS-(R)N

Innengewindehülse HIS-(R)N...			M8	M10	M12	M16	M20
Außendurchmesser Hülse	d	[mm]	12,5	16,5	20,5	25,4	27,6
Bohrerinnendurchmesser	d ₀	[mm]	14	18	22	28	32
Wirksame Verankerungstiefe und Bohrlochtiefe	h _{ef} = h ₀	[mm]	90	110	125	170	205
Maximaler Durchmesser des Durchgangslochs im Anbauteil	d _f	[mm]	9	12	14	18	22
Minimale Bauteildicke	h _{min}	[mm]	120	150	170	230	270
Maximales Anzugsdrehmoment	max T _{inst}	[Nm]	10	20	40	80	150
Einschraubtiefe min-max	h _s	[mm]	8-20	10-25	12-30	16-40	20-50
Minimaler Achsabstand	s _{min}	[mm]	60	75	90	115	130
Minimaler Randabstand	c _{min}	[mm]	40	45	55	65	90

Innengewindehülse HIS-(R)N...



Kennzeichnung:

Identifizierung - HILTI und
Prägung "HIS-N" (für C-Stahl)
Prägung "HIS-RN" (für rostfreien Stahl)

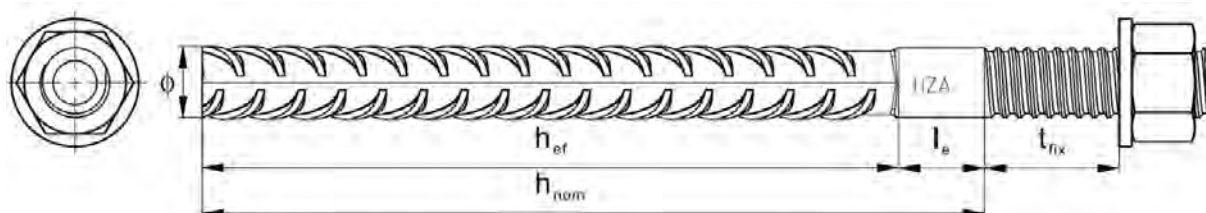
Injektionssystem Hilti HIT-HY 200-A V3 und HIT-HY 200-R V3

Verwendungszweck
Montagekennwerte für Innengewindehülse HIS-(R)N

Anhang B5

Tabelle B4: Montagekennwerte Hilti Zuganker HZA und HZA-R

Hilti Zuganker HZA			M12	M16	M20	M24	M27
Hilti Zuganker HZA-R			M12	M16	M20	M24	-
Betonstahl Durchmesser	ϕ	[mm]	12	16	20	25	28
Nominelle Einbindetiefe und Bohrlochtiefe HZA	$h_{nom} = h_0$	[mm]	90 bis 240	100 bis 320	110 bis 400	120 bis 500	140 bis 560
Nominelle Einbindetiefe und Bohrlochtiefe HZA-R	$h_{nom} = h_0$	[mm]	170 bis 240	180 bis 320	190 bis 400	200 bis 500	-
Wirksame Verankerungstiefe ($h_{ef} = h_{nom} - l_e$) HZA	h_{ef}	[mm]	$h_{nom} - 20$				
Wirksame Verankerungstiefe ($h_{ef} = h_{nom} - l_e$) HZA-R	h_{ef}	[mm]	$h_{nom} - 100$				
Länge des glatten Schaftes HZA	l_e	[mm]	20				
Länge des glatten Schaftes HZA-R	l_e	[mm]	100				
Bohrerinnendurchmesser	d_0	[mm]	16	20	25	32	35
Maximaler Durchmesser des Durchgangslochs im Anbauteil	d_f	[mm]	14	18	22	26	30
Höhe des Verfüll-Sets	h_{fs}	[mm]	10	11	13	15	-
Effektive Anbauteildicke mit Hilti Verfüll-Set	$t_{fix,eff}$	[mm]	$t_{fix,eff} = t_{fix} - h_{fs}$				
Maximales Anzugsdrehmoment	$\max T_{inst}$	[Nm]	40	80	150	200	270
Minimale Bauteildicke	h_{min}	[mm]	$h_{nom} + 2 \cdot d_0$				
Minimaler Achsabstand	s_{min}	[mm]	65	80	100	130	140
Minimaler Randabstand	c_{min}	[mm]	45	50	55	60	75



Kennzeichnung:
Prägung "HZA(-R)" M .. / t_{fix}

Injektionssystem Hilti HIT-HY 200-A V3 und HIT-HY 200-R V3

Verwendungszweck
Montagekennwerte für Hilti Zuganker HZA und HZA-R

Anhang B6

Tabelle B5: Montagekennwerte Betonstahl

Betonstahl (rebar)			φ 8	φ 10	φ 12	φ 14	φ 16	φ 20	φ 25	φ 26	φ 28	φ 30	φ 32
Durchmesser	φ	[mm]	8	10	12	14	16	20	25	26	28	30	32
Wirksame Verankerungstiefe und Bohrlochtiefe	$h_{ef} = h_0$	[mm]	60 bis 160	60 bis 200	70 bis 240	75 bis 280	80 bis 320	90 bis 400	100 bis 500	104 bis 520	112 bis 560	120 bis 600	128 bis 640
Nenn Durchmesser des Bohrer	d_0	[mm]	10 / 12 ¹⁾	12 / 14 ¹⁾	14 ¹⁾ / 16 ¹⁾	18	20	25	32	32	35	37	40
Minimale Bauteildicke	h_{min}	[mm]	$h_{ef} + 30$ ≥ 100 mm				$h_{ef} + 2 \cdot d_0$						
Minimaler Achsabstand	s_{min}	[mm]	40	50	60	70	80	100	125	130	140	150	160
Minimaler Randabstand	c_{min}	[mm]	40	45	45	50	50	65	70	75	75	80	80

¹⁾ Beide angegebenen Durchmesser können verwendet werden.

Betonstahl



Für Betonstahl

- Mindestwerte der bezogenen Rippenfläche $f_{R,min}$ nach EN 1992-1-1
- Die Rippenhöhe des Betonstahls h_{rib} soll im folgenden Bereich liegen $0,05 \cdot \phi \leq h_{rib} \leq 0,07 \cdot \phi$
(ϕ : Nomineller Durchmesser des Betonstahls; h_{rib} : Rippenhöhe des Betonstahls)

Injektionssystem Hilti HIT-HY 200-A V3 und HIT-HY 200-R V3

Verwendungszweck
Montagekennwerte Betonstahl

Anhang B7

Tabelle B6: Maximale Verarbeitungszeit und min. Aushärtezeit

Temperatur im Verankerungsgrund T ¹⁾	HIT-HY 200-A V3		HIT-HY 200-R V3	
	Maximale Verarbeitungszeit t _{work}	Minimale Aushärtezeit t _{cure}	Maximale Verarbeitungszeit t _{work}	Minimale Aushärtezeit t _{cure}
-10 °C bis -5 °C	1,5 h	7 h	3 h	20 h
> -5 °C bis 0 °C	50 min	4 h	1,5 h	8 h
> 0 °C bis 5 °C	25 min	2 h	45 min	4 h
>5 °C bis 10 °C	15 min	75 min	30 min	2,5 h
>10 °C bis 20 °C	7 min	45 min	15 min	1,5 h
>20 °C bis 30 °C	4 min	30 min	9 min	1 h
>30 °C bis 40 °C	3 min	30 min	6 min	1 h











¹⁾ Die Temperatur des Foliengabandes darf 0 °C nicht unterschreiten.

Injektionssystem Hilti HIT-HY 200-A V3 und HIT-HY 200-R V3

Verwendungszweck
Maximale Verarbeitungszeit und minimale Aushärtezeit

Anhang B8

Tabelle B7: Angaben zu Bohr-, Reinigungs- und Setzwerkzeugen

Stahlelemente				Bohren und Reinigen					Installation
Gewindestangen (Anhang A)	HIS-(R)N	Beton- stahl	HZA(-R)	Hammerbohren		Diamantbohren		Bürste	Stau- zapfen
									
Größe	Größe	Größe	Größe	d ₀ [mm]	d ₀ [mm]	d ₀ [mm]	d ₀ [mm]	HIT-RB	HIT-SZ
M8	-	φ8	-	10	-	-	-	10	-
M10	-	φ8 / φ10	-	12	12	-	-	12	12
M12	M8	φ10 / φ12	-	14	14	-	-	14	14
-	-	φ12	M12	16	16	-	-	16	16
M16	M10	φ14	-	18	18	18	18	18	18
-	-	φ16	M16	20	20	20	20	20	20
M20	M12	-	-	22	22	22	22	22	22
-	-	φ20	M20	25	25	25	25	25	25
M24	M16	-	-	28	28	28	28	28	28
M27	-	-	-	30	-	30	30	30	30
-	M20	φ25 / φ26	M24	32	32	32	32	32	32
M30	-	φ28	M27	35	35	35	35	35	35
-	-	φ30	-	37	-	-	-	37	37
-	-	φ32	-	40	-	-	-	40	40

¹⁾ Mit Staubsauger Hilti VC 10/20/40 (automatische Filterreinigung aktiviert, ECO-Modus aus) oder einem Staubsauger, der in Kombination mit den spezifizierten Hilti Hohlbohrern TE-CD oder TE-YD eine gleichwertige Reinigungsleistung liefert.

Reinigungsalternativen.

Handreinigung (MC):

Hilti-Handausblaspumpe zum Ausblasen von Bohrlöchern bis zu einem Durchmesser von $d_0 \leq 20$ mm und einer Bohrlochtiefe von $h_0 \leq 10 \cdot d_0$.



Druckluftreinigung (CAC):

Ausblasdüse mit einem Durchmesser von mindestens 3,5 mm zum Ausblasen mit Druckluft.



Automatische Reinigung (AC):

Die Reinigung wird während dem Bohren mit dem Hilti TE-CD und TE-YD Bohrsystem inklusive Staubsauger durchgeführt.



Injektionssystem Hilti HIT-HY 200-A V3 und HIT-HY 200-R V3

Verwendungszweck

Angaben zu Bohr-, Reinigungs- und Setzwerkzeugen
Reinigungsalternativen

Anhang B9

Tabelle B8: Hilti Aufrauwerkzeug TE-YRT - Angaben zur Verwendung




Zugehörige Komponenten			
Diamantbohren		Aufrauwerkzeug TE-YRT	Abnutzungslehre RTG...
			
d ₀ [mm]		d ₀ [mm]	Größe
Nominal	Gemessen		
18	17,9 bis 18,2	18	18
20	19,9 bis 20,2	20	20
22	21,9 bis 22,2	22	22
25	24,9 bis 25,2	25	25
28	27,9 bis 28,2	28	28
30	29,9 bis 30,2	30	30
32	31,9 bis 32,2	32	32
35	34,9 bis 35,2	35	35

Tabelle B9: Hilti Aufrauwerkzeug TE-YRT - Aufrau- und Ausblaszeiten

	Aufrauzeit t _{roughen}	Minimale Ausblaszeit t _{blowing}
h _{ef} [mm]	t _{roughen} [sec] = h _{ef} [mm] / 10	t _{blowing} [sec] = t _{roughen} [sec] + 20
0 bis 100	10	30
101 bis 200	20	40
201 bis 300	30	50
301 bis 400	40	60
401 bis 500	50	70
501 bis 600	60	80

Hilti Aufrauwerkzeug TE-YRT und Abnutzungslehre RTG



Injektionssystem Hilti HIT-HY 200-A V3 und HIT-HY 200-R V3

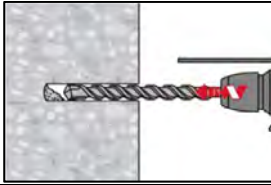
Verwendungszweck
Angaben zum Hilti Aufrauwerkzeug TE-YRT

Anhang B10

Montageanweisung

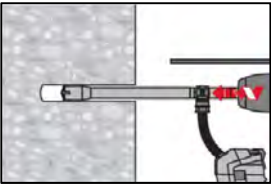
Bohrlocherstellung

a) Hammerbohren



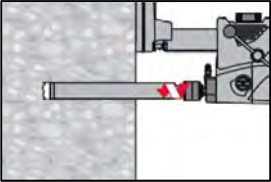
Bohrloch mit Bohrhammer drehschlagend, unter Verwendung des passenden Bohrerdurchmessers auf die richtige Bohrtiefe erstellen.

b) Hammerbohren mit Hilti Hohlbohrer

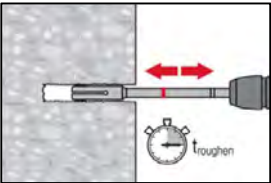


Die Bohrlocherstellung bis zur erforderlichen Setztiefe erfolgt drehschlagend mit einem Hilti Hohlbohrer TE-CD oder TE-YD mit angeschlossenem Staubsauger gemäß den Anforderungen nach Tabelle B7. Dieses Bohrsystem beseitigt bei Anwendung gemäß der Gebrauchsanweisung des Hohlbohrers das Bohrmehl und reinigt das Bohrloch während des Bohrvorgangs. Nach Beendigung des Bohrens kann mit der Mörtelverfüllung gemäß Montageanweisung begonnen werden.

c) Diamantbohren mit nachfolgendem Aufrauen mit Hilti Aufrauwerkzeug TE-YRT:



Diamantbohren ist zulässig, wenn geeignete Diamantbohrmaschinen und zugehörige Bohrkronen verwendet werden. Kennwerte zur Verwendung in Kombination mit dem Hilti Aufrauwerkzeug TE-YRT siehe Tabelle B8.



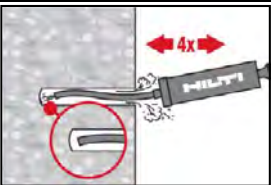
Vor dem Aufrauen muss das Wasser aus dem Bohrloch entfernt werden. Verwendbarkeit des Aufrauwerkzeugs mit der Abnutzungslehre RTG prüfen. Das Bohrloch über die gesamte Bohrtiefe bis zur geforderten Verankerungstiefe h_{ef} aufrauen. Aufrauzeit $t_{roughen}$ siehe Tabelle B9.

Bohrlochreinigung

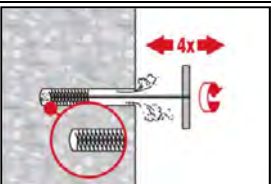
Unmittelbar vor der Injektion des Mörtels muss das Bohrloch frei von Bohrmehl und Verunreinigungen sein.
Schlechte Bohrlochreinigung = geringe Traglasten.

Handreinigung (MC)

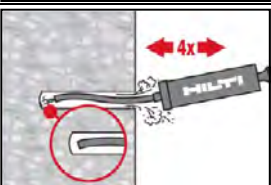
Ungerissener Beton. Bohrdurchmesser $d_0 \leq 20$ mm und Bohrlochtiefen $h_0 \leq 10 \cdot d$.



Für Bohrdurchmesser $d_0 \leq 20$ mm und Bohrlochtiefen $h_0 \leq 10 \cdot d$. Das Bohrloch mindestens 4-mal mit der Hilti Ausblaspumpe vom Bohrlochgrund ausblasen, bis die rückströmende Luft staubfrei ist.



4-mal mit Stahlbürste in passender Größe (siehe Tabelle B7) bürsten. Stahlbürste Hilti HIT-RB mit einer Drehbewegung in das Bohrloch bis zum Bohrlochgrund einführen und wieder herausziehen (falls notwendig mit Verlängerung). Die Bürste muss beim Einführen einen Widerstand erzeugen (Bürsten $\varnothing \geq$ Bohrloch \varnothing) - falls nicht, ist die Bürste zu klein und muss durch eine größere Bürste ersetzt werden.



Bohrloch erneut mit der Hilti Handausblaspumpe vom Bohrlochgrund mindestens 4-mal ausblasen, bis die rückströmende Luft staubfrei ist.

Injektionssystem Hilti HIT-HY 200-A V3 und HIT-HY 200-R V3

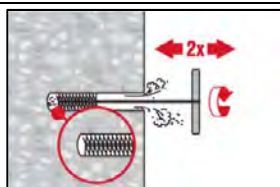
Verwendungszweck
Montageanweisung

Anhang B11

Druckluftreinigung (CAC) für alle Bohrlochdurchmesser d_0 und Bohrlochtiefen h_0 .



Bohrloch 2-mal vom Bohrlochgrund über die gesamte Länge mit ölfreier Druckluft (min. 6 bar bei 6 m³/h; falls notwendig mit Verlängerung) ausblasen, bis die rückströmende Luft staubfrei ist. Für Bohrlochdurchmesser ≥ 32 mm muss der Kompressor mindestens 140 m³/h Luftstrom haben.

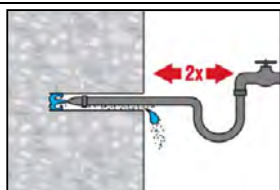


2-mal mit Stahlbürste in passender Größe (siehe Tabelle B7) bürsten. Stahlbürste Hilti HIT-RB mit einer Drehbewegung in das Bohrloch bis zum Bohrlochgrund einführen und wieder herausziehen (falls notwendig mit Verlängerung). Die Bürste muss beim Einführen einen Widerstand erzeugen (Bürsten $\varnothing \geq$ Bohrloch \varnothing) - falls nicht, ist die Bürste zu klein und muss durch eine größere Bürste ersetzt werden.

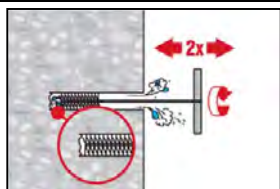


Bohrloch erneut vom Bohrlochgrund über die gesamte Länge 2-mal mit Druckluft ausblasen, bis die rückströmende Luft staubfrei ist.

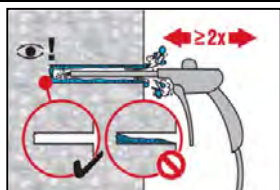
Reinigen von diamantgebohrten Löchern, die mit dem Hilti Aufrauwerkzeug TE-YRT aufgeraut wurden.



Das Bohrloch 2-mal mittels Wasser mit einem Schlauch vom Bohrlochgrund spülen, bis klares Wasser aus dem Bohrloch austritt. Normaler Wasserleitungsdruck genügt.



2-mal mit Stahlbürste in passender Größe (siehe Tabelle B7) bürsten. Stahlbürste Hilti HIT-RB mit einer Drehbewegung in das Bohrloch bis zum Bohrlochgrund einführen und wieder herausziehen (falls notwendig mit Verlängerung). Die Bürste muss beim Einführen einen Widerstand erzeugen (Bürsten $\varnothing \geq$ Bohrloch \varnothing) - falls nicht, ist die Bürste zu klein und muss durch eine größere Bürste ersetzt werden.



Bohrloch 2-mal vom Bohrlochgrund über die gesamte Länge mit ölfreier Druckluft (min. 6 bar bei 6 m³/h; falls notwendig mit Verlängerung) ausblasen, bis die rückströmende Luft staubfrei und das Bohrloch trocken ist. Vor dem Verfüllen mit Mörtel das Wasser vollständig aus dem Bohrloch entfernen bis das Bohrloch vollständig trocken ist (t_{blowing} siehe Tabelle B9). Für Bohrlochdurchmesser ≥ 32 mm muss der Kompressor mindestens 140 m³/h Luftstrom haben.

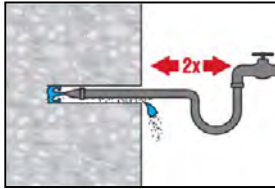
Injektionssystem Hilti HIT-HY 200-A V3 und HIT-HY 200-R V3

Verwendungszweck
Montageanweisung

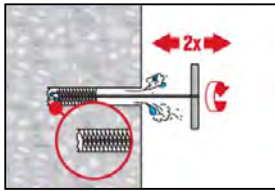
Anhang B12

Reinigung und Wasser entfernen von wassergefüllten Bohrlöchern die mittels Hammerbohren und Hammerbohren mit Hilti Hohlbohrer erstellt wurden:

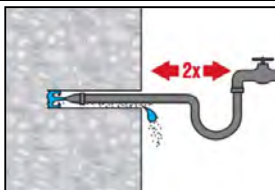
Für alle Bohrlochdurchmesser d_0 und alle Bohrlochtiefen h_0 .



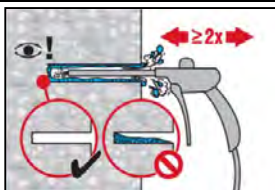
Das Bohrloch 2-mal mittels Wasser mit einem Schlauch vom Bohrlochgrund spülen, bis klares Wasser aus dem Bohrloch austritt. Normaler Wasserleitungsdruck genügt



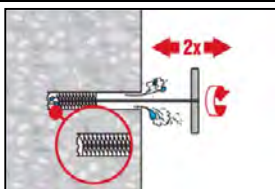
2-mal mit Stahlbürste in passender Größe (siehe Tabelle B7) bürsten. Stahlbürste Hilti HIT-RB mit einer Drehbewegung in das Bohrloch bis zum Bohrlochgrund einführen und wieder herausziehen (falls notwendig mit Verlängerung). Die Bürste muss beim Einführen einen Widerstand erzeugen (Bürsten $\varnothing \geq$ Bohrloch \varnothing) - falls nicht, ist die Bürste zu klein und muss durch eine größere Bürste ersetzt werden.



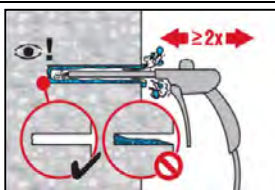
Das Bohrloch 2-mal mittels Wasser mit einem Schlauch vom Bohrlochgrund spülen, bis klares Wasser aus dem Bohrloch austritt. Normaler Wasserleitungsdruck genügt



Bohrloch 2-mal vom Bohrlochgrund über die gesamte Länge mit ölfreier Druckluft (min. 6 bar bei 6 m³/h; falls notwendig mit Verlängerung) ausblasen, bis die rückströmende Luft staubfrei ist.
Für Bohrlochdurchmesser ≥ 32 mm muss der Kompressor mindestens 140 m³/h Luftstrom haben.



2-mal mit Stahlbürste in passender Größe (siehe Tabelle B7) bürsten. Stahlbürste Hilti HIT-RB mit einer Drehbewegung in das Bohrloch bis zum Bohrlochgrund einführen und wieder herausziehen (falls notwendig mit Verlängerung). Die Bürste muss beim Einführen einen Widerstand erzeugen (Bürsten $\varnothing \geq$ Bohrloch \varnothing) - falls nicht, ist die Bürste zu klein und muss durch eine größere Bürste ersetzt werden



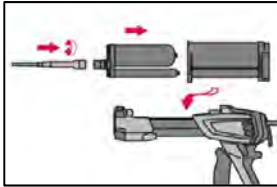
Bohrloch erneut vom Bohrlochgrund über die gesamte Länge 2-mal mit Druckluft ausblasen, bis die rückströmende Luft staubfrei ist.

Injektionssystem Hilti HIT-HY 200-A V3 und HIT-HY 200-R V3

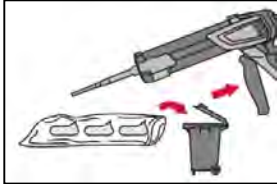
Verwendungszweck
Montageanweisung

Anhang B13

Injektionsvorbereitung

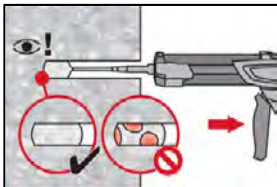


Hilti Statikmischer HIT-RE-M fest auf Foliengebilde aufschrauben. Den Mischer unter keinen Umständen verändern.
Befolgen Sie die Bedienungsanleitung des Auspressgerätes.
Prüfen der Kassette und des Foliengebundes auf einwandfreie Funktion. Foliengebilde in die Kassette einführen und Kassette in Auspressgerät einsetzen.

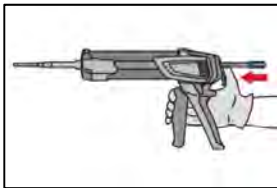


Das Öffnen der Foliengebilde erfolgt automatisch bei Auspressbeginn. Der am Anfang aus dem Mischer austretende Mörtelvorlauf darf nicht für Befestigungen verwendet werden. Die Menge des Mörtelvorlaufes ist abhängig von der Gebindegröße:
2 Hübe für 330 ml Foliengebilde,
3 Hübe für 500 ml Foliengebilde,
4 Hübe für 500 ml Foliengebilde ≤ 5 °C.
Die Temperatur des Foliengebundes darf 0 °C nicht unterschreiten.

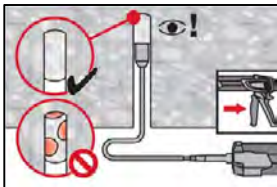
Injektion des Mörtels vom Bohrlochgrund ohne Luftblasen zu bilden.



Injizieren des Mörtels vom Bohrlochgrund und während jedem Hub den Mischer langsam etwas herausziehen.
Das Bohrloch zu ca. 2/3 verfüllen. Nach dem Einsetzen des Stahlelements muss der Ringspalt vollständig mit Mörtel ausgefüllt sein.
In nassem Beton muss das Befestigungselement direkt nach dem Reinigen gesetzt werden.



Nach der Mörtelinjektion die Entriegelungstaste am Auspressgerät betätigen, um Mörtelnachlauf zu vermeiden.



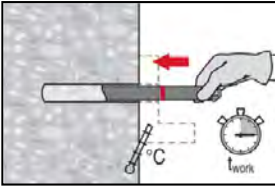
Überkopfanwendung und/oder Montage bei Verankerungstiefen von $h_{ef} > 250$ mm.
Das Injizieren des Mörtels bei Überkopfanwendung ist nur mit Hilfe von Stauzapfen und Verlängerungen möglich.
HIT-RE-M Mischer, Mischerverlängerung und entsprechenden Stauzapfen Hilti HIT-SZ (siehe Tabelle B7) zusammenfügen. Den Stauzapfen bis zum Bohrlochgrund einführen und Mörtel injizieren. Während der Injektion wird der Stauzapfen über den Staudruck vom Bohrlochgrund automatisch nach außen geschoben.

Injektionssystem Hilti HIT-HY 200-A V3 und HIT-HY 200-R V3

Verwendungszweck
Montageanweisung

Anhang B14

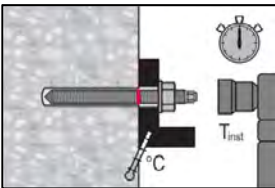
Setzen des Stahlelements



Vor der Montage sicherstellen, dass das Stahlelement trocken und frei von Öl und anderen Verunreinigungen ist.
Stahlelement markieren und bis zur gewünschten Verankerungstiefe einführen, noch bevor die Verarbeitungszeit t_{work} (siehe Tabelle B6) abgelaufen ist.

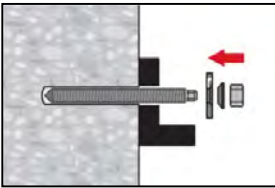


Bei Überkopfanwendung das Element in seiner endgültigen Position z.B. mittels Keilen (Hilti HIT-OHW), gegen Herausrutschen sichern.

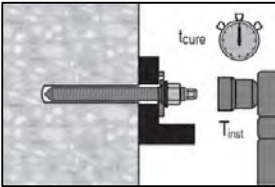


Last bzw. Drehmoment aufbringen: Nach Ablauf der Aushärtezeit t_{cure} (siehe Tabelle B6) kann die Befestigung belastet werden.
Das aufzubringende Drehmoment darf die angegebenen Werte $\max T_{inst}$ nach Tabelle B2 bis Tabelle B4 nicht überschreiten.

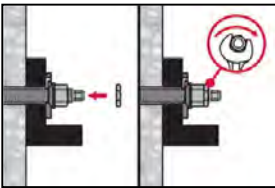
Einbau des Hilti Verfüll-Sets



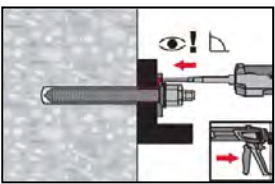
Verwendung des Hilti Verfüll-Sets mit Standardmutter. Korrekte Orientierung der Verschlusscheibe und der Kugelscheibe beachten.



Das aufzubringende Drehmoment darf die angegebenen Werte $\max T_{inst}$ nach Tabelle B2 bis Tabelle B4 nicht überschreiten.



Optional:
Sicherungsmutter aufdrehen und mit einer 1/4 bis 1/2 Umdrehung anziehen. (Nicht für Größe M24.)



Ringspalt zwischen Stahlelement und Anbauteil mit einem Hilti HIT-HY ... oder HIT-RE... Injektionsmörtel mit 1 bis 3 Hüben verfüllen.
Befolgen Sie die Bedienungsanleitung, des entsprechenden Mörtels, die dem Foliengebinde beigelegt ist
Nach Ablauf der erforderlichen Aushärtezeit t_{cure} kann der die Befestigung belastet werden.

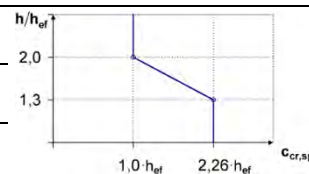
Injektionssystem Hilti HIT-HY 200-A V3 und HIT-HY 200-R V3

Verwendungszweck
Montageanweisung

Anhang B15

Tabelle C1: Wesentliche Merkmale für Gewindestangen entsprechend Anhang A unter Zugbeanspruchung in Beton

Gewindestange, HAS-U-..., HIT-V-... und AM 8.8			M8	M10	M12	M16	M20	M24	M27	M30	
Für eine Nutzungsdauer von 50 und 100 Jahren											
Montagebeiwert für Montage in trockenem und feuchtem (wassergesättigt) Beton											
Hammerbohren (HD)	γ_{inst}	[-]	1,0								
Hammerbohren mit Hilti Hohlbohrer TE-CD oder TE-YD (HDB)	γ_{inst}	[-]	1)	1,0							
Diamantbohren mit aufrauen mit Hilti Aufrauwerkzeug TE-YRT (DD+RT)	γ_{inst}	[-]	1)				1,0				
Montagebeiwert für Montage in wassergefüllte Bohrlöcher (kein Meerwasser)											
Hammerbohren (HD)	γ_{inst}	[-]	1,4								
Hammerbohren mit Hilti Hohlbohrer TE-CD oder TE-YD (HDB)	γ_{inst}	[-]	1)	1,4							
Stahlversagen											
Charakteristischer Widerstand	$N_{Rk,s}$	[kN]	$A_s \cdot f_{uk}$								
Teilsicherheitsbeiwert Festigkeitsklasse 5.8, 6.8 und 8.8 (Tabelle A1)	γ_{Ms,N^2}	[-]	1,5								
Teilsicherheitsbeiwert HAS A4 HAS-U A4, HIT-V-R, Gewindestange CRC II und III (Tabelle A1)	γ_{Ms,N^2}	[-]	1,87						2,86		
Teilsicherheitsbeiwert HAS-U HCR, HIT-V-HCR Gewindestange CRC V (Tabelle A1)	γ_{Ms,N^2}	[-]	1,5				2,1				
Betonausbruch											
Faktor für ungerissenen Beton	$k_{ucr,N}$	[-]	11,0								
Faktor für gerissenen Beton	$k_{cr,N}$	[-]	7,7								
Randabstand	$c_{cr,N}$	[mm]	$1,5 \cdot h_{ef}$								
Achsabstand	$s_{cr,N}$	[mm]	$3,0 \cdot h_{ef}$								
Versagen durch Spalten											
Randabstand $c_{cr,sp}$ [mm] für	$h / h_{ef} \geq 2,0$		$1,0 \cdot h_{ef}$								
	$2,0 > h / h_{ef} > 1,3$		$4,6 \cdot h_{ef} - 1,8 \cdot h$								
	$h / h_{ef} \leq 1,3$		$2,26 \cdot h_{ef}$								
Achsabstand	$s_{cr,sp}$	[mm]	$2 \cdot c_{cr,sp}$								



- 1) Leistung nicht bewertet.
2) Sofern nationale Regelungen fehlen.

Injektionssystem Hilti HIT-HY 200-A V3 und HIT-HY 200-R V3

Leistung
Wesentliche Merkmale unter Zugbeanspruchung in Beton

Anhang C1

Tabelle C1: fortgesetzt

Gewindestange entsprechend Anhang A	M8	M10	M12	M16	M20	M24	M27	M30	
Kombiniertes Versagen durch Herausziehen und Betonausbruch für eine Nutzungsdauer von 50 Jahren									
Charakteristische Verbundtragfähigkeit in ungerissenen Beton C20/25 für Montage in trockenem und feuchtem (wassergesättigt) Beton, alle Bohrverfahren (HD, HDB, DD + RT)									
Temperaturbereich I: 24 °C / 40 °C $\tau_{Rk,ucr}$ [N/mm ²]	18								
Temperaturbereich II: 50 °C / 80 °C $\tau_{Rk,ucr}$ [N/mm ²]	15								
Temperaturbereich III: 72 °C / 120 °C $\tau_{Rk,ucr}$ [N/mm ²]	13								
Charakteristische Verbundtragfähigkeit in gerissenen Beton C20/25 für Montage in trockenem und feuchtem (wassergesättigt) Beton, alle Bohrverfahren (HD, HDB, DD + RT)									
Temperaturbereich I: 24 °C / 40 °C $\tau_{Rk,cr}$ [N/mm ²]	7,5	9,4	9,5						
Temperaturbereich II: 50 °C / 80 °C $\tau_{Rk,cr}$ [N/mm ²]	6,4	8,0							
Temperaturbereich III: 72 °C / 120 °C $\tau_{Rk,cr}$ [N/mm ²]	5,5	6,8	6,9						
Charakteristische Verbundtragfähigkeit in ungerissenen Beton C20/25 für Montage in wassergefülltem Bohrloch (kein Meerwasser), HD und HDB									
Temperaturbereich I: 24 °C / 40 °C $\tau_{Rk,ucr}$ [N/mm ²]	14,0	13,8	13,5	13,0	12,5	11,9	11,4	10,9	
Temperaturbereich II: 50 °C / 80 °C $\tau_{Rk,ucr}$ [N/mm ²]	11,9	11,7	11,5	11,1	10,6	10,1	9,7	9,3	
Temperaturbereich III: 72 °C / 120 °C $\tau_{Rk,ucr}$ [N/mm ²]	10,2	10,1	9,9	9,5	9,1	8,7	8,3	8,0	
Charakteristische Verbundtragfähigkeit in gerissenen Beton C20/25 für Montage in wassergefülltem Bohrloch (kein Meerwasser), HD und HDB									
Temperaturbereich I: 24 °C / 40 °C $\tau_{Rk,cr}$ [N/mm ²]	6,1	7,4	7,2	6,7	6,4	6,1	6,1	6,0	
Temperaturbereich II: 50 °C / 80 °C $\tau_{Rk,cr}$ [N/mm ²]	5,2	6,3	6,1	5,7	5,5	5,2	5,2	5,1	
Temperaturbereich III: 72 °C / 120 °C $\tau_{Rk,cr}$ [N/mm ²]	4,5	5,4	5,2	4,9	4,7	4,5	4,5	4,4	
Einflussfaktoren ψ auf Verbundtragfähigkeit τ_{Rk} in gerissenem und ungerissenem Beton									
Einfluss der Betonfestigkeitsklasse: $\tau_{Rk} = \tau_{Rk,(C20/25)} \cdot \psi_c$									
Temperaturbereich I bis III:	ψ_c	[-]							$(f_{ck}/20)^{0,1}$
Einfluss der Dauerlast									
Temperaturbereich I: 24 °C / 40 °C ψ^0_{sus}	[-]							0,74	
Temperaturbereich II: 50 °C / 80 °C ψ^0_{sus}	[-]							0,89	
Temperaturbereich III: 72 °C / 120 °C ψ^0_{sus}	[-]							0,72	

Injektionssystem Hilti HIT-HY 200-A V3 und HIT-HY 200-R V3

Leistung
Wesentliche Merkmale unter Zugbeanspruchung in Beton

Anhang C2

Tabelle C1: fortgesetzt

Gewindestange entsprechend Anhang A	M8	M10	M12	M16	M20	M24	M27	M30
Kombiniertes Versagen durch Herausziehen und Betonausbruch für eine Nutzungsdauer von 100 Jahren								
Charakteristische Verbundtragfähigkeit in ungerissenen Beton C20/25 für Montage in trockenem und feuchtem (wassergesättigt) Beton, alle Bohrverfahren (HD, HDB, DD + RT)								
Temperaturbereich I: 24 °C / 40 °C $\tau_{RK,100,ucr}$ [N/mm ²]	17							
Temperaturbereich II: 50 °C / 80 °C $\tau_{RK,100,ucr}$ [N/mm ²]	14							
Temperaturbereich III: 72 °C / 120 °C $\tau_{RK,100,ucr}$ [N/mm ²]	12							
Charakteristische Verbundtragfähigkeit in gerissenen Beton C20/25 für Montage in trockenem und feuchtem (wassergesättigt) Beton, alle Bohrverfahren (HD, HDB, DD + RT)								
Temperaturbereich I: 24 °C / 40 °C $\tau_{RK,100,cr}$ [N/mm ²]	6,5	6,7	8,1					
Temperaturbereich II: 50 °C / 80 °C $\tau_{RK,100,cr}$ [N/mm ²]	5,5	5,7	7,0					
Temperaturbereich III: 72 °C / 120 °C $\tau_{RK,100,cr}$ [N/mm ²]	5,0		6,0					
Charakteristische Verbundtragfähigkeit in ungerissenen Beton C20/25 für Montage in wassergefülltem Bohrloch (kein Meerwasser), HD und HDB								
Temperaturbereich I: 24°C/40°C $\tau_{RK,ucr,100}$ [N/mm ²]	14,0	13,8	13,5	13,0	12,5	11,9	11,4	10,9
Temperaturbereich II: 50°C/80°C $\tau_{RK,ucr,100}$ [N/mm ²]	11,9	11,7	11,5	11,1	10,6	10,1	9,7	9,3
Temperaturbereich III: 72°C/120°C $\tau_{RK,ucr,100}$ [N/mm ²]	10,2	10,1	9,9	9,5	9,1	8,7	8,3	8,0
Charakteristische Verbundtragfähigkeit in gerissenen Beton C20/25 für Montage in wassergefülltem Bohrloch (kein Meerwasser), HD und HDB								
Temperaturbereich I: 24°C/40°C $\tau_{RK,cr,100}$ [N/mm ²]	5,5	5,3	6,1	5,8	5,5	5,3	5,1	4,8
Temperaturbereich II: 50°C/80°C $\tau_{RK,cr,100}$ [N/mm ²]	4,5	4,5	5,2	4,9	4,7	4,5	4,3	4,1
Temperaturbereich III: 72°C/120°C $\tau_{RK,cr,100}$ [N/mm ²]	3,9	3,8	4,5	4,2	4,0	3,8	3,7	3,5
Einflussfaktoren ψ auf Verbundtragfähigkeit $\tau_{RK,100}$ in gerissenem und ungerissenem Beton								
Einfluss der Betonfestigkeitsklasse: $\tau_{RK} = \tau_{RK,(C20/25)} \cdot \psi_c$								
Temperaturbereich I bis III:	ψ_c	[-]		$(f_{ck}/20)^{0,1}$				
Einfluss der Dauerlast								
Temperaturbereich I: 24°C/40°C	$\psi_{sus,100}^0$	[-]		0,71				
Temperaturbereich II: 50°C/80°C	$\psi_{sus,100}^0$	[-]		0,86				
Temperaturbereich III: 72°C/120°C	$\psi_{sus,100}^0$	[-]		0,80				

Injektionssystem Hilti HIT-HY 200-A V3 und HIT-HY 200-R V3

Leistung
Wesentliche Merkmale unter Zugbeanspruchung in Beton

Anhang C3

Tabelle C2: Wesentliche Merkmale für Gewindestangen entsprechend Anhang A unter Querbeanspruchung in Beton

Gewindestange entsprechend Anhang A		M8	M10	M12	M16	M20	M24	M27	M30	
Für eine Nutzungsdauer von 50 und 100 Jahren										
Stahlversagen ohne Hebelarm										
Charakteristischer Widerstand	$V_{Rk,s}^0$ [kN]	$k_6 \cdot A_s \cdot f_{uk}$								
Faktor Festigkeitsklasse 5.8	k_6 [-]	0,6								
Faktor Festigkeitsklasse 6.8 und 8.8	k_6 [-]	0,5								
Faktor HAS A4, HAS-U A4, HIT-V-R, Gewindestange CRC II und III (Tabelle A1)	k_6 [-]	0,5								
Faktor HAS-U HCR, HIT-V-HCR, Gewindestange CRC V (Tabelle A1)	k_6 [-]	0,5								
Teilsicherheitsbeiwert Festigkeitsklasse 5.8, 6.8, 8.8	$\gamma_{Ms,V}^{(1)}$ [-]	1,25								
Teilsicherheitsbeiwert HAS A4, HAS-U A4, HIT-V-R, Gewindestange CRC II und III (Tabelle A1)	$\gamma_{Ms,V}^{(1)}$ [-]	1,56						2,38		
Teilsicherheitsbeiwert HAS-U HCR, HIT-V-HCR, Gewindestange CRC V (Tabelle A1)	$\gamma_{Ms,V}^{(1)}$ [-]	1,25				1,75				
Duktilitätsfaktor	k_7 [-]	1,0								
Stahlversagen mit Hebelarm										
Charakteristischer Widerstand	$M_{Rk,s}^0$ [Nm]	$1,2 \cdot W_{el} \cdot f_{uk}$								
Duktilitätsfaktor	k_7 [-]	1,0								
Betonausbruch auf der lastabgewandten Seite										
Faktor	k_8 [-]	2,0								
Betonkantenbruch										
Wirksame Länge des Befestigungselements	l_f [mm]	$\min(h_{ef}; 12 \cdot d_{nom})$							$\min(h_{ef}; 8 \cdot d_{nom}; 300)$	
Außendurchmesser des Befestigungselements	d_{nom} [mm]	8	10	12	16	20	24	27	30	

¹⁾ Sofern nationale Regelungen fehlen.

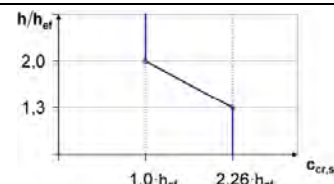
Injektionssystem Hilti HIT-HY 200-A V3 und HIT-HY 200-R V3

Leistung
Wesentliche Merkmale unter Querbeanspruchung in Beton

Anhang C4

Tabelle C3: Wesentliche Merkmale für Innengewindehülse HIS-(R)N unter Zugbeanspruchung in Beton

HIS-(R)N		M8	M10	M12	M16	M20
Für eine Nutzungsdauer von 50 Jahren						
Montagebeiwert						
Hammerbohren	γ_{inst} [-]	1,0				
Hammerbohren mit Hilti Hohlbohrer TE-CD oder TE-YD	γ_{inst} [-]	1,0				
Diamantbohren mit aufrauen mit Hilti Aufrauwerkzeug TE-YRT	γ_{inst} [-]	1)	1,0			
Stahlversagen						
Charakteristischer Widerstand HIS-N mit Schraube oder Gewindestange Festigkeitsklasse 8.8	$N_{Rk,s}$ [kN]	25	46	67	125	116
Teilsicherheitsbeiwert	$\gamma_{Ms,N^2)}$ [-]	1,50				
Charakteristischer Widerstand HIS-RN mit Schraube oder Gewindestange Festigkeitsklasse 70	$N_{Rk,s}$ [kN]	26	41	59	110	166
Teilsicherheitsbeiwert	$\gamma_{Ms,N^2)}$ [-]	1,87				2,4
Betonausbruch						
Faktor für ungerissenen Beton	$k_{ucr,N}$ [-]	11,0				
Faktor für gerissenen Beton	$k_{cr,N}$ [-]	7,7				
Randabstand	$c_{cr,N}$ [mm]	$1,5 \cdot h_{ef}$				
Achsabstand	$s_{cr,N}$ [mm]	$3,0 \cdot h_{ef}$				
Versagen durch Spalten						
Randabstand $c_{cr,sp}$ [mm] für	$h / h_{ef} \geq 2,0$	$1,0 \cdot h_{ef}$				
	$2,0 > h / h_{ef} > 1,3$	$4,6 h_{ef} - 1,8 h$				
	$h / h_{ef} \leq 1,3$	$2,26 h_{ef}$				
Achsabstand	$s_{cr,sp}$ [mm]	$2 \cdot c_{cr,sp}$				



- 1) Leistung nicht bewertet.
2) Sofern nationale Regelungen fehlen.

Injektionssystem Hilti HIT-HY 200-A V3 und HIT-HY 200-R V3

Leistung
Wesentliche Merkmale unter Zugbeanspruchung in Beton

Anhang C5

Tabelle C3: fortgesetzt

HIS-(R)N	M8	M10	M12	M16	M20
Kombiniertes Versagen durch Herausziehen und Betonausbruch für eine Nutzungsdauer von 50 Jahren					
Wirksame Verankerungstiefe h_{ef} [mm]	90	110	125	170	205
Durchmesser des Befestigungselements d_1 [mm]	12,5	16,5	20,5	25,4	27,6
Charakteristische Verbundtragfähigkeit in ungerissenen Beton C20/25 für Montage in trockenem und feuchtem (wassergesättigt) Beton, alle Bohrverfahren (HD, HDB, DD + RT)					
Temperaturbereich I: 24 °C / 40 °C $\tau_{Rk,ucr}$ [N/mm ²]	13				
Temperaturbereich II: 50 °C / 80 °C $\tau_{Rk,ucr}$ [N/mm ²]	11				
Temperaturbereich III: 72 °C / 120 °C $\tau_{Rk,ucr}$ [N/mm ²]	9,5				
Charakteristische Verbundtragfähigkeit in gerissenen Beton C20/25 für Montage in trockenem und feuchtem (wassergesättigt) Beton, alle Bohrverfahren (HD, HDB, DD + RT)					
Temperaturbereich I: 24 °C / 40 °C $\tau_{Rk,cr}$ [N/mm ²]	7				
Temperaturbereich II: 50 °C / 80 °C $\tau_{Rk,cr}$ [N/mm ²]	5,5				
Temperaturbereich III: 72 °C / 120 °C $\tau_{Rk,cr}$ [N/mm ²]	5				
Einflussfaktoren ψ auf Verbundtragfähigkeit τ_{Rk} in gerissenem und ungerissenem Beton					
Einfluss der Betonfestigkeitsklasse: $\tau_{Rk} = \tau_{Rk,(C20/25)} \cdot \psi_c$					
Temperaturbereich I bis III: ψ_c [-]	$(f_{ck}/20)^{0,1}$				
Einfluss der Dauerlast					
Temperaturbereich I: 24 °C / 40 °C ψ_{sus}^0 [-]	0,74				
Temperaturbereich II: 50 °C / 80 °C ψ_{sus}^0 [-]	0,89				
Temperaturbereich III: 72 °C / 120 °C ψ_{sus}^0 [-]	0,72				

Injektionssystem Hilti HIT-HY 200-A V3 und HIT-HY 200-R V3

Leistung
Wesentliche Merkmale unter Zugbeanspruchung in Beton

Anhang C6

Tabelle C4: Wesentliche Merkmale für Innengewindehülse HIS-(R)N unter Querbeanspruchung in Beton

HIS-(R)N		M8	M10	M12	M16	M20
Für eine Nutzungsdauer von 50 Jahren						
Stahlversagen ohne Hebelarm						
Charakteristischer Widerstand HIS-N mit Schraube oder Gewindestange der Festigkeitsklasse 8.8	$V_{Rk,s}^0$ [kN]	13	23	34	63	58
Teilsicherheitsbeiwert	$\gamma_{Ms,V}^{1)}$ [-]	1,25				
Charakteristischer Widerstand HIS-RN mit Schraube oder Gewindestange der Festigkeitsklasse 70	$V_{Rk,s}^0$ [kN]	13	20	30	55	83
Teilsicherheitsbeiwert	$\gamma_{Ms,V}^{1)}$ [-]	1,56				2,0
Duktilitätsfaktor	k_7 [-]	1,0				
Stahlversagen mit Hebelarm						
Charakteristischer Widerstand HIS-N mit Schraube oder Gewindestange der Festigkeitsklasse 8.8	$M_{Rk,s}^0$ [Nm]	30	60	105	266	519
Charakteristischer Widerstand HIS-RN mit Schraube oder Gewindestange der Festigkeitsklasse 70	$M_{Rk,s}^0$ [Nm]	26	52	92	233	454
Duktilitätsfaktor	k_7 [-]	1,0				
Betonausbruch auf der lastabgewandten Seite						
Faktor	k_8 [-]	2,0				
Betonkantenbruch						
Wirksame Länge des Befestigungselements	l_f [mm]	90	110	125	170	205
Außendurchmesser des Befestigungselements	d_{nom} [mm]	12,5	16,5	20,5	25,4	27,6

¹⁾ Sofern nationale Regelungen fehlen.

Injektionssystem Hilti HIT-HY 200-A V3 und HIT-HY 200-R V3

Leistung
Wesentliche Merkmale unter Querbeanspruchung in Beton

Anhang C7

Tabelle C5: Wesentliche Merkmale für Hilti Zuganker HZA / HZA-R unter Zugbeanspruchung in Beton

Hilti Zuganker HZA, HZA-R				M12	M16	M20	M24	M27
Für eine Nutzungsdauer von 50 und 100 Jahren								
Montagebeiwert für Montage in trockenem und feuchtem (wassergesättigt) Beton								
Hammerbohren	γ_{inst}	[-]				1,0		
Hammerbohren mit Hilti Hohlbohrer TE-CD oder TE-YD	γ_{inst}	[-]				1,0		
Diamantbohren mit aufrauen mit Hilti Aufrauwerkzeug TE-YRT	γ_{inst}	[-]	1)			1,0		
Montagebeiwert für Montage in wassergefüllte Bohrlöcher (kein Meerwasser)								
Hammerbohren	γ_{inst}	[-]				1,4		
Hammerbohren mit Hilti Hohlbohrer TE-CD oder TE-YD	γ_{inst}	[-]				1,4		
Stahlversagen								
Charakteristischer Widerstand HZA	$N_{Rk,s}$	[kN]	46	86	135	194	253	
Charakteristischer Widerstand HZA-R	$N_{Rk,s}$	[kN]	62	111	173	248		1)
Teilsicherheitsbeiwert	$\gamma_{Ms}^{2)}$	[-]				1,4		
Betonausbruch								
Effektive Verankerungstiefe	HZA	h_{ef}	[mm]	h_{nom}				
	HZA-R	h_{ef}	[mm]	h_{nom}				
								1)
Faktor für ungerissenen Beton	$k_{ucr,N}$	[-]	11,0					
Faktor für gerissenen Beton	$k_{cr,N}$	[-]	7,7					
Randabstand	$c_{cr,N}$	[mm]	$1,5 \cdot h_{ef}$					
Achsabstand	$s_{cr,N}$	[mm]	$3,0 \cdot h_{ef}$					
Versagen durch Spalten für ungerissenen Beton								
Randabstand $c_{cr,sp}$ [mm] für	$h / h_{ef} \geq 2,0$		$1,0 \cdot h_{ef}$					
	$2,0 > h / h_{ef} > 1,3$		$4,6 \cdot h_{ef} - 1,8 \cdot h$					
	$h / h_{ef} \leq 1,3$		$2,26 \cdot h_{ef}$					
Achsabstand	$s_{cr,sp}$	[mm]	$2 \cdot c_{cr,sp}$					

1) Leistung nicht bewertet.

2) Sofern nationale Regelungen fehlen.

Injektionssystem Hilti HIT-HY 200-A V3 und HIT-HY 200-R V3

Leistung
Wesentliche Merkmale unter Zugbeanspruchung in Beton

Anhang C8

Tabelle C5: fortgesetzt

Hilti Zuganker HZA, HZA-R				M12	M16	M20	M24	M27
Durchmesser des Betonstahl	d	[mm]		12	16	20	25	28
Effektive Verankerungstiefe	HZA	h_{ef}	[mm]	$h_{nom} - 20$				
	HZA-R	h_{ef}	[mm]	$h_{nom} - 100$				
Kombiniertes Versagen durch Herausziehen und Betonausbruch für eine Nutzungsdauer von 50 Jahren								
Charakteristische Verbundtragfähigkeit in ungerissenen Beton C20/25 für Montage in trockenem und feuchtem (wassergesättigt) Beton, alle Bohrverfahren (HD, HDB, DD + RT)								
Temperaturbereich I:	24 °C / 40 °C	$\tau_{Rk,ucr}$	[N/mm ²]	12				
Temperaturbereich II:	50 °C / 80 °C	$\tau_{Rk,ucr}$	[N/mm ²]	10				
Temperaturbereich III:	72 °C / 120 °C	$\tau_{Rk,ucr}$	[N/mm ²]	8,5				
Charakteristische Verbundtragfähigkeit in gerissenen Beton C20/25 für Montage in trockenem und feuchtem (wassergesättigt) Beton, alle Bohrverfahren (HD, HDB, DD + RT)								
Temperaturbereich I:	24 °C / 40 °C	$\tau_{Rk,cr}$	[N/mm ²]	7				
Temperaturbereich II:	50 °C / 80 °C	$\tau_{Rk,cr}$	[N/mm ²]	5,5				
Temperaturbereich III:	72 °C / 120 °C	$\tau_{Rk,cr}$	[N/mm ²]	5				
Charakteristische Verbundtragfähigkeit in ungerissenen Beton C20/25 für Montage in wassergefülltem Bohrloch (kein Meerwasser), HD und HDB								
Temperaturbereich I:	24°C/40°C	$\tau_{Rk,ucr}$	[N/mm ²]	11,4				
Temperaturbereich II:	50°C/80°C	$\tau_{Rk,ucr}$	[N/mm ²]	9,3				
Temperaturbereich III:	72°C/120°C	$\tau_{Rk,ucr}$	[N/mm ²]	8,1				
Charakteristische Verbundtragfähigkeit in gerissenen Beton C20/25 für Montage in wassergefülltem Bohrloch (kein Meerwasser), HD und HDB								
Temperaturbereich I:	24°C/40°C	$\tau_{Rk,cr}$	[N/mm ²]	6,5				
Temperaturbereich II:	50°C/80°C	$\tau_{Rk,cr}$	[N/mm ²]	5,2				
Temperaturbereich III:	72°C/120°C	$\tau_{Rk,cr}$	[N/mm ²]	4,5				
Einflussfaktoren ψ auf Verbundtragfähigkeit τ_{Rk} in gerissenem und ungerissenem Beton								
Einfluss der Betonfestigkeitsklasse: $\tau_{Rk} = \tau_{Rk,(C20/25)} \cdot \psi_c$								
Temperaturbereich I bis III:		ψ_c	[-]	$(f_{ck}/20)^{0,1}$				
Einfluss der Dauerlast								
Temperaturbereich I:	24 °C / 40 °C	ψ_{sus}^0	[-]	0,74				
Temperaturbereich II:	50 °C / 80 °C	ψ_{sus}^0	[-]	0,89				
Temperaturbereich III:	72 °C / 120 °C	ψ_{sus}^0	[-]	0,72				

Injektionssystem Hilti HIT-HY 200-A V3 und HIT-HY 200-R V3

Leistung
Wesentliche Merkmale unter Zugbeanspruchung in Beton

Anhang C9

Tabelle C5: fortgesetzt

Hilti Zuganker HZA, HZA-R				M12	M16	M20	M24	M27
Durchmesser des Betonstahl	d	[mm]		12	16	20	25	28
Effektive Verankerungstiefe	HZA	h_{ef}	[mm]	$h_{nom} - 20$				
	HZA-R	h_{ef}	[mm]	$h_{nom} - 100$				
Kombiniertes Versagen durch Herausziehen und Betonausbruch für eine Nutzungsdauer von 100 Jahren								
Charakteristische Verbundtragfähigkeit in ungerissenen Beton C20/25 für Montage in trockenem und feuchtem (wassergesättigt) Beton, alle Bohrverfahren (HD, HDB, DD + RT)								
Temperaturbereich I:	24°C/40°C	$\tau_{RK,ucr,100}$	[N/mm ²]	12				
Temperaturbereich II:	50°C/80°C	$\tau_{RK,ucr,100}$	[N/mm ²]	10				
Temperaturbereich III:	72°C/120°C	$\tau_{RK,ucr,100}$	[N/mm ²]	8,5				
Charakteristische Verbundtragfähigkeit in gerissenen Beton C20/25 für Montage in trockenem und feuchtem (wassergesättigt) Beton, alle Bohrverfahren (HD, HDB, DD + RT)								
Temperaturbereich I:	24°C/40°C	$\tau_{RK,cr,100}$	[N/mm ²]	7				
Temperaturbereich II:	50°C/80°C	$\tau_{RK,cr,100}$	[N/mm ²]	5,5				
Temperaturbereich III:	72°C/120°C	$\tau_{RK,cr,100}$	[N/mm ²]	5				
Charakteristische Verbundtragfähigkeit in ungerissenen Beton C20/25 für Montage in wassergefülltem Bohrloch (kein Meerwasser), HD und HDB								
Temperaturbereich I:	24°C/40°C	$\tau_{RK,ucr,100}$	[N/mm ²]	11,4				
Temperaturbereich II:	50°C/80°C	$\tau_{RK,ucr,100}$	[N/mm ²]	9,3				
Temperaturbereich III:	72°C/120°C	$\tau_{RK,ucr,100}$	[N/mm ²]	8,1				
Charakteristische Verbundtragfähigkeit in gerissenen Beton C20/25 für Montage in wassergefülltem Bohrloch (kein Meerwasser), HD und HDB								
Temperaturbereich I:	24°C/40°C	$\tau_{RK,cr,100}$	[N/mm ²]	6,5				
Temperaturbereich II:	50°C/80°C	$\tau_{RK,cr,100}$	[N/mm ²]	5,2				
Temperaturbereich III:	72°C/120°C	$\tau_{RK,cr,100}$	[N/mm ²]	4,5				
Einflussfaktoren ψ auf Verbundtragfähigkeit τ_{RK} in gerissenem und ungerissenem Beton								
Einfluss der Betonfestigkeitsklasse: $\tau_{RK} = \tau_{RK,(C20/25)} \cdot \psi_c$								
Temperature range I to III :	ψ_c	[-]		$(f_{ck}/20)^{0,1}$				
Influence of sustained load								
Temperature range I:	24°C/40°C	$\psi_{sus,100}^0$	[-]	0,71				
Temperature range II:	50°C/80°C	$\psi_{sus,100}^0$	[-]	0,86				
Temperature range III:	72°C/120°C	$\psi_{sus,100}^0$	[-]	0,80				

¹⁾ Leistung nicht bewertet.

Injektionssystem Hilti HIT-HY 200-A V3 und HIT-HY 200-R V3

Leistung
Wesentliche Merkmale unter Zugbeanspruchung in Beton

Anhang C10

Tabelle C6: Wesentliche Merkmale für Hilti Zuganker HZA, HZA-R unter Querbeanspruchung in Beton

Hilti Zuganker HZA, HZA-R			M12	M16	M20	M24	M27	
Für eine Nutzungsdauer von 50 und 100 Jahren								
Stahlversagen ohne Hebelarm								
Charakteristischer Widerstand HZA	$V_{Rk,s}^0$	[kN]	23	43	67	97	126	
Charakteristischer Widerstand HZA-R	$V_{Rk,s}^0$	[kN]	31	55	86	124	¹⁾	
Teilsicherheitsbeiwert	$\gamma_{Ms}^{2)}$	[-]	1,5					
Duktilitätsfaktor	k_7	[-]	1,0					
Stahlversagen mit Hebelarm								
Charakteristischer Widerstand HZA	$M_{Rk,s}^0$	[Nm]	72	183	357	617	915	
Charakteristischer Widerstand HZA-R	$M_{Rk,s}^0$	[Nm]	97	234	457	790	¹⁾	
Duktilitätsfaktor	k_7	[-]	1,0					
Betonausbruch auf der lastabgewandten Seite								
Faktor	k_8	[-]	2,0					
Betonkantenbruch								
Wirksame Länge des Befestigungselements	l_f	[mm]	min (h_{nom} ; $12 \cdot d_{nom}$)				min (h_{nom} ; $8 \cdot d_{nom}$; 300)	
Außendurchmesser des Befestigungselements	d_{nom}	[mm]	12	16	20	24	27	

¹⁾ Leistung nicht bewertet.

²⁾ Sofern nationale Regelungen fehlen.

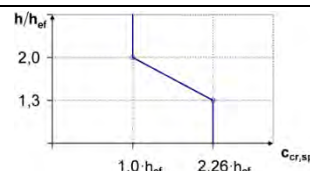
Injektionssystem Hilti HIT-HY 200-A V3 und HIT-HY 200-R V3

Leistung
Wesentliche Merkmale unter Querbeanspruchung in Beton

Anhang C11

Tabelle C7: Wesentliche Merkmale für Betonstahl unter Zugbeanspruchung in Beton

Betonstahl		φ 8	φ 10	φ 12	φ 14	φ 16	φ 20	φ 25	φ 26	φ 28	φ 30	φ 32	
Für eine Nutzungsdauer von 50 und 100 Jahren													
Montagebeiwert für Montage in trockenem und feuchtem (wassergesättigt) Beton													
Hammerbohren	γ_{inst}	[-]										1,0	
Hammerbohren mit Hilti Hohlbohrer TE-CD oder TE-YD	γ_{inst}	[-]										1,0	
Diamantbohren mit aufrauen mit Hilti Aufrauwerkzeug TE-YRT	γ_{inst}	1)					1,0						
Montagebeiwert für Montage in wassergefüllte Bohrlöcher (kein Meerwasser)													
Hammerbohren	γ_{inst}	[-]										1,4	
Hammerbohren mit Hilti Hohlbohrer TE-CD oder TE-YD	γ_{inst}	[-]										1,4	
Stahlversagen													
Charakteristischer Widerstand	$N_{Rk,s}$	[kN]											$A_s \cdot f_{uk}^{(2)}$
Charakteristischer Widerstand Betonstahl B500B nach DIN 488-1	$N_{Rk,s}$	28	43	62	85	111	173	270	292	339	388	442	
Teilsicherheitsbeiwert	$\gamma_{Ms,N}^{(3)}$	[-]										1,4	
Betonausbruch													
Faktor für ungerissenen Beton	$k_{ucr,N}$	[-]										11,0	
Faktor für gerissenen Beton	$k_{cr,N}$	[-]										7,7	
Randabstand	$c_{cr,N}$	[mm]										$1,5 \cdot h_{ef}$	
Achsabstand	$s_{cr,N}$	[mm]										$3,0 \cdot h_{ef}$	
Versagen durch Spalten für ungerissenen Beton													
Randabstand $c_{cr,sp}$ [mm] für	$h / h_{ef} \geq 2,0$											$1,0 \cdot h_{ef}$	
	$2,0 > h / h_{ef} > 1,3$											$4,6 \cdot h_{ef} - 1,8 \cdot h$	
	$h / h_{ef} \leq 1,3$											$2,26 \cdot h_{ef}$	
Achsabstand	$s_{cr,sp}$	[mm]										$2 c_{cr,sp}$	



- 1) Leistung nicht bewertet.
2) f_{uk} entsprechend der Spezifikation des Betonstahls
3) Sofern nationale Regelungen fehlen.

Injektionssystem Hilti HIT-HY 200-A V3 und HIT-HY 200-R V3

Leistung
Wesentliche Merkmale unter Zugbeanspruchung in Beton

Anhang C12

Tabelle C7: fortgesetzt

Betonstahl		φ 8	φ 10	φ 12	φ 14	φ 16	φ 20	φ 25	φ 26	φ 28	φ 30	φ 32
Durchmesser des Betonstahl	d [mm]	8	10	12	14	16	20	25	26	28	30	32
Kombiniertes Versagen durch Herausziehen und Betonausbruch für eine Nutzungsdauer von 50 Jahren												
Charakteristische Verbundtragfähigkeit in ungerissenen Beton C20/25 für Montage in trockenem und feuchtem (wassergesättigt) Beton, alle Bohrverfahren (HD, HDB, DD + RT)												
Temperaturbereich I: 24°C/40°C	$\tau_{Rk,ucr}$ [N/mm ²]	12										
Temperaturbereich II: 50°C/80°C	$\tau_{Rk,ucr}$ [N/mm ²]	10										
Temperaturbereich III: 72°C/120°C	$\tau_{Rk,ucr}$ [N/mm ²]	8,5										
Charakteristische Verbundtragfähigkeit in gerissenen Beton C20/25 für Montage in trockenem und feuchtem (wassergesättigt) Beton, alle Bohrverfahren (HD, HDB, DD + RT)												
Temperaturbereich I: 24°C/40°C	$\tau_{Rk,cr}$ [N/mm ²]	¹⁾	5,0									7,0
Temperaturbereich II: 50°C/80°C	$\tau_{Rk,cr}$ [N/mm ²]	¹⁾	4,0									5,5
Temperaturbereich III: 72°C/120°C	$\tau_{Rk,cr}$ [N/mm ²]	¹⁾	3,5									5,0
Charakteristische Verbundtragfähigkeit in ungerissenen Beton C20/25 für Montage in wassergefülltem Bohrloch (kein Meerwasser), HD und HDB												
Temperaturbereich I: 24°C/40°C	$\tau_{Rk,ucr}$ [N/mm ²]	¹⁾									11,4	
Temperaturbereich II: 50°C/80°C	$\tau_{Rk,ucr}$ [N/mm ²]	¹⁾									9,3	
Temperaturbereich III: 72°C/120°C	$\tau_{Rk,ucr}$ [N/mm ²]	¹⁾									8,1	
Charakteristische Verbundtragfähigkeit in gerissenen Beton C20/25 für Montage in wassergefülltem Bohrloch (kein Meerwasser), HD und HDB												
Temperaturbereich I: 24°C/40°C	$\tau_{Rk,cr}$ [N/mm ²]	¹⁾	4,6									6,5
Temperaturbereich II: 50°C/80°C	$\tau_{Rk,cr}$ [N/mm ²]	¹⁾	3,7									5,2
Temperaturbereich III: 72°C/120°C	$\tau_{Rk,cr}$ [N/mm ²]	¹⁾	3,2									4,5
Einflussfaktoren ψ auf Verbundtragfähigkeit τ_{Rk} in gerissenem und ungerissenem Beton												
Einfluss der Betonfestigkeitsklasse: $\tau_{Rk} = \tau_{Rk,(C20/25)} \cdot \psi_c$												
Temperaturbereich I bis III:	ψ_c [-]											$(f_{ck}/20)^{0,1}$
Einfluss der Dauerlast												
Temperaturbereich I: 24°C/40°C	ψ_{sus}^0 [-]											0,74
Temperaturbereich II: 50°C/80°C	ψ_{sus}^0 [-]											0,89
Temperaturbereich III: 72°C/120°C	ψ_{sus}^0 [-]											0,72

Injektionssystem Hilti HIT-HY 200-A V3 und HIT-HY 200-R V3

Leistung
Wesentliche Merkmale unter Zugbeanspruchung in Beton

Anhang C13

Tabelle C7: fortgesetzt

Betonstahl	Ø 8	Ø 10	Ø 12	Ø 14	Ø 16	Ø 20	Ø 25	Ø 26	Ø 28	Ø 30	Ø 32
Durchmesser des Betonstahl d [mm]	8	10	12	14	16	20	25	26	28	30	32
Kombiniertes Versagen durch Herausziehen und Betonausbruch für eine Nutzungsdauer von 100 Jahren											
Charakteristische Verbundtragfähigkeit in ungerissenen Beton C20/25 für Montage in trockenem und feuchtem (wassergesättigt) Beton, alle Bohrverfahren (HD, HDB, DD + RT)											
Temperaturbereich I: 24°C/40°C $\tau_{Rk,ucr,100}$ [N/mm ²]	12										
Temperaturbereich II: 50°C/80°C $\tau_{Rk,ucr,100}$ [N/mm ²]	10										
Temperaturbereich III: 72°C/120°C $\tau_{Rk,ucr,100}$ [N/mm ²]	8,5										
Charakteristische Verbundtragfähigkeit in gerissenen Beton C20/25 für Montage in trockenem und feuchtem (wassergesättigt) Beton, alle Bohrverfahren (HD, HDB, DD + RT)											
Temperaturbereich I: 24°C/40°C $\tau_{Rk,cr,100}$ [N/mm ²]	¹⁾	5,0	7,0								
Temperaturbereich II: 50°C/80°C $\tau_{Rk,cr,100}$ [N/mm ²]	¹⁾	4,0	5,5								
Temperaturbereich III: 72°C/120°C $\tau_{Rk,cr,100}$ [N/mm ²]	¹⁾	3,5	5,0								
Charakteristische Verbundtragfähigkeit in ungerissenen Beton C20/25 für Montage in wassergefülltem Bohrloch (kein Meerwasser), HD und HDB											
Temperaturbereich I: 24°C/40°C $\tau_{Rk,100,ucr}$ [N/mm ²]	¹⁾	11,4									
Temperaturbereich II: 50°C/80°C $\tau_{Rk,100,ucr}$ [N/mm ²]	¹⁾	9,3									
Temperaturbereich III: 72°C/120°C $\tau_{Rk,100,ucr}$ [N/mm ²]	¹⁾	8,1									
Charakteristische Verbundtragfähigkeit in gerissenen Beton C20/25 für Montage in wassergefülltem Bohrloch (kein Meerwasser), HD und HDB											
Temperaturbereich I: 24°C/40°C $\tau_{Rk,cr,100}$ [N/mm ²]	¹⁾	4,6	6,5								
Temperaturbereich II: 50°C/80°C $\tau_{Rk,cr,100}$ [N/mm ²]	¹⁾	3,7	5,2								
Temperaturbereich III: 72°C/120°C $\tau_{Rk,cr,100}$ [N/mm ²]	¹⁾	3,2	4,5								
Einflussfaktoren ψ auf Verbundtragfähigkeit τ_{Rk} in gerissenem und ungerissenem Beton											
Einfluss der Betonfestigkeitsklasse: $\tau_{Rk} = \tau_{Rk,(C20/25)} \cdot \psi_c$											
Temperaturbereich I bis III:	ψ_c	[-]	$(f_{ck}/20)^{0,1}$								
Einfluss der Dauerlast											
Temperaturbereich I: 24°C/40°C $\psi_{sus,100}^0$	[-]	0,71									
Temperaturbereich II: 50°C/80°C $\psi_{sus,100}^0$	[-]	0,86									
Temperaturbereich III: 72°C/120°C $\psi_{sus,100}^0$	[-]	0,80									

¹⁾ Leistung nicht bewertet.

Injektionssystem Hilti HIT-HY 200-A V3 und HIT-HY 200-R V3

Leistung
Wesentliche Merkmale unter Zugbeanspruchung in Beton

Anhang C14

Tabelle C8: Wesentliche Merkmale für Betonstahl unter Querbeanspruchung in Beton

Betonstahl		φ 8	φ 10	φ 12	φ 14	φ 16	φ 20	φ 25	φ 26	φ 28	φ 30	φ 32	
Für eine Nutzungsdauer von 50 und 100 Jahren													
Stahlversagen ohne Hebelarm													
Charakteristischer Widerstand	$V_{RK,s}^0$ [kN]	$0,5 \cdot A_s \cdot f_{uk}^{1)}$											
Charakteristischer Widerstand Betonstahl B500B nach DIN 488-1	$V_{RK,s}^0$ [kN]	14	22	31	42	55	86	135	146	169	194	221	
Teilsicherheitsbeiwert	$\gamma_{Ms,V}^{2)}$ [-]	1,5											
Duktilitätsfaktor	k_7 [-]	1,0											
Stahlversagen mit Hebelarm													
Charakteristischer Widerstand	$M_{RK,s}^0$ [Nm]	$1,2 \cdot W_{el} \cdot f_{uk}^{1)}$											
Charakteristischer Widerstand Betonstahl B500B nach DIN 488-1	$M_{RK,s}^0$ [Nm]	33	65	112	178	265	518	1012	1139	1422	1749	2123	
Duktilitätsfaktor	k_7 [-]	1,0											
Betonausbruch auf der lastabgewandten Seite													
Faktor	k_8 [-]	2,0											
Betonkantenbruch													
Wirksame Länge des Befestigungselements	l_f [mm]	min (h_{ef} ; $12 \cdot d_{nom}$)							min (h_{nom} ; $8 \cdot d_{nom}$; 300)				
Außendurchmesser des Befestigungselements	d_{nom} [mm]	8	10	12	14	16	20	25	26	28	30	32	

1) f_{uk} entsprechend der Spezifikation des Betonstahls.

2) Sofern nationale Regelungen fehlen.

Injektionssystem Hilti HIT-HY 200-A V3 und HIT-HY 200-R V3

Leistung
Wesentliche Merkmale unter Querbeanspruchung in Beton

Anhang C15

Tabelle C9: Verschiebungen unter Zugbeanspruchung

Gewindestange entsprechend Anhang A		M8	M10	M12	M16	M20	M24	M27	M30		
Ungerissener Beton Temperaturbereich I : 24°C / 40°C											
Verschiebung	δ_{N0}	[mm/(N/mm ²)]	0,02	0,03	0,03	0,04	0,06	0,07	0,07	0,08	
	$\delta_{N\infty}$	[mm/(N/mm ²)]	0,04	0,05	0,06	0,08	0,10	0,13	0,14	0,16	
Ungerissener Beton Temperaturbereich II : 50°C / 80°C											
Verschiebung	δ_{N0}	[mm/(N/mm ²)]	0,03	0,04	0,05	0,06	0,08	0,09	0,10	0,12	
	$\delta_{N\infty}$	[mm/(N/mm ²)]	0,04	0,05	0,06	0,09	0,11	0,13	0,15	0,16	
Ungerissener Beton Temperaturbereich III : 72°C / 120°C											
Verschiebung	δ_{N0}	[mm/(N/mm ²)]	0,04	0,05	0,06	0,08	0,10	0,12	0,13	0,16	
	$\delta_{N\infty}$	[mm/(N/mm ²)]	0,04	0,05	0,07	0,09	0,11	0,13	0,15	0,17	
Gerissener Beton Temperaturbereich I : 24°C / 40°C											
Verschiebung	δ_{N0}	[mm/(N/mm ²)]	0,07								
	$\delta_{N\infty}$	[mm/(N/mm ²)]	0,16								
Gerissener Beton Temperaturbereich II : 50°C / 80°C											
Verschiebung	δ_{N0}	[mm/(N/mm ²)]	0,10								
	$\delta_{N\infty}$	[mm/(N/mm ²)]	0,22								
Gerissener Beton Temperaturbereich III : 72°C / 120°C											
Verschiebung	δ_{N0}	[mm/(N/mm ²)]	0,13								
	$\delta_{N\infty}$	[mm/(N/mm ²)]	0,29								

Tabelle C10: Verschiebungen unter Querbeanspruchung

Gewindestange entsprechend Anhang A		M8	M10	M12	M16	M20	M24	M27	M30	
Verschiebung	δ_{V0}	[mm/kN]	0,06	0,06	0,05	0,04	0,04	0,03	0,03	0,03
	$\delta_{V\infty}$	[mm/kN]	0,09	0,08	0,08	0,06	0,06	0,05	0,05	0,05

Injektionssystem Hilti HIT-HY 200-A V3 und HIT-HY 200-R V3

Leistung

Verschiebungen Gewindestange, HAS-U-..., HIT-V-... und AM 8.8

Anhang C16

Tabelle C11: Verschiebungen unter Zugbeanspruchung

HIS-(R)N		M8	M10	M12	M16	M20
Ungerissener Beton Temperaturbereich I : 24°C / 40°C						
Verschiebung	δ_{N0} [mm/(N/mm ²)]	0,03	0,05	0,06	0,07	0,08
	$\delta_{N\infty}$ [mm/(N/mm ²)]	0,06	0,09	0,11	0,13	0,14
Ungerissener Beton Temperaturbereich II : 50°C / 80°C						
Verschiebung	δ_{N0} [mm/(N/mm ²)]	0,05	0,06	0,08	0,10	0,11
	$\delta_{N\infty}$ [mm/(N/mm ²)]	0,07	0,09	0,11	0,13	0,15
Ungerissener Beton Temperaturbereich III : 72°C / 120°C						
Verschiebung	δ_{N0} [mm/(N/mm ²)]	0,06	0,08	0,10	0,13	0,14
	$\delta_{N\infty}$ [mm/(N/mm ²)]	0,07	0,09	0,11	0,14	0,15
Gerissener Beton Temperaturbereich I : 24°C / 40°C						
Verschiebung	δ_{N0} [mm/(N/mm ²)]	0,11				
	$\delta_{N\infty}$ [mm/(N/mm ²)]	0,16				
Gerissener Beton Temperaturbereich II : 50°C / 80°C						
Verschiebung	δ_{N0} [mm/(N/mm ²)]	0,15				
	$\delta_{N\infty}$ [mm/(N/mm ²)]	0,22				
Gerissener Beton Temperaturbereich III : 72°C / 120°C						
Verschiebung	δ_{N0} [mm/(N/mm ²)]	0,20				
	$\delta_{N\infty}$ [mm/(N/mm ²)]	0,29				

Tabelle C12: Verschiebungen unter Querbeanspruchung

HIS-(R)N		M8	M10	M12	M16	M20
Verschiebung	δ_{V0} [mm/kN]	0,06	0,06	0,05	0,04	0,04
	$\delta_{V\infty}$ [mm/kN]	0,09	0,08	0,08	0,06	0,06

Injektionssystem Hilti HIT-HY 200-A V3 und HIT-HY 200-R V3

Leistung
Verschiebungen HIS-(R)N

Anhang C17

Tabelle C13: Verschiebungen unter Zugbeanspruchung

Hilti Zuganker HZA, HZA-R			M12	M16	M20	M24	M27
Ungerissener Beton Temperaturbereich I : 24°C / 40°C							
Verschiebung	δ_{N0}	[mm/(N/mm ²)]	0,03	0,04	0,06	0,07	0,08
	$\delta_{N\infty}$	[mm/(N/mm ²)]	0,06	0,08	0,13	0,13	0,15
Ungerissener Beton Temperaturbereich II : 50°C / 80°C							
Verschiebung	δ_{N0}	[mm/(N/mm ²)]	0,05	0,06	0,08	0,10	0,11
	$\delta_{N\infty}$	[mm/(N/mm ²)]	0,06	0,09	0,14	0,14	0,15
Ungerissener Beton Temperaturbereich III : 72°C / 120°C							
Verschiebung	δ_{N0}	[mm/(N/mm ²)]	0,06	0,08	0,10	0,12	0,14
	$\delta_{N\infty}$	[mm/(N/mm ²)]	0,07	0,09	0,14	0,14	0,16
Gerissener Beton Temperaturbereich I : 24°C / 40°C							
Verschiebung	δ_{N0}	[mm/(N/mm ²)]	0,11				
	$\delta_{N\infty}$	[mm/(N/mm ²)]	0,16				
Gerissener Beton Temperaturbereich II : 50°C / 80°C							
Verschiebung	δ_{N0}	[mm/(N/mm ²)]	0,15				
	$\delta_{N\infty}$	[mm/(N/mm ²)]	0,22				
Gerissener Beton Temperaturbereich III : 72°C / 120°C							
Verschiebung	δ_{N0}	[mm/(N/mm ²)]	0,20				
	$\delta_{N\infty}$	[mm/(N/mm ²)]	0,29				

Tabelle C14: Verschiebungen unter Querbeanspruchung

Hilti Zuganker HZA, HZA-R			M12	M16	M20	M24	M27
Verschiebung	δ_{V0}	[mm/kN]	0,05	0,04	0,04	0,03	0,03
	$\delta_{V\infty}$	[mm/kN]	0,08	0,06	0,06	0,05	0,05

Injektionssystem Hilti HIT-HY 200-A V3 und HIT-HY 200-R V3

Leistung
Verschiebungen HZA und HZA-R

Anhang C18

Tabelle C15: Verschiebungen unter Zugbeanspruchung

Betonstahl		φ 8	φ 10	φ 12	φ 14	φ 16	φ 20	φ 25	φ 26	φ 28	φ 30	φ 32	
Ungerissener Beton Temperaturbereich I : 24°C / 40°C													
Verschiebung	δ_{N0} [mm/(N/mm ²)]	0,02	0,03	0,03	0,04	0,04	0,06	0,07	0,08	0,08	0,09	0,09	
	$\delta_{N\infty}$ [mm/(N/mm ²)]	0,04	0,05	0,06	0,07	0,08	0,10	0,13	0,14	0,15	0,16	0,17	
Ungerissener Beton Temperaturbereich II : 50°C / 80°C													
Verschiebung	δ_{N0} [mm/(N/mm ²)]	0,03	0,04	0,05	0,05	0,06	0,08	0,10	0,11	0,11	0,12	0,12	
	$\delta_{N\infty}$ [mm/(N/mm ²)]	0,04	0,05	0,06	0,07	0,09	0,11	0,14	0,15	0,15	0,16	0,17	
Ungerissener Beton Temperaturbereich III : 72°C / 120°C													
Verschiebung	δ_{N0} [mm/(N/mm ²)]	0,04	0,05	0,06	0,07	0,08	0,10	0,12	0,13	0,14	0,15	0,16	
	$\delta_{N\infty}$ [mm/(N/mm ²)]	0,04	0,05	0,07	0,08	0,09	0,11	0,14	0,15	0,16	0,17	0,18	
Gerissener Beton Temperaturbereich I : 24°C / 40°C													
Verschiebung	δ_{N0} [mm/(N/mm ²)]							0,11					
	$\delta_{N\infty}$ [mm/(N/mm ²)]							0,16					
Gerissener Beton Temperaturbereich II : 50°C / 80°C													
Verschiebung	δ_{N0} [mm/(N/mm ²)]							0,15					
	$\delta_{N\infty}$ [mm/(N/mm ²)]							0,22					
Gerissener Beton Temperaturbereich III : 72°C / 120°C													
Verschiebung	δ_{N0} [mm/(N/mm ²)]							0,20					
	$\delta_{N\infty}$ [mm/(N/mm ²)]							0,29					

Tabelle C16: Verschiebungen unter Querbeanspruchung

Betonstahl		φ 8	φ 10	φ 12	φ 14	φ 16	φ 20	φ 25	φ 26	φ 28	φ 30	φ 32
Verschiebung	δ_{V0} [mm/kN]	0,06	0,05	0,05	0,04	0,04	0,04	0,03	0,03	0,03	0,03	0,03
	$\delta_{V\infty}$ [mm/kN]	0,09	0,08	0,07	0,06	0,06	0,05	0,05	0,05	0,04	0,04	0,04

Injektionssystem Hilti HIT-HY 200-A V3 und HIT-HY 200-R V3

Leistung
Verschiebungen Betonstahl

Anhang C19

Tabelle C17: Wesentliche Merkmale für Gewindestangenentsprechend Anhang A unter Zugbeanspruchung für Seismische Leistungskategorie C1

Gewindestange entsprechend Anhang A				M10	M12	M16	M20	M24	M27	M30
Für eine Nutzungsdauer von 50 und 100 Jahren										
Stahlversagen										
Charakteristischer Widerstand				$N_{Rk,s,C1}$	[kN]	$A_s \cdot f_{uk}$				
Kombiniertes Versagen durch Herausziehen und Betonausbruch bei einer Nutzungsdauer von 50 Jahren										
Charakteristische Verbundtragfähigkeit im gerissenen Beton C20/25										
Temperaturbereich I:		24 °C / 40 °C	$\tau_{Rk,C1}$	[N/mm ²]	5,2	7,0				
Temperaturbereich II:		50 °C / 80 °C	$\tau_{Rk,C1}$	[N/mm ²]	3,9	5,7				
Temperaturbereich III:		72 °C / 120 °C	$\tau_{Rk,C1}$	[N/mm ²]	3,5	4,8				
Kombiniertes Versagen durch Herausziehen und Betonausbruch bei einer Nutzungsdauer von 100 Jahren										
Charakteristische Verbundtragfähigkeit im gerissenen Beton C20/25										
Temperaturbereich I:		24 °C / 40 °C	$\tau_{Rk,100,C1}$	[N/mm ²]	4,5	6,3				
Temperaturbereich II:		50 °C / 80 °C	$\tau_{Rk,100,C1}$	[N/mm ²]	3,7	5,2				
Temperaturbereich III:		72 °C / 120 °C	$\tau_{Rk,100,C1}$	[N/mm ²]	3,1	4,4				
Einflussfaktoren ψ auf Verbundtragfähigkeit $\tau_{Rk,C1}$ und $\tau_{Rk,100,C1}$ im gerissenen Beton										
Einfluss der Betonfestigkeitsklasse: $\tau_{Rk} = \tau_{Rk,(C20/25)} \cdot \psi_c$										
Temperaturbereich I bis III:				ψ_c	[-]	1,0				

Tabelle C18: Wesentliche Merkmale für Gewindestangen entsprechend Anhang A unter Querbeanspruchung für seismische Leistungskategorie C1

Gewindestange entsprechend Anhang A				M10	M12	M16	M20	M24	M27	M30
Für eine Nutzungsdauer von 50 und 100 Jahren										
Faktor für Ringspalt ohne Hilti Verfüll-Set				α_{gap}	[-]	0,5				
Faktor für Ringspalt mit Hilti Verfüll-Set				α_{gap}	[-]	1,0				1)
Stahlversagen ohne Hebelarm										
Charakteristischer Widerstand HAS 5.8, HAS-U 5.8, HIT-V 5.8				$V_{Rk,s,C1}$	[kN]	$0,60 \cdot A_s \cdot f_{uk}$				
Charakteristischer Widerstand HAS 8.8, HAS-U 8.8, HIT-V 8.8, AM 8.8				$V_{Rk,s,C1}$	[kN]	$0,50 \cdot A_s \cdot f_{uk}$				
Charakteristischer Widerstand HAS A4, HAS-U A4, HIT-V-R HAS-U HCR, HIT-V-HCR				$V_{Rk,s,C1}$	[kN]	$0,50 \cdot A_s \cdot f_{uk}$				
Charakteristischer Widerstand Commercial standard threaded rod				$V_{Rk,s,C1}$	[kN]	$0,35 \cdot A_s \cdot f_{uk}$				

1) Leistung nicht bewertet.

Injektionssystem Hilti HIT-HY 200-A V3 und HIT-HY 200-R V3

Leistung
Wesentliche Merkmale unter Zug- und Querbeanspruchung
Seismische Leistungskategorie C1

Anhang C20

Tabelle C19: Wesentliche Merkmale für Hilti Zuganker HZA, HZA-R unter Zugbeanspruchung für seismische Leistungskategorie C1

Hilti Zuganker HZA, HZA-R			M12	M16	M20	M24	M27
Für eine Nutzungsdauer von 50 und 100 Jahren							
Stahlversagen							
Charakteristischer Widerstand HZA	$N_{Rk,s,C1}$	[kN]	46	86	135	194	253
Charakteristischer Widerstand HZA-R	$N_{Rk,s,C1}$	[kN]	62	111	173	248	¹⁾
Teilsicherheitsbeiwert	$\gamma_{Ms,N,C1}$	²⁾ [-]	1,4				
Kombiniertes Versagen durch Herausziehen und Betonausbruch							
Durchmesser des Betonstahl	d	[mm]	12	16	20	25	28
Charakteristische Verbundtragfähigkeit im gerissenen Beton C20/25							
Temperaturbereich I:	40°C / 24°C	$\tau_{Rk,C1} = \tau_{Rk,100,C1}$ [N/mm ²]	6,1				
Temperaturbereich II:	80°C / 50°C	$\tau_{Rk,C1} = \tau_{Rk,100,C1}$ [N/mm ²]	4,8				
Temperaturbereich III:	120°C / 72°C	$\tau_{Rk,C1} = \tau_{Rk,100,C1}$ [N/mm ²]	4,4				
Einflussfaktoren ψ auf Verbundtragfähigkeit $\tau_{Rk,C1}$ und $\tau_{Rk,100,C1}$ im gerissenen Beton							
Einfluss der Betonfestigkeitsklasse: $\tau_{Rk} = \tau_{Rk,(C20/25)} \cdot \psi_c$							
Temperaturbereich I bis III:	ψ_c	[-]	1,0				

¹⁾ Leistung nicht bewertet.

²⁾ Sofern nationale Regelungen fehlen.

Tabelle C20: Wesentliche Merkmale für Hilti Zuganker HZA, HZA-R unter Querbeanspruchung für seismische Leistungskategorie C1

Hilti Zuganker HZA, HZA-R			M12	M16	M20	M24	M27
Für eine Nutzungsdauer von 50 und 100 Jahren							
Faktor für Ringspalt ohne Hilti Verfüll-Set	α_{gap}	[-]	0,5				
Faktor für Ringspalt mit Hilti Verfüll-Set	α_{gap}	[-]	1,0				
Stahlversagen ohne Hebelarm							
Charakteristischer Widerstand HZA	$V_{Rk,s,C1}$	[kN]	16	30	47	68	88
Charakteristischer Widerstand HZA-R	$V_{Rk,s,C1}$	[kN]	22	39	60	124	¹⁾
Teilsicherheitsbeiwert	$\gamma_{Ms,V,C1}$	²⁾ [-]	1,5				

¹⁾ Leistung nicht bewertet.

²⁾ Sofern nationale Regelungen fehlen.

Injektionssystem Hilti HIT-HY 200-A V3 und HIT-HY 200-R V3

Leistung
Wesentliche Merkmale unter Zug- und Querbeanspruchung
Seismische Leistungskategorie C1

Anhang C21

Tabelle C21: Wesentliche Merkmale für Betonstahl unter Zugbeanspruchung für seismische Leistungskategorie C1

Betonstahl		φ 10	φ 12	φ 14	φ 16	φ 20	φ 25	φ 26	φ 28	φ 30	φ 32
Für eine Nutzungsdauer von 50 und 100 Jahren											
Stahlversagen											
Charakteristischer Widerstand	$N_{Rk,s,C1}$ [kN]	$A_s \cdot f_{uk}^{(1)}$									
Charakteristischer Widerstand für Betonstahl B500B nach DIN 488-1	$N_{Rk,s,C1}$ [kN]	43	62	85	111	173	270	292	339	388	442
Kombiniertes Versagen durch Herausziehen und Betonausbruch											
Durchmesser des Betonstahl	d [mm]	10	12	14	16	20	25	26	28	30	32
Charakteristische Verbundtragfähigkeit im gerissenen Beton C20/25											
Temperaturbereich I: 40°C/24°C	$\tau_{Rk,C1} = \tau_{Rk,100,C1}$ [N/mm ²]	4,4	6,1								
Temperaturbereich II: 80°C/50°C	$\tau_{Rk,C1} = \tau_{Rk,100,C1}$ [N/mm ²]	3,5	4,8								
Temperaturbereich III: 120°C/72°C	$\tau_{Rk,C1} = \tau_{Rk,100,C1}$ [N/mm ²]	3	4,4								
Einflussfaktoren ψ auf Verbundtragfähigkeit $\tau_{Rk,C1}$ und $\tau_{Rk,100,C1}$ im gerissenen Beton											
Einfluss der Betonfestigkeitsklasse: $\tau_{Rk} = \tau_{Rk,(C20/25)} \cdot \psi_c$											
Temperaturbereich I bis III:	ψ_c [-]	1,0									

¹⁾ f_{uk} entsprechend der Spezifikation des Betonstahls

Tabelle C22: Wesentliche Merkmale für Betonstahl unter Querbeanspruchung für seismische Leistungskategorie C1

Betonstahl		φ 10	φ 12	φ 14	φ 16	φ 20	φ 25	φ 26	φ 28	φ 30	φ 32
Für eine Nutzungsdauer von 50 und 100 Jahren											
Faktor für Ringspalt ohne Hilti Verfüll-Set	α_{gap} [-]	0,5									
Stahlversagen ohne Hebelarm											
Charakteristischer Widerstand	$V_{Rk,s,C1}$ [kN]	$0,35 \cdot A_s \cdot f_{uk}^{(1)}$									
Charakteristischer Widerstand für Betonstahl B500B nach DIN 488-1	$V_{Rk,s,C1}$ [kN]	15	22	29	39	60	95	102	118	135	155

¹⁾ f_{uk} entsprechend der Spezifikation des Betonstahls

Injektionssystem Hilti HIT-HY 200-A V3 und HIT-HY 200-R V3

Leistung
Wesentliche Merkmale unter Zug- und Querbeanspruchung
Seismische Leistungskategorie C1

Anhang C22

Tabelle C23: Wesentliche Merkmale für Gewindestangen entsprechend Anhang A unter Zugbeanspruchung für seismische Leistungskategorie C2

Gewindestangen entsprechend Anhang A		M12	M16	M20	M24
Für eine Nutzungsdauer von 50 Jahren und 100 Jahren					
Stahlversagen					
Charakteristischer Widerstand HAS (8.8, 8.8 HDG, A4) HAS-U (-8.8, -8.8 HDG, A4, HCR), HIT-V (-8.8, -8.8 F, -,R, HCR) , AM (8.8, 8.8 HDG) Gewindestange (galvanisch verzinkt 8.8 und CRC II, CRC III, und CRC V, Tabelle A1)	$N_{Rk,s,C2}$ [kN]	$A_s \cdot f_{uk}$			
Kombiniertes Versagen durch Herausziehen und Betonausbruch					
Charakteristische Verbundtragfähigkeit im gerissenen Beton C20/25 in hammergebohrten Bohrlöchern und hammergebohrten Löchern mit Hilti Hohlbohrer TE-CD oder TE-YD					
Temperaturbereich I: 24 °C / 40 °C	$\tau_{Rk,C2} = \tau_{Rk,100,C2}$ [N/mm ²]	2,7	4,6	4,6	3,5
Temperaturbereich II: 50 °C / 80 °C	$\tau_{Rk,C2} = \tau_{Rk,100,C2}$ [N/mm ²]	2,3	3,9	3,9	2,9
Temperaturbereich III: 72 °C / 120°C	$\tau_{Rk,C2} = \tau_{Rk,100,C2}$ [N/mm ²]	2,0	3,3	3,3	2,5
Einflussfaktoren ψ auf Verbundtragfähigkeit $\tau_{Rk,C2}$ und $\tau_{Rk,100,C2}$ im gerissenen Beton					
Einfluss der Betonfestigkeitsklasse: $\tau_{Rk} = \tau_{Rk,(C20/25)} \cdot \psi_c$					
Temperaturbereich I bis III:	ψ_c	[-] 1,0			

Tabelle C24: Wesentliche Merkmale für Gewindestangen entsprechend Anhang A 8.8 unter Querbeanspruchung für seismische Leistungskategorie C2

Gewindestange, HAS-U-..., HIT-V-..., AM 8.8...		M12	M16	M20	M24
Für eine Nutzungsdauer von 50 Jahren und 100 Jahren					
Faktor für Ringspalt ohne Hilti Verfüll-Set	α_{gap} [-]	0,5			
Faktor für Ringspalt mit Hilti Verfüll-Set	α_{gap} [-]	1,0			
Stahlversagen ohne Hebelarm mit Hilti Verfüll-Set					
Charakteristischer Widerstand					
HAS 8.8, HAS-U 8.8, HIT-V 8.8, AM 8.8	$V_{Rk,s,C2}$ [kN]	28	46	77	103
Stahlversagen ohne Hebelarm ohne Hilti Verfüll-Set					
Charakteristischer Widerstand					
HAS 8.8, HAS-U 8.8, HIT-V 8.8, AM 8.8	$V_{Rk,s,C2}$ [kN]	24	40	71	90
HAS A4, HAS-U A4, HIT-V-R	$V_{Rk,s,C2}$ [kN]	21	35	62	79
HAS-U-HCR, HIT-V-HCR	$V_{Rk,s,C2}$ [kN]	24	40	71	79
HAS 8.8 HDG, HAS-U 8.8 HDG, HIT-V-F 8.8, AM-HDG 8.8	$V_{Rk,s,C2}$ [kN]	18	30	46	66
Gewindestange, galvanisch verzinkt 8.8	$V_{Rk,s,C2}$ [kN]	17	28	50	63
Gewindestange CRC II und CRC III (Tabelle A1)	$V_{Rk,s,C2}$ [kN]	15	25	43	55
Gewindestange CRC V (Tabelle A1)	$V_{Rk,s,C2}$ [kN]	17	28	50	55

Injektionssystem Hilti HIT-HY 200-A V3 und HIT-HY 200-R V3

Leistung
Wesentliche Merkmale unter Zug- und Querbeanspruchung
Seismische Leistungskategorie C2

Anhang C23

Tabelle C25: Verschiebungen unter Zugbeanspruchung für seismische Leistungskategorie C2

Gewindestangen entsprechend Anhang A	M12	M16	M20	M24	
Verschiebung DLS, HAS(8.8, 8.8 HDG, A4) HAS-U (-8.8, -8.8 HDG, A4, HCR), HIT-V (-8.8, -8.8 F, -R, HCR), AM (8.8, 8.8 HDG), Gewindestange (galvanisch verzinkt 8.8 und CRC II, CRC III und CRC V, Tabelle A1)	$\delta_{N,C2(DLS)}$ [mm]	0,3	0,4	0,5	0,4
Verschiebung ULS, HAS-U (-8.8, -8.8 HDG, A4, HCR), HIT-V (-8.8, -8.8 F, -R, HCR), AM (8.8, 8.8 HDG), Gewindestange (galvanisch verzinkt 8.8 und CRC II, CRC III und CRC V, Tabelle A1)	$\delta_{N,C2(ULS)}$ [mm]	1,2	1,1	0,7	0,9

Tabelle C26: Verschiebungen unter Querbeanspruchung für seismische Leistungskategorie C2

Gewindestangen entsprechend Anhang A	M12	M16	M20	M24	
Einbau mit Hilti Verfüll-Set					
Verschiebung DLS, HAS 8.8, HAS-U 8.8, HIT-V 8.8, AM 8.8	$\delta_{V,C2(DLS)}$ [mm]	0,6	1,2	1,4	1,1
Verschiebung ULS, HAS 8.8, HAS-U 8.8, HIT-V 8.8, AM 8.8	$\delta_{V,C2(ULS)}$ [mm]	3,1	3,2	3,8	2,6
Einbau ohne Verfüll-Set					
Verschiebung DLS, HAS (8.8, A4) HAS-U (-8.8, A4, HCR), HIT-V (-8.8, -R, HCR), AM 8.8, Gewindestange (galvanisch verzinkt 8.8 und CRC II, CRC III und CRC V, Tabelle A1)	$\delta_{V,C2(DLS)}$ [mm]	1,9	3,2	2,5	3,5
Verschiebung DLS, HAS 8.8 HDG, HAS-U 8.8 HDG, HIT-V-F 8.8, AM HDG 8.8	$\delta_{V,C2(DLS)}$ [mm]	2,2	2,3	3,8	3,7
Verschiebung ULS, HAS (-8.8, A4), HAS-U (-8.8, A4, HCR), HIT-V (-8.8, -R, HCR), AM 8.8, Gewindestange (galvanisch verzinkt 8.8 und CRC II, CRC III und CRC V, Tabelle A1)	$\delta_{V,C2(ULS)}$ [mm]	4,4	9,2	7,1	10,2
Verschiebung ULS, HAS 8.8 HDG, HAS-U 8.8 HDG, HIT-V-F 8.8, AM HDG 8.8	$\delta_{V,C2(ULS)}$ [mm]	4,1	4,3	9,1	8,4

Injektionssystem Hilti HIT-HY 200-A V3 und HIT-HY 200-R V3

Leistung

Verschiebungen unter Zug- und Querbeanspruchung für seismische Leistungskategorie C2

Anhang C24

Charakteristischer Widerstand gegen kombiniertes Versagen durch Herausziehen und Betonausbruch unter Brandbeanspruchung in Beton C20/25 bis C50/60 für Gewindestangen für alle Bohrverfahren

Die charakteristische Verbundtragfähigkeit $\tau_{Rk,fi}(\theta)$ unter Brandbeanspruchung muss mit der folgenden Gleichung berechnet werden:

$$\tau_{Rk,fi}(\theta) = k_{fi,p}(\theta) \cdot \tau_{Rk,cr,C20/25}$$

$$\tau_{Rk,fi}(\theta) = k_{fi,p}(\theta) \cdot \tau_{Rk,cr,100,C20/25}$$

mit: $\theta \leq 268 \text{ °C}$: $k_{fi,p}(\theta) = 0,8573 \cdot e^{(-0,013 \cdot \theta)} \leq 1,0$

und $\theta > \theta_{max}$: $k_{fi,p}(\theta) = 0,0$

$$\theta_{max} = 268 \text{ °C}$$

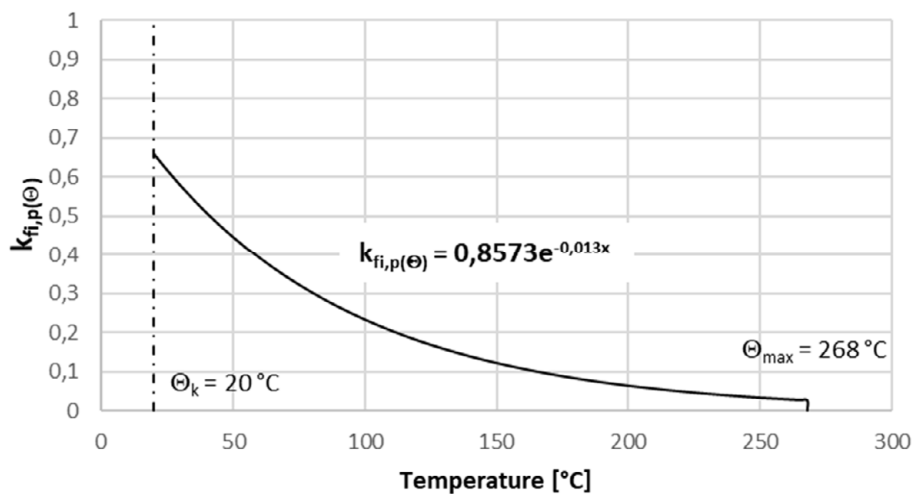
$\tau_{Rk,fi}(\theta)$ = Charakteristische Verbundtragfähigkeit für gerissenen Beton unter Brandbeanspruchung bei einer vorgegebenen Temperatur

$k_{fi,p}(\theta)$ = Abminderungsfaktor für die Verbundtragfähigkeit unter Brandbeanspruchung

$\tau_{Rk,cr,C20/25}$ = Charakteristische Verbundtragfähigkeit in gerissenen Beton C20/25 für eine Nutzungsdauer von 50 Jahren nach Tabelle C1

$\tau_{Rk,cr,100,C20/25}$ = Charakteristische Verbundtragfähigkeit in gerissenen Beton C20/25 für eine Nutzungsdauer von 100 Jahren nach Tabelle C1

Bild C1 Temperaturabminderungsfaktor $k_{fi,p}(\theta)$



Injektionssystem Hilti HIT-HY 200-A V3 und HIT-HY 200-R V3

Leistung
Charakteristische Verbundtragfähigkeit unter Brandbeanspruchung

Anhang C25

Tabelle C27: Charakteristischer Widerstand gegen Stahlversagen unter Zugbeanspruchung für Gewindestangen im Brandfall

Gewindestangen entsprechend Anhang A		M8	M10	M12	M16	M20	M24	M27	M30
HAS 5.8, HAS-U 5.8, HIT-V 5.8, AM 8.8	$N_{Rk,s,fi(30)}$	1,04	1,80	2,80	5,22	8,15	11,74	15,27	18,67
HAS 5.8 HDG, HAS-U 5.8 HDG, HIT-V-F 5.8, AM-HDG 5.8	$N_{Rk,s,fi(60)}$	0,81	1,36	2,05	3,83	5,98	8,62	11,21	13,70
HAS 8.8, HAS-U 8.8, HIT-V 8.8, AM 8.8	$N_{Rk,s,fi(90)}$	0,58	0,91	1,31	2,44	3,81	5,49	7,14	8,73
HAS 8.8 HDG, HAS-U 8.8 HDG, HIT-V-F 8.8, AM-HDG 8.8	$N_{Rk,s,fi(120)}$	0,47	0,69	0,93	1,74	2,72	3,92	5,10	6,24
HAS A4, HAS-U A4, HIT-V-R HAS-U-HCR, HIT-V-HCR Gewindestangen CRC III und Gewindestangen CRC V (Tabelle A1)	$N_{Rk,s,fi(30)}$	2,70	4,93	7,93	14,77	23,06	33,23	43,20	52,81
	$N_{Rk,s,fi(60)}$	1,93	3,49	5,56	10,37	16,18	23,31	30,31	37,05
	$N_{Rk,s,fi(90)}$	1,17	2,04	3,20	5,96	9,30	13,40	17,42	21,29
	$N_{Rk,s,fi(120)}$	0,79	1,32	2,01	3,75	5,86	8,44	10,98	13,42

Tabelle C28: Charakteristischer Widerstand gegen kegelförmigen Betonausbruch unter Zugbeanspruchung für Gewindestangen im Brandfall

Gewindestangen entsprechend Anhang A		M8	M10	M12	M16	M20	M24	M27	M30
HAS 5.8, HAS-U 5.8, HIT-V 5.8, AM 8.8	$N^0_{Rk,c,fi(30)}$ $N^0_{Rk,c,fi(60)}$ $N^0_{Rk,c,fi(90)}$ $N^0_{Rk,c,fi(120)}$ [kN]	$h_{ef}/200 \cdot N^0_{Rk,c} \leq N^0_{Rk,c}$							
HAS 5.8 HDG, HAS-U 5.8 HDG, HIT-V-F 5.8, AM-HDG 5.8									
HAS 8.8, HAS-U 8.8, HIT-V 8.8, AM 8.8									
HAS 8.8 HDG, HAS-U 8.8 HDG, HIT-V-F 8.8, AM-HDG 8.8									
HAS A4, HAS-U A4, HIT-V-R HAS-U-HCR, HIT-V-HCR Gewindestangen CRC III und Gewindestangen CRC V (Tabelle A1)	$N^0_{Rk,c,fi(120)}$	$0,8 \cdot h_{ef}/200 \cdot N^0_{Rk,c} \leq N^0_{Rk,c}$							
Charakteristischer Achsabstand	$S_{cr,N,fi}$	4 · h_{ef}							
Charakteristischer Randabstand	$C_{cr,N,fi}$	2 · h_{ef}							

Injektionssystem Hilti HIT-HY 200-A V3 und HIT-HY 200-R V3

Leistung

Feuerwiderstand gegen Stahlversagen und kegelförmigen Betonausbruch unter Zugbeanspruchung

Anhang C26

Tabelle C29: Charakteristischer Widerstand gegen Stahlversagen unter Querbeanspruchung ohne Hebelarm für Gewindestangen im Brandfall

Gewindestangen entsprechend Anhang A		M8	M10	M12	M16	M20	M24	M27	M30
HAS 5.8, HAS-U 5.8, HIT-V 5.8, AM 8.8	$V_{Rk,s,fi(30)}$	1,04	1,80	2,80	5,22	8,15	11,74	15,27	18,67
HAS 5.8 HDG, HAS-U 5.8 HDG, HIT-V-F 5.8, AM-HDG 5.8	$V_{Rk,s,fi(60)}$	0,81	1,36	2,05	3,83	5,98	8,62	11,21	13,70
HAS 8.8, HAS-U 8.8, HIT-V 8.8, AM 8.8	$V_{Rk,s,fi(30)}$	0,58	0,91	1,31	2,44	3,81	5,49	7,14	8,73
HAS 8.8 HDG, HAS-U 8.8 HDG, HIT-V-F 8.8, AM-HDG 8.8	$V_{Rk,s,fi(120)}$	0,47	0,69	0,93	1,74	2,72	3,92	5,10	6,24
HAS A4, HAS-U A4, HIT-V-R HAS-U-HCR, HIT-V-HCR Gewindestangen CRC III und Gewindestangen CRC V (Tabelle A1)	$V_{Rk,s,fi(30)}$	2,70	4,93	7,93	14,77	23,06	33,23	43,20	52,81
	$V_{Rk,s,fi(30)}$	1,93	3,49	5,56	10,37	16,18	23,31	30,31	37,05
	$V_{Rk,s,fi(30)}$	1,17	2,04	3,20	5,96	9,30	13,40	17,42	21,29
	$V_{Rk,s,fi(120)}$	0,79	1,32	2,01	3,75	5,86	8,44	10,98	13,42

Tabelle C30: Charakteristischer Widerstand gegen Stahlversagen unter Querbeanspruchung mit Hebelarm für Gewindestangen im Brandfall

Gewindestangen entsprechend Anhang A		M8	M10	M12	M16	M20	M24	M27	M30
HAS 5.8, HAS-U 5.8, HIT-V 5.8, AM 8.8	$M^0_{Rk,s,fi(30)}$	1,07	2,33	4,36	11,08	21,60	37,36	55,40	74,85
HAS 5.8 HDG, HAS-U 5.8 HDG, HIT-V-F 5.8, AM-HDG 5.8	$M^0_{Rk,s,fi(60)}$	0,83	1,75	3,19	8,13	15,85	27,41	40,65	54,92
HAS 8.8, HAS-U 8.8, HIT-V 8.8, AM 8.8	$M^0_{Rk,s,fi(30)}$	0,60	1,18	2,03	5,18	10,10	17,46	25,90	34,99
HAS 8.8 HDG, HAS-U 8.8 HDG, HIT-V-F 8.8, AM-HDG 8.8	$M^0_{Rk,s,fi(120)}$	0,48	0,89	1,45	3,70	7,22	12,49	18,52	25,03
HAS A4, HAS-U A4, HIT-V-R HAS-U-HCR, HIT-V-HCR Gewindestangen CRC III und Gewindestangen CRC V (Tabelle A1)	$M^0_{Rk,s,fi(30)}$	2,76	6,35	12,33	31,34	61,10	105,6	156,6	211,7
	$M^0_{Rk,s,fi(30)}$	1,98	4,49	8,65	21,99	42,87	74,14	109,9	148,5
	$M^0_{Rk,s,fi(30)}$	1,20	2,64	4,97	12,64	24,64	42,61	63,19	85,38
	$M^0_{Rk,s,fi(120)}$	0,80	1,71	3,13	7,96	15,52	26,85	39,81	53,80

Injektionssystem Hilti HIT-HY 200-A V3 und HIT-HY 200-R V3

Leistung
Feuerwiderstand gegen Stahlversagen unter Querbeanspruchung

Anhang C27

Évaluation Technique Européenne

ETA-19/0601
du 2 juin 2023

Traduction française élaborée par Hilti - version originale en allemand

Partie générale

Organisme d'évaluation technique délivrant
l'Évaluation Technique Européenne :

Deutsches Institut für Bautechnik

Dénomination commerciale du produit de
construction

Système d'injection Hilti HIT-HY 200-A V3 et
HIT-HY 200-R V3

Famille de produits
à laquelle appartient le produit de construction

Fixation pour scellement et fixations à expansion pour
scellement dans le béton

Fabricant

Hilti Aktiengesellschaft
Feldkircherstrasse 100
9494 SCHAAN
PRINCIPAUTÉ DU LIECHTENSTEIN

Usine de fabrication

Usines Hilti

La présente Évaluation Technique Européenne
comprend

53 pages incluant 3 annexes qui font partie intégrante de
la présente évaluation

La présente Évaluation Technique Européenne
est délivrée conformément au règlement (UE)
no 305/2011, sur la base du document

DDE 330499-02-0601 publié en avril 2023

Cette version remplace

ETE-19/0601 publiée le jeudi 2 décembre 2021

L'Évaluation Technique Européenne est délivrée par l'Organisme d'évaluation technique dans sa langue officielle. Les traductions de la présente Évaluation Technique Européenne dans d'autres langues doivent correspondre pleinement au document original délivré et doivent être identifiées comme telles.

La présente Évaluation Technique Européenne doit être communiquée dans son intégralité, y compris par voie électronique. Toutefois, une reproduction partielle peut être autorisée moyennant l'accord écrit de l'Organisme d'évaluation technique ayant délivré le document. Toute reproduction partielle doit être identifiée comme telle.

La présente Évaluation Technique Européenne peut être retirée par l'organisme d'évaluation technique l'ayant délivrée, notamment en application des informations de la Commission, conformément à l'article 25, paragraphe 3, du règlement (UE) n° 305/2011.

Partie spécifique

1 Description technique du produit

Le système d'injection Hilti HIT-HY 200-A V3 et HIT-HY 200-R V3 est une fixation à scellement constituée d'une cartouche avec résine d'injection HIT-HY 200-A V3 ou HIT-HY 200-R V3 et d'un élément en acier conformément à l'annexe A.

L'élément en acier est placé dans un trou percé rempli de résine d'injection et est ancré sous l'effet de la liaison entre la partie métallique, la résine d'injection et le béton.

La description du produit est donnée à l'Annexe A.

2 Spécification concernant le domaine d'application conformément au Document d'évaluation européen applicable

Les performances indiquées à la section 3 ne sont valables que si la fixation est utilisée conformément aux spécifications et conditions précisées à l'annexe B.

Les vérifications et méthodes d'évaluation sur lesquelles se fonde la présente Évaluation Technique Européenne reposent sur l'hypothèse que la durée de vie de la cheville pour l'utilisation prévue est d'au moins 50 ans et/ou 100 ans. Les indications relatives à la durée de vie ne doivent pas être interprétées comme une garantie donnée par le fabricant et doivent être uniquement considérées comme un moyen de sélectionner un produit adapté à la durée de vie économiquement raisonnable et attendue des ouvrages.

3 Performance du produit et références aux méthodes utilisées pour son évaluation

3.1 Résistance mécanique et stabilité (EFAO 1)

Caractéristique essentielle	Performance
Résistance caractéristique à la charge de traction (charges statiques et quasi statiques)	Voir les annexes C1 à C3, C5 à C6, C8 à C10, C12 à C14, B3 à B7
Résistance caractéristique à la charge de cisaillement (charges statiques et quasi statiques)	Voir les annexes C4, C7, C11, C15
Déplacements sous charges à court terme et à long terme	Voir les annexes C16 à C19
Résistance caractéristique et déplacements dans les catégories de performance sismique C1 et C2	Voir les annexes C20 à C24

3.2 Sécurité en cas de feu (EFAO 2)

Caractéristique essentielle	Performance
Réaction au feu	Classe A1
Résistance au feu	Voir les annexes C25 à C27

3.3 Hygiène, santé et environnement (EFAO 3)

Caractéristique essentielle	Performance
Teneur en substances dangereuses, émission et/ou libération de telles substances	Aucune performance évaluée

Traduction française élaborée par Hilti -
Version originale en allemand

4 Système d'évaluation et de vérification de la constance des performances (EVCP) appliqué, avec référence à sa base juridique

Conformément au document d'évaluation européen (DEE) 330499-02-0601, la base juridique européenne applicable est la décision [96/582/CE].

Le système à appliquer est : 1

5 Détails techniques nécessaires à la mise en œuvre du système EVCP, selon le Document d'évaluation européen applicable

Les détails techniques nécessaires à la mise en œuvre du système EVCP sont donnés dans le plan de contrôle déposé auprès du Deutsches Institut für Bautechnik.

Il est fait référence aux normes et documents suivants dans cette Évaluation Technique Européenne :

- EN 01-01-92:2004 + AC:2010 Eurocode 2 : Calcul des structures en béton - Partie 1-1 : règles générales et règles pour les bâtiments
- EN 1992-4:2018 Eurocode 2 : calcul des structures en béton - Partie 4 : conception et calcul des éléments de fixation pour béton
- EN 1993-1-4:2006 + A1:2015 Eurocode 3 : Calcul des structures en acier - Partie 1-4 : Règles générales - Règles supplémentaires pour les aciers inoxydables
- EN 10088-1:2014 Aciers inoxydables - Partie 1 : liste des aciers inoxydables
- EN 206:2013 + A1:2016 Béton - Spécification, performances, production et conformité
- EN 10204:2004 Produits métalliques - Types de documents de contrôle
- DIN 488-1:2009-08 Aciers pour béton armé – Partie 1 : Nuances, propriétés, marquage
- Rapport TR 055 de l'EOTA Conception et calcul des éléments de fixation basés sur les DDE 330232-00-0601, DDE 330499-00-0601 et DDE 330747-00-0601, février 2018
- Rapport TR 082 de l'EOTA Conception et calcul des fixations pour scellement dans le béton en cas d'exposition au feu, août 2022

Délivré à Berlin le 2 juin 2023 par le Deutsches Institut für Bautechnik

Conditions de pose

Figure A1 :

Tige filetée, HAS..., HAS-U..., HIT-V-... et AM 8.8

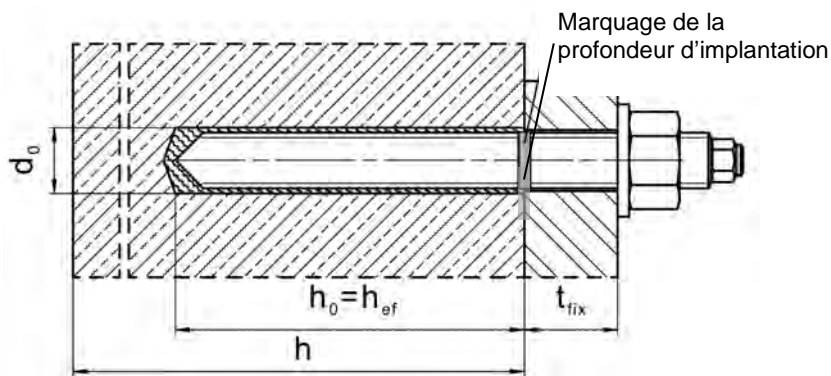


Figure A2 :

Tige filetée, HAS..., HAS-U..., HIT-V-... et AM 8.8 avec kit de remplissage Hilti

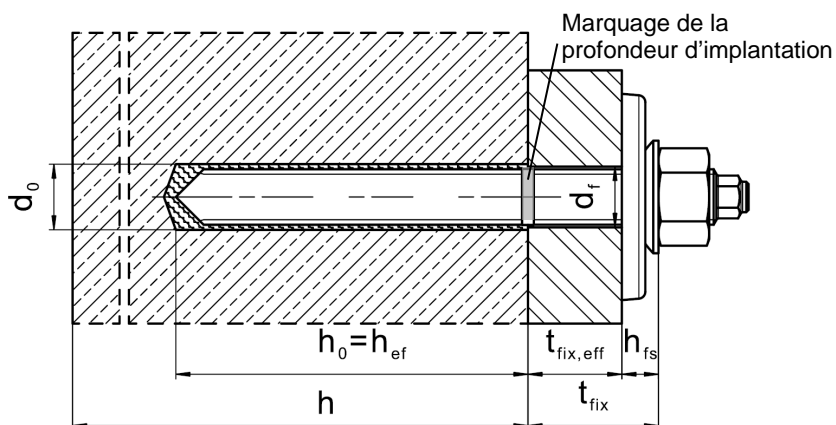
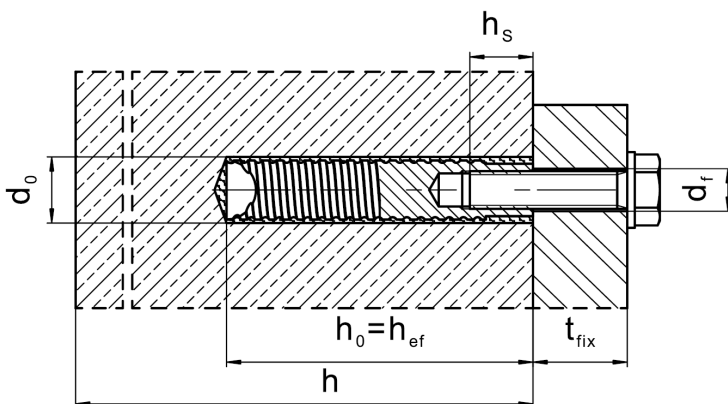


Figure A3 :

Douille à filetage intérieur HIS-(R)N



Système d'injection Hilti HIT-HY 200-A V3 et HIT-HY 200-R V3

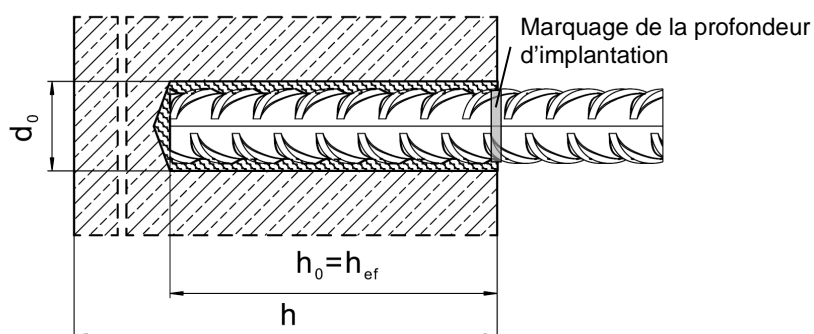
Description du produit
 Produit posé

Annexe A1

Conditions de pose

Figure A4 :

Barre d'armature



Système d'injection Hilti HIT-HY 200-A V3 et HIT-HY 200-R V3

Description du produit
Produit posé

Annexe A2

Description du produit : Résine d'injection

Résine d'injection Hilti HIT-HY 200-A V3 et HIT-HY 200-R V3 : système hybride avec agrégat 330 ml et 500 ml

Marquage :
 HILTI HIT
 HY 200-A V3
 Temps et ligne de production
 Date d'expiration mm/aaaa



Nom du produit : « Hilti HIT-HY 200-A V3 »

Marquage :
 HILTI HIT
 HY 200-R V3
 Temps de production et
 ligne de production
 Date d'expiration mm/aaaa



Nom du produit : « Hilti HIT-HY 200-R V3 »

Buse mélangeuse Hilti HIT-RE-M

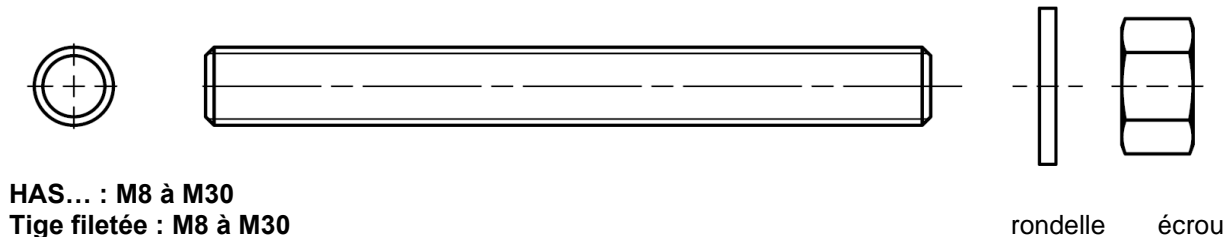
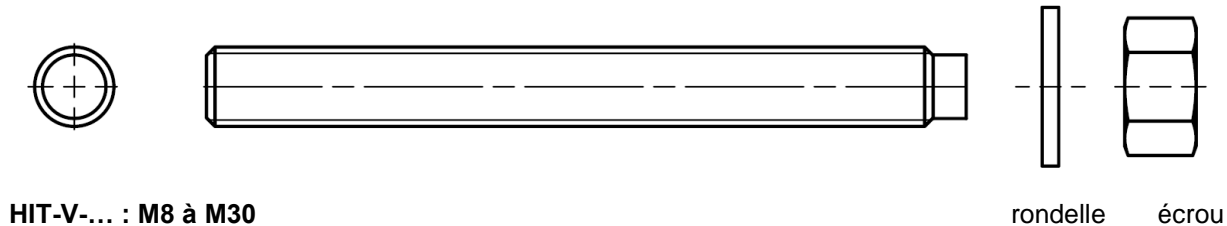
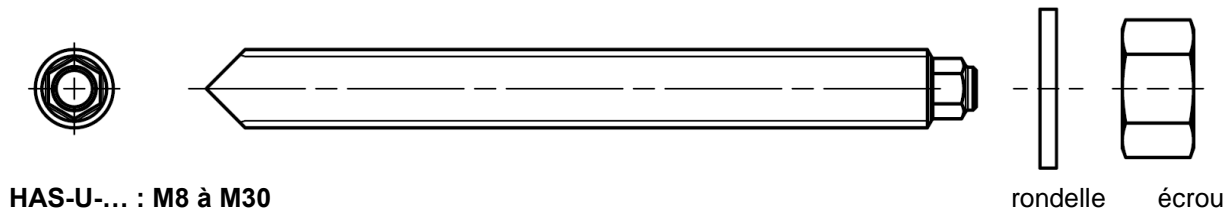


Système d'injection Hilti HIT-HY 200-A V3 et HIT-HY 200-R V3

Description du produit
 Résine d'injection / Buse mélangeuse

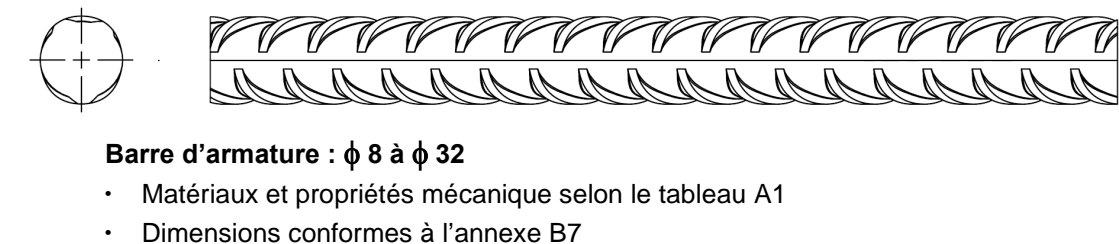
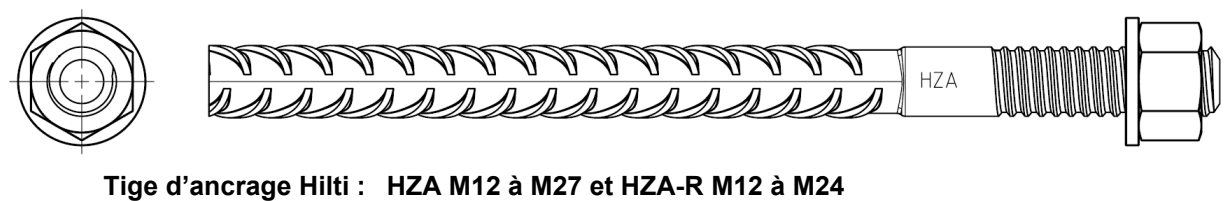
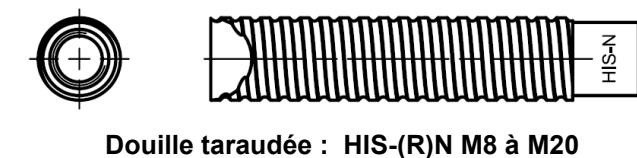
Annexe A3

Éléments en acier



Tige filetée standard disponible dans le commerce :

- Matériaux et propriétés mécaniques selon le tableau A1.
- Certificat d'inspection 3.1 conformément à la norme EN 10204. Le document doit être conservé.
- Marquage de la profondeur d'implantation.



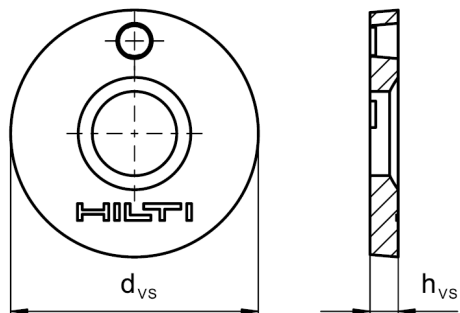
Système d'injection Hilti HIT-HY 200-A V3 et HIT-HY 200-R V3

Description du produit
 Éléments en acier

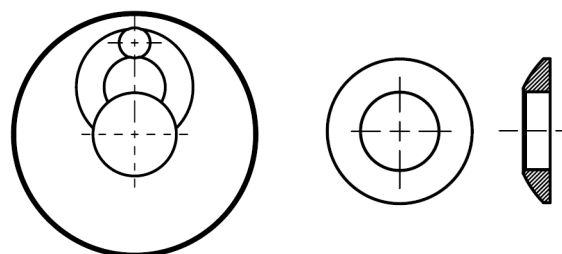
Annexe A4

Kit de remplissage Hilti pour le remplissage de l'espace annulaire entre l'élément en acier et la pièce à fixer

Rondelle d'étanchéité



Rondelle sphérique



Kit de remplissage Hilti		M10	M12	M16	M20	M24
Diamètre de la rondelle d'étanchéité	d _{vs} [mm]	42	44	52	60	70
Épaisseur de la rondelle d'étanchéité	h _{vs} [mm]	5	5	6	6	6
Épaisseur du kit de remplissage Hilti	h _{rs} [mm]	9	10	11	13	15

Système d'injection Hilti HIT-HY 200-A V3 et HIT-HY 200-R V3

Description du produit
Kit de remplissage Hilti

Annexe A5

Tableau A1 : Matériaux

Désignation	Matériau
Barres d'armature	
Barre d'armature EN 1992-1-1, Annex C	Barres et tiges déroulées de classe B ou C avec f_{yk} et k selon les NDP ou NCI de la norme EN 1992-1-1/NA $f_{uk} = f_{tk} = k \cdot f_{yk}$
Éléments en acier zingué	
HAS 5.8 (HDG), HAS-U 5.8 (HDG), HIT-V 5.8(F), tige filetée 5.8	Classe de résistance 5.8, $f_{uk} = 500 \text{ N/mm}^2$, $f_{yk} = 400 \text{ N/mm}^2$ Allongement à la rupture ($l_0 = 5d$) > 8 % ductile Électrozinguée $\geq 5 \mu\text{m}$, (F) ou (HDG) galvanisée à chaud $\geq 50 \mu\text{m}$
Tige filetée 6.8	Classe de résistance 6.8, $f_{uk} = 600 \text{ N/mm}^2$, $f_{yk} = 480 \text{ N/mm}^2$ Allongement à la rupture ($l_0 = 5d$) > 8 % ductile Électrozinguée $\geq 5 \mu\text{m}$ ou galvanisée à chaud $\geq 50 \mu\text{m}$
HAS 8.8 (HDG), HAS-U 8.8 (HDG), HIT-V 8.8 (F), tige filetée 8.8	Classe de résistance 8.8, $f_{uk} = 800 \text{ N/mm}^2$, $f_{yk} = 640 \text{ N/mm}^2$ Allongement à la rupture ($l_0 = 5d$) > 12 % ductile Électrozinguée $\geq 5 \mu\text{m}$, (F) ou (HDG) galvanisée à chaud $\geq 50 \mu\text{m}$
Tige 1 m Hilti AM 8.8 (galvanisée à chaud)	Classe de résistance 8.8, $f_{uk} = 800 \text{ N/mm}^2$, $f_{yk} = 640 \text{ N/mm}^2$ Allongement à la rupture ($l_0 = 5d$) > 12 % ductile Électrozinguée $\geq 5 \mu\text{m}$, (F) galvanisée à chaud $\geq 50 \mu\text{m}$
Tige d'ancrage Hilti HZA	Acier lisse avec partie filetée : acier électrozinguée $\geq 5 \mu\text{m}$ Barre d'armature : Barres de classe B selon les NDP ou NCI de la norme EN 1992-1-1/NA
Douille à filetage intérieur HIS-N	Acier électrozinguée $\geq 5 \mu\text{m}$
Rondelle	Électrozinguée $\geq 5 \mu\text{m}$, galvanisée à chaud $\geq 50 \mu\text{m}$
Écrou	Classe de résistance de l'écrou adaptée à la classe de résistance de la tige filetée Électrozinguée $\geq 5 \mu\text{m}$, (F) galvanisé à chaud $\geq 50 \mu\text{m}$
Kit de remplissage Hilti (F)	Rondelle de remplissage : Électrozinguée $\geq 5 \mu\text{m}$, (F) galvanisée à chaud $\geq 50 \mu\text{m}$ Rondelle sphérique : Électrozinguée $\geq 5 \mu\text{m}$, (F) galvanisée à chaud $\geq 50 \mu\text{m}$ Écrou autofreiné : Électrozinguée $\geq 5 \mu\text{m}$; (F) Électrozinguée-nickelée $\geq 6 \mu\text{m}$

Système d'injection Hilti HIT-HY 200-A V3 et HIT-HY 200-R V3Description du produit
Matériel**Annexe A6**

Tableau A1 : suite

Éléments en acier inoxydable	
Classe de résistance à la corrosion (CRC) II selon EN 1993-1-4	
Tige filetée	Pour ≤ M24 : classe de résistance 70, $f_{uk} = 700 \text{ N/mm}^2$, $f_{yk} = 450 \text{ N/mm}^2$ Pour > M24 : classe de résistance 50, $f_{uk} = 500 \text{ N/mm}^2$, $f_{yk} = 210 \text{ N/mm}^2$ Allongement à la rupture ($l_0 = 5d$) > 12 % ductile Acier inoxydable 1.4301, 1.4307, 1.4311, 1.4541, 1.4306, 1.4567 EN 10088-1
Rondelle	Acier inoxydable 1.4301, 1.4307, 1.4311, 1.4541, 1.4306, 1.4567 EN 10088-1
Écrou	Pour ≤ M24 : classe de résistance 70, $f_{uk} = 700 \text{ N/mm}^2$, $f_{yk} = 450 \text{ N/mm}^2$ Pour > M24 : classe de résistance 50, $f_{uk} = 500 \text{ N/mm}^2$, $f_{yk} = 210 \text{ N/mm}^2$ Acier inoxydable 1.4301, 1.4307, 1.4311, 1.4541, 1.4306, 1.4567 EN 10088-1
Éléments en acier inoxydable	
Classe de résistance à la corrosion (CRC) III selon EN 1993-1-4	
HAS A4, HAS-U A4, HIT-V-R	Pour ≤ M24 : classe de résistance 70, $f_{uk} = 700 \text{ N/mm}^2$, $f_{yk} = 450 \text{ N/mm}^2$ Pour > M24 : classe de résistance 50, $f_{uk} = 500 \text{ N/mm}^2$, $f_{yk} = 210 \text{ N/mm}^2$ Allongement à la rupture ($l_0 = 5d$) > 12 % ductile
Tige filetée	Pour ≤ M24 : classe de résistance 70, $f_{uk} = 700 \text{ N/mm}^2$, $f_{yk} = 450 \text{ N/mm}^2$ Pour > M24 : classe de résistance 50, $f_{uk} = 500 \text{ N/mm}^2$, $f_{yk} = 210 \text{ N/mm}^2$ Allongement à la rupture ($l_0 = 5d$) > 12 % ductile Acier inoxydable 1.4401, 1.4404, 1.4578, 1.4571, 1.4439, 1.4362 EN 10088-1
Tige d'ancrage Hilti HZA-R	Acier lisse avec partie filetée : Acier inoxydable 1.4404, 1.4362, 1.4571 EN 10088-1 Barre d'armature : classe B selon les NDP ou NCI de la norme EN 1992-1-1/NA
Douille à filetage intérieur HIS- RN	Acier inoxydable 1.4401, 1.4571 EN 10088-1
Rondelle	Acier inoxydable 1.4401, 1.4404, 1.4578, 1.4571, 1.4439, 1.4362 EN 10088-1
Écrou	Pour ≤ M24 : classe de résistance 70, $f_{uk} = 700 \text{ N/mm}^2$, $f_{yk} = 450 \text{ N/mm}^2$ Pour > M24 : classe de résistance 50, $f_{uk} = 500 \text{ N/mm}^2$, $f_{yk} = 210 \text{ N/mm}^2$ Acier inoxydable 1.4401, 1.4404, 1.4578, 1.4571, 1.4439, 1.4362 EN 10088-1
Kit de remplissage Hilti A4	Rondelle de remplissage : Acier inoxydable selon EN 10088-1 Rondelle sphérique : Acier inoxydable selon EN 10088-1 Écrou autofreiné : Acier inoxydable selon la norme EN 10088-1
Éléments en acier à haute résistance à la corrosion	
Classe de résistance à la corrosion (CRC) V selon EN 1993-1-4	
HAS-U HCR, HIT-V-HCR	Pour ≤ M20 : $f_{uk} = 800 \text{ N/mm}^2$, $f_{yk} = 640 \text{ N/mm}^2$ Pour > M20 : $f_{uk} = 700 \text{ N/mm}^2$, $f_{yk} = 400 \text{ N/mm}^2$ Allongement à la rupture ($l_0 = 5d$) > 12 % ductile
Tige filetée	Pour ≤ M20 : $f_{uk} = 800 \text{ N/mm}^2$, $f_{yk} = 640 \text{ N/mm}^2$ Pour > M20 : $f_{uk} = 700 \text{ N/mm}^2$, $f_{yk} = 400 \text{ N/mm}^2$ Allongement à la rupture ($l_0 = 5d$) > 12 % ductile Acier à haute résistance à la corrosion 1.4529, 1.4565 EN 10088-1
Rondelle	Acier à haute résistance à la corrosion 1.4529, 1.4565 EN 10088-1
Écrou	Pour ≤ M20 : $f_{uk} = 800 \text{ N/mm}^2$, $f_{yk} = 640 \text{ N/mm}^2$ Pour > M20 : $f_{uk} = 700 \text{ N/mm}^2$, $f_{yk} = 400 \text{ N/mm}^2$ Acier à haute résistance à la corrosion 1.4529, 1.4565 EN 10088-1

Système d'injection Hilti HIT-HY 200-A V3 et HIT-HY 200-R V3

Description du produit
 Matériel

Annexe A7

Spécifications du domaine d'application

Ancrages soumis à :

- Charges statiques et quasi-statiques.
- Catégories de performances sismiques C1 et C2 (voir le tableau B1).
- Exposition au feu : taille de tige filetée M8 à M30

Matériau support :

- Béton vibré armé ou non armé de poids normal sans fibres selon la norme EN 206.
- Classes de résistance C20/25 à C50/60 selon la norme EN 206.
- Béton fissuré et non fissuré.

Température dans le matériau support :









- **à la pose**
-10 °C à +40 °C pour la variation standard de température après la pose
- **en service**
Plage de températures I : -40 °C à +40 °C
(température max. à long terme de +24 °C et température max. à court terme de +40 °C)
Plage de températures II : -40 °C à +80 °C
(température max. à long terme de +50 °C et température max. à court terme de +80 °C)
Plage de températures III : -40 °C à +120 °C
(température max. à long terme de +72 °C et température max. à court terme de +120 °C)

Système d'injection Hilti HIT-HY 200-A V3 et HIT-HY 200-R V3

Usage prévu
Spécifications

Annexe B1

Tableau B1 : Spécifications du domaine d'application

Éléments en acier	HIT-HY 200-A V3 et HIT-HY 200-R V3 avec ...			
	Tiges filetées conformément à l'annexe A 	Barre d'armature 	HZA(-R) 	HIS-(R)N 
Perçage à percussion avec mèche creuse TE-CD ou TE-YD 	✓	✓	✓	✓
Perçage à percussion 	✓	✓	✓	✓
Forage au diamant avec outil de dépolissage TE-YRT  	✓	✓	✓	✓
Installation dans un trou d'eau	✓	✓	✓	-1)
Charge statique et quasi statique dans du béton non fissuré	M8 à M30	φ 8 à φ 32	M12 à M27	M8 à M20
Charge statique et quasi statique dans du béton fissuré	M8 à M30	φ 10 à φ 32	M12 à M27	M8 à M20
Catégorie de performances sismiques C1	M10 à M30	φ 10 à φ 32	M12 à M27	-1)
Catégorie de performances sismiques C2	M12 à M24, HAS (8.8, -8.8 HDG, A4) HAS-U (8.8, 8.8 HDG, A4, HCR) HIT-V- (8.8, 8.8 F, R, HCR), AM (8.8, 8.8 HDG) Tige filetée (électrozinguée 8.8 et CRC III, V, tableau A1)	-1)	-1)	-1)
Durée de vie de 50 ou 100 ans	50 et 100	50 et 100	50 et 100	50
Exposition au feu	Éléments en acier zingué et acier inoxydable CRC III et CRC V voir tableau A1	-1)	-1)	-1)

1) Aucune performance évaluée.

Système d'injection Hilti HIT-HY 200-A V3 et HIT-HY 200-R V3

Usage prévu
Spécifications

Annexe B2

Conditions d'utilisation (conditions environnementales) :

- Structures soumises à des conditions internes sèches (tous matériaux).
- Pour toute autre condition selon EN 1993-1-4 correspondant aux classes de résistance à la corrosion, tableau A1 (aciers inoxydables).

Calcul :

- Les fixations sont calculées sous la responsabilité d'un ingénieur expérimenté en fixations et ouvrages en béton.
- Des plans et des notes de calcul vérifiables sont préparés en tenant compte des charges à fixer. La position de la fixation est indiquée sur les plans (position de la fixation par rapport au renforcement ou aux supports, etc.).
- Les ancrages sont conçus conformément : à la norme EN 1992-4 et au rapport technique de l'EOTA TR 055.
- Conception en cas d'exposition au feu conformément : au rapport technique de l'EOTA TR 082.

Pose :

- État du béton I1 : Pose dans du béton sec ou humide (saturé d'eau) et utilisation en service dans du béton sec ou humide pour toutes les techniques de perçage
- État du béton I2 : Pose dans des trous d'eau (sauf eau de mer) et utilisation en service dans du béton sec ou humide pour perçage à percussion et perçage à percussion avec mèche creuse Hilti TE-CD, TE-YD
- Technique de perçage :
 - perçage à percussion,
 - perçage à percussion avec mèche creuse Hilti TE-CD, TE-YD,
 - forage au diamant avec dépolissage avec outil de dépolissage Hilti TE-YRT.
- Sens d'implantation D3 : implantation vers le bas, à l'horizontale et vers le haut (p. ex. au plafond) autorisée pour tous les éléments.
- La pose de la fixation est réalisée par un personnel dûment qualifié, sous la supervision du responsable technique du chantier.

Système d'injection Hilti HIT-HY 200-A V3 et HIT-HY 200-R V3

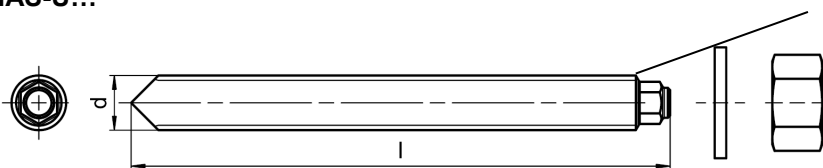
Usage prévu
Spécifications

Annexe B3

Tableau B2 : Paramètres de pose des tiges filetées conformément à l'annexe A

Tiges filetées conformément à l'annexe A			M8	M10	M12	M16	M20	M24	M27	M30
Diamètre de l'élément	d	[mm]	8	10	12	16	20	24	27	30
Diamètre nominal de la mèche	d ₀	[mm]	10	12	14	18	22	28	30	35
Profondeur d'implantation effective et profondeur de perçage	h _{ef} = h ₀	[mm]	60 à 160	60 à 200	70 à 240	80 à 320	90 à 400	96 à 480	108 à 540	120 à 600
Diamètre maximum du trou de passage dans la pièce à fixer	d _f	[mm]	9	12	14	18	22	26	30	33
Épaisseur du kit de remplissage Hilti	h _{fs}	[mm]	-	9	10	11	13	15	-	-
Épaisseur effective de la pièce à fixer avec le kit de remplissage Hilti	t _{fix,eff}	[mm]	$t_{fix,eff} = t_{fix} - h_{fs}$							
Épaisseur minimale du béton	h _{min}	[mm]	$h_{ef} + 30$ ≥ 100 mm			$h_{ef} + 2 \cdot d_0$				
Couple de pose maximal	max T _{inst}	[Nm]	10	20	40	80	150	200	270	300
Entraxe minimal	s _{min}	[mm]	40	50	60	75	90	115	120	140
Distance au bord minimale	c _{min}	[mm]	40	45	45	50	55	60	75	80

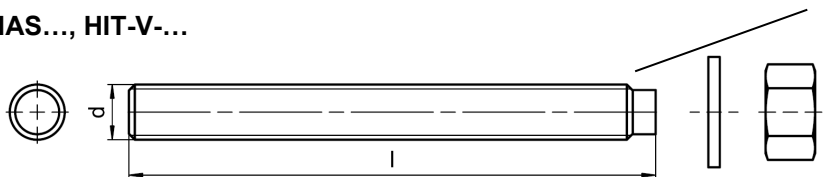
HAS-U...



Marquage :

Numéro de la nuance d'acier et lettre d'identification de la longueur : p. ex. : 8L

HAS..., HIT-V-...



Marquage HIT-V :

- 5.8 - l = HIT-V-5.8 M...x l
- 5.8F - l = HIT-V-5.8F M...x l
- 8.8 - l = HIT-V-8.8 M...x l
- 8.8F - l = HIT-V-8.8F M...x l
- R - l = HIT-V-R M...x l
- HCR - l = HIT-V-HCR M...x l

Marquage avec code couleur HAS :

- 5.8 = RAL 5010 (bleu)
- 8.8 = RAL 1023 (jaune)
- A4 = RAL 3000 (rouge)

Tige au mètre Hilti AM (HDG) 8.8



Système d'injection Hilti HIT-HY 200-A V3 et HIT-HY 200-R V3

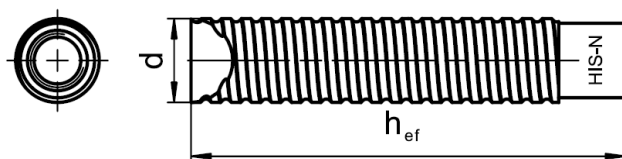
Domaine d'application
 Paramètres de pose des tiges filetées, HAS..., HAS-U..., HIT-V-... et AM 8.8

Annexe B4

Tableau B3 : Paramètres de pose de la douille à filetage intérieur HIS-(R)N

Douille à filetage intérieur HIS-(R)N...			M8	M10	M12	M16	M20
Diamètre extérieur de la douille	d	[mm]	12,5	16,5	20,5	25,4	27,6
Diamètre nominal de la mèche	d ₀	[mm]	14	18	22	28	32
Profondeur d'implantation effective et profondeur de perçage	h _{ef} = h ₀	[mm]	90	110	125	170	205
Diamètre maximum du trou de passage dans la pièce à fixer	d _f	[mm]	9	12	14	18	22
Épaisseur minimale du béton	h _{min}	[mm]	120	150	170	230	270
Couple de pose maximal	max T _{inst}	[Nm]	10	20	40	80	150
Longueur d'engagement min.-max. du filetage	h _s	[mm]	8-20	10-25	12-30	16-40	20-50
Entraxe minimal	s _{min}	[mm]	60	75	90	115	130
Distance au bord minimale	c _{min}	[mm]	40	45	55	65	90

Douille à filetage intérieur HIS-(R)N...



Marquage :
 Marque d'identification - HILTI et
 gaufrage « HIS-N » (pour l'acier au carbone)
 gaufrage « HIS-RN » (pour l'acier inoxydable)

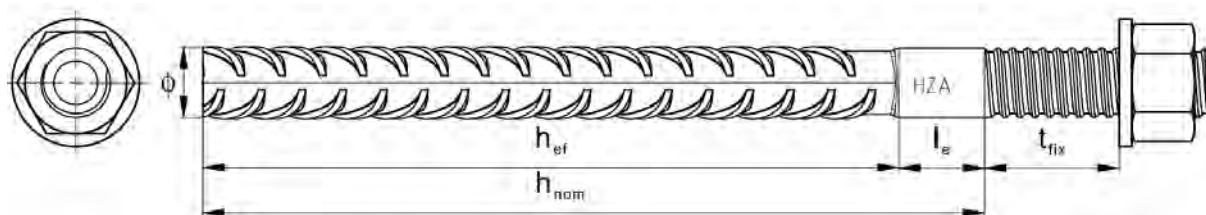
Système d'injection Hilti HIT-HY 200-A V3 et HIT-HY 200-R V3

Domaine d'application
 Paramètres de pose de la douille à filetage intérieur HIS-(R)N

Annexe B5

Tableau B4 : Paramètres de pose des tiges de traction Hilti HZA et HZA-R

Tige d'ancrage Hilti HZA		M12	M16	M20	M24	M27
Tige d'ancrage Hilti HZA-R		M12	M16	M20	M24	-
Diamètre du barre d'armature	ϕ [mm]	12	16	20	25	28
Profondeur d'implantation nominale et profondeur de perçage HZA	$h_{nom} = h_0$ [mm]	90 à 240	100 à 320	110 à 400	120 à 500	140 à 560
Profondeur d'implantation nominale et profondeur de perçage HZA-R	$h_{nom} = h_0$ [mm]	170 à 240	180 à 320	190 à 400	200 à 500	-
Profondeur d'implantation effective ($h_{ef} = h_{nom} - l_e$) HZA	h_{ef} [mm]	$h_{nom} - 20$				
Profondeur d'implantation effective ($h_{ef} = h_{nom} - l_e$) HZA-R	h_{ef} [mm]	$h_{nom} - 100$				
Longueur de l'arbre lisse HZA	l_e [mm]	20				
Longueur de l'arbre lisse HZA-R	l_e [mm]	100				
Diamètre nominal de la mèche	d_0 [mm]	16	20	25	32	35
Diamètre maximum du trou de passage dans la pièce à fixer	d_f [mm]	14	18	22	26	30
Épaisseur du kit de remplissage Hilti	h_{rs} [mm]	10	11	13	15	-
Épaisseur effective de la pièce à fixer avec le kit de remplissage Hilti	$t_{fix,eff}$ [mm]	$t_{fix,eff} = t_{fix} - h_{rs}$				
Couple de pose maximal	$\max T_{inst}$ [Nm]	40	80	150	200	270
Épaisseur minimale du béton	h_{min} [mm]	$h_{nom} + 2 \cdot d_0$				
Entraxe minimal	s_{min} [mm]	65	80	100	130	140
Distance au bord minimale	c_{min} [mm]	45	50	55	60	75



Marquage :
 gaufrage « HZA(-R) » M .. / t_{fix}

Système d'injection Hilti HIT-HY 200-A V3 et HIT-HY 200-R V3

Domaine d'application
 Paramètres de pose des tiges de traction Hilti HZA et HZA-R

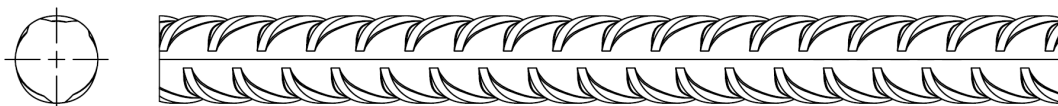
Annexe B6

Tableau B5 : Paramètres de pose de la barre d'armature

Barre d'armature	ϕ 8	ϕ 10	ϕ 12	ϕ 14	ϕ 16	ϕ 20	ϕ 25	ϕ 26	ϕ 28	ϕ 30	ϕ 32
Diamètre ϕ [mm]	8	10	12	14	16	20	25	26	28	30	32
Profondeur d'implantation effective et $h_{ef} = h_0$ [mm] profondeur de perçage	60 à 160	60 à 200	70 à 240	75 à 280	80 à 320	90 à 400	100 à 500	104 à 520	112 à 560	120 à 600	128 à 640
Diamètre nominal de la mèche d_0 [mm]	10 / 12 ¹⁾	12 / 14 ¹⁾	14 ¹⁾ / 16 ¹⁾	18	20	25	32	32	35	37	40
Épaisseur minimale du béton h_{min} [mm]	$h_{ef} + 30$ ≥ 100 mm			$h_{ef} + 2 \cdot d_0$							
Entraxe minimal s_{min} [mm]	40	50	60	70	80	100	125	130	140	150	160
Distance au bord minimale c_{min} [mm]	40	45	45	50	50	65	70	75	75	80	80

¹⁾ Il est possible d'utiliser les deux valeurs indiquées.

Barre d'armature



Pour le verrou de la barre d'armature

- Valeur minimum de la surface des nervures associée $f_{R,min}$ selon la norme EN 1992-1-1
- La hauteur des nervures de la barre h_{rib} doit être comprise dans la plage $0,05 \phi \leq h_{rib} \leq 0,07 \cdot \phi$
 (ϕ : diamètre nominal de la barre ; h_{rib} : hauteur des nervures de la barre)

Système d'injection Hilti HIT-HY 200-A V3 et HIT-HY 200-R V3

Domaine d'application
 Paramètres de pose de la barre d'armature

Annexe B7

Tableau B6 : Durée d'utilisation maximum et temps de durcissement minimum

Température du matériau de support T ¹⁾	HIT-HY 200-A V3		HIT-HY 200-R V3	
	Durée d'utilisation maximale t _{work}	Temps de durcissement minimum t _{cure}	Durée d'utilisation maximale t _{work}	Temps de durcissement minimum t _{cure}
-10 °C à -5 °C	1,5 heure	7 heures	3 heures	20 heures
> -5 °C à 0 °C	50 min	4 heures	1,5 heure	8 heures
> 0 °C à 5 °C	25 min	2 heures	45 min	4 heures
> 5 °C à 10 °C	15 min	75 min	30 min	2,5 heures
> 10 °C à 20 °C	7 min	45 min	15 min	1,5 heures
> 20 °C à 30 °C	4 min	30 min	9 min	1 heures
> 30 °C à 40 °C	3 min	30 min	6 min	1 heures

¹⁾ La température minimale de la cartouche souple est de 0 °C.

Système d'injection Hilti HIT-HY 200-A V3 et HIT-HY 200-R V3

Domaine d'application
 Durée d'utilisation maximum et temps de durcissement minimum

Annexe B8

Tableau B7 : Paramètres des outils de perçage, de nettoyage et de pose

Éléments en acier				Perçage et nettoyage				Pose	
Tiges filetées (annexe A)	HIS-(R)N	Barre d'armature	HZA(-R)	Perçage à percussion		Perçage au diamant		Brosse	Piston
					Mèche creuse ¹⁾		Outil de dépolissage		
Taille	taille	taille	taille	d ₀ [mm]	d ₀ [mm]	d ₀ [mm]	d ₀ [mm]	HIT-RB	HIT-SZ
M8	-	φ8	-	10	-	-	-	10	-
M10	-	φ8 / φ10	-	12	12	-	-	12	12
M12	M8	φ10 / φ12	-	14	14	-	-	14	14
-	-	φ12	M12	16	16	-	-	16	16
M16	M10	φ14	-	18	18	18	18	18	18
-	-	φ16	M16	20	20	20	20	20	20
M20	M12	-	-	22	22	22	22	22	22
-	-	φ20	M20	25	25	25	25	25	25
M24	M16	-	-	28	28	28	28	28	28
M27	-	-	-	30	-	30	30	30	30
-	M20	φ25 / φ26	M24	32	32	32	32	32	32
M30	-	φ28	M27	35	35	35	35	35	35
-	-	φ30	-	37	-	-	-	37	37
-	-	φ32	-	40	-	-	-	40	40

¹⁾ Avec l'aspirateur Hilti VC 10/20/40 (nettoyage automatique du filtre activé, mode éco désactivé) ou un aspirateur aux performances de nettoyage équivalentes en association avec la mèche creuse Hilti spécifiée TE-CD ou TE-YD.

Solutions de nettoyage

Nettoyage manuel (MC) :

Pompe à main Hilti pour le nettoyage de trous de perçage de diamètre d₀ ≤ 20 mm et de profondeurs de perçage h₀ ≤ 10 · d.



Nettoyage à l'air comprimé (CAC) :

Buse d'air avec une ouverture minimale de l'orifice de 3,5 mm de diamètre.



Nettoyage automatique (AC) :

Le nettoyage est réalisé pendant le perçage avec le système de perçage Hilti TE-CD et TE-YD à aspiration intégrée.



Système d'injection Hilti HIT-HY 200-A V3 et HIT-HY 200-R V3

Domaine d'application
 Paramètres des outils de nettoyage et de pose
 Solutions de nettoyage

Annexe B9

Tableau B8 : Outil de dépolissage Hilti TE-YRT – Paramètres de l’outil




Composants associés			
Perçage au diamant		Outil de bouchardage TE-YRT	Jauge d’usure RTG...
			
d ₀ [mm]		d ₀ [mm]	taille
nominal	mesuré		
18	17,9 à 18,2	18	18
20	19,9 à 20,2	20	20
22	21,9 à 22,2	22	22
25	24,9 à 25,2	25	25
28	27,9 à 28,2	28	28
30	29,9 à 30,2	30	30
32	31,9 à 32,2	32	32
35	34,9 à 35,2	35	35

Tableau B9 : Outil de dépolissage Hilti TE-YRT – Temps de dépolissage et de nettoyage

	Temps de dépolissage t _{roughen}	Temps de nettoyage minimal t _{blowing}
h _{ef} [mm]	t _{roughen} [s] = h _{ef} [mm] / 10	t _{blowing} [s] = t _{roughen} [s] + 20
0 à 100	10	30
101 à 200	20	40
201 à 300	30	50
301 à 400	40	60
401 à 500	50	70
501 à 600	60	80

Outil de dépolissage Hilti TE-YRT et jauge d’usure RTG



Système d’injection Hilti HIT-HY 200-A V3 et HIT-HY 200-R V3

Domaine d’application
 Paramètres d’utilisation de l’outil de bouchardage Hilti TE-YRT

Annexe B10

Instructions de pose

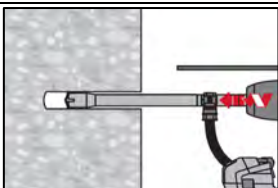
Perçage de trous

a) Perçage à percussion



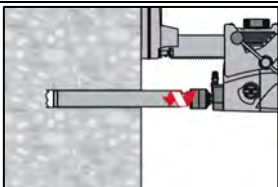
Perçer un trou à la profondeur d'implantation requise avec une perceuse à percussion en mode rotation-percussion à l'aide d'une mèche en carbure de la taille adaptée.

b) Perçage à percussion avec mèche creuse Hilti

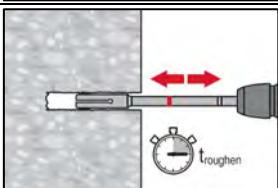


Perçer un trou à la profondeur d'implantation requise à l'aide d'une mèche creuse Hilti TE-CD ou TE-YD de la taille adaptée avec aspiration conformément aux recommandations du tableau B7. Ce système de perçage élimine la poussière et nettoie le trou pendant le perçage s'il est utilisé conformément au manuel d'utilisation. Une fois le perçage terminé, procéder à l'étape de « préparation de l'injection » indiquée dans les instructions de pose.

c) Forage au diamant avec dépolissage avec outil de dépolissage Hilti TE-YRT :



Le forage au diamant est possible si des machines de forage au diamant et des mèches adaptées sont utilisées. Pour une utilisation avec l'outil de dépolissage Hilti TE-YRT, voir les paramètres indiqués dans le tableau B8.



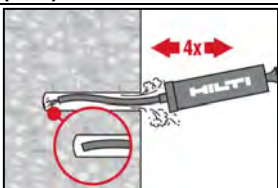
L'eau doit être retirée du trou de perçage avant le dépolissage. Vérifier si l'utilisation de l'outil de dépolissage avec la jauge d'usure RTG est possible. Dépolir le trou de perçage sur toute la longueur à la valeur h_{ef} requise. Temps de dépolissage $t_{roughen}$, voir tableau B9.

Nettoyage du trou de perçage

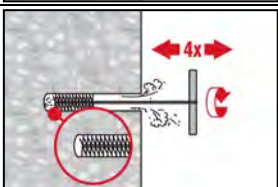
Avant l'injection de la résine, le trou de perçage doit être exempt de poussière et débris. Nettoyage du trou insuffisant = faibles valeurs de charge.

Nettoyage manuel (MC)

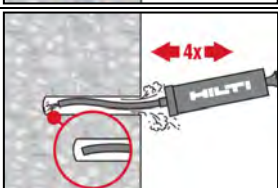
Béton non fissuré uniquement. Pour les trous de perçage de diamètre $d_0 \leq 20$ mm et de profondeur $h_0 \leq 10 \cdot d$.



La pompe à main Hilti peut être utilisée pour le nettoyage de trous de perçage allant jusqu'à un diamètre $d_0 \leq 20$ mm et une profondeur de perçage $h_0 \leq 10 \cdot d$. Nettoyer au moins 4 fois depuis le fond du trou de perçage jusqu'à ce que le flux d'air renvoyé soit exempt de poussière visible.



Utiliser 4 fois la brosse spécifiée (voir Table B7) en insérant la brosse en acier Hilti HIT-RB au fond du trou (avec l'extension si nécessaire) dans un mouvement de rotation, puis la retirer. La brosse doit produire une résistance naturelle lorsqu'elle entre dans le trou de perçage (\varnothing brosse $\geq \varnothing$ trou de perçage). Si ce n'est pas le cas, la brosse est trop petite et doit être remplacée par une brosse de diamètre adapté.



Nettoyer à nouveau avec la pompe à main Hilti au moins 4 fois jusqu'à ce que le flux d'air renvoyé soit exempt de poussière visible.

Système d'injection Hilti HIT-HY 200-A V3 et HIT-HY 200-R V3

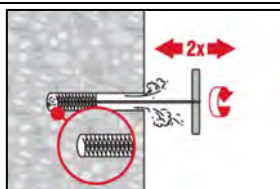
Domaine d'application
 Instructions de pose

Annexe B11

Nettoyage à l'air comprimé (CAC) pour tous les diamètres d_0 et toutes les profondeurs h_0 de trous de perçage



Nettoyer 2 fois depuis le fond du trou (avec la buse d'extension si nécessaire) sur toute la longueur avec de l'air comprimé sans huile (min. 6 bars à 6 m³/h) jusqu'à ce que le flux d'air renvoyé soit exempt de poussière visible.
 Pour les trous de perçage de diamètres ≥ 32 mm, le compresseur doit fournir un flux d'air minimal de 140 m³/h.

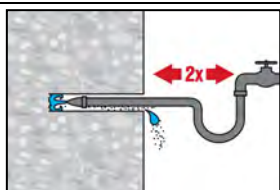


Utiliser 2 fois la brosse spécifiée (voir tableau B7) en insérant la brosse en acier Hilti HIT-RB au fond du trou (avec l'extension si nécessaire) dans un mouvement de rotation, puis la retirer. La brosse doit produire une résistance naturelle lorsqu'elle entre dans le trou de perçage (\varnothing brosse $\geq \varnothing$ trou de perçage). Si ce n'est pas le cas, la brosse est trop petite et doit être remplacée par une brosse de diamètre adapté.

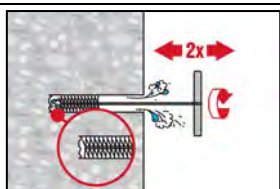


Nettoyer à nouveau 2 fois avec l'air comprimé jusqu'à ce que le flux d'air renvoyé soit exempt de poussière visible.

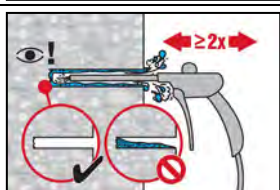
Nettoyage de trous forés au diamant avec dépolissage avec outil de dépolissage Hilti TE-YRT.



Rincer 2 fois en insérant un tuyau d'arrosage (pression de la conduite d'eau) au fond du trou jusqu'à ce que l'eau soit propre.



Utiliser 2 fois la brosse spécifiée (voir tableau B7) en insérant la brosse en acier Hilti HIT-RB au fond du trou (avec l'extension si nécessaire) dans un mouvement de rotation, puis la retirer. La brosse doit produire une résistance naturelle lorsqu'elle entre dans le trou de perçage (\varnothing brosse $\geq \varnothing$ trou de perçage). Si ce n'est pas le cas, la brosse est trop petite et doit être remplacée par une brosse de diamètre adapté.



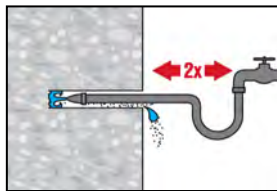
Nettoyer 2 fois depuis le fond du trou (avec la buse d'extension si nécessaire) sur toute la longueur avec de l'air comprimé sans huile (min. 6 bars à 6 m³/h) jusqu'à ce que le flux d'air renvoyé soit exempt de poussière visible et d'eau. Retirer toute l'eau du trou de perçage jusqu'à ce qu'il soit complètement sec avant d'injecter la résine (blowing voir tableau B9). Pour les trous de perçage de diamètres ≥ 32 mm, le compresseur doit fournir un flux d'air minimal de 140 m³/h.

Système d'injection Hilti HIT-HY 200-A V3 et HIT-HY 200-R V3

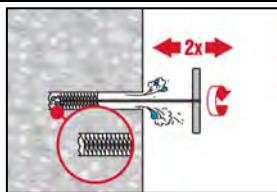
Domaine d'application
 Instructions de pose

Annexe B12

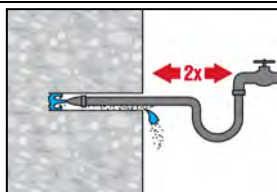
Nettoyage et élimination de l'eau des trous de perçage remplis d'eau percés par perçage à percussion et perçage à percussion avec mèche creuse Hilti : Pour tous les diamètres d_0 et toutes les profondeurs h_0 de trous de perçage.



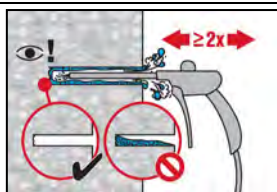
Rincer 2 fois en insérant un tuyau d'arrosage (pression de la conduite d'eau) au fond du trou jusqu'à ce que l'eau soit propre.



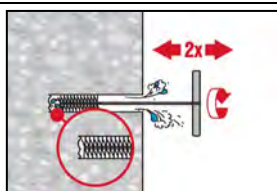
Utiliser 2 fois la brosse spécifiée (voir tableau B7) en insérant la brosse en acier Hilti HIT-RB au fond du trou (avec l'extension si nécessaire) dans un mouvement de rotation, puis la retirer.
 La brosse doit produire une résistance naturelle lorsqu'elle entre dans le trou de perçage (\varnothing brosse $\geq \varnothing$ trou de perçage). Si ce n'est pas le cas, la brosse est trop petite et doit être remplacée par une brosse de diamètre adapté.



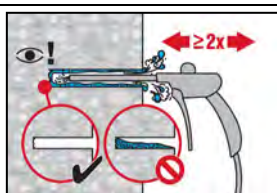
Rincer 2 fois en insérant un tuyau d'arrosage (pression de la conduite d'eau) au fond du trou jusqu'à ce que l'eau soit propre.



Nettoyer 2 fois depuis le fond du trou (avec la buse d'extension si nécessaire) sur toute la longueur avec de l'air comprimé sans huile (min. 6 bars à 6 m³/h) jusqu'à ce que le flux d'air renvoyé soit exempt de poussière visible et d'eau.
 Pour les trous de perçage de diamètres ≥ 32 mm, le compresseur doit fournir un flux d'air minimal de 140 m³/h.



Utiliser 2 fois la brosse de la taille spécifiée (voir tableau B7) en insérant la brosse en acier Hilti HIT-RB au fond du trou (avec l'extension si nécessaire) dans un mouvement de rotation, puis la retirer.
 La brosse doit produire une résistance naturelle lorsqu'elle entre dans le trou de perçage. Si ce n'est pas le cas, la brosse est trop petite et doit être remplacée par une brosse de diamètre adapté.



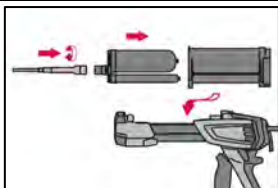
Nettoyer à nouveau 2 fois avec l'air comprimé jusqu'à ce que le flux d'air renvoyé soit exempt de poussière visible et d'eau.

Système d'injection Hilti HIT-HY 200-A V3 et HIT-HY 200-R V3

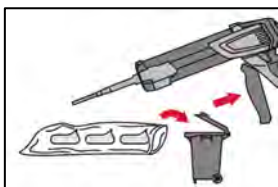
Domaine d'application
 Instructions de pose

Annexe B13

Préparation de l'injection



Fixer fermement la buse mélangeuse Hilti HIT-RE-M à l'embout de la cartouche souple. Ne pas modifier la buse mélangeuse. Respecter les instructions d'utilisation du distributeur. Vérifier le bon fonctionnement du porte-cartouche souple. Insérer la cartouche souple dans le porte-cartouche souple et placer le porte cartouche dans le distributeur.

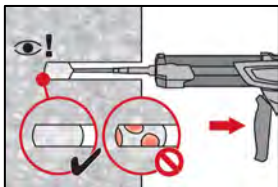


La cartouche souple s'ouvre automatiquement lors de la première pression sur le distributeur. Selon la taille de la cartouche souple, une première quantité de résine doit être jetée. Les quantités à jeter sont les suivantes :

2 pressions	pour une cartouche de 330 ml,
3 pressions	pour une cartouche de 500 ml,
4 pressions	pour une cartouche de 500 ml ≤ 5 °C.

La température minimale de la cartouche souple est de 0 °C.

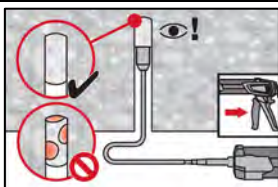
Injecter la résine depuis le fond du trou de perçage sans créer de vides d'air.



Injecter la résine depuis le fond du trou, en retirant lentement la buse mélangeuse à chaque pression sur la gâchette. Remplir environ 2/3 du trou de perçage afin que l'espace annulaire entre l'élément en acier et le béton soit complètement comblé par la résine sur toute la profondeur d'implantation. Dans le béton saturé d'eau, il est recommandé de mettre en place la fixation immédiatement après le nettoyage du trou de perçage.



Une fois l'injection terminée, dépressuriser le distributeur en appuyant sur la touche de déverrouillage afin d'éviter que la résine continue à sortir de la buse mélangeuse.



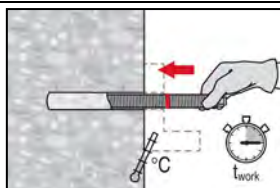
Pose au plafond et/ou pose avec profondeur d'implantation $h_{ef} > 250$ mm. Pour la pose au plafond, l'injection est possible uniquement en utilisant les extensions et les pistons. Assembler la buse mélangeuse HIT-RE-M, la ou les extensions et le piston de la taille adaptée (voir tableau B7). Insérer le piston au fond du trou et injecter la résine. Pendant l'injection, le piston sera naturellement extrudé hors du trou de perçage par la pression de la résine.

Système d'injection Hilti HIT-HY 200-A V3 et HIT-HY 200-R V3

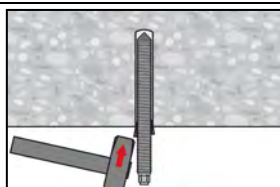
Domaine d'application
 Instructions de pose

Annexe B14

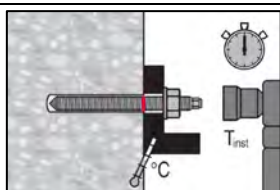
Mise en place de l'élément en acier



Avant utilisation, vérifier que l'élément est sec et exempt d'huile et autres contaminants.
 Marquer et placer l'élément en acier à la profondeur d'implantation requise avant la fin de la durée d'utilisation t_{work} . La durée d'utilisation t_{work} est indiquée dans le tableau B6.

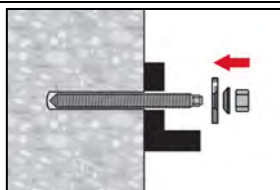


Pour la pose au plafond, utiliser des pistons et fixer les pièces encastrées avec des cales p. ex. (Hilti HIT-OHW).

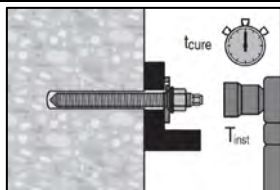


Charge : Après le temps de durcissement requis t_{cure} (voir tableau B6), la fixation peut être chargée.
 Le couple de pose appliqué ne doit pas dépasser les valeurs maximales T_{inst} indiquées dans le Table B2 jusqu'au tableau B4.

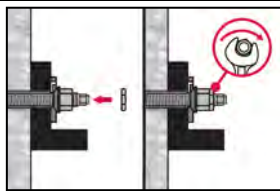
Pose du kit de remplissage Hilti



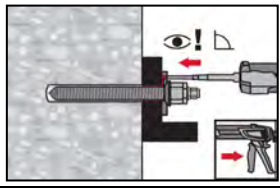
Utiliser le kit de remplissage Hilti avec un écrou standard. Veiller à orienter correctement la rondelle de remplissage et la rondelle sphérique.



Le couple de pose appliqué ne doit pas dépasser les valeurs maximales T_{inst} indiquées dans le Table B2 jusqu'au tableau B4.



Facultatif :
 Pose de l'écrou autofreiné. Serrer de $\frac{1}{4}$ de tour à $\frac{1}{2}$ tour. (sauf dimension M24.)



Remplir l'espace annulaire entre l'élément en acier et la pièce à fixer avec 1 à 3 pressions d'un mortier d'injection Hilti HIT-HY ... ou HIT-RE
 Suivre les instructions de pose fournies avec le mortier d'injection Hilti correspondant.
 Après le temps de durcissement requis t_{cure} , la fixation peut être chargée.

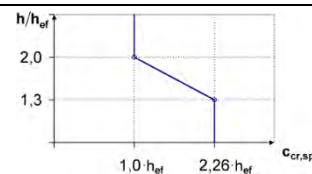
Système d'injection Hilti HIT-HY 200-A V3 et HIT-HY 200-R V3

Domaine d'application
 Instructions de pose

Annexe B15

Tableau C1 : Caractéristiques principales des tiges filetées conformément à l'annexe A sous charge de traction dans du béton

Tiges filetées conformément à l'annexe A			M8	M10	M12	M16	M20	M24	M27	M30	
Pour un durée de vie de 50 et 100 ans											
Coefficient de pose pour dans du béton sec ou humide (saturé d'eau)											
Perçage à percussion (HD)	γ_{inst}	[-]	1,0								
Perçage à percussion avec mèche creuse Hilti TE-CD ou TE- YD (HDB)	γ_{inst}	[-]	1)	1,0							
Carottage au diamant avec bouchardage, avec outil de bouchardage Hilti TE-YRT (DD+RT)	γ_{inst}	[-]	1)				1,0				
Coefficient de pose pour pose dans des trous d'eau (sauf eau de mer)											
Perçage à percussion (HD)	γ_{inst}	[-]	1,4								
Perçage à percussion avec mèche creuse Hilti TE-CD ou TE- YD (HDB)	γ_{inst}	[-]	1)	1,4							
Rupture de l'acier											
Résistance caractéristique	$N_{Rk,s}$	[kN]	$A_s \cdot f_{uk}$								
Coefficient partiel classe 5.8, 6.8 et 8.8 (tableau A1)	γ_{Ms,N^2}	[-]	1,5								
Coefficient partiel HAS A4, HAS-U A4, HIT-V-R, tige filetée : CRC II et III (tableau A1)	γ_{Ms,N^2}	[-]	1,87						2,86		
Coefficient partiel HAS-U HCR, HIT-V-HCR, tige filetée : CRC V (tableau A1)	γ_{Ms,N^2}	[-]	1,5						2,1		
Rupture d'un cône de béton											
Coefficient pour le béton non fissuré	$k_{ucr,N}$	[-]	11,0								
Coefficient pour le béton fissuré	$k_{cr,N}$	[-]	7,7								
Distance au bord	$c_{cr,N}$	[mm]	$1,5 \cdot h_{ef}$								
Entraxe	$s_{cr,N}$	[mm]	$3,0 \cdot h_{ef}$								
Fissuration											
Distance au bord $c_{cr,sp}$ [mm] pour	$h / h_{ef} \geq 2,0$		$1,0 \cdot h_{ef}$								
	$2,0 > h / h_{ef} > 1,3$		$4,6 \cdot h_{ef} - 1,8 \cdot h$								
	$h / h_{ef} \leq 1,3$		$2,26 \cdot h_{ef}$								
Entraxe	$s_{cr,sp}$	[mm]	$2 \cdot c_{cr,sp}$								



1) Aucune performance évaluée.
 2) En l'absence de réglementations nationales.

Système d'injection Hilti HIT-HY 200-A V3 et HIT-HY 200-R V3

Performances
 Caractéristiques essentielles sous charge de traction dans du béton

Annexe C1

Tableau C1 : suite

Tiges filetées conformément à l'annexe A		M8	M10	M12	M16	M20	M24	M27	M30		
Arrachement et rupture par cône de béton combinés pour une durée de vie de 50 ans											
Résistance d'adhérence caractéristique dans du béton non fissuré C20/25 pour pose dans du béton sec ou humide (saturé d'eau), toutes les techniques de perçage (HD, HDB, DD + RT)											
Plage de températures I : 24 °C / 40 °C		$\tau_{Rk,ucr}$ [N/mm ²]			18						
Plage de températures II : 50 °C / 80 °C		$\tau_{Rk,ucr}$ [N/mm ²]			15						
Plage de températures III : 72 °C / 120 °C		$\tau_{Rk,ucr}$ [N/mm ²]			13						
Résistance d'adhérence caractéristique dans du béton fissuré C20/25 pour pose dans du béton sec ou humide (saturé d'eau), toutes les techniques de perçage (HD, HDB, DD + RT)											
Plage de températures I : 24 °C / 40 °C		$\tau_{Rk,cr}$ [N/mm ²]		7,5	9,4	9,5					
Plage de températures II : 50 °C / 80 °C		$\tau_{Rk,cr}$ [N/mm ²]		6,4	8,0						
Plage de températures III : 72 °C / 120 °C		$\tau_{Rk,cr}$ [N/mm ²]		5,5	6,8	6,9					
Résistance d'adhérence caractéristique dans du béton non fissuré C20/25 pour pose dans des trous d'eau (sauf eau de mer), HD et HDB											
Plage de températures I : 24 °C / 40 °C		$\tau_{Rk,ucr}$ [N/mm ²]		14,0	13,8	13,5	13,0	12,5	11,9	11,4	10,9
Plage de températures II : 50 °C / 80 °C		$\tau_{Rk,ucr}$ [N/mm ²]		11,9	11,7	11,5	11,1	10,6	10,1	9,7	9,3
Plage de températures III : 72 °C / 120 °C		$\tau_{Rk,ucr}$ [N/mm ²]		10,2	10,1	9,9	9,5	9,1	8,7	8,3	8,0
Résistance d'adhérence caractéristique dans du béton fissuré C20/25 pour pose dans des trous d'eau (sauf eau de mer), HD et HDB											
Plage de températures I : 24 °C / 40 °C		$\tau_{Rk,cr}$ [N/mm ²]		6,1	7,4	7,2	6,7	6,4	6,1	6,1	6,0
Plage de températures II : 50 °C / 80 °C		$\tau_{Rk,cr}$ [N/mm ²]		5,2	6,3	6,1	5,7	5,5	5,2	5,2	5,1
Plage de températures III : 72 °C / 120 °C		$\tau_{Rk,cr}$ [N/mm ²]		4,5	5,4	5,2	4,9	4,7	4,5	4,5	4,4
Coefficients d'influence ψ sur la résistance d'adhérence τ_{Rk} dans le béton fissuré et non fissuré											
Influence de la classe de résistance du béton : $\tau_{Rk} = \tau_{Rk,(C20/25)} \cdot \psi_c$											
Plage de températures I à III :		ψ_c [-]		$(f_{ck}/20)^{0,1}$							
Influence de la charge supportée											
Plage de températures I : 24 °C / 40 °C		ψ_{sus}^0 [-]		0,74							
Plage de températures II : 50 °C / 80 °C		ψ_{sus}^0 [-]		0,89							
Plage de températures III : 72 °C / 120 °C		ψ_{sus}^0 [-]		0,72							

Système d'injection Hilti HIT-HY 200-A V3 et HIT-HY 200-R V3

Performances
 Caractéristiques essentielles sous charge de traction dans du béton

Annexe C2

Tableau C1 : suite

Tiges filetées conformément à l'annexe A		M8	M10	M12	M16	M20	M24	M27	M30	
Arrachement et rupture par cône de béton combinés pour une durée de vie de 100 ans										
Résistance d'adhérence caractéristique dans du béton non fissuré C20/25 pour pose dans du béton sec ou humide (saturé d'eau), toutes les techniques de perçage (HD, HDB, DD + RT)										
Plage de températures I :	24 °C / 40 °C	$\tau_{Rk,ucr,100}$ [N/mm ²]			17					
Plage de temp. II :	50 °C / 80 °C	$\tau_{Rk,ucr,100}$ [N/mm ²]			14					
Plage de temp. III :	72 °C / 120 °C	$\tau_{Rk,ucr,100}$ [N/mm ²]			12					
Résistance d'adhérence caractéristique dans du béton fissuré C20/25 pour pose dans du béton sec ou humide (saturé d'eau), toutes les techniques de perçage (HD, HDB, DD + RT)										
Plage de températures I :	24 °C / 40 °C	$\tau_{Rk,cr,100}$ [N/mm ²]		6,5	6,7	8,1				
Plage de temp II :	50 °C / 80 °C	$\tau_{Rk,cr,100}$ [N/mm ²]		5,5	5,7	7,0				
Plage de temp III :	72 °C / 120 °C	$\tau_{Rk,cr,100}$ [N/mm ²]		5,0		6,0				
Résistance d'adhérence caractéristique dans du béton non fissuré C20/25 pour pose dans des trous d'eau (sauf eau de mer), HD et HDB										
Plage de températures I :	24 °C / 40 °C	$\tau_{Rk,ucr,100}$ [N/mm ²]	14,0	13,8	13,5	13,0	12,5	11,9	11,4	10,9
Plage de temp II :	50 °C / 80 °C	$\tau_{Rk,ucr,100}$ [N/mm ²]	11,9	11,7	11,5	11,1	10,6	10,1	9,7	9,3
Plage de temp III :	72 °C / 120 °C	$\tau_{Rk,ucr,100}$ [N/mm ²]	10,2	10,1	9,9	9,5	9,1	8,7	8,3	8,0
Résistance d'adhérence caractéristique dans du béton fissuré C20/25 pour pose dans des trous d'eau (sauf eau de mer), HD et HDB										
Plage de températures I :	24 °C / 40 °C	$\tau_{Rk,cr,100}$ [N/mm ²]	5,5	5,3	6,1	5,8	5,5	5,3	5,1	4,8
Plage de temp II :	50 °C / 80 °C	$\tau_{Rk,cr,100}$ [N/mm ²]	4,5	4,5	5,2	4,9	4,7	4,5	4,3	4,1
Plage de temp III :	72 °C / 120 °C	$\tau_{Rk,cr,100}$ [N/mm ²]	3,9	3,8	4,5	4,2	4,0	3,8	3,7	3,5
Coefficients d'influence ψ sur la résistance d'adhérence $\tau_{Rk,100}$ dans le béton fissuré et non fissuré										
Influence de la classe de résistance du béton : $\tau_{Rk} = \tau_{Rk,(C20/25)} \cdot \psi_c$										
Plage de températures I à III :	ψ_c	[-]		$(f_{ck}/20)^{0,1}$						
Influence de la charge supportée										
Plage de températures I :	24 °C / 40 °C	$\psi_{sus,100}^0$	[-]		0,71					
Plage de temp II :	50 °C / 80 °C	$\psi_{sus,100}^0$	[-]		0,86					
Plage de temp III :	72 °C / 120 °C	$\psi_{sus,100}^0$	[-]		0,80					

Système d'injection Hilti HIT-HY 200-A V3 et HIT-HY 200-R V3

Performances
 Caractéristiques essentielles sous charge de traction dans du béton

Annexe C3

Tableau C2 : Caractéristiques principales des tiges filetées conformément à l'annexe A sous charge de cisaillement dans du béton

Tiges filetées conformément à l'annexe A		M8	M10	M12	M16	M20	M24	M27	M30	
Pour un durée de vie de 50 et 100 ans										
Rupture de l'acier sans bras de levier										
Résistance caractéristique	$V^{0}_{RK,s}$	[kN]	$k_6 \cdot A_s \cdot f_{uk}$							
Coefficient classe 5.8	k_6	[-]	0,6							
Coefficient classe 6.8 et 8.8	k_6	[-]	0,5							
Coefficient HAS A4, HAS-U A4, HIT-V-R, tige filetée : CRC II et III (tableau A1)	k_6	[-]	0,5							
Coefficient HAS-U HCR, HIT-V-HCR, tige filetée : CRC V (tableau A1)	k_6	[-]	0,5							
Coefficient partiel classe 5.8, 6.8, 8.8	$\gamma_{Ms,V^1)}$	[-]	1,25							
Coefficient partiel HAS A4, HAS-U A4, HIT-V-R, tige filetée CRC II et III (tableau A1)	$\gamma_{Ms,V^1)}$	[-]	1,56						2,38	
Coefficient partiel HAS-U HCR, HIT-V-HCR, tige filetée CRC V (tableau A1)	$\gamma_{Ms,V^1)}$	[-]	1,25				1,75			
Coefficient de ductilité	k_7	[-]	1,0							
Rupture de l'acier avec bras de levier										
Résistance caractéristique	$M^0_{RK,s}$	[Nm]	$1,2 \cdot W_{el} \cdot f_{uk}$							
Coefficient de ductilité	k_7	[-]	1,0							
Rupture par arrachement du béton										
Coefficient d'arrachement	k_8	[-]	2,0							
Rupture au bord du béton										
Longueur effective de la fixation	l_f	[mm]	$\min(h_{ef}; 12 \cdot d_{nom})$						$\min(h_{ef}; 8 \cdot d_{nom}; 300)$	
Diamètre extérieur de la fixation	d_{nom}	[mm]	8	10	12	16	20	24	27	30

¹⁾ En l'absence de réglementations nationales.

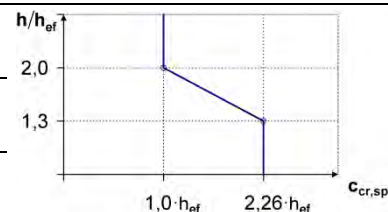
Système d'injection Hilti HIT-HY 200-A V3 et HIT-HY 200-R V3

Performances
 Caractéristiques essentielles sous charge de cisaillement dans du béton

Annexe C4

Tableau C3 : Caractéristiques essentielles pour la douille à filetage intérieur HIS-(R)N sous charge de traction dans du béton

HIS-(R)N			M8	M10	M12	M16	M20
Pour une durée de vie de 50 ans							
Coefficient de pose							
Perçage à percussion	γ_{inst}	[-]	1,0				
Perçage à percussion avec mèche creuse Hilti TE-CD ou TE-YD	γ_{inst}	[-]	1,0				
Forage au diamant avec dépolissage avec outil de dépolissage Hilti TE-YRT	γ_{inst}	[-]	1)	1,0			
Rupture de l'acier							
Résistance caractéristique HIS-N avec vis ou tige filetée de classe 8.8	$N_{Rk,s}$	[kN]	25	46	67	125	116
Coefficient partiel	$\gamma_{Ms,N^{2)}$	[-]	1,50				
Résistance caractéristique HIS-RN avec vis ou tige filetée de classe 70	$N_{Rk,s}$	[kN]	26	41	59	110	166
Coefficient partiel	$\gamma_{Ms,N^{2)}$	[-]	1,87				2,4
Rupture d'un cône de béton							
Coefficient pour le béton non fissuré	$k_{ucr,N}$	[-]	11,0				
Coefficient pour le béton fissuré	$k_{cr,N}$	[-]	7,7				
Distance au bord	$c_{cr,N}$	[mm]	$1,5 \cdot h_{ef}$				
Entraxe	$s_{cr,N}$	[mm]	$3,0 \cdot h_{ef}$				
Fissuration							
Distance au bord $c_{cr,sp}$ [mm] pour	$h / h_{ef} \geq 2,0$		$1,0 \cdot h_{ef}$				
	$2,0 > h / h_{ef} > 1,3$		$4,6 h_{ef} - 1,8 h$				
	$h / h_{ef} \leq 1,3$		$2,26 h_{ef}$				
Entraxe	$s_{cr,sp}$	[mm]	$2 \cdot c_{cr,sp}$				



1) Aucune performance évaluée.
 2) En l'absence de réglementations nationales.

Système d'injection Hilti HIT-HY 200-A V3 et HIT-HY 200-R V3

Performances
 Caractéristiques essentielles sous charge de traction dans du béton

Annexe C5

Tableau C3 : (suite)

HIS-(R)N		M8	M10	M12	M16	M20
Arrachement et rupture par cône de béton combinés pour une durée de vie de 50 ans						
Profondeur d'implantation effective	h_{ef} [mm]	90	110	125	170	205
Diamètre effectif de la fixation	d_1 [mm]	12,5	16,5	20,5	25,4	27,6
Résistance d'adhérence caractéristique dans du béton non fissuré C20/25 pour pose dans du béton sec ou humide (saturé d'eau), toutes les techniques de perçage (HD, HDB, DD + RT)						
Plage de températures I :	24 °C / 40 °C	$\tau_{Rk,ucr}$ [N/mm ²]	13			
Plage de températures II :	50 °C / 80 °C	$\tau_{Rk,ucr}$ [N/mm ²]	11			
Plage de températures III :	72 °C / 120 °C	$\tau_{Rk,ucr}$ [N/mm ²]	9,5			
Résistance d'adhérence caractéristique dans du béton fissuré C20/25 pour pose dans du béton sec ou humide (saturé d'eau), toutes les techniques de perçage (HD, HDB, DD + RT)						
Plage de températures I :	24 °C / 40 °C	$\tau_{Rk,cr}$ [N/mm ²]	7			
Plage de températures II :	50 °C / 80 °C	$\tau_{Rk,cr}$ [N/mm ²]	5,5			
Plage de températures III :	72 °C / 120 °C	$\tau_{Rk,cr}$ [N/mm ²]	5			
Coefficients d'influence ψ sur la résistance d'adhérence τ_{Rk} dans le béton fissuré et non fissuré						
Influence de la classe de résistance du béton : $\tau_{Rk} = \tau_{Rk,(C20/25)} \cdot \psi_c$						
Plage de températures I à III :	ψ_c [-]	$(f_{ck}/20)^{0,1}$				
Influence de la charge supportée						
Plage de températures I :	24 °C / 40 °C	ψ_{sus}^0 [-]	0,74			
Plage de températures II :	50 °C / 80 °C	ψ_{sus}^0 [-]	0,89			
Plage de températures III :	72 °C / 120 °C	ψ_{sus}^0 [-]	0,72			

Système d'injection Hilti HIT-HY 200-A V3 et HIT-HY 200-R V3

Performances
 Caractéristiques essentielles sous charge de traction dans du béton

Annexe C6

Tableau C4 : Caractéristiques essentielles pour la douille à filetage interne HIS-(R)N sous charge de cisaillement dans du béton

HIS-(R)N		M8	M10	M12	M16	M20
Pour une durée de vie de 50 ans						
Rupture de l'acier sans bras de levier						
Résistance caractéristique HIS-N avec vis ou tige filetée de classe 8.8	$V^{0}_{Rk,s}$ [kN]	13	23	34	63	58
Coefficient partiel	$\gamma_{Ms,V^{1)}$ [-]	1,25				
Résistance caractéristique HIS-RN avec vis ou tige filetée de classe 70	$V^{0}_{Rk,s}$ [kN]	13	20	30	55	83
Coefficient partiel	$\gamma_{Ms,V^{1)}$ [-]	1,56				2,0
Coefficient de ductilité	k_7 [-]	1,0				
Rupture de l'acier avec bras de levier						
Résistance caractéristique HIS-N avec vis ou tige filetée de classe 8.8	$M^{0}_{Rk,s}$ [Nm]	30	60	105	266	519
Résistance caractéristique HIS-RN avec vis ou tige filetée de classe 70	$M^{0}_{Rk,s}$ [Nm]	26	52	92	233	454
Coefficient de ductilité	k_7 [-]	1,0				
Rupture par arrachement du béton						
Coefficient d'arrachement	k_8 [-]	2,0				
Rupture au bord du béton						
Longueur effective de la fixation	l_f [mm]	90	110	125	170	205
Diamètre extérieur de la fixation	d_{nom} [mm]	12,5	16,5	20,5	25,4	27,6

¹⁾ En l'absence de réglementations nationales.

Système d'injection Hilti HIT-HY 200-A V3 et HIT-HY 200-R V3

Performances
 Caractéristiques essentielles sous charge de cisaillement dans du béton

Annexe C7

Tableau C5 : Caractéristiques essentielles de la tige d'ancrage Hilti HZA / HZA-R sous charge de traction dans du béton

Tige d'ancrage Hilti HZA / HZA-R			M12	M16	M20	M24	M27
Pour une durée de vie de 50 et 100 ans							
Coefficient de pose pour dans du béton sec ou humide (saturé d'eau)							
Perçage à percussion	γ_{inst}	[-]	1,0				
Perçage à percussion avec mèche creuse Hilti TE-CD ou TE-YD	γ_{inst}	[-]	1,0				
Forage au diamant avec dépolissage avec outil de dépolissage Hilti TE-YRT	γ_{inst}	[-]	1)	1,0			
Coefficient de pose pour pose dans des trous d'eau (sauf eau de mer)							
Perçage à percussion	γ_{inst}	[-]	1,4				
Perçage à percussion avec mèche creuse Hilti TE-CD ou TE-YD	γ_{inst}	[-]	1,4				
Rupture de l'acier							
Résistance caractéristique HZA	$N_{Rk,s}$	[kN]	46	86	135	194	253
Résistance caractéristique HZA-R	$N_{Rk,s}$	[kN]	62	111	173	248	1)
Coefficient partiel	$\gamma_{Ms,N^2)}$	[-]	1,4				
Rupture d'un cône de béton							
Profondeur d'ancrage effective	HZA	h_{ef}	[mm]	h_{nom}			
	HZA-R	h_{ef}	[mm]	h_{nom}			
Coefficient pour le béton non fissuré	$k_{ucr,N}$	[-]	11,0				
Coefficient pour le béton fissuré	$k_{cr,N}$	[-]	7,7				
Distance au bord	$c_{cr,N}$	[mm]	$1,5 \cdot h_{ef}$				
Entraxe	$s_{cr,N}$	[mm]	$3,0 \cdot h_{ef}$				
Rupture par fendage pour le béton non fissuré							
Distance au bord $c_{cr,sp}$ [mm] pour	$h / h_{ef} \geq 2,0$		$1,0 \cdot h_{ef}$				
	$2,0 > h / h_{ef} > 1,3$		$4,6 \cdot h_{ef} - 1,8 \cdot h$				
	$h / h_{ef} \leq 1,3$		$2,26 \cdot h_{ef}$				
Entraxe	$s_{cr,sp}$	[mm]	$2 \cdot c_{cr,sp}$				

1) Aucune performance évaluée.
 2) En l'absence de réglementations nationales.

Système d'injection Hilti HIT-HY 200-A V3 et HIT-HY 200-R V3

Performances
 Caractéristiques essentielles sous charge de traction dans du béton

Annexe C8

Tableau C5 : (suite)

Tige d'ancrage Hilti HZA / HZA-R			M12	M16	M20	M24	M27	
Diamètre de la barre d'armature	d	[mm]	12	16	20	25	28	
Profondeur effective d'ancrage	HZA	h_{ef} [mm]	$h_{nom} - 20$					
	HZA-R	h_{ef} [mm]	$h_{nom} - 100$					1)
Arrachement et rupture par cône de béton combinés pour une durée de vie de 50 ans								
Résistance d'adhérence caractéristique dans du béton non fissuré C20/25 pour pose dans du béton sec ou humide (saturé d'eau), toutes les techniques de perçage (HD, HDB, DD + RT)								
Plage de températures I :	24 °C / 40 °C	$\tau_{Rk,ucr}$ [N/mm ²]	12					
Plage de temp. II :	50 °C / 80 °C	$\tau_{Rk,ucr}$ [N/mm ²]	10					
Plage de temp. III :	72 °C / 120 °C	$\tau_{Rk,ucr}$ [N/mm ²]	8,5					
Résistance d'adhérence caractéristique dans du béton fissuré C20/25 pour pose dans du béton sec ou humide (saturé d'eau), toutes les techniques de perçage (HD, HDB, DD + RT)								
Plage de températures I :	24 °C / 40 °C	$\tau_{Rk,cr}$ [N/mm ²]	7					
Plage de temp II :	50 °C / 80 °C	$\tau_{Rk,cr}$ [N/mm ²]	5,5					
Plage de temp III :	72 °C / 120 °C	$\tau_{Rk,cr}$ [N/mm ²]	5					
Résistance d'adhérence caractéristique dans du béton non fissuré C20/25 pour pose dans des trous d'eau (sauf eau de mer), HD et HDB								
Plage de températures I :	24 °C / 40 °C	$\tau_{Rk,ucr}$ [N/mm ²]	11,4					
Plage de températures II :	50 °C / 80 °C	$\tau_{Rk,ucr}$ [N/mm ²]	9,3					
Plage de températures III :	72 °C / 120 °C	$\tau_{Rk,ucr}$ [N/mm ²]	8,1					
Résistance d'adhérence caractéristique dans du béton fissuré C20/25 pour pose dans des trous d'eau (sauf eau de mer), HD et HDB								
Plage de températures I :	24 °C / 40 °C	$\tau_{Rk,cr}$ [N/mm ²]	6,5					
Plage de températures II :	50 °C / 80 °C	$\tau_{Rk,cr}$ [N/mm ²]	5,2					
Plage de températures III :	72 °C / 120 °C	$\tau_{Rk,cr}$ [N/mm ²]	4,5					
Coefficients d'influence ψ sur la résistance d'adhérence τ_{Rk} dans le béton fissuré et non fissuré								
Influence de la classe de résistance du béton : $\tau_{Rk} = \tau_{Rk,(C20/25)} \cdot \psi_c$								
Plage de températures I à III :		ψ_c [-]	$(f_{ck}/20)^{0,1}$					
Influence de la charge supportée								
Plage de températures I :	24 °C / 40 °C	ψ_{sus}^0 [-]	0,74					
Plage de températures II :	50 °C / 80 °C	ψ_{sus}^0 [-]	0,89					
Plage de températures III :	72 °C / 120 °C	ψ_{sus}^0 [-]	0,72					

Système d'injection Hilti HIT-HY 200-A V3 et HIT-HY 200-R V3

Performances
 Caractéristiques essentielles sous charge de traction dans du béton

Annexe C9

Tableau C5 : (suite)

Tige d'ancrage Hilti HZA / HZA-R			M12	M16	M20	M24	M27	
Diamètre du barre d'armature	d	[mm]	12	16	20	25	28	
Profondeur effective d'ancrage	HZA	h_{ef} [mm]	$h_{nom} - 20$					
	HZA-R	h_{ef} [mm]	$h_{nom} - 100$					1)
Arrachement et rupture par cône de béton combinés pour une durée de vie de 100 ans								
Résistance d'adhérence caractéristique dans du béton non fissuré C20/25 pour pose dans du béton sec ou humide (saturé d'eau), toutes les techniques de perçage (HD, HDB, DD + RT)								
Plage de températures I : 24 °C / 40 °C			$\tau_{Rk,ucr,100}$ [N/mm ²]	12				
Plage de températures II : 50 °C / 80 °C			$\tau_{Rk,ucr,100}$ [N/mm ²]	10				
Plage de températures III : 72 °C / 120 °C			$\tau_{Rk,ucr,100}$ [N/mm ²]	8,5				
Résistance d'adhérence caractéristique dans du béton fissuré C20/25 pour pose dans du béton sec ou humide (saturé d'eau), toutes les techniques de perçage (HD, HDB, DD + RT)								
Plage de températures I : 24 °C / 40 °C			$\tau_{Rk,cr,100}$ [N/mm ²]	7				
Plage de températures II : 50 °C / 80 °C			$\tau_{Rk,cr,100}$ [N/mm ²]	5,5				
Plage de températures III : 72 °C / 120 °C			$\tau_{Rk,cr,100}$ [N/mm ²]	5				
Résistance d'adhérence caractéristique dans du béton non fissuré C20/25 pour pose dans des trous d'eau (sauf eau de mer), HD et HDB								
Plage de températures I : 24 °C / 40 °C			$\tau_{Rk,ucr,100}$ [N/mm ²]	11,4				
Plage de températures II : 50 °C / 80 °C			$\tau_{Rk,ucr,100}$ [N/mm ²]	9,3				
Plage de températures III : 72 °C / 120 °C			$\tau_{Rk,ucr,100}$ [N/mm ²]	8,1				
Résistance d'adhérence caractéristique dans du béton fissuré C20/25 pour pose dans des trous d'eau (sauf eau de mer), HD et HDB								
Plage de températures I : 24 °C / 40 °C			$\tau_{Rk,cr,100}$ [N/mm ²]	6,5				
Plage de températures II : 50 °C / 80 °C			$\tau_{Rk,cr,100}$ [N/mm ²]	5,2				
Plage de températures III : 72 °C / 120 °C			$\tau_{Rk,cr,100}$ [N/mm ²]	4,5				
Coefficients d'influence ψ sur la résistance d'adhérence τ_{Rk} dans le béton fissuré et non fissuré								
Influence de la classe de résistance du béton : $\tau_{Rk} = \tau_{Rk,(C20/25)} \cdot \psi_c$								
Plage de températures I à III :			ψ_c [-]	$(f_{ck}/20)^{0,1}$				
Influence de la charge supportée								
Plage de températures I : 24 °C / 40 °C			$\psi_{sus,100}^0$ [-]	0,71				
Plage de températures II : 50 °C / 80 °C			$\psi_{sus,100}^0$ [-]	0,86				
Plage de températures III : 72 °C / 120 °C			$\psi_{sus,100}^0$ [-]	0,80				

1) Aucune performance évaluée

Système d'injection Hilti HIT-HY 200-A V3 et HIT-HY 200-R V3

Performances
 Caractéristiques essentielles sous charge de traction dans du béton

Annexe C10

Tableau C6 : Caractéristiques essentielles de la tige d’ancrage Hilti HZA, HZA-R sous charge de cisaillement dans du béton

Tige d’ancrage Hilti HZA, HZA-R		M12	M16	M20	M24	M27
Pour un durée de vie de 50 et 100 ans						
Rupture de l’acier sans bras de levier						
Résistance caractéristique HZA	$V_{Rk,s}^0$ [kN]	23	43	67	97	126
Résistance caractéristique HZA-R	$V_{Rk,s}^0$ [kN]	31	55	86	124	1)
Coefficient partiel	$\gamma_{Ms,V}^{2)}$ [-]	1,5				
Facteur de ductilité	k_7 [-]	1,0				
Rupture de l’acier avec bras de levier						
Résistance caractéristique HZA	$M_{Rk,s}^0$ [Nm]	72	183	357	617	915
Résistance caractéristique HZA-R	$M_{Rk,s}^0$ [Nm]	97	234	457	790	1)
Facteur de ductilité	k_7 [-]	1,0				
Rupture par arrachement du béton						
Facteur d’arrachement	k_8 [-]	2,0				
Rupture au bord du béton						
Longueur effective de la fixation	l_f [mm]	min (h_{nom} ; $12 \cdot d_{nom}$)				min (h_{nom} ; $8 \cdot d_{nom}$; 300)
Diamètre extérieur de la fixation	d_{nom} [mm]	12	16	20	24	27

1) Aucune performance évaluée.
 2) En l’absence de réglementations nationales.

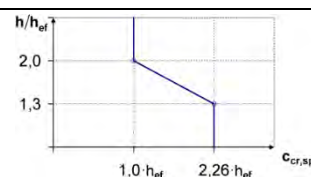
Système d’injection Hilti HIT-HY 200-A V3 et HIT-HY 200-R V3

Performances
 Caractéristiques essentielles sous charge de cisaillement dans du béton

Annexe C11

Tableau C7 :Caractéristiques essentielles pour les barres d'armature sous charge de traction dans du béton

Barre d'armature		φ 8	φ 10	φ 12	φ 14	φ 16	φ 20	φ 25	φ 26	φ 28	φ 30	φ 32
Pour un durée de vie de 50 et 100 ans												
Coefficient de pose pour dans du béton sec ou humide (saturé d'eau)												
Perçage à percussion	γ_{inst}	[-]										1,0
Perçage à percussion avec mèche creuse Hilti TE-CD ou TE-YD	γ_{inst}	[-]										1,0
Forage au diamant avec outil de dépolissage Hilti TE-YRT	γ_{inst}	1)					1,0					
Coefficient de pose pour pose dans des trous d'eau (sauf eau de mer)												
Perçage à percussion	γ_{inst}	[-]										1,4
Perçage à percussion avec mèche creuse Hilti TE-CD ou TE-YD	γ_{inst}	[-]										1,4
Rupture de l'acier												
Résistance caractéristique	$N_{Rk,s}$ [kN]	$A_s \cdot f_{uk}^{2)}$										
Résistance caractéristique Barre d'armature B500B selon la norme DIN 488-1	$N_{Rk,s}$ [kN]	28	43	62	85	111	173	270	292	339	388	442
Coefficient partiel	$\gamma_{Ms,N}^{3)}$	[-]										1,4
Rupture d'un cône de béton												
Coefficient pour béton non fissuré	$k_{ucr,N}$	[-]										11,0
Coefficient pour le béton fissuré	$k_{cr,N}$	[-]										7,7
Distance au bord	$c_{cr,N}$ [mm]											$1,5 \cdot h_{ef}$
Entraxe	$s_{cr,N}$ [mm]											$3,0 \cdot h_{ef}$
Rupture par fendage pour le béton non fissuré												
Distance au bord $c_{cr,sp}$ [mm] pour	$h / h_{ef} \geq 2,0$											$1,0 \cdot h_{ef}$
	$2,0 > h / h_{ef} > 1,3$											$4,6 \cdot h_{ef} - 1,8 \cdot h$
	$h / h_{ef} \leq 1,3$											$2,26 \cdot h_{ef}$
Entraxe	$s_{cr,sp}$ [mm]											$2 c_{cr,sp}$



- 1) Aucune performance évaluée.
- 2) f_{uk} selon la spécification du barre d'armature.
- 3) En l'absence de réglementations nationales.

Système d'injection Hilti HIT-HY 200-A V3 et HIT-HY 200-R V3

Performances
 Caractéristiques essentielles sous charge de traction dans du béton

Annexe C12

Tableau C7 : (suite)

Barre d'armature		φ 8	φ 10	φ 12	φ 14	φ 16	φ 20	φ 25	φ 26	φ 28	φ 30	φ 32
Diamètre du barre d'armature	d [mm]	8	10	12	14	16	20	25	26	28	30	32
Arrachement et rupture par cône de béton combinés pour une durée de vie de 50 ans												
Résistance d'adhérence caractéristique dans du béton non fissuré C20/25 pour pose dans du béton sec ou humide (saturé d'eau), toutes les techniques de perçage (HD, HDB, DD + RT)												
Plage de températures I :	24 °C / 40 °C	$\tau_{Rk,ucr}$ [N/mm ²]					12					
Plage de températures II :	50 °C / 80 °C	$\tau_{Rk,ucr}$ [N/mm ²]					10					
Plage de températures III :	72 °C / 120 °C	$\tau_{Rk,ucr}$ [N/mm ²]					8,5					
Résistance d'adhérence caractéristique dans du béton fissuré C20/25 pour pose dans du béton sec ou humide (saturé d'eau), toutes les techniques de perçage (HD, HDB, DD + RT)												
Plage de températures I :	24 °C / 40 °C	$\tau_{Rk,cr}$ [N/mm ²]	1)	5,0				7,0				
Plage de températures II :	50 °C / 80 °C	$\tau_{Rk,cr}$ [N/mm ²]	1)	4,0				5,5				
Plage de températures III :	72 °C / 120 °C	$\tau_{Rk,cr}$ [N/mm ²]	1)	3,5				5,0				
Résistance d'adhérence caractéristique dans du béton non fissuré C20/25 pour pose dans des trous d'eau (sauf eau de mer), HD et HDB												
Plage de températures I :	24 °C / 40 °C	$\tau_{Rk,ucr}$ [N/mm ²]	1)					11,4				
Plage de températures II :	50 °C / 80 °C	$\tau_{Rk,ucr}$ [N/mm ²]	1)					9,3				
Plage de températures III :	72 °C / 120 °C	$\tau_{Rk,ucr}$ [N/mm ²]	1)					8,1				
Résistance d'adhérence caractéristique dans du béton fissuré C20/25 pour pose dans des trous d'eau (sauf eau de mer), HD et HDB												
Plage de températures I :	24 °C / 40 °C	$\tau_{Rk,cr}$ [N/mm ²]	1)	4,6				6,5				
Plage de températures II :	50 °C / 80 °C	$\tau_{Rk,cr}$ [N/mm ²]	1)	3,7				5,2				
Plage de températures III :	72 °C / 120 °C	$\tau_{Rk,cr}$ [N/mm ²]	1)	3,2				4,5				
Coefficients d'influence ψ sur la résistance d'adhérence τ_{Rk} dans le béton fissuré et non fissuré												
Influence de la classe de résistance du béton : $\tau_{Rk} = \tau_{Rk,(C20/25)} \cdot \psi_c$												
Plage de températures I à III :	ψ_c	[-]					$(f_{ck}/20)^{0,1}$					
Influence de la charge supportée												
Plage de températures I :	24 °C / 40 °C	ψ_{sus}^0	[-]					0,74				
Plage de températures II :	50 °C / 80 °C	ψ_{sus}^0	[-]					0,89				
Plage de températures III :	72 °C / 120 °C	ψ_{sus}^0	[-]					0,72				

Système d'injection Hilti HIT-HY 200-A V3 et HIT-HY 200-R V3

Performances
 Caractéristiques essentielles sous charge de traction dans du béton

Annexe C13

Tableau C7 : (suite)

Barre d'armature		φ 8	φ 10	φ 12	φ 14	φ 16	φ 20	φ 25	φ 26	φ 28	φ 30	φ 32
Diamètre du barre d'armature	d [mm]	8	10	12	14	16	20	25	26	28	30	32
Arrachement et rupture par cône de béton combinés pour une durée de vie de 100 ans												
Résistance d'adhérence caractéristique dans du béton non fissuré C20/25 pour pose dans du béton sec ou humide (saturé d'eau), toutes les techniques de perçage (HD, HDB, DD + RT)												
Plage de températures I :	24 °C / 40 °C	$\tau_{Rk,ucr,100}$ [N/mm ²]										12
Plage de températures II :	50 °C / 80 °C	$\tau_{Rk,ucr,100}$ [N/mm ²]										10
Plage de températures III :	72 °C / 120 °C	$\tau_{Rk,ucr,100}$ [N/mm ²]										8,5
Résistance d'adhérence caractéristique dans du béton fissuré C20/25 pour pose dans du béton sec ou humide (saturé d'eau), toutes les techniques de perçage (HD, HDB, DD + RT)												
Plage de températures I :	24 °C / 40 °C	$\tau_{Rk,cr,100}$ [N/mm ²]	1)	5,0								7,0
Plage de températures II :	50 °C / 80 °C	$\tau_{Rk,cr,100}$ [N/mm ²]	1)	4,0								5,5
Plage de températures III :	72 °C / 120 °C	$\tau_{Rk,cr,100}$ [N/mm ²]	1)	3,5								5,0
Résistance d'adhérence caractéristique dans du béton non fissuré C20/25 pour pose dans des trous d'eau (sauf eau de mer), HD et HDB												
Plage de températures I :	24 °C / 40 °C	$\tau_{Rk,ucr,100}$ [N/mm ²]	1)								11,4	
Plage de températures II :	50 °C / 80 °C	$\tau_{Rk,ucr,100}$ [N/mm ²]	1)								9,3	
Plage de températures III :	72 °C / 120 °C	$\tau_{Rk,ucr,100}$ [N/mm ²]	1)								8,1	
Résistance d'adhérence caractéristique dans du béton fissuré C20/25 pour pose dans des trous d'eau (sauf eau de mer), HD et HDB												
Plage de températures I :	24 °C / 40 °C	$\tau_{Rk,cr,100}$ [N/mm ²]	1)	4,6								6,5
Plage de températures II :	50 °C / 80 °C	$\tau_{Rk,cr,100}$ [N/mm ²]	1)	3,7								5,2
Plage de températures III :	72 °C / 120 °C	$\tau_{Rk,cr,100}$ [N/mm ²]	1)	3,2								4,5
Coefficients d'influence ψ sur la résistance d'adhérence τ_{Rk} dans le béton fissuré et non fissuré												
Influence de la classe de résistance du béton : $\tau_{Rk} = \tau_{Rk,(C20/25)} \cdot \psi_c$												
Plage de températures I à III :	ψ_c	[-]										$(f_{ck}/20)^{0,1}$
Influence de la charge supportée												
Plage de températures I :	24 °C / 40 °C	$\psi_{sus,100}^0$	[-]								0,71	
Plage de températures II :	50 °C / 80 °C	$\psi_{sus,100}^0$	[-]								0,86	
Plage de températures III :	72 °C / 120 °C	$\psi_{sus,100}^0$	[-]								0,80	

1) Aucune performance évaluée.

Système d'injection Hilti HIT-HY 200-A V3 et HIT-HY 200-R V3

Performances
 Caractéristiques essentielles sous charge de traction dans du béton

Annexe C14

Tableau C8 : Caractéristiques essentielles pour les armatures sous charge de cisaillement dans du béton

Barre d'armature	φ 8	φ 10	φ 12	φ 14	φ 16	φ 20	φ 25	φ 26	φ 28	φ 30	φ 32
Pour un durée de vie de 50 et 100 ans											
Rupture de l'acier sans bras de levier											
Résistance caractéristique $V_{Rk,s}^0$ [kN]	$0,5 \cdot A_s \cdot f_{uk}^{1)}$										
Résistance caractéristique Barre d'armature B500B selon la norme DIN 488-1 $V_{Rk,s}^0$ [kN]	14	22	31	42	55	86	135	146	169	194	221
Coefficient partiel $\gamma_{Ms,V}^{2)}$ [-]	1,5										
Coefficient de ductilité k_7 [-]	1,0										
Rupture de l'acier avec bras de levier											
Résistance caractéristique $M_{Rk,s}^0$ [Nm]	$1,2 \cdot W_{el} \cdot f_{uk}^{1)}$										
Résistance caractéristique Barre d'armature B500B selon la norme DIN 488-1 $M_{Rk,s}^0$ [Nm]	33	65	112	178	265	518	1012	1139	1422	1749	2123
Coefficient de ductilité k_7 [-]	1,0										
Rupture par arrachement du béton											
Coefficient d'arrachement k_8 [-]	2,0										
Rupture au bord du béton											
Longueur effective de la fixation l_f [mm]	$\min(h_{ef}; 12 \cdot d_{nom})$						$\min(h_{nom}; 8 \cdot d_{nom}; 300)$				
Diamètre extérieur de la fixation d_{nom} [mm]	8	10	12	14	16	20	25	26	28	30	32

- 1) f_{uk} selon la spécification du barre d'armature
 2) 1) En l'absence de réglementations nationales.

Système d'injection Hilti HIT-HY 200-A V3 et HIT-HY 200-R V3

Performances
 Caractéristiques essentielles sous charge de cisaillement dans du béton

Annexe C15

Tableau C9 : Déplacements sous charge de traction

Tiges filetées conformément à l'annexe A		M8	M10	M12	M16	M20	M24	M27	M30	
Plage de températures I pour le béton non fissuré : 24 °C / 40 °C										
Déplacement	δ_{N0}	[mm/(N/mm ²)]	0,02	0,03	0,03	0,04	0,06	0,07	0,07	0,08
	$\delta_{N\infty}$	[mm/(N/mm ²)]	0,04	0,05	0,06	0,08	0,10	0,13	0,14	0,16
Plage de températures II pour le béton non fissuré : 50 °C / 80 °C										
Déplacement	δ_{N0}	[mm/(N/mm ²)]	0,03	0,04	0,05	0,06	0,08	0,09	0,10	0,12
	$\delta_{N\infty}$	[mm/(N/mm ²)]	0,04	0,05	0,06	0,09	0,11	0,13	0,15	0,16
Plage de températures III pour le béton non fissuré : 72 °C / 120 °C										
Déplacement	δ_{N0}	[mm/(N/mm ²)]	0,04	0,05	0,06	0,08	0,10	0,12	0,13	0,16
	$\delta_{N\infty}$	[mm/(N/mm ²)]	0,04	0,05	0,07	0,09	0,11	0,13	0,15	0,17
Plage de températures I pour le béton fissuré : 24 °C / 40 °C										
Déplacement	δ_{N0}	[mm/(N/mm ²)]	0,07							
	$\delta_{N\infty}$	[mm/(N/mm ²)]	0,16							
Plage de températures II pour le béton fissuré : 50 °C / 80 °C										
Déplacement	δ_{N0}	[mm/(N/mm ²)]	0,10							
	$\delta_{N\infty}$	[mm/(N/mm ²)]	0,22							
Plage de températures III pour le béton fissuré : 72 °C / 120 °C										
Déplacement	δ_{N0}	[mm/(N/mm ²)]	0,13							
	$\delta_{N\infty}$	[mm/(N/mm ²)]	0,29							

Tableau C10 : Déplacements sous charge de cisaillement

Tiges filetées conformément à l'annexe A		M8	M10	M12	M16	M20	M24	M27	M30	
Déplacement	δ_{V0}	[mm/kN]	0,06	0,06	0,05	0,04	0,04	0,03	0,03	0,03
	$\delta_{V\infty}$	[mm/kN]	0,09	0,08	0,08	0,06	0,06	0,05	0,05	0,05

Système d'injection Hilti HIT-HY 200-A V3 et HIT-HY 200-R V3

Performances
 Déplacements avec les tiges filetées, HAS-U-..., HIT-V-... et AM 8.8

Annexe C16

Tableau C11 : Déplacements sous charge de traction

HIS-(R)N		M8	M10	M12	M16	M20	
Plage de températures I pour le béton non fissuré : 24 °C / 40 °C							
Déplacement	δ_{N0}	[mm/(N/mm ²)]	0,03	0,05	0,06	0,07	0,08
	$\delta_{N\infty}$	[mm/(N/mm ²)]	0,06	0,09	0,11	0,13	0,14
Plage de températures II pour le béton non fissuré : 50 °C / 80 °C							
Déplacement	δ_{N0}	[mm/(N/mm ²)]	0,05	0,06	0,08	0,10	0,11
	$\delta_{N\infty}$	[mm/(N/mm ²)]	0,07	0,09	0,11	0,13	0,15
Plage de températures III pour le béton non fissuré : 72 °C / 120 °C							
Déplacement	δ_{N0}	[mm/(N/mm ²)]	0,06	0,08	0,10	0,13	0,14
	$\delta_{N\infty}$	[mm/(N/mm ²)]	0,07	0,09	0,11	0,14	0,15
Plage de températures I pour le béton fissuré : 24 °C / 40 °C							
Déplacement	δ_{N0}	[mm/(N/mm ²)]	0,11				
	$\delta_{N\infty}$	[mm/(N/mm ²)]	0,16				
Plage de températures II pour le béton fissuré : 50 °C / 80 °C							
Déplacement	δ_{N0}	[mm/(N/mm ²)]	0,15				
	$\delta_{N\infty}$	[mm/(N/mm ²)]	0,22				
Plage de températures III pour le béton fissuré : 72 °C / 120 °C							
Déplacement	δ_{N0}	[mm/(N/mm ²)]	0,20				
	$\delta_{N\infty}$	[mm/(N/mm ²)]	0,29				

Tableau C12 : Déplacements sous charge de cisaillement

HIS-(R)N		M8	M10	M12	M16	M20	
Déplacement	δ_{V0}	[mm/kN]	0,06	0,06	0,05	0,04	0,04
	$\delta_{V\infty}$	[mm/kN]	0,09	0,08	0,08	0,06	0,06

Système d'injection Hilti HIT-HY 200-A V3 et HIT-HY 200-R V3

Performances
Déplacements avec HIS-(R)N

Annexe C17

Tableau C13 : Déplacements sous charge de traction

Tige d'ancrage HZA, HZA-R		M12	M16	M20	M24	M27	
Plage de températures I pour le béton non fissuré : 24 °C / 40 °C							
Déplacement	δ_{N0}	[mm/(N/mm ²)]	0,03	0,04	0,06	0,07	0,08
	$\delta_{N\infty}$	[mm/(N/mm ²)]	0,06	0,08	0,13	0,13	0,15
Plage de températures II pour le béton non fissuré : 50 °C / 80 °C							
Déplacement	δ_{N0}	[mm/(N/mm ²)]	0,05	0,06	0,08	0,10	0,11
	$\delta_{N\infty}$	[mm/(N/mm ²)]	0,06	0,09	0,14	0,14	0,15
Plage de températures III pour le béton non fissuré : 72 °C / 120 °C							
Déplacement	δ_{N0}	[mm/(N/mm ²)]	0,06	0,08	0,10	0,12	0,14
	$\delta_{N\infty}$	[mm/(N/mm ²)]	0,07	0,09	0,14	0,14	0,16
Plage de températures I pour le béton fissuré : 24 °C / 40 °C							
Déplacement	δ_{N0}	[mm/(N/mm ²)]	0,11				
	$\delta_{N\infty}$	[mm/(N/mm ²)]	0,16				
Plage de températures II pour le béton fissuré : 50 °C / 80 °C							
Déplacement	δ_{N0}	[mm/(N/mm ²)]	0,15				
	$\delta_{N\infty}$	[mm/(N/mm ²)]	0,22				
Plage de températures III pour le béton fissuré : 72 °C / 120 °C							
Déplacement	δ_{N0}	[mm/(N/mm ²)]	0,20				
	$\delta_{N\infty}$	[mm/(N/mm ²)]	0,29				

Tableau C14 : Déplacements sous charge de cisaillement

Tige d'ancrage HZA, HZA-R		M12	M16	M20	M24	M27	
Déplacement	δ_{V0}	[mm/kN]	0,05	0,04	0,04	0,03	0,03
	$\delta_{V\infty}$	[mm/kN]	0,08	0,06	0,06	0,05	0,05

Système d'injection Hilti HIT-HY 200-A V3 et HIT-HY 200-R V3

Performances
Déplacements avec HZA et HZA-R

Annexe C18

Tableau C15 : Déplacements sous charge de traction

Barre d'armature		φ 8	φ 10	φ 12	φ 14	φ 16	φ 20	φ 25	φ 26	φ 28	φ 30	φ 32
Plage de températures I pour le béton non fissuré : 24 °C / 40 °C												
Déplacement	δ_{N0} [mm/(N/mm ²)]	0,02	0,03	0,03	0,04	0,04	0,06	0,07	0,08	0,08	0,09	0,09
	$\delta_{N\infty}$ [mm/(N/mm ²)]	0,04	0,05	0,06	0,07	0,08	0,10	0,13	0,14	0,15	0,16	0,17
Plage de températures II pour le béton non fissuré : 50 °C / 80 °C												
Déplacement	δ_{N0} [mm/(N/mm ²)]	0,03	0,04	0,05	0,05	0,06	0,08	0,10	0,11	0,11	0,12	0,12
	$\delta_{N\infty}$ [mm/(N/mm ²)]	0,04	0,05	0,06	0,07	0,09	0,11	0,14	0,15	0,15	0,16	0,17
Plage de températures III pour le béton non fissuré : 72 °C / 120 °C												
Déplacement	δ_{N0} [mm/(N/mm ²)]	0,04	0,05	0,06	0,07	0,08	0,10	0,12	0,13	0,14	0,15	0,16
	$\delta_{N\infty}$ [mm/(N/mm ²)]	0,04	0,05	0,07	0,08	0,09	0,11	0,14	0,15	0,16	0,17	0,18
Plage de températures I pour le béton fissuré : 24 °C / 40 °C												
Déplacement	δ_{N0} [mm/(N/mm ²)]						0,11					
	$\delta_{N\infty}$ [mm/(N/mm ²)]						0,16					
Plage de températures II pour le béton fissuré : 50 °C / 80 °C												
Déplacement	δ_{N0} [mm/(N/mm ²)]						0,15					
	$\delta_{N\infty}$ [mm/(N/mm ²)]						0,22					
Plage de températures III pour le béton fissuré : 72 °C / 120 °C												
Déplacement	δ_{N0} [mm/(N/mm ²)]						0,20					
	$\delta_{N\infty}$ [mm/(N/mm ²)]						0,29					

Tableau C16 : Déplacements sous charge de cisaillement

Barre d'armature		φ 8	φ 10	φ 12	φ 14	φ 16	φ 20	φ 25	φ 26	φ 28	φ 30	φ 32
Déplacement	δ_{V0} [mm/kN]	0,06	0,05	0,05	0,04	0,04	0,04	0,03	0,03	0,03	0,03	0,03
	$\delta_{V\infty}$ [mm/kN]	0,09	0,08	0,07	0,06	0,06	0,05	0,05	0,05	0,04	0,04	0,04

Système d'injection Hilti HIT-HY 200-A V3 et HIT-HY 200-R V3

Performances
 Déplacements avec la barre d'armature

Annexe C19

Tableau C17 : Caractéristiques essentielles pour les tiges filetées conformément à l'annexe A sous charge de traction pour la catégorie de performances sismiques C1

Tiges filetées conformément à l'annexe A		M10	M12	M16	M20	M24	M27	M30
Pour une durée de vie de 50 et 100 ans								
Rupture de l'acier								
Résistance caractéristique	$N_{Rk,s,C1}$	[kN]	$A_s \cdot f_{uk}$					
Arrachement et rupture par cône de béton combinés pour une durée de vie de 50 ans								
Résistance à la rupture caractéristique dans le béton fissuré C20/25								
Plage de températures I :	24 °C / 40 °C	$\tau_{Rk,C1}$	[N/mm ²]	5,2	7,0			
Plage de températures II :	50 °C / 80 °C	$\tau_{Rk,C1}$	[N/mm ²]	3,9	5,7			
Plage de températures III :	72 °C / 120 °C	$\tau_{Rk,C1}$	[N/mm ²]	3,5	4,8			
Arrachement et rupture par cône de béton combinés pour une durée de vie de 100 ans								
Résistance à la rupture caractéristique dans le béton fissuré C20/25								
Plage de températures I :	24 °C / 40 °C	$\tau_{Rk,100,C1}$	[N/mm ²]	4,5	6,3			
Plage de températures II :	50 °C / 80 °C	$\tau_{Rk,100,C1}$	[N/mm ²]	3,7	5,2			
Plage de températures III :	72 °C / 120 °C	$\tau_{Rk,100,C1}$	[N/mm ²]	3,1	4,4			
Coefficients d'influence ψ sur la résistance d'adhérence $\tau_{Rk,C1}$ et $\tau_{Rk,100,C1}$ dans le béton fissuré								
Influence de la classe de résistance du béton : $\tau_{Rk} = \tau_{Rk,(C20/25)} \cdot \psi_c$								
Plage de températures I à III :		ψ_c	[-]	1,0				

Tableau C18 : Caractéristiques essentielles pour les tiges filetées conformément à l'annexe A sous charge de cisaillement pour la catégorie de performances sismiques C1

Tiges filetées conformément à l'annexe A		M10	M12	M16	M20	M24	M27	M30	
Pour un durée de vie de 50 et 100 ans									
Coefficient d'espace annulaire sans set de remplissage Hilti	α_{gap}	[-]	0,5						
Coefficient d'espace annulaire avec set de remplissage Hilti	α_{gap}	[-]	1,0				1)		
Rupture de l'acier sans bras de levier									
Résistance caractéristique HAS 5.8, HAS-U 5.8, HIT-V 5.8	$V_{Rk,s,C1}$	[kN]	$0,60 \cdot A_s \cdot f_{uk}$						
Résistance caractéristique HAS 8.8, HAS-U 8.8, HIT-V 8.8, AM 8.8	$V_{Rk,s,C1}$	[kN]	$0,50 \cdot A_s \cdot f_{uk}$						
Résistance caractéristique HAS A4, HAS-U A4, HIT-V-R HAS-U HCR, HIT-V-HCR	$V_{Rk,s,C1}$	[kN]	$0,50 \cdot A_s \cdot f_{uk}$						
Résistance caractéristique Tige filetée standard disponible dans le commerce	$V_{Rk,s,C1}$	[kN]	$0,35 \cdot A_s \cdot f_{uk}$						

1) Aucune performance évaluée.

Système d'injection Hilti HIT-HY 200-A V3 et HIT-HY 200-R V3

Performances

Caractéristiques essentielles sous charges de traction et de cisaillement pour la catégorie de performances sismiques C1

Annexe C20

Tableau C19 : Caractéristiques essentielles pour la tige d’ancrage Hilti HZA, HZA-R sous charge de traction pour la catégorie de performances sismiques C1

Tige d’ancrage Hilti HZA, HZA-R			M12	M16	M20	M24	M27
Pour un durée de vie de 50 et 100 ans							
Rupture de l’acier							
Résistance caractéristique HZA	$N_{Rk,s,C1}$	[kN]	46	86	135	194	253
Résistance caractéristique HZA-R	$N_{Rk,s,C1}$	[kN]	62	111	173	248	1)
Coefficient partiel	$\gamma_{Ms,N,C1}^{2)}$	[-]	1,4				
Arrachement et rupture par cône de béton combinés							
Diamètre du barre d’armature	d	[mm]	12	16	20	25	28
Résistance à la rupture caractéristique dans le béton fissuré C20/25							
Plage de températures I :	24 °C / 40 °C	$\tau_{Rk,C1} = \tau_{Rk,100,C1}$ [N/mm ²]	6,1				
Plage de températures II :	50 °C / 80 °C	$\tau_{Rk,C1} = \tau_{Rk,100,C1}$ [N/mm ²]	4,8				
Plage de températures III :	72 °C / 120 °C	$\tau_{Rk,C1} = \tau_{Rk,100,C1}$ [N/mm ²]	4,4				
Coefficients d’influence ψ sur la résistance d’adhérence $\tau_{Rk,C1}$ et $\tau_{Rk,100,C1}$ dans le béton fissuré							
Influence de la classe de résistance du béton : $\tau_{Rk} = \tau_{Rk,(C20/25)} \cdot \psi_c$							
Plage de températures I à III :	ψ_c	[-]	1,0				

- 1) Aucune performance évaluée.
 2) En l’absence de réglementations nationales.

Tableau C20 : Caractéristiques essentielles pour la tige d’ancrage Hilti HZA, HZA-R sous charge de cisaillement pour la catégorie de performances sismiques C1

Tige d’ancrage Hilti HZA, HZA-R			M12	M16	M20	M24	M27
Pour un durée de vie de 50 et 100 ans							
Coefficient d’espace annulaire sans set de remplissage Hilti	α_{gap}	[-]	0,5				
Coefficient d’espace annulaire avec set de remplissage Hilti	α_{gap}	[-]	1,0				
Rupture de l’acier sans bras de levier							
Résistance caractéristique HZA	$V_{Rk,s,C1}$	[kN]	16	30	47	68	88
Résistance caractéristique HZA-R	$V_{Rk,s,C1}$	[kN]	22	39	60	124	1)
Coefficient partiel	$\gamma_{Ms,V,C1}^{2)}$	[-]	1,5				

- 1) Aucune performance évaluée.
 2) En l’absence de réglementations nationales.

Système d’injection Hilti HIT-HY 200-A V3 et HIT-HY 200-R V3

Performances

Caractéristiques essentielles sous charges de traction et de cisaillement pour la catégorie de performances sismiques C1

Annexe C21

Tableau C21 : Caractéristiques essentielles pour les armatures sous charge de traction pour la catégorie de performances sismiques C1

Barre d'armature		φ 10	φ 12	φ 14	φ 16	φ 20	φ 25	φ 26	φ 28	φ 30	φ 32	
Pour un durée de vie de 50 et 100 ans												
Rupture de l'acier												
Résistance caractéristique	$N_{Rk,s,C1}$	[kN]		$A_s \cdot f_{uk}^{1)}$								
Résistance caractéristique pour barre d'armature B500B selon la norme DIN 488-1	$N_{Rk,s,C1}$	[kN]	43	62	85	111	173	270	292	339	388	442
Arrachement et rupture par cône de béton combinés												
Diamètre du barre d'armature	d	[mm]	10	12	14	16	20	25	26	28	30	32
Résistance à la rupture caractéristique dans le béton fissuré C20/25												
Plage de températures I : 24 °C / 40 °C	$\tau_{Rk,C1} = \tau_{Rk,100,C1}$	[N/mm ²]	4,4	6,1								
Plage de températures II : 50 °C / 80 °C	$\tau_{Rk,C1} = \tau_{Rk,100,C1}$	[N/mm ²]	3,5	4,8								
Plage de températures III : 72 °C / 120 °C	$\tau_{Rk,C1} = \tau_{Rk,100,C1}$	[N/mm ²]	3	4,4								
Coefficients d'influence ψ sur la résistance d'adhérence $\tau_{Rk,C1}$ et $\tau_{Rk,100,C1}$ dans le béton fissuré												
Influence de la classe de résistance du béton : $\tau_{Rk} = \tau_{Rk,(C20/25)} \cdot \psi_c$												
Plage de températures I à III :	ψ_c	[-]	1,0									

¹⁾ f_{uk} selon la spécification du barre d'armature

Tableau C22 : Caractéristiques essentielles pour les armatures sous charges de cisaillement pour la catégorie de performances sismiques C1

Barre d'armature		φ 10	φ 12	φ 14	φ 16	φ 20	φ 25	φ 26	φ 28	φ 30	φ 32	
Pour une durée de vie de 50 et 100 ans												
Coefficient d'espace annulaire sans set de remplissage Hilti	α_{gap}	[-]		0,5								
Rupture de l'acier sans bras de levier												
Résistance caractéristique	$V_{Rk,s,C1}$	[kN]		$0,35 \cdot A_s \cdot f_{uk}^{1)}$								
Résistance caractéristique pour barre d'armature B500B selon la norme DIN 488-1	$V_{Rk,s,C1}$	[kN]	15	22	29	39	60	95	102	118	135	155

¹⁾ f_{uk} selon la spécification du barre d'armature

Système d'injection Hilti HIT-HY 200-A V3 et HIT-HY 200-R V3

Performances

Caractéristiques essentielles sous charges de traction et de cisaillement pour la catégorie de performances sismiques C1

Annexe C22

Tableau C23 : Caractéristiques pour les tiges filetées conformément à l'annexe A sous charge de traction pour la catégorie de performances sismiques C2

Tiges filetées conformément à l'annexe A	M12	M16	M20	M24	
Pour un durée de vie de 50 et 100 ans					
Rupture de l'acier					
Résistance caractéristique HAS (8.8, 8.8 HDG, A4), HAS-U (-8.8, -8.8 HDG, A4, HCR), HIT-V (-8.8, -8.8 F, -,R, HCR), AM (8.8, 8.8 HDG) Tige filetée (électrozinguée 8.8, CRC II, CRC III et CRC V, voir tableau A1)	$N_{Rk,s,C2}$ [kN]				
$A_s \cdot f_{uk}$					
Arrachement + rupture par cône de béton					
Résistance caractéristique à la rupture dans du béton fissuré C20/25 dans des trous percés par percussion avec une mèche creuse Hilti TE-CD ou TE-YD					
Plage de températures I : 24 °C / 40 °C	$\tau_{Rk,C2} = \tau_{Rk,100,C2}$ [N/mm ²]	2,7	4,6	4,6	3,5
Plage de températures II : 50 °C / 80 °C	$\tau_{Rk,C2} = \tau_{Rk,100,C2}$ [N/mm ²]	2,3	3,9	3,9	2,9
Plage de températures III : 72 °C / 120 °C	$\tau_{Rk,C2} = \tau_{Rk,100,C2}$ [N/mm ²]	2,0	3,3	3,3	2,5
Coefficients d'influence ψ sur la résistance d'adhérence $\tau_{Rk,C2}$ et $\tau_{Rk,100,C2}$ dans le béton fissuré					
Influence de la classe de résistance du béton : $\tau_{Rk} = \tau_{Rk,(C20/25)} \cdot \psi_c$					
Plage de températures I à III :	ψ_c [-]	1,0			

Tableau C24 : Caractéristiques pour les tiges filetées conformément à l'annexe A sous charge de cisaillement pour la catégorie de performances sismiques C2

Tiges filetées conformément à l'annexe A	M12	M16	M20	M24	
Pour un durée de vie de 50 et 100 ans					
Coefficient d'espace annulaire sans set de remplissage Hilti	α_{gap} [-]	0,5			
Coefficient d'espace annulaire avec set de remplissage Hilti	α_{gap} [-]	1,0			
Rupture de l'acier sans bras de levier avec le kit de remplissage Hilti					
Résistance caractéristique					
HAS 8.8, HAS-U 8.8, HIT-V 8.8, AM 8.8	$V_{Rk,s,C2}$ [kN]	28	46	77	103
Rupture de l'acier sans bras de levier avec le kit de remplissage Hilti					
Résistance caractéristique					
HAS 8.8, HAS-U 8.8, HIT-V 8.8, AM 8.8	$V_{Rk,s,C2}$ [kN]	24	40	71	90
HAS A4, HAS-U A4, HIT-V-R	$V_{Rk,s,C2}$ [kN]	21	35	62	79
HAS-U-HCR, HIT-V-HCR	$V_{Rk,s,C2}$ [kN]	24	40	71	79
HAS 8.8 HDG, HAS-U 8.8 HDG, HIT-V-F 8.8, AM-HDG 8.8	$V_{Rk,s,C2}$ [kN]	18	30	46	66
Tige filetée, en acier électrozingué 8.8	$V_{Rk,s,C2}$ [kN]	17	28	50	63
Tige filetée CRC II et CRC III (tableau A1)	$V_{Rk,s,C2}$ [kN]	15	25	43	55
Tige filetée CRC V (tableau A1)	$V_{Rk,s,C2}$ [kN]	17	28	50	55

Système d'injection Hilti HIT-HY 200-A V3 et HIT-HY 200-R V3

Performances

Caractéristiques essentielles sous charges de traction et de cisaillement pour la catégorie de performances sismiques C2

Annexe C23

Tableau C25 : Déplacements sous charge de traction pour la catégorie de performances sismiques C2

Tiges filetées conformément à l'annexe A	M12	M16	M20	M24
Déplacement DLS, HAS (8.8, 8.8 HDG, A4), HAS-U (-8.8, -8.8 HDG, A4, HCR), HIT-V (-8.8, -8.8 F, -,R, HCR), AM (8.8, 8.8 HDG), Tige filetée $\delta_{N,C2(DLS)}$ [mm] (électrozinguée 8.8, CRC II, CRC III et CRC V, voir tableau A1)	0,3	0,4	0,5	0,4
Déplacement ULS, HAS (8.8, 8.8 HDG, A4), HAS-U (-8.8, -8.8 HDG, A4, HCR), HIT-V (-8.8, -8.8 F, -,R, HCR), AM (8.8, 8.8 HDG), Tige filetée $\delta_{N,C2(ULS)}$ [mm] (électrozinguée 8.8, CRC II, CRC III et CRC V, voir tableau A1)	1,2	1,1	0,7	0,9

Tableau C26 : Déplacements sous charge de cisaillement pour la catégorie de performances sismiques C2

Tiges filetées conformément à l'annexe A	M12	M16	M20	M24
Pose avec kit de remplissage Hilti				
Déplacement DLS, HAS 8.8, HAS-U 8.8, HIT-V 8.8, AM 8.8 $\delta_{V,C2(DLS)}$ [mm]	0,6	1,2	1,4	1,1
Déplacement ULS, HAS 8.8, HAS-U 8.8, HIT-V 8.8, AM 8.8 $\delta_{V,C2(ULS)}$ [mm]	3,1	3,2	3,8	2,6
Pose sans kit de remplissage Hilti				
Déplacement DLS, HAS (8.8, A4), HAS-U (-8.8, A4, HCR), HIT-V (-8.8, -R, HCR), AM 8.8, Tige filetée $\delta_{V,C2(DLS)}$ [mm] (électrozinguée 8.8, CRC II, CRC III et CRC V, voir tableau A1)	1,9	3,2	2,5	3,5
Déplacement DLS, HAS 8.8 HDG, HAS-U 8.8 HDG, HIT-V-F 8.8, AM HDG 8.8 $\delta_{V,C2(DLS)}$ [mm]	2,2	2,3	3,8	3,7
Déplacement ULS, HAS (-8.8, A4), HAS-U (-8.8, A4, HCR), HIT-V (-8.8, -R, HCR), AM 8.8, Tige filetée $\delta_{V,C2(ULS)}$ [mm] (électrozinguée 8.8, CRC II, CRC III et CRC V, voir tableau A1)	4,4	9,2	7,1	10,2
Déplacement ULS, HAS 8.8 HDG, HAS-U 8.8 HDG, HIT-V-F 8.8, AM HDG 8.8 $\delta_{V,C2(ULS)}$ [mm]	4,1	4,3	9,1	8,4

Système d'injection Hilti HIT-HY 200-A V3 et HIT-HY 200-R V3

Performances

Déplacements sous charges de traction et de cisaillement pour la catégorie de performances sismiques C2

Annexe C24

Résistance caractéristique à la rupture combinée et à l'arrachement du béton en cas d'exposition au feu pour les classes de résistance du béton C20/25 à C50/60 pour les tiges filetées, toutes les techniques de perçage

La résistance à la rupture caractéristique $\tau_{Rk,fi}(\theta)$ en cas d'exposition au feu doit être calculée à l'aide des équations suivantes :

$$\tau_{Rk,fi}(\theta) = k_{fi,p}(\theta) \cdot \tau_{Rk,cr,C20/25}$$

$$\tau_{Rk,fi}(\theta) = k_{fi,p}(\theta) \cdot \tau_{Rk,cr,100,C20/25}$$

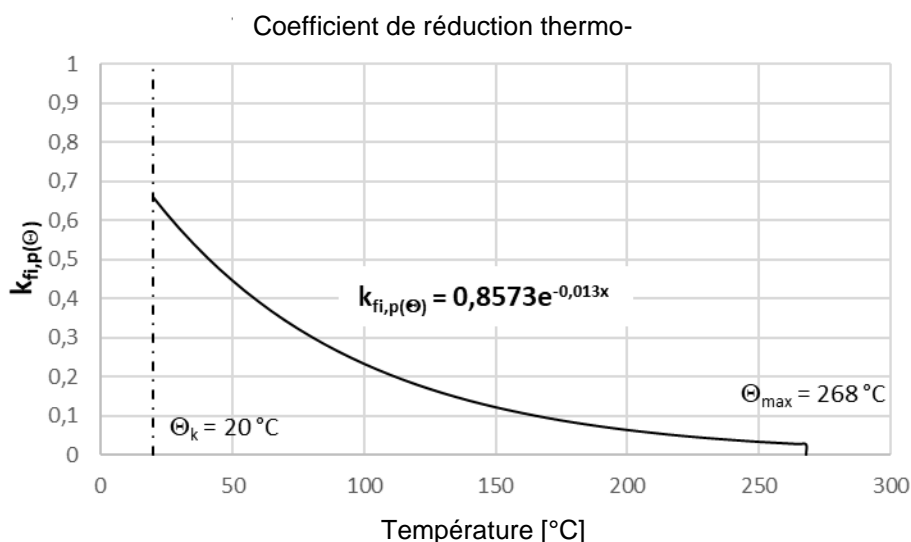
Avec : $\theta \leq 268 \text{ °C}$: $k_{fi,p}(\theta) = 0,8573 \cdot e^{(-0,013 \cdot \theta)} \leq 1,0$

et $\theta > \theta_{max}$: $k_{fi,p}(\theta) = 0,0$

$$\theta_{max} = 268 \text{ °C}$$

- $\tau_{Rk,fi}(\theta)$ = résistance à la rupture caractéristique pour le béton fissuré en cas d'exposition au feu pour une température donnée
- $k_{fi,p}(\theta)$ = Coefficient de réduction pour la résistance à la rupture en cas d'exposition au feu
- $\tau_{Rk,cr,C20/25}$ = résistance à la rupture caractéristique pour le béton fissuré C20/25 pour une durée de vie de 50 ans comme indiqué dans le tableau C1
- $\tau_{Rk,cr,100,C20/25}$ = résistance à la rupture caractéristique pour le béton fissuré C20/25 pour une durée de vie de 100 ans comme indiqué dans le tableau C1

Figure C1 Coefficient de réduction $k_{fi,p}(\theta)$



Système d'injection Hilti HIT-HY 200-A V3 et HIT-HY 200-R V3

Performances
 Résistance à la rupture caractéristique en cas d'exposition au feu

Annexe C25

Tableau C27 : Résistance caractéristique à la rupture de l'acier sous charge de traction pour les tiges filetées en cas d'exposition au feu

Tiges filetées conformément à l'annexe A		M8	M10	M12	M16	M20	M24	M27	M30
HAS 5.8, HAS-U 5.8, HIT-V 5.8, AM 8.8	$N_{Rk,s,fi(30)}$	1,04	1,80	2,80	5,22	8,15	11,74	15,27	18,67
HAS 5.8 HDG, HAS-U 5.8 HDG, HIT-V-F 5.8, AM-HDG 5.8	$N_{Rk,s,fi(60)}$	0,81	1,36	2,05	3,83	5,98	8,62	11,21	13,70
HAS 8.8, HAS-U 8.8, HIT-V 8.8, AM 8.8	$N_{Rk,s,fi(90)}$	0,58	0,91	1,31	2,44	3,81	5,49	7,14	8,73
HAS 8.8 HDG, HAS-U 8.8 HDG, HIT-V-F 8.8, AM-HDG 8.8	$N_{Rk,s,fi(120)}$	0,47	0,69	0,93	1,74	2,72	3,92	5,10	6,24
HAS A4, HAS-U A4, HIT-V-R HAS-U-HCR, HIT-V-HCR Tige filetée CRC III et Tige filetée CRC V (tableau A1)	$N_{Rk,s,fi(30)}$	2,70	4,93	7,93	14,77	23,06	33,23	43,20	52,81
	$N_{Rk,s,fi(60)}$	1,93	3,49	5,56	10,37	16,18	23,31	30,31	37,05
	$N_{Rk,s,fi(90)}$	1,17	2,04	3,20	5,96	9,30	13,40	17,42	21,29
	$N_{Rk,s,fi(120)}$	0,79	1,32	2,01	3,75	5,86	8,44	10,98	13,42

Tableau C28 : Résistance caractéristique sous charge de traction pour la rupture par cône de béton en cas d'exposition au feu

Tiges filetées conformément à l'annexe A		M8	M10	M12	M16	M20	M24	M27	M30
HAS 5.8, HAS-U 5.8, HIT-V 5.8, AM 8.8	$N^0_{Rk,c,fi(30)}$	$h_{ef}/200 \cdot N^0_{Rk,c} \leq N^0_{Rk,c}$							
HAS 5.8 HDG, HAS-U 5.8 HDG, HIT-V-F 5.8, AM-HDG 5.8									
HAS 8.8, HAS-U 8.8, HIT-V 8.8, AM 8.8									
HAS 8.8 HDG, HAS-U 8.8 HDG, HIT-V-F 8.8, AM-HDG 8.8									
HAS A4, HAS-U A4, HIT-V-R HAS-U-HCR, HIT-V-HCR Tige filetée CRC III et Tige filetée CRC V (tableau A1)	$N^0_{Rk,c,fi(120)}$	$0,8 \cdot h_{ef}/200 \cdot N^0_{Rk,c} \leq N^0_{Rk,c}$							
Entraxe caractéristique	$S_{cr,N,fi}$	$4 \cdot h_{ef}$							
Distance au bord caractéristique	$C_{cr,N,fi}$	$2 \cdot h_{ef}$							

Système d'injection Hilti HIT-HY 200-A V3 et HIT-HY 200-R V3

Performances

Résistance en cas d'exposition au feu à la rupture de l'acier et à la rupture par cône de béton sous charge de traction

Annexe C26

Tableau C29 : Résistance caractéristique à la rupture de l'acier sous charge de cisaillement sans bras de levier pour les tiges filetées en cas d'exposition au feu

Tiges filetées conformément à l'annexe A		M8	M10	M12	M16	M20	M24	M27	M30
HAS 5.8, HAS-U 5.8, HIT-V 5.8, AM 8.8	$V_{Rk,s,fi(30)}$	1,04	1,80	2,80	5,22	8,15	11,74	15,27	18,67
HAS 5.8 HDG, HAS-U 5.8 HDG, HIT-V-F 5.8, AM-HDG 5.8	$V_{Rk,s,fi(60)}$	0,81	1,36	2,05	3,83	5,98	8,62	11,21	13,70
HAS 8.8, HAS-U 8.8, HIT-V 8.8, AM 8.8	$V_{Rk,s,fi(30)}$	0,58	0,91	1,31	2,44	3,81	5,49	7,14	8,73
HAS 8.8 HDG, HAS-U 8.8 HDG, HIT-V-F 8.8, AM-HDG 8.8	$V_{Rk,s,fi(120)}$	0,47	0,69	0,93	1,74	2,72	3,92	5,10	6,24
HAS A4, HAS-U A4, HIT-V-R HAS-U-HCR, HIT-V-HCR Tige filetée CRC III et Tige filetée CRC V (tableau A1)	$V_{Rk,s,fi(30)}$	2,70	4,93	7,93	14,77	23,06	33,23	43,20	52,81
	$V_{Rk,s,fi(30)}$	1,93	3,49	5,56	10,37	16,18	23,31	30,31	37,05
	$V_{Rk,s,fi(30)}$	1,17	2,04	3,20	5,96	9,30	13,40	17,42	21,29
	$V_{Rk,s,fi(120)}$	0,79	1,32	2,01	3,75	5,86	8,44	10,98	13,42

Tableau C30 : Résistance caractéristique à la rupture de l'acier sous charge de cisaillement avec bras de levier pour les tiges filetées en cas d'exposition au feu

Tiges filetées conformément à l'annexe A		M8	M10	M12	M16	M20	M24	M27	M30
HAS 5.8, HAS-U 5.8, HIT-V 5.8, AM 8.8	$M^0_{Rk,s,fi(30)}$	1,07	2,33	4,36	11,08	21,60	37,36	55,40	74,85
HAS 5.8 HDG, HAS-U 5.8 HDG, HIT-V-F 5.8, AM-HDG 5.8	$M^0_{Rk,s,fi(60)}$	0,83	1,75	3,19	8,13	15,85	27,41	40,65	54,92
HAS 8.8, HAS-U 8.8, HIT-V 8.8, AM 8.8	$M^0_{Rk,s,fi(30)}$	0,60	1,18	2,03	5,18	10,10	17,46	25,90	34,99
HAS 8.8 HDG, HAS-U 8.8 HDG, HIT-V-F 8.8, AM-HDG 8.8	$M^0_{Rk,s,fi(120)}$	0,48	0,89	1,45	3,70	7,22	12,49	18,52	25,03
HAS A4, HAS-U A4, HIT-V-R HAS-U-HCR, HIT-V-HCR Tige filetée CRC III et Tige filetée CRC V (tableau A1)	$M^0_{Rk,s,fi(30)}$	2,76	6,35	12,33	31,34	61,10	105,6	156,6	211,7
	$M^0_{Rk,s,fi(30)}$	1,98	4,49	8,65	21,99	42,87	74,14	109,9	148,5
	$M^0_{Rk,s,fi(30)}$	1,20	2,64	4,97	12,64	24,64	42,61	63,19	85,38
	$M^0_{Rk,s,fi(120)}$	0,80	1,71	3,13	7,96	15,52	26,85	39,81	53,80

Système d'injection Hilti HIT-HY 200-A V3 et HIT-HY 200-R V3

Performances

Résistance en cas d'exposition au feu à la rupture de l'acier sous charge de cisaillement

Annexe C27

DIBt
Deutsches Institut für Bautechnik
Organ zatwierdzający wyroby
budowlane oraz typy konstrukcji
Bautechnisches Prüfamt
Instytucja założona przez rządy federalne
oraz rządy krajów związkowych

Jednostka autoryzowana
na podstawie art. 29
Rozporządzenia (UE)
nr 305/2011 oraz członek
Europejskiej Organizacji
ds Oceny Technicznej (EOTA)

Europejska Ocena Techniczna

ETA-19/0601
z 2 czerwca 2023 r.

Tłumaczenie na język angielski opracowane przez Niemiecki Instytut Techniki Budowlanej (DIBt) - wersja oryginalna w języku niemieckim

Tłumaczenie z języka angielskiego na język polski wykonano na zlecenie Hilti

Część ogólna

Jednostka Oceny Technicznej wydająca Europejską Ocenę Techniczną:	Deutsches Institut für Bautechnik
Nazwa handlowa wyrobu budowlanego	System iniekcyjny Hilti HIT-HY 200-A V3 oraz HIT-HY 200-R V3
Rodzina wyrobów, do których należy wyrób budowlany	Łączniki wklejane do stosowania w betonie
Producent	Hilti Aktiengesellschaft Feldkircherstrasse 100 9494 SCHAAN FÜRSTENTUM LIECHTENSTEIN
Zakład produkcyjny	Zakłady produkcyjne Hilti
Niniejsza Europejska Ocena Techniczna zawiera	53 strony, w tym 3 załączniki stanowiące integralną część oceny technicznej
Niniejsza Europejska Ocena Techniczna została wydana zgodnie z Rozporządzeniem (UE) nr 305/2011 na podstawie	EAD 330499-02-0601, Wydanie 04/2023
Niniejsza wersja zastępuje	ETA-19/0601 wydaną dnia 2 grudnia 2021 r.

Europejska Ocena Techniczna

ETA-19/0601

Tłumaczenie na język angielski opracowane przez DIBt

Tłumaczenie z języka angielskiego na język polski wykonano na zlecenie Hilti

Strona 2 z 53 | 2 czerwca 2023 r.

Niniejsza Europejska Ocena Techniczna została wydana przez Jednostkę Oceny Technicznej w języku urzędowym tej jednostki. Tłumaczenia niniejszej Europejskiej Oceny Technicznej na inne języki powinny w pełni odpowiadać oryginalnie wydanemu dokumentowi i powinny być oznaczone jako tłumaczenia.

Niniejsza Europejska Ocena Techniczna, włączając w to jej formy elektroniczne, może być rozpowszechniana wyłącznie w całości. Jakkolwiek publikowanie części dokumentu jest możliwe wyłącznie za pisemną zgodą Jednostki Oceny Technicznej. W tym przypadku na kopii powinna być podana informacja, że jest to fragment dokumentu.

Niniejsza Europejska Ocena Techniczna może zostać wycofana przez wydającą ją Jednostkę Oceny Technicznej, w szczególności na podstawie informacji Komisji zgodnie z Artykułem 25(3) Rozporządzenia (UE) nr 305/2011.

Europejska Ocena Techniczna

ETA-19/0601

Tłumaczenie na język angielski opracowane przez DIBt

Tłumaczenie z języka angielskiego na język polski wykonano na zlecenie Hilti

Strona 3 z 53 | 2 czerwca 2023 r.

Część szczegółowa

1 Opis techniczny wyrobu

System iniekcyjny Hilti HIT-HY 200-A V3 i HIT-HY 200-R V3 stanowi łącznik wklejany, obejmujący ładunek foliowy z żywicą iniekcyjną HIT-HY 200-A V3 lub HIT-HY 200-R V3 oraz element stalowy zgodnie z Załącznikiem A.

Element stalowy jest umieszczany w nawiercanym otworze wypełnionym żywicą iniekcyjną oraz kotwiony przez wiązanie chemiczne pomiędzy elementem metalowym, żywicą iniekcyjną i betonem.

Opis wyrobu podano w Załączniku A.

2 Określenie zamierzonego zastosowania, zgodnie z odpowiednim Europejskim Dokumentem Oceny (EAD)

Właściwości użytkowe podane w Rozdziale 3 obowiązują wyłącznie wtedy, gdy łącznik jest stosowany zgodnie ze specyfikacjami i warunkami podanymi w Załączniku B.

Weryfikacja i metody oceny, na których oparta jest niniejsza Europejska Ocena Techniczna, zakładają okres użytkowania kotwy wynoszący co najmniej 50 i / lub 100 lat. Wskazania dotyczące okresu użytkowania wyrobu nie mogą być interpretowane jako gwarancja udzielana przez producenta, ale jako informacja, która może być wykorzystana przy wyborze odpowiedniego wyrobu, w związku z przewidywanym, ekonomicznie uzasadnionym okresem użytkowania danej konstrukcji.

3 Właściwości użytkowe wyrobu oraz metody zastosowane do ich oceny

3.1 Nośność i stateczność (podstawowe wymagania 1)

Zasadnicze charakterystyki	Właściwości użytkowe
Nośność charakterystyczna pod wpływem obciążenia rozciągającego (obciążenie statyczne i quasi-statyczne)	Patrz Załącznik C1 do C3, C5 do C6 C8 do C10, C12 do C14, B3 do B7
Nośność charakterystyczna ze względu na obciążenie ścinające (obciążenie statyczne i quasi-statyczne)	Patrz Załącznik C4, C7, C11, C15
Przemieszczenia przy obciążeniu krótkotrwałym i długotrwałym	Patrz Załącznik C16 do C19
Nośność charakterystyczna i przemieszczenia dla kategorii wytrzymałości sejsmicznej C1 i C2	Patrz Załącznik C20 do C24

3.2 Bezpieczeństwo pożarowe (podstawowe wymagania 2)

Zasadnicze charakterystyki	Właściwości użytkowe
Reakcja na działanie ognia	Klasa A1
Odporność ogniowa	Patrz Załącznik C25 do C27

3.3 Higiena, zdrowie i środowisko (podstawowe wymagania 3)

Zasadnicze charakterystyki	Właściwości użytkowe
Zawartość, emisja i/lub uwalnianie niebezpiecznych substancji	Nie oceniano właściwości użytkowych w tym zakresie

Europejska Ocena Techniczna

ETA-19/0601

Tłumaczenie na język angielski opracowane przez DIBt

Tłumaczenie z języka angielskiego na język polski wykonano na zlecenie Hilti

Strona 4 z 53 | 2 czerwca 2023 r.

4 System oceny i weryfikacji stałości właściwości użytkowych (AVCP) wraz z odniesieniem do jego podstawy prawnej

Zgodnie z Europejskim Dokumentem Oceny EAD 330499-02-0601, właściwy europejski akt prawny to: [96/582/WE].

Zastosowanie ma system: 1

5 Szczegóły techniczne niezbędne do wdrożenia systemu AVCP, zgodnie z właściwym Europejskim Dokumentem Oceny (EAD)

Szczegóły techniczne niezbędne do wdrożenia systemu AVCP zostały określone w planie kontroli złożonym w Deutsches Institut für Bautechnik.

Normy i dokumenty wymienione w niniejszej Europejskiej Ocenie Technicznej:

- EN 1992-1-1:2004 + AC:2010 Eurokod 2: Projektowanie konstrukcji z betonu - Część 1-1: Reguły ogólne i reguły dla budynków
- EN 1992-4:2018 Eurokod 2: Projektowanie konstrukcji z betonu - Część 4: Projektowanie zamocowań do stosowania w betonie
- EN 1993-1-4:2006 + A1:2015 Eurokod 3: Projektowanie konstrukcji stalowych - Część 1-4: Reguły ogólne - Reguły uzupełniające dla konstrukcji ze stali nierdzewnych
- EN 10088-1:2014 Stale odporne na korozję - Część 1: Wykaz stali odpornych na korozję
- EN 206:2013 + A1:2016 Beton - Wymagania, właściwości, produkcja i zgodność
- EN 10204:2004 Wyroby metalowe - Rodzaje dokumentów kontroli
- DIN 488-1:2009-08 Stal do zbrojenia - Część 1: Gatunki, właściwości, oznaczenia
- EOTA TR 055 Projektowanie zamocowań na podstawie dokumentów oceny technicznej EAD 330232-00-0601, EAD 330499-00-0601 i EAD 330747-00-0601, wyd. luty 2018 r.
- EOTA TR 082 Projektowanie łączników klejanych w betonie w warunkach pożaru, wyd. sierpień 2022 r.

Dokument wydany w Berlinie 2 czerwca 2023 r. przez Deutsches Institut für Bautechnik

Dipl.-Ing. Beatrix Wittstock
Kierownik Działu

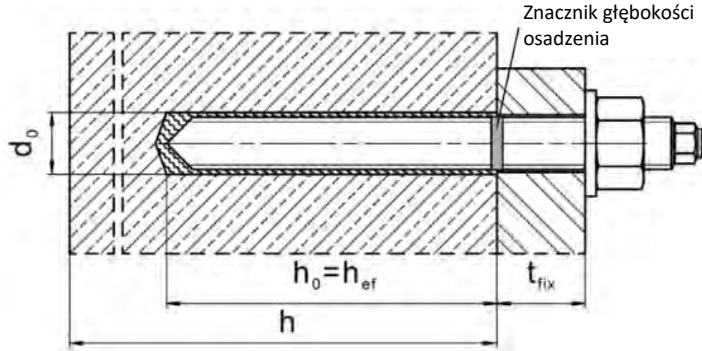
uwierzytelnione przez:
Stiller

Tłumaczenie na język angielski opracowane przez DIBt
Tłumaczenie z języka angielskiego na język polski wykonano na zlecenie Hilti

Warunki montażu

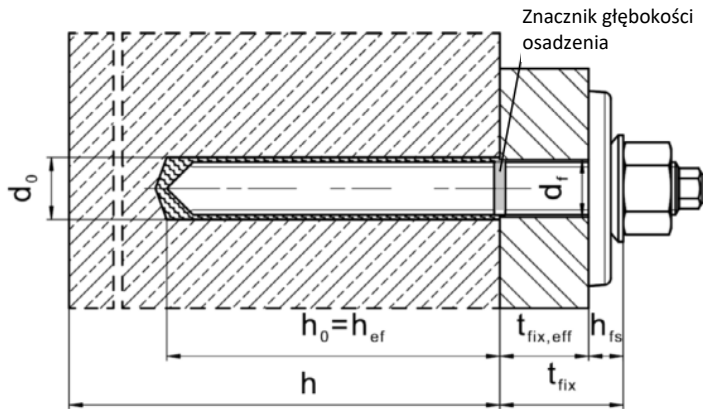
Rysunek A1:

Pręt gwintowany, HAS..., HAS-U..., HIT-V-... oraz AM 8.8



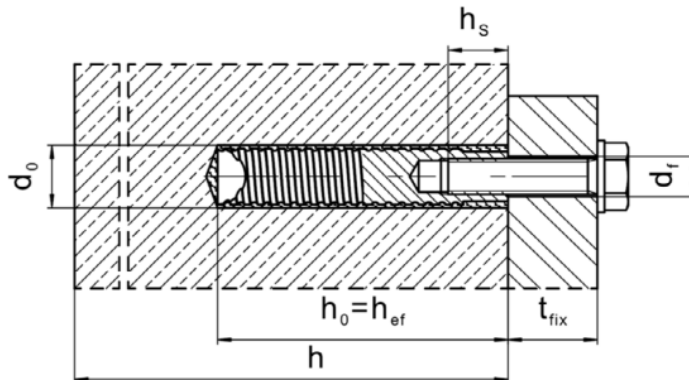
Rysunek A2:

Pręt gwintowany, HAS..., HAS-U..., HIT-V-... oraz AM 8.8 z zestawem wypełniającym Hilti



Rysunek A3:

Tuleja z gwintem wewnętrznym HIS-(R)N



System iniecyjny Hilti HIT-HY 200-A V3 oraz HIT-HY 200-R V3

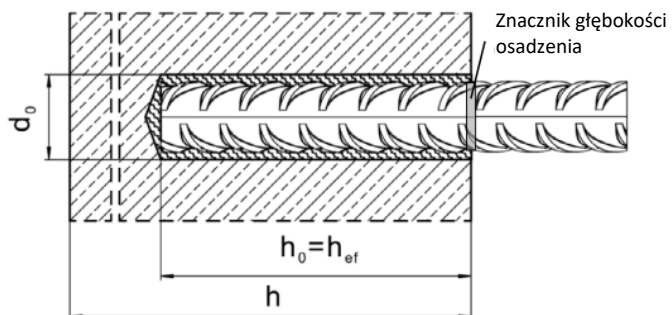
Opis wyrobu
Warunki montażu

Załącznik A1

Tłumaczenie na język angielski opracowane przez DIBt
Tłumaczenie z języka angielskiego na język polski wykonano na zlecenie Hilti

Warunki montażu

Rysunek A4:
Pręt zbrojeniowy



System iniekcyjny Hilti HIT-HY 200-A V3 oraz HIT-HY 200-R V3

Opis wyrobu
Warunki montażu

Załącznik A2

Tłumaczenie na język angielski opracowane przez DIBt
Tłumaczenie z języka angielskiego na język polski wykonano na zlecenie Hilti

Opis wyrobu: Żywica iniekcyjna

Żywica iniekcyjna Hilti HIT-HY 200-A V3 oraz HIT-HY 200-R V3: system hybrydowy z dodatkiem wypełniacza 330 ml oraz 500 ml

Oznaczenie:
HILTI HIT
HY 200-A V3
Czas produkcji i linia produkcyjna
Data przydatności mm/rrrr



Nazwa wyrobu: "Hilti HIT-HY 200-A V3"

Oznaczenie:
HILTI HIT
HY 200-R V3
Czas produkcji i linia produkcyjna
Data przydatności mm/rrrr



Nazwa wyrobu: "Hilti HIT-HY 200-R V3"

Mieszacz statyczny Hilti HIT-RE-M



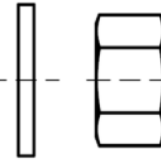
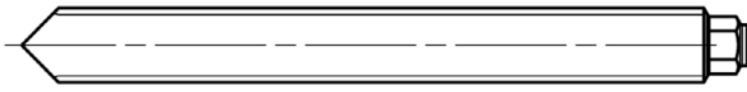
System iniekcyjny Hilti HIT-HY 200-A V3 oraz HIT-HY 200-R V3

Opis wyrobu
Żywica iniekcyjna / Mieszacz statyczny

Załącznik A3

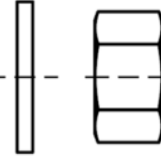
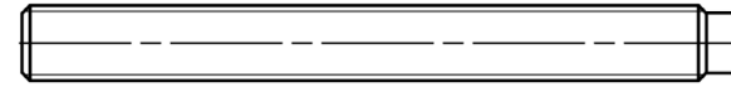
Tłumaczenie na język angielski opracowane przez DIBt
Tłumaczenie z języka angielskiego na język polski wykonano na zlecenie Hilti

Elementy stalowe



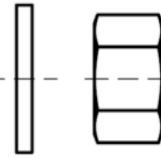
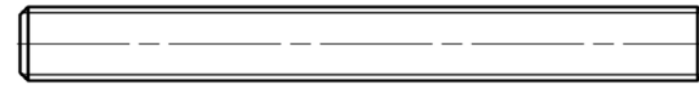
HAS-U-...: od M8 do M30

podkładka nakrętka



HIT-V-...: od M8 do M30

podkładka nakrętka



HAS...: od M8 do M30

Pręt gwintowany: od M8 do M30

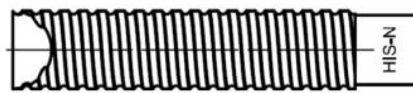
podkładka nakrętka

Pręt gwintowany metryczny Hilti AM 8.8 ocynkowany galwanicznie: od M8 do M30, od 1 m do 3 m

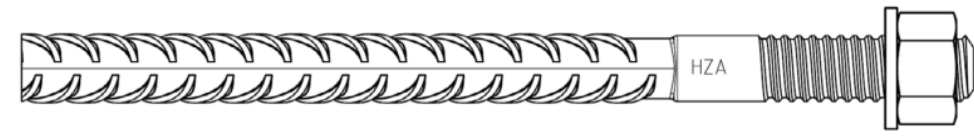
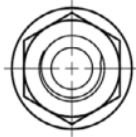
Pręt gwintowany metryczny Hilti AM HDG 8.8 ocynkowany ogniowo: od M8 do M30, od 1 m do 3 m

Standardowy dostępny na rynku pręt gwintowany:

- Materiały i właściwości mechaniczne według Tabeli A1.
- Świadectwo odbioru 3.1 zgodnie z normą EN 10204. Dokument ten należy przechowywać.
- Znacznik głębokości osadzenia.



Tuleja z gwintem wewnętrznym: HIS-(R)N od M8 do M20



Kotwa naprężeniowa Hilti: HZA od M12 do M27 oraz HZA-R od M12 do M24



Pręt zbrojeniowy: od \varnothing 8 do \varnothing 32

- Materiały i właściwości mechaniczne według Tabeli A1
- Wymiary według Załącznika B7

System iniekcyjny Hilti HIT-HY 200-A V3 oraz HIT-HY 200-R V3

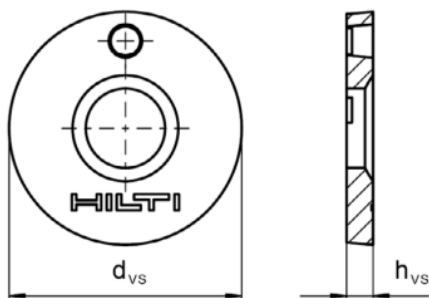
Opis wyrobu
Elementy stalowe

Załącznik A4

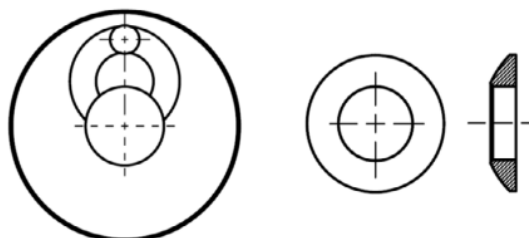
Tłumaczenie na język angielski opracowane przez DIBt
Tłumaczenie z języka angielskiego na język polski wykonano na zlecenie Hilti

Zestaw wypełniający Hilti do wypełniania przestrzeni pierścieniowej pomiędzy elementem stalowym a elementem mocowanym

Podkładka iniekcyjna



Podkładka sferyczna



Zestaw wypełniający Hilti			M10	M12	M16	M20	M24
Średnica podkładki iniekcyjnej	d_{vs}	[mm]	42	44	52	60	70
Grubość podkładki iniekcyjnej	h_{vs}	[mm]	5	5	6	6	6
Grubość zestawu wypełniającego Hilti	h_{fs}	[mm]	9	10	11	13	15

System iniekcyjny Hilti HIT-HY 200-A V3 oraz HIT-HY 200-R V3

Opis wyrobu
Zestaw wypełniający Hilti

Załącznik A5

Tłumaczenie na język angielski opracowane przez DIBt
Tłumaczenie z języka angielskiego na język polski wykonano na zlecenie Hilti

Tabela A1: Materiały

Nazwa elementu	Materiał
Pręty zbrojeniowe	
Pręt zbrojeniowy EN 1992-1-1, Załącznik C	Pręty oraz pręty rozwijane z kręgów klasy B lub C o wartości f_{yk} oraz k według NDP lub NCI normy EN 1992-1-1/NA $f_{uk} = f_{tk} = k \cdot f_{yk}$
Elementy stalowe wykonane ze stali ocynkowanej	
HAS 5.8 (HDG), HAS-U 5.8 (HDG), HIT-V 5.8(F), Pręt gwintowany 5.8	Klasa wytrzymałości 5.8, $f_{uk} = 500 \text{ N/mm}^2$, $f_{yk} = 400 \text{ N/mm}^2$, Wydłużenie przy zerwaniu ($l_0=5d$) > 8% ciągliwości Ocynk galwaniczny $\geq 5 \mu\text{m}$, (F) lub (HDG) ocynk ogniowy $\geq 50 \mu\text{m}$
Pręt gwintowany 6.8	Klasa wytrzymałości 6.8, $f_{uk} = 600 \text{ N/mm}^2$, $f_{yk} = 480 \text{ N/mm}^2$, Wydłużenie przy zerwaniu ($l_0=5d$) > 8% ciągliwości Ocynk galwaniczny $\geq 5 \mu\text{m}$ lub ocynk ogniowy $\geq 50 \mu\text{m}$
HAS 8.8 (HDG), HAS-U 8.8 (HDG), HIT-V 8.8 (F), Pręt gwintowany 8.8	Klasa wytrzymałości 8.8, $f_{uk} = 800 \text{ N/mm}^2$, $f_{yk} = 640 \text{ N/mm}^2$, Wydłużenie przy zerwaniu ($l_0=5d$) > 12% ciągliwości Ocynk galwaniczny $\geq 5 \mu\text{m}$, (F) lub (HDG) ocynk ogniowy $\geq 50 \mu\text{m}$
Pręt gwintowany metryczny Hilti AM 8.8 (HDG)	Klasa wytrzymałości 8.8, $f_{uk} = 800 \text{ N/mm}^2$, $f_{yk} = 640 \text{ N/mm}^2$ Wydłużenie przy zerwaniu ($l_0 = 5d$) > 12% ciągliwości, Ocynk galwaniczny $\geq 5 \mu\text{m}$, (F) ocynk ogniowy $\geq 50 \mu\text{m}$
Kotwa naprężeniowa Hilti HZA	Stalowa, okrągła z częścią gwintowaną: ocynkowana galwanicznie $\geq 5 \mu\text{m}$ Pręt zbrojeniowy: Pręty klasy B według NDP lub NCI normy EN 1992-1-1/NA
Tuleja z gwintem wewnętrznym HIS-N	Ocynk galwaniczny $\geq 5 \mu\text{m}$
Podkładka	Ocynk galwaniczny $\geq 5 \mu\text{m}$, ocynk ogniowy $\geq 50 \mu\text{m}$
Nakrętka	Klasa wytrzymałości nakrętki dostosowana do klasy wytrzymałości pręta gwintowanego Ocynk galwaniczny $\geq 5 \mu\text{m}$, (F) ocynk ogniowy $\geq 50 \mu\text{m}$
Zestaw wypełniający Hilti (F)	Podkładka wypełniająca: Ocynk galwaniczny $\geq 5 \mu\text{m}$, (F) ocynk ogniowy $\geq 50 \mu\text{m}$ Podkładka sferyczna: Ocynk galwaniczny $\geq 5 \mu\text{m}$, (F) ocynk ogniowy $\geq 50 \mu\text{m}$ Nakrętka zabezpieczająca: Ocynk galwaniczny $\geq 5 \mu\text{m}$, (F) Powłoka galwaniczna cynkowo-niklowa $\geq 6 \mu\text{m}$

System iniekcyjny Hilti HIT-HY 200-A V3 oraz HIT-HY 200-R V3

Opis wyrobu
Materiały

Załącznik A6

Tłumaczenie na język angielski opracowane przez DIBt
Tłumaczenie z języka angielskiego na język polski wykonano na zlecenie Hilti

Tabela A1: ciąg dalszy

Elementy stalowe wykonane ze stali nierdzewnej klasa odporności na korozję (CRC) II zgodnie z EN 1993-1-4	
Pręt gwintowany	Dla \leq M24: klasa wytrzymałości 70, $f_{uk} = 700 \text{ N/mm}^2$, $f_{yk} = 450 \text{ N/mm}^2$; Dla $>$ M24: klasa wytrzymałości 50, $f_{uk} = 500 \text{ N/mm}^2$, $f_{yk} = 210 \text{ N/mm}^2$; Wydłużenie przy zerwaniu ($l_0=5d$) $>$ 12% ciągliwości Stal nierdzewna 1.4301, 1.4307, 1.4311, 1.4541, 1.4306, 1.4567 wg EN 10088-1
Podkładka	Stal nierdzewna 1.4301, 1.4307, 1.4311, 1.4541, 1.4306, 1.4567 wg EN 10088-1
Nakrętka	Dla \leq M24: klasa wytrzymałości 70, $f_{uk} = 700 \text{ N/mm}^2$, $f_{yk} = 450 \text{ N/mm}^2$; Dla $>$ M24: klasa wytrzymałości 50, $f_{uk} = 500 \text{ N/mm}^2$, $f_{yk} = 210 \text{ N/mm}^2$; Stal nierdzewna 1.4301, 1.4307, 1.4311, 1.4541, 1.4306, 1.4567 wg EN 10088-1
Elementy stalowe wykonane ze stali nierdzewnej klasa odporności na korozję (CRC) III zgodnie z EN 1993-1-4	
HAS A4, HAS-U A4, HIT-V-R	Dla \leq M24: klasa wytrzymałości 70, $f_{uk} = 700 \text{ N/mm}^2$, $f_{yk} = 450 \text{ N/mm}^2$; Dla $>$ M24: klasa wytrzymałości 50, $f_{uk} = 500 \text{ N/mm}^2$, $f_{yk} = 210 \text{ N/mm}^2$; Wydłużenie przy zerwaniu ($l_0=5d$) $>$ 12% ciągliwości
Pręt gwintowany	Dla \leq M24: klasa wytrzymałości 70, $f_{uk} = 700 \text{ N/mm}^2$, $f_{yk} = 450 \text{ N/mm}^2$; Dla $>$ M24: klasa wytrzymałości 50, $f_{uk} = 500 \text{ N/mm}^2$, $f_{yk} = 210 \text{ N/mm}^2$; Wydłużenie przy zerwaniu ($l_0=5d$) $>$ 12% ciągliwości Stal nierdzewna 1.4401, 1.4404, 1.4578, 1.4571, 1.4439, 1.4362 wg EN 10088-1
Kotwa naprężeniowa Hilti HZA-R	Stalowa, okrągła z częścią gwintowaną: Stal nierdzewna 1.4404, 1.4362, 1.4571 wg EN 10088-1 Pręt zbrojeniowy: Pręty klasy B według NDP lub NCI normy EN 1992-1-1/NA
Tuleja z gwintem wewnętrznym HIS- RN	Stal nierdzewna 1.4401, 1.4571 wg EN 10088-1
Podkładka	Stal nierdzewna 1.4401, 1.4404, 1.4578, 1.4571, 1.4439, 1.4362 wg EN 10088-1
Nakrętka	Dla \leq M24: klasa wytrzymałości 70, $f_{uk} = 700 \text{ N/mm}^2$, $f_{yk} = 450 \text{ N/mm}^2$; Dla $>$ M24: klasa wytrzymałości 50, $f_{uk} = 500 \text{ N/mm}^2$, $f_{yk} = 210 \text{ N/mm}^2$; Stal nierdzewna 1.4401, 1.4404, 1.4578, 1.4571, 1.4439, 1.4362 wg EN 10088-1
Zestaw wypełniający Hilti A4	Podkładka wypełniająca: Stal nierdzewna według normy EN 10088-1 Podkładka sferyczna: Stal nierdzewna według normy EN 10088-1 Nakrętka zabezpieczająca: Stal nierdzewna według normy EN 10088-1
Elementy stalowe wykonane ze stali o wysokiej odporności na korozję klasa odporności na korozję (CRC) V zgodnie z EN 1993-1-4	
HAS-U HCR, HIT-V-HCR	Dla \leq M20: $f_{uk} = 800 \text{ N/mm}^2$, $f_{yk} = 640 \text{ N/mm}^2$, Dla $>$ M20: $f_{uk} = 700 \text{ N/mm}^2$, $f_{yk} = 400 \text{ N/mm}^2$, Wydłużenie przy zerwaniu ($l_0=5d$) $>$ 12% ciągliwości
Pręt gwintowany	Dla \leq M20: $f_{uk} = 800 \text{ N/mm}^2$, $f_{yk} = 640 \text{ N/mm}^2$, Dla $>$ M20: $f_{uk} = 700 \text{ N/mm}^2$, $f_{yk} = 400 \text{ N/mm}^2$, Wydłużenie przy zerwaniu ($l_0=5d$) $>$ 12% ciągliwości Stal o wysokiej odporności na korozję 1.4529, 1.4565 wg EN 10088-1
Podkładka	Stal o wysokiej odporności na korozję 1.4529, 1.4565 wg EN 10088-1
Nakrętka	Dla \leq M20: $f_{uk} = 800 \text{ N/mm}^2$, $f_{yk} = 640 \text{ N/mm}^2$, Dla $>$ M20: $f_{uk} = 700 \text{ N/mm}^2$, $f_{yk} = 400 \text{ N/mm}^2$, Stal o wysokiej odporności na korozję 1.4529, 1.4565 wg EN 10088-1
System iniekcyjny Hilti HIT-HY 200-A V3 oraz HIT-HY 200-R V3	
Opis wyrobu Materiały	Załącznik A7

Tłumaczenie na język angielski opracowane przez DIBt
Tłumaczenie z języka angielskiego na język polski wykonano na zlecenie Hilti

Szczegóły techniczne zamierzonego stosowania

Zakotwienia mogą być poddawane:

- Obciążeniom statycznym i quasi-statycznym.
- Oddziaływaniom sejsmicznym kategorii C1 lub C2 (patrz Tabela B1).
- Narażeniu na działanie ognia: pręt gwintowany o rozmiarze od M8 do M30

Materiał podłoża:

- Zbrojony lub niezbrojony beton zwykły zagęszczany bez włókien zgodnie z normą EN 206.
- Klasy wytrzymałości od C20/25 do C50/60 zgodnie z normą EN 206.
- Beton zarysowany i niezarysowany.

Temperatura materiału podłoża:

- **podczas montażu**
od -10°C do +40°C dla typowych wahań temperatury po montażu
- **w trakcie eksploatacji**
Zakres temperatur I: od -40°C do +40°C
(maks. temperatura przy oddziaływaniu długotrwałym +24 °C oraz maks. temperatura przy oddziaływaniu krótkotrwałym +40 °C)
Zakres temperatur II: od -40°C do +80°C
(maks. temperatura przy oddziaływaniu długotrwałym +50 °C oraz maks. temperatura przy oddziaływaniu krótkotrwałym +80 °C)
Zakres temperatur III: od -40°C do +120°C
(maks. temperatura przy oddziaływaniu długotrwałym +72°C oraz maks. temperatura przy oddziaływaniu krótkotrwałym +120°C)









System iniekcyjny Hilti HIT-HY 200-A V3 oraz HIT-HY 200-R V3

Zamierzone stosowanie
Specyfikacje

Załącznik B1

Tłumaczenie na język angielski opracowane przez DIBt
Tłumaczenie z języka angielskiego na język polski wykonano na zlecenie Hilti

Tabela B1: Szczegóły techniczne zamierzonego stosowania

Elementy stalowe	HIT-HY 200-A V3 i HIT-HY 200-R V3 z ...			
	Pręty gwintowane zgodnie z Załącznikiem A 	Pręt zbrojeniowy 	HZA(-R) 	HIS-(R)N 
Wiercenie udarowe wiertłem rurowym TE-CD lub TE-YD 	✓	✓	✓	✓
Wiercenie udarowe 	✓	✓	✓	✓
Wiercenie diamentowe z użyciem narzędzia do szorstkowania Hilti TE-YRT  	✓	✓	✓	✓
Montaż w otworze wypełnionym wodą	✓	✓	✓	_1)
Obciążenia statyczne i quasi-statyczne w betonie niezarysowanym	od M8 do M30	od ϕ 8 do ϕ 32	od M12 do M27	od M8 do M20
Obciążenia statyczne i quasi-statyczne w betonie zarysowanym	od M8 do M30	od ϕ 10 do ϕ 32	od M12 do M27	od M8 do M20
Oddziaływania sejsmiczne kategorii C1	od M10 do M30	od ϕ 10 do ϕ 32	od M12 do M27	_1)
Oddziaływania sejsmiczne kategorii C2	od M12 do M24, HAS (8.8, -8.8 HDG, A4) HAS-U (8.8, 8.8 HDG, A4, HCR) HIT-V- (8.8, 8.8 F, R, HCR), AM (8.8, 8.8 HDG) Pręt gwintowany (ocynk galwaniczny 8.8 i CRC III, V, Tabela A1)	_1)	_1)	_1)
Okres użytkowania 50 lub 100 lat	50 i 100	50 i 100	50 i 100	50
Narażenie na działanie ognia	Elementy wykonane ze stali ocynkowanej i stali nierdzewnej CRC III i CRC V patrz Tabela A1	_1)	_1)	_1)

¹⁾ Nie oceniano właściwości użytkowych w tym zakresie

System iniekcyjny Hilti HIT-HY 200-A V3 oraz HIT-HY 200-R V3

Zamierzone stosowanie
Specyfikacje

Załącznik B2

Tłumaczenie na język angielski opracowane przez DIBt
Tłumaczenie z języka angielskiego na język polski wykonano na zlecenie Hilti

Warunki użycia (warunki środowiskowe):

- Konstrukcje pracujące w suchych warunkach wewnętrznych (wszystkie materiały).
- W przypadku wszystkich innych warunków zgodnie z normą EN 1993-1-4 odpowiadających klasom odporności na korozję według Tabeli A1 (stale nierdzewne).

Projektowanie:

- Zamocowania powinny być zaprojektowane pod nadzorem inżyniera doświadczonego w dziedzinie zamocowań i robót betonowych.
- Należy sporządzić możliwe do weryfikacji obliczenia oraz dokumentację rysunkową z uwzględnieniem obciążeń, jakie mają być przeniesione przez łączniki. Położenie łącznika musi być określone na rysunkach projektowych (np. poprzez podanie położenia łącznika względem zbrojenia lub względem podpór, itd.).
- Zakotwienia powinny być projektowane zgodnie z: EN 1992-4 i Raportem technicznym EOTA TR 055.
- Projektowanie należy wykonać dla warunków narażenia na działanie ognia zgodnie z: Raportem technicznym EOTA TR 082.

Montaż:

- Warunki dla betonu I1: Montaż w betonie suchym lub mokrym (nasyconym wodą) i zastosowanie w trakcie eksploatacji w betonie suchym lub mokrym – wszystkie techniki wiercenia otworów
- Warunki dla betonu I2: Montaż w otworach wypełnionych wodą (nie wodą morską) i zastosowanie w trakcie eksploatacji w betonie suchym lub mokrym – wiercenie udarowe, wiercenie udarowe wiertłem rurowym Hilti TE-CD, TE-YD
- Technika wiercenia otworów:
 - Wiercenie udarowe,
 - Wiercenie udarowe wiertłem rurowym Hilti TE-CD, TE-YD,
 - Wiercenie diamentowe (rdzeniowe) z szorstkowaniem przy użyciu narzędzia do szorstkowania Hilti TE-YRT.
- Kierunek montażu D3: montaż pionowo do dołu, poziomo i pionowo w górę (np. w pozycji nad głową) dopuszczalny dla wszystkich elementów.
- Montaż łączników powinien być wykonywany przez wykwalifikowany personel, pod nadzorem osoby odpowiedzialnej za kwestie techniczne na terenie budowy.

System iniekcyjny Hilti HIT-HY 200-A V3 oraz HIT-HY 200-R V3

Zamierzone stosowanie
Specyfikacje

Załącznik B3

Tłumaczenie na język angielski opracowane przez DIBt
Tłumaczenie z języka angielskiego na język polski wykonano na zlecenie Hilti

Tabela B2: Parametry montażu prętów gwintowanych zgodnie z Załącznikiem A

Pręty gwintowane zgodnie z Załącznikiem A	M8	M10	M12	M16	M20	M24	M27	M30	
Średnica elementu d [mm]	8	10	12	16	20	24	27	30	
Średnica nominalna wiertła d ₀ [mm]	10	12	14	18	22	28	30	35	
Efektywna głębokość osadzenia oraz głębokość wierconego otworu h _{ef} = h ₀ [mm]	od 60 do 160	od 60 do 200	od 70 do 240	od 80 do 320	od 90 do 400	od 96 do 480	od 108 do 540	od 120 do 600	
Maksymalna średnica otworu przelotowego w elemencie mocowanym d _f [mm]	9	12	14	18	22	26	30	33	
Grubość zestawu wypełniającego Hilti h _{fs} [mm]	-	9	10	11	13	15	-	-	
Efektywna grubość elementu mocowanego z zestawem wypełniającym Hilti t _{fix,eff} [mm]	t _{fix,eff} = t _{fix} - h _{fs}								
Minimalna grubość elementu betonowego h _{min} [mm]	h _{ef} + 30 ≥ 100 mm			h _{ef} + 2 · d ₀					
Maksymalny montażowy moment dokręcający max T _{inst} [Nm]	10	20	40	80	150	200	270	300	
Minimalny rozstaw s _{min} [mm]	40	50	60	75	90	115	120	140	
Minimalna odległość od krawędzi c _{min} [mm]	40	45	45	50	55	60	75	80	

HAS-U-...



Oznaczenie:

Liczba określająca klasę wytrzymałości stali i litera identyfikująca długość: np. 8L

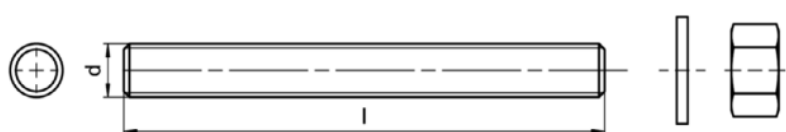
HAS..., HIT-V-...



Oznaczenie HIT-V:

5.8 - l = HIT-V-5.8 M...x l
5.8F - l = HIT-V-5.8F M...x l
8.8 - l = HIT-V-8.8 M...x l
8.8F - l = HIT-V-8.8F M...x l
R - l = HIT-V-R M...x l
HCR - l = HIT-V-HCR M...x l

Pręt gwintowany metryczny Hilti AM (HDG) 8.8



Oznaczenie kodem koloru HAS:

5.8 = RAL 5010 (niebieski)
8.8 = RAL 1023 (żółty)
A4 = RAL 3000 (czerwony)

System iniekcyjny Hilti HIT-HY 200-A V3 oraz HIT-HY 200-R V3

Zamierzone stosowanie

Parametry montażowe pręta gwintowanego, HAS..., HAS-U..., HIT-V-... i AM 8.8

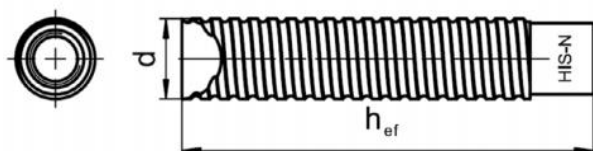
Załącznik B4

Tłumaczenie na język angielski opracowane przez DIBt
Tłumaczenie z języka angielskiego na język polski wykonano na zlecenie Hilti

Tabela B3: Parametry montażowe tulei z gwintem wewnętrznym HIS-(R)N

Tuleja z gwintem wewnętrznym HIS-(R)N...	M8	M10	M12	M16	M20
Średnica zewnętrzna tulei d [mm]	12,5	16,5	20,5	25,4	27,6
Średnica nominalna wiertła d ₀ [mm]	14	18	22	28	32
Efektywna głębokość osadzenia oraz głębokość wierconego otworu h _{ef} = h ₀ [mm]	90	110	125	170	205
Maksymalna średnica otworu przelotowego w elemencie mocowanym d _f [mm]	9	12	14	18	22
Minimalna grubość elementu betonowego h _{min} [mm]	120	150	170	230	270
Maksymalny montażowy moment dokręcający max T _{inst} [Nm]	10	20	40	80	150
Głębokość wejścia gwintu min-max h _s [mm]	8-20	10-25	12-30	16-40	20-50
Minimalny rozstaw s _{min} [mm]	60	75	90	115	130
Minimalna odległość od krawędzi c _{min} [mm]	40	45	55	65	90

Tuleja z gwintem wewnętrznym HIS-(R)N...



Oznaczenie:

Znak identyfikacyjny - HILTI oraz
wytłoczenie „HIS-N” (stal węglowa)
wytłoczenie „HIS-RN” (stal nierdzewna)

System iniekcyjny Hilti HIT-HY 200-A V3 oraz HIT-HY 200-R V3

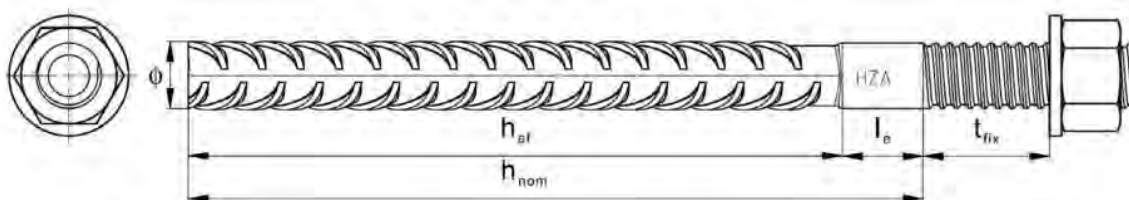
Zamierzone stosowanie

Parametry montażowe tulei z gwintem wewnętrznym HIS-(R)N

Załącznik B5

Tabela B4: Parametry montażowe kotew naprężeniowych Hilti HZA i HZA-R

Kotwa naprężeniowa Hilti HZA		M12	M16	M20	M24	M27
Kotwa naprężeniowa Hilti HZA-R		M12	M16	M20	M24	-
Średnica pręta zbrojeniowego	ϕ [mm]	12	16	20	25	28
Nominalna głębokość osadzenia oraz głębokość wierzonego otworu HZA	$h_{nom} = h_0$ [mm]	od 170 do 240	od 180 do 320	od 190 do 400	od 120 do 500	od 140 do 560
Nominalna głębokość osadzenia oraz głębokość wierzonego otworu HZA-R	$h_{nom} = h_0$ [mm]	od 170 do 240	od 180 do 320	od 190 do 400	od 200 do 500	-
Efektywna głębokość osadzenia ($h_{ef} = h_{nom} - l_e$) HZA	h_{ef} [mm]	$h_{nom} - 20$				
Efektywna głębokość osadzenia ($h_{ef} = h_{nom} - l_e$) HZA-R	h_{ef} [mm]	$h_{nom} - 100$				
Długość gładkiej części kotwy HZA	l_e [mm]	20				
Długość gładkiej części kotwy HZA-R	l_e [mm]	100				
Średnica nominalna wiertła	d_0 [mm]	16	20	25	32	35
Maksymalna średnica otworu przelotowego w elemencie mocowanym	d_f [mm]	14	18	22	26	30
Grubość zestawu wypełniającego Hilti	h_{fs} [mm]	10	11	13	15	-
Efektywna grubość elementu mocowanego z zestawem wypełniającym Hilti	$t_{fix,eff}$ [mm]	$t_{fix,eff} = t_{fix} - h_{fs}$				
Maksymalny montażowy moment dokręcający	$\max T_{inst}$ [Nm]	40	80	150	200	270
Minimalna grubość elementu betonowego	h_{min} [mm]	$h_{nom} + 2 \cdot d_0$				
Minimalny rozstaw	s_{min} [mm]	65	80	100	130	140
Minimalna odległość od krawędzi	c_{min} [mm]	45	50	55	60	75



Oznaczenie:
wytłoczenie "HZA(-R)" M .. / t_{fix}

System iniekcyjny Hilti HIT-HY 200-A V3 oraz HIT-HY 200-R V3

Zamierzone stosowanie
Parametry montażowe kotew naprężeniowych Hilti HZA i HZA-R

Załącznik B6

Tabela B5: Parametry montażowe prętów zbrojeniowych

Pręt zbrojeniowy	ϕ 8	ϕ 10	ϕ 12	ϕ 14	ϕ 16	ϕ 20	ϕ 25	ϕ 26	ϕ 28	ϕ 30	ϕ 32
Średnica ϕ [mm]	8	10	12	14	16	20	25	26	28	30	32
Efektywna głębokość osadzenia oraz głębokość wierconego otworu $h_{ef} = h_0$ [mm]	od 60 do 160	od 60 do 200	od 70 do 240	od 75 do 280	od 80 do 320	od 90 do 400	od 100 do 500	od 104 do 520	od 112 do 560	od 120 do 600	od 128 do 640
Średnica nominalna wiertła d_0 [mm]	10 / 12 ¹⁾	12 / 14 ¹⁾	14 ¹⁾ / 16 ¹⁾	18	20	25	32	32	35	37	40
Minimalna grubość elementu betonowego h_{min} [mm]	$h_{ef} + 30$ ≥ 100 mm			$h_{ef} + 2 \cdot d_0$							
Minimalny rozstaw s_{min} [mm]	40	50	60	70	80	100	125	130	140	150	160
Minimalna odległość od krawędzi c_{min} [mm]	40	45	45	50	50	65	70	75	75	80	80

¹⁾ Dopuszczalne jest zastosowanie każdej z dwóch podanych wartości.

Pręt zbrojeniowy



Dla pręta zbrojeniowego

- Minimalna względna powierzchnia żebra $f_{R,min}$ zgodnie z EN 1992-1-1
- Wysokość żebra h_{rib} powinna zawierać się w zakresie $0,05 \cdot \phi \leq h_{rib} \leq 0,07 \cdot \phi$ (ϕ : średnica nominalna pręta; h_{rib} : wysokość żebra pręta)

System iniekcyjny Hilti HIT-HY 200-A V3 oraz HIT-HY 200-R V3

Zamierzone stosowanie
Parametry montażowe pręta zbrojeniowego

Załącznik B7

Tłumaczenie na język angielski opracowane przez DIBt
Tłumaczenie z języka angielskiego na język polski wykonano na zlecenie Hilti

Tabela B6: Maksymalny czas roboczy oraz minimalny czas utwardzania

Temperatura materiału podłoża T ¹⁾	HIT-HY 200-A V3		HIT-HY 200-R V3	
	Maksymalny czas roboczy t _{work}	Minimalny czas utwardzania t _{cure}	Maksymalny czas roboczy t _{work}	Minimalny czas utwardzania t _{cure}
od -10 °C do -5 °C	1,5 godz.	7 godz.	3 godz.	20 godz.
> -5 °C do 0 °C	50 min	4 godz.	1,5 godz.	8 godz.
> 0 °C do 5 °C	25 min	2 godz.	45 min	4 godz.
> 5 °C do 10 °C	15 min	75 min	30 min	2,5 godz.
> 10 °C do 20 °C	7 min	45 min	15 min	1,5 godz.
> 20 °C do 30 °C	4 min	30 min	9 min	1 godz.
> 30 °C do 40 °C	3 min	30 min	6 min	1 godz.











¹⁾ Minimalna temperatura ładunku foliowego wynosi 0°C.

System iniekcyjny Hilti HIT-HY 200-A V3 oraz HIT-HY 200-R V3

Zamierzone stosowanie
Maksymalny czas roboczy oraz minimalny czas utwardzania

Załącznik B8

Tabela B7: Parametry narzędzi do wiercenia, czyszczenia i osadzania

Elementy stalowe				Wiercenie i czyszczenie otworu				Montaż	
Pręty gwintowane (Załącznik A)	HIS(-R)N	Pręt zbrojeniowy	HZA(-R)	Wiercenie udarowe	Wiertło rurowe ¹⁾	Wiercenie diamentowe (rdzeniowe)	Narzędzie do szorstkowania	Szczotka	Końcówka iniekcyjna
									
Rozmiar	rozmiar	rozmiar	rozmiar	d ₀ [mm]	d ₀ [mm]	d ₀ [mm]	d ₀ [mm]	HIT-RB	HIT-SZ
M8	-	φ8	-	10	-	-	-	10	-
M10	-	φ8 / φ10	-	12	12	-	-	12	12
M12	M8	φ10 / φ12	-	14	14	-	-	14	14
-	-	φ12	M12	16	16	-	-	16	16
M16	M10	φ14	-	18	18	18	18	18	18
-	-	φ16	M16	20	20	20	20	20	20
M20	M12	-	-	22	22	22	22	22	22
-	-	φ20	M20	25	25	25	25	25	25
M24	M16	-	-	28	28	28	28	28	28
M27	-	-	-	30	-	30	30	30	30
-	M20	φ25 / φ26	M24	32	32	32	32	32	32
M30	-	φ28	M27	35	35	35	35	35	35
-	-	φ30	-	37	-	-	-	37	37
-	-	φ32	-	40	-	-	-	40	40

¹⁾ Z odkurzaczem Hilti VC 10/20/40 (z włączoną funkcją automatycznego czyszczenia, tryb eco wyłączony) lub odkurzaczem o równoważnej wydajności czyszczenia w połączeniu z określonym wiertłem rurowym TE-CD lub TE-YD.

Metody czyszczenia otworów

Czyszczenie ręczne (MC):

Pompka ręczna Hilti do przedmuchiwania wierconych otworów o średnicy $d_0 \leq 20$ mm oraz głębokości $h_0 \leq 10$ -d.



Czyszczenie sprężonym powietrzem (CAC):

Dysza do sprężonego powietrza z otworem wylotowym o średnicy co najmniej 3,5 mm.



Czyszczenie automatyczne (AC):

Czyszczenie podczas wiercenia przeprowadza się z użyciem systemu Hilti TE-CD oraz TE-YD przyłączonego do odkurzacza.



System iniekcyjny Hilti HIT-HY 200-A V3 oraz HIT-HY 200-R V3

Zamierzone stosowanie

Parametry narzędzi do wiercenia, czyszczenia i osadzania
Metody czyszczenia otworów

Załącznik B9

Tłumaczenie na język angielski opracowane przez DIBt
Tłumaczenie z języka angielskiego na język polski wykonano na zlecenie Hilti

Tabela B8: Narzędzie do szorstkowania Hilti TE-YRT - parametry narzędzia






Elementy powiązane			
Wiercenie diamentowe (rdzeniowe)		Narzędzie do szorstkowania TE-YRT	Miernik zużycia RTG...
			
do [mm]		do [mm]	rozmiar
nominalna	zmierzona		
18	od 17,9 do 18,2	18	18
20	od 19,9 do 20,2	20	20
22	od 21,9 do 22,2	22	22
25	od 24,9 do 25,2	25	25
28	od 27,9 do 28,2	28	28
30	od 29,9 do 30,2	30	30
32	od 31,9 do 32,2	32	32
35	od 34,9 do 35,2	35	35

Tabela B9: Narzędzie do szorstkowania Hilti TE-YRT - czasy szorstkowania i przedmuchiwania

	Czas szorstkowania t_{troughen}	Minimalny czas przedmuchiwania t_{blowing}
h_{ef} [mm]	$t_{\text{troughen}} [\text{sek.}] = h_{\text{ef}} [\text{mm}] / 10$	$t_{\text{blowing}} [\text{sek.}] = t_{\text{troughen}} [\text{sek.}] + 20$
od 0 do 100	10	30
od 101 do 200	20	40
od 201 do 300	30	50
od 301 do 400	40	60
od 401 do 500	50	70
od 501 do 600	60	80


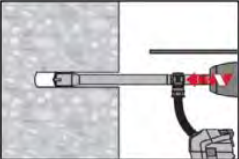
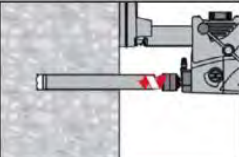
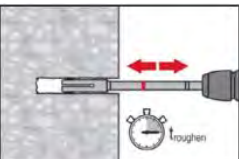
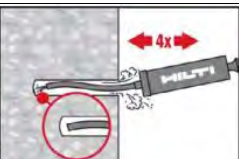
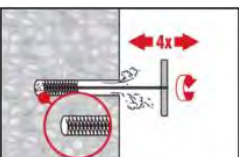
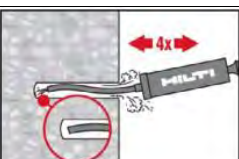
Narzędzie do szorstkowania Hilti TE-YRT oraz miernik zużycia RTG

Narzędzie do szorstkowania Hilti TE-YRT	
Miernik zużycia RTG	

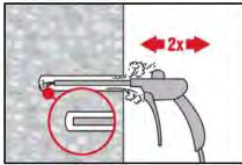
System iniekcyjny Hilti HIT-HY 200-A V3 oraz HIT-HY 200-R V3

Zamierzone stosowanie
Parametry stosowania narzędzia do szorstkowania Hilti TE-YRT

Załącznik B10

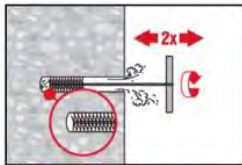
Instrukcja montażu	
Wiercenie otworów	
a) Wiercenie udarowe	
	Wywiercić otwór o wymaganej głębokości osadzenia młotowiertarką w trybie obrotowo-udarowym z użyciem odpowiedniego rozmiaru wiertła z końcówką z węglików spiekanych.
b) Wiercenie udarowe wiertłem rurowym Hilti	
	Wywiercić otwór o wymaganej głębokości osadzenia odpowiednim wiertłem rurowym TE-CD lub TE-YD przyłączonym do odkurzacza zgodnie z wymaganiami podanymi w Tabeli B7. Podczas użycia zgodnie z instrukcją obsługi, system usuwa zwierzcinę oraz oczyszcza otwór podczas wiercenia. Po zakończeniu wiercenia przejść do etapu „przygotowanie iniekcji żywicy” w instrukcji montażu.
c) Wiercenie diamentowe (rdzeniowe) z szorstkowaniem przy użyciu narzędzia do szorstkowania Hilti TE-YRT:	
	Wiercenie techniką diamentową rdzeniową jest dopuszczalne w przypadku użycia odpowiednich wiertnic diamentowych oraz dopasowanych wiertel rdzeniowych. W przypadku stosowania w połączeniu z narzędziem do szorstkowania Hilti TE-YRT - patrz parametry podane w Tabeli B8.
	Przed przystąpieniem do szorstkowania z wierconego otworu należy usunąć wodę. Należy zastosować miernik zużycia RTG w celu sprawdzenia, czy narzędzie do szorstkowania nadaje się do użytku. Uszorstnić powierzchnię wywierconego otworu na całej długości, biorąc pod uwagę wymaganą głębokość h_{ef} . Czas szorstkowania $t_{roughen}$ - patrz Tabela B9.
Czyszczenie wywierconych otworów	Przed iniekcją żywicy wywiercony otwór musi być oczyszczony ze zwiercin i pyłu. Niewłaściwe oczyszczenie otworu = słaba nośność połączenia.
Czyszczenie ręczne (MC)	Tylko beton niezarysowany. Wiercone otwory o średnicy $d_0 \leq 20$ mm oraz głębokości $h_0 \leq 10 \cdot d$
	Pompka ręczna Hilti może być stosowana do przedmuchiwania wierconych otworów o maks. średnicy $d_0 \leq 20$ mm oraz maks. głębokości $h_0 \leq 10 \cdot d$. Przedmuchać co najmniej czterokrotnie od dna otworu do momentu, gdy wylatujący strumień powietrza nie zawiera widocznego pyłu.
	Wyszczotkować czterokrotnie otwór przy użyciu stalowej szczotki Hilti HIT-RB o określonym rozmiarze (patrz Tabela B7) poprzez jej wprowadzenie ruchem okrężnym do dna otworu (stosując przedłużkę, jeśli to konieczne) i wyciągnięcie. Szczotka powinna napotykać opór podczas wkładania do otworu (\varnothing szczotki $\geq \varnothing$ otworu) - szczotkę o zbyt małej średnicy należy wymienić na szczotkę o odpowiedniej średnicy.
	Przedmuchać ponownie pompką ręczną Hilti co najmniej czterokrotnie do momentu, gdy wylatujący strumień powietrza nie zawiera widocznego pyłu.
System iniecyjny Hilti HIT-HY 200-A V3 oraz HIT-HY 200-R V3	
Zamierzone stosowanie Instrukcja montażu	Załącznik B11

Czyszczenie sprężonym powietrzem (CAC) dla wszystkich wierconych otworów o średnicy d_0 oraz wszystkich wierconych otworów o głębokości h_0



Przedmuchać dwukrotnie od dna otworu (użyć przedłużki dyszy, jeśli to konieczne) na całej długości przy użyciu bezolejowego sprężonego powietrza (min. 6 bar przy 6 m³/h) do momentu, gdy wylatujący strumień powietrza nie zawiera widocznego pyłu.

Dla wywierconych otworów o średnicy ≥ 32 mm sprężarka musi zapewnić minimalny przepływ powietrza 140 m³/h.

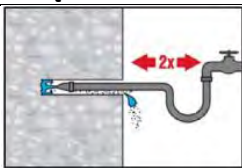


Wyszczotkować dwukrotnie otwór przy użyciu stalowej szczotki Hilti HIT-RB o określonym rozmiarze (patrz Tabela B7) poprzez jej wprowadzenie ruchem okrężnym do dna otworu (stosując przedłużkę, jeśli to konieczne) i wyciągnięcie. Szczotka powinna napotykać opór podczas wkładania do otworu (\varnothing szczotki $\geq \varnothing$ otworu) - szczotkę o zbyt małej średnicy należy wymienić na szczotkę o odpowiedniej średnicy.

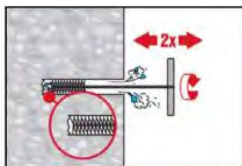


Ponownie przedmuchać dwukrotnie otwór sprężonym powietrzem do momentu, gdy wylatujący strumień powietrza nie zawiera widocznego pyłu.

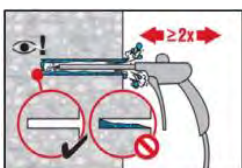
Czyszczenie otworów wywierconych techniką diamentową rdzeniową z szorstkowaniem przy użyciu narzędzia do szorstkowania Hilti TE-YRT.



Przepłukać dwukrotnie wywiercony otwór poprzez wprowadzenie aż do dna otworu węża z wodą (ciśnienie z instalacji wodociągowej) i płukanie do momentu, gdy woda wyływająca z otworu będzie czysta.



Wyszczotkować dwukrotnie otwór przy użyciu stalowej szczotki Hilti HIT-RB o określonym rozmiarze (patrz Tabela B7) poprzez jej wprowadzenie ruchem okrężnym do dna otworu (stosując przedłużkę, jeśli to konieczne) i wyciągnięcie. Szczotka powinna napotykać opór podczas wkładania do otworu (\varnothing szczotki $\geq \varnothing$ otworu) - szczotkę o zbyt małej średnicy należy wymienić na szczotkę o odpowiedniej średnicy.



Przedmuchać dwukrotnie od dna otworu (jeśli to konieczne, użyć przedłużki dyszy) na całej długości przy użyciu niezaolejonego sprężonego powietrza (ciśnienie min. 6 bar przy wydajności 6 m³/h) aż do momentu, gdy wylatujący strumień powietrza nie zawiera widocznego pyłu i wody. Przed zastosowaniem żywicy iniekcyjnej należy usunąć wodę z wywierconego otworu, aż będzie całkowicie suchy (t_{blowing} - patrz Tabela B9). Dla wywierconych otworów o średnicy ≥ 32 mm sprężarka musi zapewnić minimalny przepływ powietrza 140 m³/h.

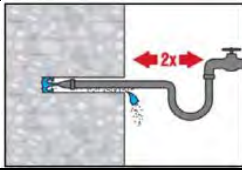
System iniekcyjny Hilti HIT-HY 200-A V3 oraz HIT-HY 200-R V3

Zamierzone stosowanie
Instrukcja montażu

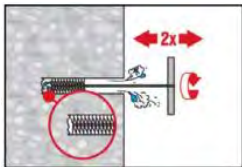
Załącznik B12

Tłumaczenie na język angielski opracowane przez DIBt
Tłumaczenie z języka angielskiego na język polski wykonano na zlecenie Hilti

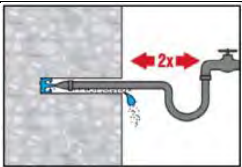
Czyszczenie i usuwanie wody z otworów wypełnionych wodą wierconych za pomocą wiercenia udarowego i wiercenia udarowego wiertłem rurowym Hilti: Wszystkie otwory o średnicy d_0 oraz głębokości h_0 .



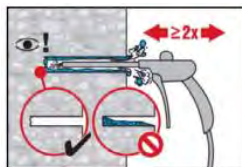
Przepłukać dwukrotnie wywiercony otwór poprzez wprowadzenie aż do dna otworu węża z wodą (ciśnienie z instalacji wodociągowej) i płukanie do momentu, gdy woda wypływająca z otworu będzie czysta.



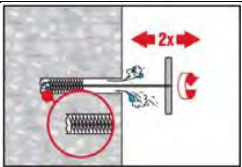
Wyszczotkować dwukrotnie otwór przy użyciu stalowej szczotki Hilti HIT-RB o określonym rozmiarze (patrz Tabela B7) poprzez jej wprowadzenie ruchem okrężnym do dna otworu (stosując przedłużkę, jeśli to konieczne) i wyciągnięcie. Szczotka powinna napotykać opór podczas wkładania do otworu (\varnothing szczotki $\geq \varnothing$ otworu) - szczotkę o zbyt małej średnicy należy wymienić na szczotkę o odpowiedniej średnicy.



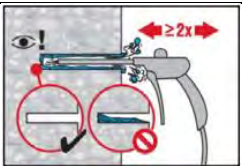
Przepłukać dwukrotnie wywiercony otwór poprzez wprowadzenie aż do dna otworu węża z wodą (ciśnienie z instalacji wodociągowej) i płukanie do momentu, gdy woda wypływająca z otworu będzie czysta.



Przedmuchać dwukrotnie od dna otworu (jeśli to konieczne, użyć przedłużki dyszy) na całej długości przy użyciu niezaolejonego sprężonego powietrza (ciśnienie min. 6 bar przy wydajności 6 m³/h) aż do momentu, gdy wylatujący strumień powietrza nie zawiera widocznego pyłu i wody. Dla wywierconych otworów o średnicy ≥ 32 mm sprężarka musi zapewnić minimalny przepływ powietrza 140 m³/h.



Wyszczotkować dwukrotnie otwór przy użyciu stalowej szczotki Hilti HIT-RB o określonym rozmiarze (patrz Tabela B7) poprzez jej wprowadzenie ruchem okrężnym do dna otworu (stosując przedłużkę, jeśli to konieczne) i wyciągnięcie. Szczotka powinna napotykać opór podczas wkładania do otworu - szczotkę o zbyt małej średnicy należy wymienić na szczotkę o odpowiedniej średnicy.



Ponownie przedmuchać dwukrotnie otwór sprężonym powietrzem do momentu, gdy wylatujący strumień powietrza nie zawiera widocznego pyłu i wody.

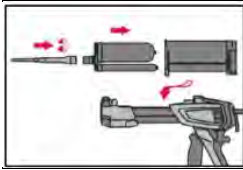
System iniekcyjny Hilti HIT-HY 200-A V3 oraz HIT-HY 200-R V3

Zamierzone stosowanie
Instrukcja montażu

Załącznik B13

Tłumaczenie na język angielski opracowane przez DIBt
Tłumaczenie z języka angielskiego na język polski wykonano na zlecenie Hilti

Przygotowanie iniekcji żywicy



Należy dokładnie zamocować mieszacz statyczny Hilti HIT-RE-M do końcówki ładunku foliowego. Nie wprowadzać żadnych zmian w mieszaczu. Przestrzegać instrukcji obsługi dozownika. Sprawdzić, czy kasetka na ładunek foliowy działa prawidłowo. Wprowadzić ładunek foliowy do kasetki oraz umieścić kasetkę w dozowniku.

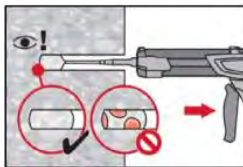


ładunek foliowy otwiera się automatycznie po rozpoczęciu dozowania. W zależności od objętości ładunku foliowego należy odrzucić początkową porcję żywicy. Ilości, jakie należy odrzucić:

- 2 naciśnięcia spustu dozownika dla ładunku foliowego 330 ml,
- 3 naciśnięcia spustu dozownika dla ładunku foliowego 500 ml,
- 4 naciśnięcia spustu dozownika dla ładunku foliowego 500 ml, $\leq 5^{\circ}\text{C}$.

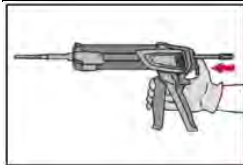
Minimalna temperatura ładunku foliowego wynosi 0°C .

Dozować żywicę od dna otworu w sposób pozwalający uniknąć tworzenia się pęcherzyków powietrza.

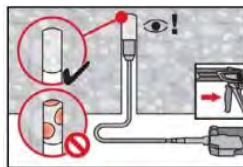


Należy dozować żywicę rozpoczynając od dna otworu, powoli wycofując mieszacz po każdym naciśnięciu spustu dozownika. Wypełnić około 2/3 otworu w celu zapewnienia całkowitego wypełnienia żywicą przestrzeni pierścieniowej między elementem stalowym a betonem na całej długości osadzenia.

W przypadku betonu nasyconego wodą łącznik należy osadzić bezzwłocznie po oczyszczeniu wywierconego otworu.



Po zakończeniu iniekcji należy zwolnić nacisk tłoka dozownika poprzez naciśnięcie spustu dźwigni. Zapobiegnie to dalszemu wypływowi żywicy z mieszacza.



Montaż „nad głową” i/lub montaż przy głębokości osadzenia $h_{ef} > 250\text{ mm}$.

Dla montażu „nad głową” iniekcja żywicy jest możliwa wyłącznie przy użyciu przedłużek oraz końcówek iniekcyjnych. Użyć mieszacza HIT-RE-M, przedłużek oraz końcówek iniekcyjnych o odpowiednim rozmiarze (patrz Tabela B8). Wprowadzić końcówkę iniekcyjną do dna otworu i rozpocząć dozowanie żywicy. W trakcie iniekcji końcówka iniekcyjna będzie w naturalny sposób wypychana z otworu przez ciśnienie dozowanej żywicy.

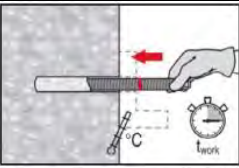
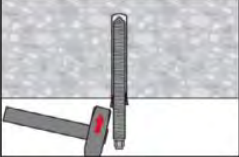
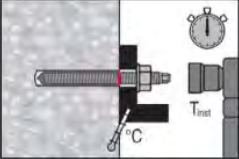
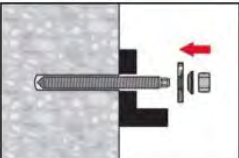
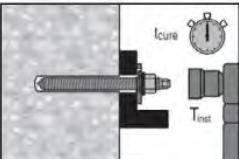
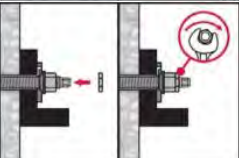
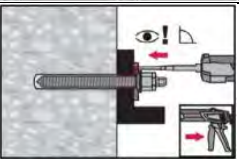
System iniekcyjny Hilti HIT-HY 200-A V3 oraz HIT-HY 200-R V3

Zamierzone stosowanie
Instrukcja montażu

Załącznik B14

Tłumaczenie na język angielski opracowane przez DIBt
Tłumaczenie z języka angielskiego na język polski wykonano na zlecenie Hilti

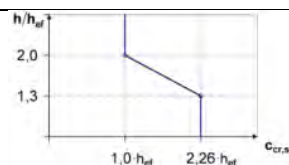
Tłumaczenie z języka angielskiego na język polski wykonano na zlecenie Hilti (Poland) Sp. z o.o. Wersja uwierzytelniona tłumaczenia dostępna na życzenie.

Osadzanie elementu stalowego	
	<p>Przed zastosowaniem upewnić się, że pręt jest suchy oraz wolny od oleju lub innych zanieczyszczeń.</p> <p>Oznaczyć oraz osadzić element stalowy na wymaganą głębokość osadzenia przed upływem czasu roboczego t_{work}. Czas roboczy t_{work} podano w Tabeli B6.</p>
	<p>Dla zastosowań „nad głową” należy użyć końcówek iniekcyjnych oraz unieruchomić osadzone elementy np. przy użyciu klinów (Hilti HIT-OHW).</p>
	<p>Obciążanie: Zamocowanie może być obciążane po upływie wymaganego czasu utwardzania t_{cure} (patrz Tabela B6).</p> <p>Stosowany moment dokręcający nie może przekraczać wartości $\max T_{inst}$ podanych w Tabeli od B2 do B4.</p>
Montaż zestawu wypełniającego Hilti	
	<p>Użyć zestawu wypełniającego Hilti z nakrętką standardową. Należy pamiętać o prawidłowym ustawieniu podkładki iniekcyjnej i podkładki sferycznej.</p>
	<p>Stosowany moment dokręcający nie może przekraczać wartości $\max T_{inst}$ podanych w Tabeli od B2 do B4.</p>
	<p>Opcjonalnie: Montaż nakrętki kontrolującej. Dokręcić o ¼ do ½ obrotu. (Nie dotyczy rozmiaru M24.)</p>
	<p>Wypełnić przestrzeń pierścieniową pomiędzy elementem stalowym a elementem mocowanym przy użyciu 1-3 porcji żywicy iniekcyjnej HIT-HY ... lub HIT-RE</p> <p>Przestrzegać instrukcji montażu dołączonej do odpowiedniej żywicy iniekcyjnej Hilti.</p> <p>Zamocowanie może być obciążane po upływie wymaganego czasu utwardzania t_{cure}.</p>
System iniekcyjny Hilti HIT-HY 200-A V3 oraz HIT-HY 200-R V3	
Zamierzone stosowanie Instrukcja montażu	Załącznik B15

Tłumaczenie na język angielski opracowane przez DIBt
Tłumaczenie z języka angielskiego na język polski wykonano na zlecenie Hilti

Tabela C1: Zasadnicze charakterystyki prętów gwintowanych zgodnie z Załącznikiem A przy obciążeniu rozciągającym w betonie

Pręty gwintowane zgodnie z Załącznikiem A		M8	M10	M12	M16	M20	M24	M27	M30
Dla okresu użytkowania 50 i 100 lat									
Współczynnik montażowy w przypadku montażu w betonie suchym lub mokrym (nasyconym wodą)									
Wiercenie udarowe (HD)	γ_{inst}	[-]	1,0						
Wiercenie udarowe wiertłem rurowym Hilti TE-CD lub TE-YD (HDB)	γ_{inst}	[-]	1)	1,0					
Wiercenie diamentowe (rdzeniowe) z szorstkowaniem przy użyciu narzędzia do szorstkowania Hilti TE-YRT (DD+RT)	γ_{inst}	[-]	1)			1,0			
Współczynnik montażowy w przypadku montażu w otworach wypełnionych wodą (nie wodą morską)									
Wiercenie udarowe (HD)	γ_{inst}	[-]	1,4						
Wiercenie udarowe wiertłem rurowym Hilti TE-CD lub TE-YD (HDB)	γ_{inst}	[-]	1)	1,4					
Zniszczenie stali									
Nośność charakterystyczna	$N_{Rk,s}$	[kN]	$A_s \cdot f_{uk}$						
Współczynnik częściowy, klasa 5.8, 6.8 i 8.8 (Tabela A1)	γ_{Ms,N^2}	[-]	1,5						
Współczynnik częściowy HAS A4, HAS-U A4, HIT-V-R, Pręt gwintowany: CRC II i III (Tabela A1)	γ_{Ms,N^2}	[-]	1,87					2,86	
Współczynnik częściowy HAS-U HCR, HIT-V-HCR, Pręt gwintowany: CRC V (Tabela A1)	γ_{Ms,N^2}	[-]	1,5				2,1		
Zniszczenie przez wyłamanie stożka betonu									
Współczynnik dla betonu niezarysowanego	$k_{ucr,N}$	[-]	11,0						
Współczynnik dla betonu zarysowanego	$k_{cr,N}$	[-]	7,7						
Odległość od krawędzi	$c_{cr,N}$	[mm]	$1,5 \cdot h_{ef}$						
Rozstaw kotew	$s_{cr,N}$	[mm]	$3,0 \cdot h_{ef}$						
Zniszczenie przez rozłupanie podłoża									
Odległość od krawędzi $c_{cr,sp}$ [mm] dla	$h / h_{ef} \geq 2,0$		$1,0 \cdot h_{ef}$						
	$2,0 > h / h_{ef} > 1,3$		$4,6 \cdot h_{ef} - 1,8 \cdot h$						
	$h / h_{ef} \leq 1,3$		$2,26 \cdot h_{ef}$						
Rozstaw kotew	$s_{cr,sp}$	[mm]	$2 \cdot c_{cr,sp}$						



- 1) Nie oceniano właściwości użytkowych.
2) W przypadku braku przepisów krajowych.

System iniekcyjny Hilti HIT-HY 200-A V3 oraz HIT-HY 200-R V3

Właściwości użytkowe
Zasadnicze charakterystyki przy obciążeniu rozciągającym w betonie

Załącznik C1

Tłumaczenie na język angielski opracowane przez DIBt
Tłumaczenie z języka angielskiego na język polski wykonano na zlecenie Hilti

Tabela C1: ciąg dalszy

Pręty gwintowane zgodnie z Załącznikiem A	M8	M10	M12	M16	M20	M24	M27	M30		
Połączone zniszczenie przez wyciągnięcie kotwy oraz przez wyłamanie stożka betonu dla okresu użytkowania 50 lat										
Nośność charakterystyczna wiązania w betonie niezarysowanym C20/25 w przypadku montażu w betonie suchym lub mokrym (nasyconym wodą), wszystkie metody wiercenia (HD, HDB, DD + RT)										
Zakres temperatur I: 24°C/40°C	$\tau_{RK,ucr}$	[N/mm ²]	18							
Zakres temperatur II: 50°C/80°C	$\tau_{RK,ucr}$	[N/mm ²]	15							
Zakres temperatur III: 72°C/120°C	$\tau_{RK,ucr}$	[N/mm ²]	13							
Nośność charakterystyczna wiązania w betonie zarysowanym C20/25 w przypadku montażu w betonie suchym lub mokrym (nasyconym wodą), wszystkie metody wiercenia (HD, HDB, DD + RT)										
Zakres temperatur I: 24°C/40°C	$\tau_{RK,cr}$	[N/mm ²]	7,5	9,4	9,5					
Zakres temperatur II: 50°C/80°C	$\tau_{RK,cr}$	[N/mm ²]	6,4	7,5						
Zakres temperatur III: 72°C/120°C	$\tau_{RK,cr}$	[N/mm ²]	5,5	6,8	6,9					
Nośność charakterystyczna wiązania w betonie niezarysowanym C20/25 w przypadku montażu w otworach wypełnionych wodą (nie wodą morską), HD i HDB										
Zakres temperatur I: 24°C/40°C	$\tau_{RK,ucr}$	[N/mm ²]	14,0	13,8	13,5	13,0	12,5	11,9	11,4	10,9
Zakres temperatur II: 50°C/80°C	$\tau_{RK,ucr}$	[N/mm ²]	11,9	11,7	11,5	11,1	10,6	10,1	9,7	9,3
Zakres temperatur III: 72°C/120°C	$\tau_{RK,ucr}$	[N/mm ²]	10,2	10,1	9,9	9,5	9,1	8,7	8,3	8,0
Nośność charakterystyczna wiązania w betonie zarysowanym C20/25 w przypadku montażu w otworach wypełnionych wodą (nie wodą morską), HD i HDB										
Zakres temperatur I: 24°C/40°C	$\tau_{RK,cr}$	[N/mm ²]	6,1	7,4	7,2	6,7	6,4	6,1	6,1	6,0
Zakres temperatur II: 50°C/80°C	$\tau_{RK,cr}$	[N/mm ²]	5,2	6,3	6,1	5,7	5,5	5,2	5,2	5,1
Zakres temperatur III: 72°C/120°C	$\tau_{RK,cr}$	[N/mm ²]	4,5	5,4	5,2	4,9	4,7	4,5	4,5	4,4
Czynniki wpływające ψ na nośność wiązania τ_{RK} w betonie zarysowanym i niezarysowanym										
Wpływ klasy wytrzymałości betonu: $\tau_{RK} = \tau_{RK,(C20/25)} \cdot \psi_c$										
Zakres temperatur I do III:	ψ_c	[-]	$(f_{ck}/20)^{0,1}$							
Wpływ obciążenia długotrwałego										
Zakres temperatur I: 24°C/40°C	ψ^0_{sus}	[-]	0,74							
Zakres temperatur II: 50°C/80°C	ψ^0_{sus}	[-]	0,89							
Zakres temperatur III: 72°C/120°C	ψ^0_{sus}	[-]	0,72							

System iniekcyjny Hilti HIT-HY 200-A V3 oraz HIT-HY 200-R V3

Właściwości użytkowe

Zasadnicze charakterystyki przy obciążeniu rozciągającym w betonie

Załącznik C2

Tłumaczenie na język angielski opracowane przez DIBt
Tłumaczenie z języka angielskiego na język polski wykonano na zlecenie Hilti

Tabela C1: ciąg dalszy

Pręty gwintowane zgodnie z Załącznikiem A	M8	M10	M12	M16	M20	M24	M27	M30		
Połączone zniszczenie przez wyciągnięcie kotwy oraz przez wyłamanie stożka betonu dla okresu użytkowania 100 lat										
Nośność charakterystyczna wiązania w betonie niezarysowanym C20/25 w przypadku montażu w betonie suchym lub mokrym (nasyconym wodą), wszystkie metody wiercenia (HD, HDB, DD + RT)										
Zakres temperatur I: 24°C/40°C	$\tau_{RK,ucr,100}$	[N/mm ²]							17	
Zakres temperatur II: 50°C/80°C	$\tau_{RK,ucr,100}$	[N/mm ²]							14	
Zakres temperatur III: 72°C/120°C	$\tau_{RK,ucr,100}$	[N/mm ²]							12	
Nośność charakterystyczna wiązania w betonie zarysowanym C20/25 w przypadku montażu w betonie suchym lub mokrym (nasyconym wodą), wszystkie metody wiercenia (HD, HDB, DD + RT)										
Zakres temperatur I: 24°C/40°C	$\tau_{RK,cr,100}$	[N/mm ²]	6,5	6,7					8,1	
Zakres temperatur II: 50°C/80°C	$\tau_{RK,cr,100}$	[N/mm ²]	5,5	5,7					7,0	
Zakres temperatur III: 72°C/120°C	$\tau_{RK,cr,100}$	[N/mm ²]	5,0						6,0	
Nośność charakterystyczna wiązania w betonie niezarysowanym C20/25 w przypadku montażu w otworach wypełnionych wodą (nie wodą morską), HD i HDB										
Zakres temperatur I: 24°C/40°C	$\tau_{RK,ucr,100}$	[N/mm ²]	14,0	13,8	13,5	13,0	12,5	11,9	11,4	10,9
Zakres temperatur II: 50°C/80°C	$\tau_{RK,ucr,100}$	[N/mm ²]	11,9	11,7	11,5	11,1	10,6	10,1	9,7	9,3
Zakres temperatur III: 72°C/120°C	$\tau_{RK,ucr,100}$	[N/mm ²]	10,2	10,1	9,9	9,5	9,1	8,7	8,3	8,0
Nośność charakterystyczna wiązania w betonie zarysowanym C20/25 w przypadku montażu w otworach wypełnionych wodą (nie wodą morską), HD i HDB										
Zakres temperatur I: 24°C/40°C	$\tau_{RK,cr,100}$	[N/mm ²]	5,5	5,3	6,1	5,8	5,5	5,3	5,1	4,8
Zakres temperatur II: 50°C/80°C	$\tau_{RK,cr,100}$	[N/mm ²]	4,5	4,5	5,2	4,9	4,7	4,5	4,5	4,1
Zakres temperatur III: 72°C/120°C	$\tau_{RK,cr,100}$	[N/mm ²]	3,9	3,8	4,5	4,2	4,0	3,8	3,7	3,5
Czynniki wpływające ψ na nośność wiązania $\tau_{RK,100}$ w betonie zarysowanym i niezarysowanym										
Wpływ klasy wytrzymałości betonu: $\tau_{RK} = \tau_{RK,(C20/25)} \cdot \psi_c$										
Zakres temperatur I do III:	ψ_c	[-]							$(f_{ck}/20)^{0,1}$	
Wpływ obciążenia długotrwałego										
Zakres temperatur I: 24°C/40°C	$\psi^0_{sus,100}$	[-]							0,71	
Zakres temperatur II: 50°C/80°C	$\psi^0_{sus,100}$	[-]							0,86	
Zakres temperatur III: 72°C/120°C	$\psi^0_{sus,100}$	[-]							0,80	

System iniekcyjny Hilti HIT-HY 200-A V3 oraz HIT-HY 200-R V3

Właściwości użytkowe

Zasadnicze charakterystyki przy obciążeniu rozciągającym w betonie

Załącznik C3

Tłumaczenie na język angielski opracowane przez DIBt
Tłumaczenie z języka angielskiego na język polski wykonano na zlecenie Hilti

Tabela C2: Zasadnicze charakterystyki prętów gwintowanych zgodnie z Załącznikiem A przy obciążeniu ścinającym w betonie

Pręty gwintowane zgodnie z Załącznikiem A		M8	M10	M12	M16	M20	M24	M27	M30	
Dla okresu użytkowania 50 i 100 lat										
Zniszczenie stali bez oddziaływania momentu zginającego										
Nośność charakterystyczna	$V_{Rk,s}^0$ [kN]							$k_6 \cdot A_s \cdot f_{uk}$		
Współczynnik, klasa 5.8	k_6 [-]							0,6		
Współczynnik, klasa 6.8 i 8.8	k_6 [-]							0,5		
Współczynnik HAS A4, HAS-U A4, HIT-V-R, Pręt gwintowany CRC II i III (Tabela A1)	k_6 [-]							0,5		
Współczynnik, HAS-U HCR, HIT-V-HCR Pręt gwintowany CRC V (Tabela A1)	k_6 [-]							0,5		
Współczynnik częściowy, klasa 5.8, 6.8, 8.8	$\gamma_{Ms,V}^{1)}$ [-]							1,25		
Współczynnik częściowy HAS A4, HAS-U A4, HIT-V-R, Pręt gwintowany CRC II i III (Tabela A1)	$\gamma_{Ms,V}^{1)}$ [-]	1,56						2,38		
Współczynnik częściowy HAS-U HCR, HIT-V-HCR, Pręt gwintowany CRC V (Tabela A1)	$\gamma_{Ms,V}^{1)}$ [-]	1,25						1,75		
Współczynnik ciągliwości	k_7 [-]							1,0		
Zniszczenie stali z oddziaływaniem momentu zginającego										
Nośność charakterystyczna	$M_{Rk,s}^0$ [Nm]							$1,2 \cdot W_{el} \cdot f_{uk}$		
Współczynnik ciągliwości	k_7 [-]							1,0		
Zniszczenie przez podważenie betonu										
Współczynnik dla podważenia	k_8 [-]							2,0		
Zniszczenie krawędzi betonu										
Efektywna długość łącznika	l_f [mm]	$\min(h_{ef}; 12 \cdot d_{nom})$						$\min(h_{ef}; 8 \cdot d_{nom}; 300)$		
Średnica zewnętrzna łącznika	d_{nom} [mm]	8	10	12	16	20	24	27	30	

¹⁾ W przypadku braku przepisów krajowych.

System iniekcyjny Hilti HIT-HY 200-A V3 oraz HIT-HY 200-R V3

Właściwości użytkowe

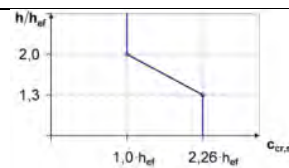
Zasadnicze charakterystyki przy obciążeniu ścinającym w betonie

Załącznik C4

Tłumaczenie na język angielski opracowane przez DIBt
Tłumaczenie z języka angielskiego na język polski wykonano na zlecenie Hilti

Tabela C3: Zasadnicze charakterystyki tulei z gwintem wewnętrznym HIS-(R)N przy obciążeniu rozciągającym w betonie

HIS-(R)N		M8	M10	M12	M16	M20
Dla okresu użytkowania 50 lat						
Współczynnik montażowy						
Wiercenie udarowe	γ_{inst} [-]	1,0				
Wiercenie udarowe wiertłem rurowym Hilti TE-CD lub TE-YD	γ_{inst} [-]	1,0				
Wiercenie diamentowe (rdzeniowe) z szorstkowaniem przy użyciu narzędzia do szorstkowania Hilti TE-YRT	γ_{inst} [-]	1)	1,0			
Zniszczenie stali						
Nośność charakterystyczna HIS-N ze śrubą lub prętem gwintowanym klasy 8.8	$N_{Rk,s}$ [kN]	25	46	67	125	116
Współczynnik częściowy	$\gamma_{Ms,N}^{2)}$ [-]	1,50				
Nośność charakterystyczna HIS-RN ze śrubą lub prętem gwintowanym klasy 70	$N_{Rk,s}$ [kN]	26	41	59	110	166
Współczynnik częściowy	$\gamma_{Ms,N}^{2)}$ [-]	1,87				
Zniszczenie przez wyłamanie stożka betonu						
Współczynnik dla betonu niezarysowanego	$k_{ucr,N}$ [-]	11,0				
Współczynnik dla betonu zarysowanego	$k_{cr,N}$ [-]	7,7				
Odległość od krawędzi	$c_{cr,N}$ [mm]	$1,5 \cdot h_{ef}$				
Rozstaw kotew	$s_{cr,N}$ [mm]	$3,0 \cdot h_{ef}$				
Zniszczenie przez rozłupanie podłoża						
Odległość od krawędzi $c_{cr,sp}$ [mm] dla	$h / h_{ef} \geq 2,0$	$1,0 \cdot h_{ef}$				
	$2,0 > h / h_{ef} > 1,3$	$4,6 h_{ef} - 1,8 h$				
	$h / h_{ef} \leq 1,3$	$2,26 h_{ef}$				
Rozstaw kotew	$s_{cr,sp}$ [mm]	$2 \cdot c_{cr,sp}$				



- 1) Nie oceniano właściwości użytkowych.
2) W przypadku braku przepisów krajowych.

System iniekcyjny Hilti HIT-HY 200-A V3 oraz HIT-HY 200-R V3

Właściwości użytkowe
Zasadnicze charakterystyki przy obciążeniu rozciągającym w betonie

Załącznik C5

Tłumaczenie na język angielski opracowane przez DIBt
Tłumaczenie z języka angielskiego na język polski wykonano na zlecenie Hilti

Tabela C3: ciąg dalszy

HIS-(R)N		M8	M10	M12	M16	M20
Połączone zniszczenie przez wyciągnięcie kotwy oraz przez wyłamanie stożka betonu dla okresu użytkowania 50 lat						
Efektywna głębokość osadzania	h_{ef} [mm]	90	110	125	170	205
Efektywna średnica łącznika	d_1 [mm]	12,5	16,5	20,5	25,4	27,6
Nośność charakterystyczna wiązania w betonie niezarysowanym C20/25 w przypadku montażu w betonie suchym lub mokrym (nasyconym wodą), wszystkie metody wiercenia (HD, HDB, DD + RT)						
Zakres temperatur I:	24 °C / 40 °C	$\tau_{RK,ucr}$ [N/mm ²]	13			
Zakres temperatur II:	50 °C / 80 °C	$\tau_{RK,ucr}$ [N/mm ²]	11			
Zakres temperatur III:	72 °C / 120 °C	$\tau_{RK,ucr}$ [N/mm ²]	9,5			
Nośność charakterystyczna wiązania w betonie zarysowanym C20/25 w przypadku montażu w betonie suchym lub mokrym (nasyconym wodą), wszystkie metody wiercenia (HD, HDB, DD + RT)						
Zakres temperatur I:	24 °C / 40 °C	$\tau_{RK,cr}$ [N/mm ²]	7			
Zakres temperatur II:	50 °C / 80 °C	$\tau_{RK,cr}$ [N/mm ²]	5,5			
Zakres temperatur III:	72 °C / 120 °C	$\tau_{RK,cr}$ [N/mm ²]	5			
Czynniki wpływające ψ na nośność wiązania τ_{RK} w betonie zarysowanym i niezarysowanym						
Wpływ klasy wytrzymałości betonu: $\tau_{RK} = \tau_{RK,(C20/25)} \cdot \psi_c$						
Zakres temperatur I do III:	ψ_c [-]	$(f_{ck}/20)^{0,1}$				
Wpływ obciążenia długotrwałego						
Zakres temperatur I:	24 °C / 40 °C	ψ_{sus}^0 [-]	0,74			
Zakres temperatur II:	50 °C / 80 °C	ψ_{sus}^0 [-]	0,89			
Zakres temperatur III:	72 °C / 120 °C	ψ_{sus}^0 [-]	0,72			

System iniekcyjny Hilti HIT-HY 200-A V3 oraz HIT-HY 200-R V3

Właściwości użytkowe

Zasadnicze charakterystyki przy obciążeniu rozciągającym w betonie

Załącznik C5

Tłumaczenie na język angielski opracowane przez DIBt
Tłumaczenie z języka angielskiego na język polski wykonano na zlecenie Hilti

Tabela C4: Zasadnicze charakterystyki tulei z gwintem wewnętrznym HIS-(R)N przy obciążeniu ścinającym w betonie

HIS-(R)N			M8	M10	M12	M16	M20
Dla okresu użytkowania 50 lat							
Zniszczenie stali bez oddziaływania momentu zginającego							
Nośność charakterystyczna HIS-N ze śrubą lub prętem gwintowanym klasy 8.8	$V_{Rk,s}^0$	[kN]	13	23	34	63	58
Współczynnik częściowy	$\gamma_{Ms,N}^{1)}$	[-]	1,25				
Nośność charakterystyczna HIS-RN ze śrubą lub prętem gwintowanym klasy 70	$V_{Rk,s}^0$	[kN]	13	20	30	55	83
Współczynnik częściowy	$\gamma_{Ms,N}^{1)}$	[-]	1,56				
Współczynnik ciągliwości	k_7	[-]	1,0				
Zniszczenie stali z oddziaływaniem momentu zginającego							
Nośność charakterystyczna HIS-N ze śrubą lub prętem gwintowanym klasy 8.8	$M_{Rk,s}^0$	[Nm]	30	60	105	266	519
Nośność charakterystyczna HIS-RN ze śrubą lub prętem gwintowanym klasy 70	$M_{Rk,s}^0$	[Nm]	26	52	92	233	454
Współczynnik ciągliwości	k_7	[-]	1,0				
Zniszczenie przez podważenie betonu							
Współczynnik dla podważenia	k_8	[-]	2,0				
Zniszczenie krawędzi betonu							
Efektywna długość łącznika	l_f	[mm]	90	110	125	170	205
Średnica zewnętrzna łącznika	d_{nom}	[mm]	12,5	16,5	20,5	25,4	27,6

¹⁾ W przypadku braku przepisów krajowych.

System iniekcyjny Hilti HIT-HY 200-A V3 oraz HIT-HY 200-R V3

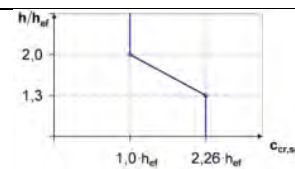
Właściwości użytkowe
Zasadnicze charakterystyki przy obciążeniu ścinającym w betonie

Załącznik C7

Tłumaczenie na język angielski opracowane przez DIBt
Tłumaczenie z języka angielskiego na język polski wykonano na zlecenie Hilti

Tabela C5: Zasadnicze charakterystyki kotwy naprężeniowej Hilti HZA / HZA-R przy obciążeniu rozciągającym w betonie

Kotwa naprężeniowa Hilti HZA, HZA-R		M12	M16	M20	M24	M27
Dla okresu użytkowania 50 i 100 lat						
Współczynnik montażowy w przypadku montażu w betonie suchym lub mokrym (nasyconym wodą)						
Wiercenie udarowe	γ_{inst}	[-]	1,0			
Wiercenie udarowe wiertłem rurowym Hilti TE-CD lub TE-YD	γ_{inst}	[-]	1,0			
Wiercenie diamentowe (rdzeniowe) z szorstkowaniem przy użyciu narzędzia do szorstkowania Hilti TE-YRT	γ_{inst}	[-]	1)	1,0		
Współczynnik montażowy w przypadku montażu w otworach wypełnionych wodą (nie wodą morską)						
Wiercenie udarowe	γ_{inst}	[-]	1,4			
Wiercenie udarowe wiertłem rurowym Hilti TE-CD lub TE-YD	γ_{inst}	[-]	1,4			
Zniszczenie stali						
Nośność charakterystyczna HZA	$N_{Rk,s}$	[kN]	46	86	135	194
Nośność charakterystyczna HZA-R	$N_{Rk,s}$	[kN]	62	111	173	248
Współczynnik częściowy	$\gamma_{Ms,N}^{2)}$	[-]	1,4			
Zniszczenie przez wyłamanie stożka betonu						
Efektywna głębokość zakotwienia	HZA	h_{ef}	[mm]	h_{nom}		
	HZA-R	h_{ef}	[mm]	h_{nom}		1)
Współczynnik dla betonu niezarysowanego	$k_{ucr,N}$	[-]	11,0			
Współczynnik dla betonu zarysowanego	$k_{cr,N}$	[-]	7,7			
Odległość od krawędzi	$c_{cr,N}$	[mm]	$1,5 \cdot h_{ef}$			
Rozstaw kotew	$s_{cr,N}$	[mm]	$3,0 \cdot h_{ef}$			
Zniszczenie przez rozłupanie dotyczące betonu niezarysowanego						
Odległość od krawędzi $c_{cr,sp}$ [mm] dla	$h / h_{ef} \geq 2,0$		$1,0 \cdot h_{ef}$			
	$2,0 > h / h_{ef} > 1,3$		$4,6 \cdot h_{ef} - 1,8 \cdot h$			
	$h / h_{ef} \leq 1,3$		$2,26 \cdot h_{ef}$			
Rozstaw kotew	$s_{cr,sp}$	[mm]	$2 \cdot c_{cr,sp}$			



- 1) Nie oceniano właściwości użytkowych.
2) W przypadku braku przepisów krajowych.

System iniekcyjny Hilti HIT-HY 200-A V3 oraz HIT-HY 200-R V3

Właściwości użytkowe
Zasadnicze charakterystyki przy obciążeniu rozciągającym w betonie

Załącznik C8

Tłumaczenie na język angielski opracowane przez DIBt
Tłumaczenie z języka angielskiego na język polski wykonano na zlecenie Hilti

Tabela C5: ciąg dalszy

Kotwa naprężeniowa Hilti HZA, HZA-R				M12	M16	M20	M24	M27
Średnica pręta zbrojeniowego	d	[mm]		12	16	20	25	28
Efektywna głębokość	HZA	h_{ef}	[mm]	$h_{nom} - 20$				
zakotwienia	HZA-R	h_{ef}	[mm]	$h_{nom} - 100$				
Połączone zniszczenie przez wyciągnięcie kotwy oraz przez wyłamanie stożka betonu dla okresu użytkowania 50 lat								
Nośność charakterystyczna wiązania w betonie niezarysowanym C20/25 w przypadku montażu w betonie suchym lub mokrym (nasyconym wodą), wszystkie metody wiercenia (HD, HDB, DD + RT)								
Zakres temperatur I:	24 °C / 40 °C	$\tau_{RK,ucr}$	[N/mm ²]	12				
Zakres temperatur II:	50 °C / 80 °C	$\tau_{RK,ucr}$	[N/mm ²]	10				
Zakres temperatur III:	72 °C / 120 °C	$\tau_{RK,ucr}$	[N/mm ²]	8,5				
Nośność charakterystyczna wiązania w betonie zarysowanym C20/25 w przypadku montażu w betonie suchym lub mokrym (nasyconym wodą), wszystkie metody wiercenia (HD, HDB, DD + RT)								
Zakres temperatur I:	24 °C / 40 °C	$\tau_{RK,cr}$	[N/mm ²]	7				
Zakres temperatur II:	50 °C / 80 °C	$\tau_{RK,cr}$	[N/mm ²]	5,5				
Zakres temperatur III:	72 °C / 120 °C	$\tau_{RK,cr}$	[N/mm ²]	5				
Nośność charakterystyczna wiązania w betonie niezarysowanym C20/25 w przypadku montażu w otworach wypełnionych wodą (nie wodą morską), HD i HDB								
Zakres temperatur I:	24 °C / 40 °C	$\tau_{RK,ucr}$	[N/mm ²]	11,4				
Zakres temperatur II:	50 °C / 80 °C	$\tau_{RK,ucr}$	[N/mm ²]	9,3				
Zakres temperatur III:	72 °C / 120 °C	$\tau_{RK,ucr}$	[N/mm ²]	8,1				
Nośność charakterystyczna wiązania w betonie zarysowanym C20/25 w przypadku montażu w otworach wypełnionych wodą (nie wodą morską), HD i HDB								
Zakres temperatur I:	24 °C / 40 °C	$\tau_{RK,cr}$	[N/mm ²]	6,5				
Zakres temperatur II:	50 °C / 80 °C	$\tau_{RK,cr}$	[N/mm ²]	5,2				
Zakres temperatur III:	72 °C / 120 °C	$\tau_{RK,cr}$	[N/mm ²]	4,5				
Czynniki wpływające ψ na nośność wiązania τ_{RK} w betonie zarysowanym i niezarysowanym								
Wpływ klasy wytrzymałości betonu: $\tau_{RK} = \tau_{RK,(C20/25)} \cdot \psi_c$								
Zakres temperatur I do III:	ψ_c	[-]		$(f_{ck}/20)^{0,1}$				
Wpływ obciążenia długotrwałego								
Zakres temperatur I:	24 °C / 40 °C	ψ_{sus}^0	[-]	0,74				
Zakres temperatur II:	50 °C / 80 °C	ψ_{sus}^0	[-]	0,89				
Zakres temperatur III:	72 °C / 120 °C	ψ_{sus}^0	[-]	0,72				

System iniekcyjny Hilti HIT-HY 200-A V3 oraz HIT-HY 200-R V3

Właściwości użytkowe

Zasadnicze charakterystyki przy obciążeniu rozciągającym w betonie

Załącznik C9

Tłumaczenie na język angielski opracowane przez DIBt
Tłumaczenie z języka angielskiego na język polski wykonano na zlecenie Hilti

Tabela C5: ciąg dalszy

Kotwa naprężeniowa Hilti HZA, HZA-R			M12	M16	M20	M24	M27	
Średnica pręta zbrojeniowego	d	[mm]	12	16	20	25	28	
Efektywna głębokość	HZA	h_{ef} [mm]	$h_{nom} - 20$					
zakotwienia	HZA-R	h_{ef} [mm]	$h_{nom} - 100$				1)	
Połączone zniszczenie przez wyciągnięcie kotwy oraz przez wyłamanie stożka betonu dla okresu użytkowania 100 lat								
Nośność charakterystyczna wiązania w betonie niezarysowanym C20/25 w przypadku montażu w betonie suchym lub mokrym (nasyconym wodą), wszystkie metody wiercenia (HD, HDB, DD + RT)								
Zakres temperatur I: 24 °C / 40 °C			$\tau_{Rk,ucr,100}$ [N/mm ²]	12				
Zakres temperatur II: 50 °C / 80 °C			$\tau_{Rk,ucr,100}$ [N/mm ²]	10				
Zakres temperatur III: 72 °C / 120 °C			$\tau_{Rk,ucr,100}$ [N/mm ²]	8,5				
Nośność charakterystyczna wiązania w betonie zarysowanym C20/25 w przypadku montażu w betonie suchym lub mokrym (nasyconym wodą), wszystkie metody wiercenia (HD, HDB, DD + RT)								
Zakres temperatur I: 24 °C / 40 °C			$\tau_{Rk,cr,100}$ [N/mm ²]	7				
Zakres temperatur II: 50 °C / 80 °C			$\tau_{Rk,cr,100}$ [N/mm ²]	5,5				
Zakres temperatur III: 72 °C / 120 °C			$\tau_{Rk,cr,100}$ [N/mm ²]	5				
Nośność charakterystyczna wiązania w betonie niezarysowanym C20/25 w przypadku montażu w otworach wypełnionych wodą (nie wodą morską), HD i HDB								
Zakres temperatur I: 24 °C / 40 °C			$\tau_{Rk,ucr,100}$ [N/mm ²]	11,4				
Zakres temperatur II: 50 °C / 80 °C			$\tau_{Rk,ucr,100}$ [N/mm ²]	9,3				
Zakres temperatur III: 72 °C / 120 °C			$\tau_{Rk,ucr,100}$ [N/mm ²]	8,1				
Nośność charakterystyczna wiązania w betonie zarysowanym C20/25 w przypadku montażu w otworach wypełnionych wodą (nie wodą morską), HD i HDB								
Zakres temperatur I: 24 °C / 40 °C			$\tau_{Rk,cr,100}$ [N/mm ²]	6,5				
Zakres temperatur II: 50 °C / 80 °C			$\tau_{Rk,cr,100}$ [N/mm ²]	5,2				
Zakres temperatur III: 72 °C / 120 °C			$\tau_{Rk,cr,100}$ [N/mm ²]	4,5				
Czynniki wpływające ψ na nośność wiązania τ_{Rk} w betonie zarysowanym i niezarysowanym								
Wpływ klasy wytrzymałości betonu: $\tau_{Rk} = \tau_{Rk,(C20/25)} \cdot \psi_c$								
Zakres temperatur I do III:			ψ_c [-]	$(f_{ck}/20)^{0,1}$				
Wpływ obciążenia długotrwałego								
Zakres temperatur I: 24 °C / 40 °C			$\psi_{sus,100}^0$ [-]	0,71				
Zakres temperatur II: 50 °C / 80 °C			$\psi_{sus,100}^0$ [-]	0,86				
Zakres temperatur III: 72 °C / 120 °C			$\psi_{sus,100}^0$ [-]	0,80				

1) Nie oceniano właściwości użytkowych.

System iniekcyjny Hilti HIT-HY 200-A V3 oraz HIT-HY 200-R V3

Właściwości użytkowe

Zasadnicze charakterystyki przy obciążeniu rozciągającym w betonie

Załącznik C10

Tłumaczenie na język angielski opracowane przez DIBt
Tłumaczenie z języka angielskiego na język polski wykonano na zlecenie Hilti

Tabela C6: Zasadnicze charakterystyki kotwy naprężeniowej Hilti HZA, HZA-R przy obciążeniu ścinającym w betonie

Kotwa naprężeniowa Hilti HZA, HZA-R		M12	M16	M20	M24	M27
Dla okresu użytkowania 50 i 100 lat						
Zniszczenie stali bez oddziaływania momentu zginającego						
Nośność charakterystyczna HZA	$V_{Rk,s}^0$ [kN]	23	43	67	97	126
Nośność charakterystyczna HZA-R	$V_{Rk,s}^0$ [kN]	31	55	86	124	¹⁾
Współczynnik częściowy	$\gamma_{Ms,V}^2$	[-]			1,5	
Współczynnik ciągliwości	k_7	[-]			1,0	
Zniszczenie stali z oddziaływaniem momentu zginającego						
Nośność charakterystyczna HZA	$M_{Rk,s}^0$ [Nm]	72	183	357	617	915
Nośność charakterystyczna HZA-R	$M_{Rk,s}^0$ [Nm]	97	234	457	790	¹⁾
Współczynnik ciągliwości	k_7	[-]			1,0	
Zniszczenie przez podważenie betonu						
Współczynnik dla podważenia	k_8	[-]			2,0	
Zniszczenie krawędzi betonu						
Efektywna długość łącznika	l_f [mm]	min (h_{nom} ; $12 \cdot d_{nom}$)				min (h_{nom} ; $8 \cdot d_{nom}$; 300)
Średnica zewnętrzna łącznika	d_{nom} [mm]	12	16	20	24	27

¹⁾ Nie oceniano właściwości użytkowych.

²⁾ W przypadku braku przepisów krajowych.

System iniekcyjny Hilti HIT-HY 200-A V3 oraz HIT-HY 200-R V3

Właściwości użytkowe

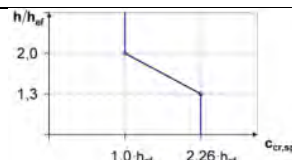
Zasadnicze charakterystyki przy obciążeniu ścinającym w betonie

Załącznik C11

Tłumaczenie na język angielski opracowane przez DIBt
Tłumaczenie z języka angielskiego na język polski wykonano na zlecenie Hilti

Tabela C7: Zasadnicze charakterystyki pręta zbrojeniowego przy obciążeniu rozciągającym w betonie

Pręt zbrojeniowy		φ8	φ10	φ12	φ14	φ16	φ20	φ25	φ26	φ28	φ30	φ32	
Dla okresu użytkowania 50 i 100 lat													
Współczynnik montażowy w przypadku montażu w betonie suchym lub mokrym (nasyconym wodą)													
Wiercenie udarowe	γ_{inst}	[-]										1,0	
Wiercenie udarowe wiertłem rurowym Hilti TE-CD lub TE-YD	γ_{inst}	[-]										1,0	
Wiercenie diamentowe (rdzeniowe) z szorstkowaniem przy użyciu narzędzia do szorstkowania Hilti TE-YRT	γ_{inst}	[-]										1) ¹⁾	
Współczynnik montażowy w przypadku montażu w otworach wypełnionych wodą (nie wodą morską)													
Wiercenie udarowe	γ_{inst}	[-]										1,4	
Wiercenie udarowe wiertłem rurowym Hilti TE-CD lub TE-YD	γ_{inst}	[-]										1,4	
Zniszczenie stali													
Nośność charakterystyczna	$N_{Rk,s}$	[kN]										$A_s \cdot f_{uk}^{2)}$	
Nośność charakterystyczna Pręt zbrojeniowy B500B zgodnie z DIN 488-1	$N_{Rk,s}$	[kN]	28	43	62	85	111	173	270	292	339	388	422
Współczynnik częściowy	$\gamma_{Ms,N}^{3)}$	[-]										1,4	
Zniszczenie przez wyłamanie stożka betonu													
Współczynnik dla betonu niezarysowanego	$k_{ucr,N}$	[-]										11,0	
Współczynnik dla betonu zarysowanego	$k_{cr,N}$	[-]										7,7	
Odległość od krawędzi	$c_{cr,N}$	[mm]										$1,5 \cdot h_{ef}$	
Rozstaw kotew	$s_{cr,N}$	[mm]										$3,0 \cdot h_{ef}$	
Zniszczenie przez rozłupanie dotyczące betonu niezarysowanego													
Odległość od krawędzi $c_{cr,sp}$ [mm] dla	$h / h_{ef} \geq 2,0$											$1,0 \cdot h_{ef}$	
	$2,0 > h / h_{ef} > 1,3$											$4,6 \cdot h_{ef} - 1,8 \cdot h$	
	$h / h_{ef} \leq 1,3$											$2,26 \cdot h_{ef}$	
Rozstaw kotew	$s_{cr,sp}$	[mm]										$2 \cdot c_{cr,sp}$	



- 1) Nie oceniano właściwości użytkowych.
2) f_{uk} zgodnie ze specyfikacją pręta zbrojeniowego.
3) W przypadku braku przepisów krajowych.

System iniekcyjny Hilti HIT-HY 200-A V3 oraz HIT-HY 200-R V3

Właściwości użytkowe
Zasadnicze charakterystyki przy obciążeniu rozciągającym w betonie

Załącznik C12

Tłumaczenie na język angielski opracowane przez DIBt
Tłumaczenie z języka angielskiego na język polski wykonano na zlecenie Hilti

Tabela C7: ciąg dalszy

Pręt zbrojeniowy	φ8	φ10	φ12	φ14	φ16	φ20	φ25	φ26	φ28	φ30	φ32
Średnica pręta zbrojeniowego d [mm]	8	10	12	14	16	20	25	26	28	30	32
Połączone zniszczenie przez wyciągnięcie kotwy oraz przez wyłamanie stożka betonu dla okresu użytkowania 50 lat											
Nośność charakterystyczna wiązania w betonie niezarysowanym C20/25 w przypadku montażu w betonie suchym lub mokrym (nasyconym wodą), wszystkie metody wiercenia (HD, HDB, DD + RT)											
Zakres temperatur I: 24 °C / 40 °C	$\tau_{RK,ucr}$	[N/mm ²]					12				
Zakres temperatur II: 50 °C / 80 °C	$\tau_{RK,ucr}$	[N/mm ²]					10				
Zakres temperatur III: 72 °C / 120 °C	$\tau_{RK,ucr}$	[N/mm ²]					8,5				
Nośność charakterystyczna wiązania w betonie zarysowanym C20/25 w przypadku montażu w betonie suchym lub mokrym (nasyconym wodą), wszystkie metody wiercenia (HD, HDB, DD + RT)											
Zakres temperatur I: 24 °C / 40 °C	$\tau_{RK,cr}$	[N/mm ²]	¹⁾	5,0			7				
Zakres temperatur II: 50 °C / 80 °C	$\tau_{RK,cr}$	[N/mm ²]	¹⁾	4,0			5,5				
Zakres temperatur III: 72 °C / 120 °C	$\tau_{RK,cr}$	[N/mm ²]	¹⁾	3,5			5				
Nośność charakterystyczna wiązania w betonie niezarysowanym C20/25 w przypadku montażu w otworach wypełnionych wodą (nie wodą morską), HD i HDB											
Zakres temperatur I: 24 °C / 40 °C	$\tau_{RK,ucr}$	[N/mm ²]					11,4				
Zakres temperatur II: 50 °C / 80 °C	$\tau_{RK,ucr}$	[N/mm ²]					9,3				
Zakres temperatur III: 72 °C / 120 °C	$\tau_{RK,ucr}$	[N/mm ²]					8,1				
Nośność charakterystyczna wiązania w betonie zarysowanym C20/25 w przypadku montażu w otworach wypełnionych wodą (nie wodą morską), HD i HDB											
Zakres temperatur I: 24 °C / 40 °C	$\tau_{RK,cr}$	[N/mm ²]					6,5				
Zakres temperatur II: 50 °C / 80 °C	$\tau_{RK,cr}$	[N/mm ²]					5,2				
Zakres temperatur III: 72 °C / 120 °C	$\tau_{RK,cr}$	[N/mm ²]					4,5				
Czynniki wpływające ψ na nośność wiązania τ_{RK} w betonie zarysowanym i niezarysowanym											
Wpływ klasy wytrzymałości betonu: $\tau_{RK} = \tau_{RK,(C20/25)} \cdot \psi_c$											
Zakres temperatur I do III:	ψ_c	[-]					$(f_{ck}/20)^{0,1}$				
Wpływ obciążenia długotrwałego											
Zakres temperatur I: 24 °C / 40 °C	ψ_{sus}^0	[-]					0,74				
Zakres temperatur II: 50 °C / 80 °C	ψ_{sus}^0	[-]					0,89				
Zakres temperatur III: 72 °C / 120 °C	ψ_{sus}^0	[-]					0,72				

System iniekcyjny Hilti HIT-HY 200-A V3 oraz HIT-HY 200-R V3

Właściwości użytkowe

Zasadnicze charakterystyki przy obciążeniu rozciągającym w betonie

Załącznik C13

Tłumaczenie na język angielski opracowane przez DIBt
Tłumaczenie z języka angielskiego na język polski wykonano na zlecenie Hilti

Tabela C7: ciąg dalszy

Pręt zbrojeniowy	φ8	φ10	φ12	φ14	φ16	φ20	φ25	φ26	φ28	φ30	φ32
Średnica pręta zbrojeniowego d [mm]	8	10	12	14	16	20	25	26	28	30	32
Połączone zniszczenie przez wyciągnięcie kotwy oraz przez wyłamanie stożka betonu dla okresu użytkowania 100 lat											
Nośność charakterystyczna wiązania w betonie niezarysowanym C20/25 w przypadku montażu w betonie suchym lub mokrym (nasyconym wodą), wszystkie metody wiercenia (HD, HDB, DD + RT)											
Zakres temperatur I: 24 °C / 40 °C	$\tau_{RK,ucr,100}$ [N/mm ²]										12
Zakres temperatur II: 50 °C / 80 °C	$\tau_{RK,ucr,100}$ [N/mm ²]										10
Zakres temperatur III: 72 °C / 120 °C	$\tau_{RK,ucr,100}$ [N/mm ²]										8,5
Nośność charakterystyczna wiązania w betonie zarysowanym C20/25 w przypadku montażu w betonie suchym lub mokrym (nasyconym wodą), wszystkie metody wiercenia (HD, HDB, DD + RT)											
Zakres temperatur I: 24 °C / 40 °C	$\tau_{RK,cr,100}$ [N/mm ²]	¹⁾	5,0								7,0
Zakres temperatur II: 50 °C / 80 °C	$\tau_{RK,cr,100}$ [N/mm ²]	¹⁾	4,0								5,5
Zakres temperatur III: 72 °C / 120 °C	$\tau_{RK,cr,100}$ [N/mm ²]	¹⁾	3,5								5,0
Nośność charakterystyczna wiązania w betonie niezarysowanym C20/25 w przypadku montażu w otworach wypełnionych wodą (nie wodą morską), HD i HDB											
Zakres temperatur I: 24 °C / 40 °C	$\tau_{RK,ucr,100}$ [N/mm ²]	¹⁾							11,4		
Zakres temperatur II: 50 °C / 80 °C	$\tau_{RK,ucr,100}$ [N/mm ²]	¹⁾							9,3		
Zakres temperatur III: 72 °C / 120 °C	$\tau_{RK,ucr,100}$ [N/mm ²]	¹⁾							8,1		
Nośność charakterystyczna wiązania w betonie zarysowanym C20/25 w przypadku montażu w otworach wypełnionych wodą (nie wodą morską), HD i HDB											
Zakres temperatur I: 24 °C / 40 °C	$\tau_{RK,cr,100}$ [N/mm ²]	¹⁾	4,6								6,5
Zakres temperatur II: 50 °C / 80 °C	$\tau_{RK,cr,100}$ [N/mm ²]	¹⁾	3,7								5,2
Zakres temperatur III: 72 °C / 120 °C	$\tau_{RK,cr,100}$ [N/mm ²]	¹⁾	3,2								4,5
Czynniki wpływające ψ na nośność wiązania τ_{RK} w betonie zarysowanym i niezarysowanym											
Wpływ klasy wytrzymałości betonu: $\tau_{RK} = \tau_{RK,(C20/25)} \cdot \psi_c$											
Zakres temperatur I do III:	ψ_c [-]										$(f_{ck}/20)^{0,1}$
Wpływ obciążenia długotrwałego											
Zakres temperatur I: 24 °C / 40 °C	$\psi_{sus,100}^0$ [-]										0,71
Zakres temperatur II: 50 °C / 80 °C	$\psi_{sus,100}^0$ [-]										0,86
Zakres temperatur III: 72 °C / 120 °C	$\psi_{sus,100}^0$ [-]										0,80

¹⁾ Nie oceniano właściwości użytkowych.

System iniekcyjny Hilti HIT-HY 200-A V3 oraz HIT-HY 200-R V3

Właściwości użytkowe

Zasadnicze charakterystyki przy obciążeniu rozciągającym w betonie

Załącznik C14

Tłumaczenie na język angielski opracowane przez DIBt
Tłumaczenie z języka angielskiego na język polski wykonano na zlecenie Hilti

Tabela C8: Zasadnicze charakterystyki pręta zbrojeniowego przy obciążeniu ścinającym w betonie

Pręt zbrojeniowy		φ8	φ10	φ12	φ14	φ16	φ20	φ25	φ26	φ28	φ30	φ32	
Dla okresu użytkowania 50 i 100 lat													
Zniszczenie stali bez oddziaływania momentu zginającego													
Nośność charakterystyczna	$V_{Rk,s}^0$	$0,5 \cdot A_s \cdot f_{uk}^{1)}$											
Nośność charakterystyczna Pręt zbrojeniowy B500B zgodnie z DIN 488-1	$V_{Rk,s}^0$	[kN]	14	22	31	42	55	86	135	146	169	194	221
Współczynnik częściowy	$\gamma_{Ms,V}^{2)}$	[-]	1,5										
Współczynnik ciągliwości	k_7	[-]	1,0										
Zniszczenie stali z oddziaływaniem momentu zginającego													
Nośność charakterystyczna HZA	$M_{Rk,s}^0$	[Nm]	$1,2 \cdot W_{el} \cdot f_{uk}^{1)}$										
Nośność charakterystyczna Pręt zbrojeniowy B500B zgodnie z DIN 488-1	$M_{Rk,s}^0$	[Nm]	33	65	112	178	265	518	1012	1139	1422	1749	2123
Współczynnik ciągliwości	k_7	[-]	1,0										
Zniszczenie przez podważenie betonu													
Współczynnik dla podważenia	k_8	[-]	2,0										
Zniszczenie krawędzi betonu													
Efektywna długość łącznika	l_f	[mm]	$\min(h_{ef}; 12 \cdot d_{nom})$					$\min(h_{nom}; 8 \cdot d_{nom}; 300)$					
Średnica zewnętrzna łącznika	d_{nom}	[mm]	8	10	12	14	16	20	25	26	28	30	32

1) f_{uk} zgodnie ze specyfikacją pręta zbrojeniowego.

2) W przypadku braku przepisów krajowych.

System iniekcyjny Hilti HIT-HY 200-A V3 oraz HIT-HY 200-R V3

Właściwości użytkowe

Zasadnicze charakterystyki przy obciążeniu ścinającym w betonie

Załącznik C15

Tłumaczenie na język angielski opracowane przez DIBt
Tłumaczenie z języka angielskiego na język polski wykonano na zlecenie Hilti

Tabela C9: Przemieszczenia przy obciążeniu rozciągającym

Pręty gwintowane zgodnie z Załącznikiem A		M8	M10	M12	M16	M20	M24	M27	M30
Zakres temperatur I - beton niezarysowany: 24°C / 40°C									
Przemieszczenie	δ_{N0} [mm/(N/mm ²)]	0,02	0,03	0,03	0,04	0,06	0,07	0,07	0,08
	$\delta_{N\infty}$ [mm/(N/mm ²)]	0,04	0,05	0,06	0,08	0,10	0,13	0,14	0,16
Zakres temperatur II - beton niezarysowany: 50°C / 80°C									
Przemieszczenie	δ_{N0} [mm/(N/mm ²)]	0,03	0,04	0,05	0,06	0,08	0,09	0,10	0,12
	$\delta_{N\infty}$ [mm/(N/mm ²)]	0,04	0,05	0,06	0,09	0,11	0,13	0,15	0,16
Zakres temperatur III - beton niezarysowany: 72°C / 120°C									
Przemieszczenie	δ_{N0} [mm/(N/mm ²)]	0,04	0,05	0,06	0,08	0,10	0,12	0,13	0,16
	$\delta_{N\infty}$ [mm/(N/mm ²)]	0,04	0,05	0,07	0,09	0,11	0,13	0,15	0,17
Zakres temperatur I - beton zarysowany: 24°C / 40°C									
Przemieszczenie	δ_{N0} [mm/(N/mm ²)]							0,07	
	$\delta_{N\infty}$ [mm/(N/mm ²)]							0,16	
Zakres temperatur II - beton zarysowany: 50°C / 80°C									
Przemieszczenie	δ_{N0} [mm/(N/mm ²)]							0,10	
	$\delta_{N\infty}$ [mm/(N/mm ²)]							0,22	
Zakres temperatur III - beton zarysowany: 72°C / 120°C									
Przemieszczenie	δ_{N0} [mm/(N/mm ²)]							0,13	
	$\delta_{N\infty}$ [mm/(N/mm ²)]							0,29	

Tabela C10: Przemieszczenia przy obciążeniu ścinającym

Pręty gwintowane zgodnie z Załącznikiem A		M8	M10	M12	M16	M20	M24	M27	M30
Przemieszczenie	δ_{V0} [mm/kN]	0,06	0,06	0,05	0,04	0,04	0,03	0,03	0,03
	$\delta_{V\infty}$ [mm/kN]	0,09	0,08	0,08	0,06	0,06	0,05	0,05	0,05

System iniekcyjny Hilti HIT-HY 200-A V3 oraz HIT-HY 200-R V3

Właściwości użytkowe

Przemieszczenia w przypadku pręta gwintowanego, HAS-U-..., HIT-V-... oraz AM 8.8

Załącznik C16

Tłumaczenie na język angielski opracowane przez DIBt
Tłumaczenie z języka angielskiego na język polski wykonano na zlecenie Hilti

Tabela C11: Przeszczenia przy obciążeniu rozciągającym

HIS-(R)N		M8	M10	M12	M16	M20
Zakres temperatur I - beton niezarysowany: 24°C / 40°C						
Przeszczenie	δ_{N0} [mm/(N/mm ²)]	0,03	0,05	0,06	0,07	0,08
	$\delta_{N\infty}$ [mm/(N/mm ²)]	0,06	0,09	0,11	0,13	0,14
Zakres temperatur II - beton niezarysowany: 50°C / 80°C						
Przeszczenie	δ_{N0} [mm/(N/mm ²)]	0,05	0,06	0,08	0,10	0,11
	$\delta_{N\infty}$ [mm/(N/mm ²)]	0,07	0,09	0,11	0,13	0,15
Zakres temperatur III - beton niezarysowany: 72°C / 120°C						
Przeszczenie	δ_{N0} [mm/(N/mm ²)]	0,06	0,08	0,10	0,13	0,14
	$\delta_{N\infty}$ [mm/(N/mm ²)]	0,07	0,09	0,11	0,14	0,15
Zakres temperatur I - beton zarysowany: 24°C / 40°C						
Przeszczenie	δ_{N0} [mm/(N/mm ²)]				0,11	
	$\delta_{N\infty}$ [mm/(N/mm ²)]				0,16	
Zakres temperatur II - beton zarysowany: 50°C / 80°C						
Przeszczenie	δ_{N0} [mm/(N/mm ²)]				0,15	
	$\delta_{N\infty}$ [mm/(N/mm ²)]				0,22	
Zakres temperatur III - beton zarysowany: 72°C / 120°C						
Przeszczenie	δ_{N0} [mm/(N/mm ²)]				0,20	
	$\delta_{N\infty}$ [mm/(N/mm ²)]				0,29	

Tabela C12: Przeszczenia przy obciążeniu ścinającym

HIS-(R)N		M8	M10	M12	M16	M20
Przeszczenie	δ_{V0} [mm/kN]	0,06	0,06	0,05	0,04	0,04
	$\delta_{V\infty}$ [mm/kN]	0,09	0,08	0,08	0,06	0,06

System iniekcyjny Hilti HIT-HY 200-A V3 oraz HIT-HY 200-R V3

Właściwości użytkowe
Przeszczenia w przypadku HIS-(R)N

Załącznik C17

Tłumaczenie na język angielski opracowane przez DIBt
Tłumaczenie z języka angielskiego na język polski wykonano na zlecenie Hilti

Tabela C13: Przemieszczenia przy obciążeniu rozciągającym

Kotwa naprężeniowa Hilti HZA, HZA-R		M12	M16	M20	M24	M27
Zakres temperatur I - beton niezarysowany: 24°C / 40°C						
Przemieszczenie	δ_{N0} [mm/(N/mm ²)]	0,03	0,04	0,06	0,07	0,08
	$\delta_{N\infty}$ [mm/(N/mm ²)]	0,06	0,08	0,13	0,13	0,15
Zakres temperatur II - beton niezarysowany: 50°C / 80°C						
Przemieszczenie	δ_{N0} [mm/(N/mm ²)]	0,05	0,06	0,08	0,10	0,11
	$\delta_{N\infty}$ [mm/(N/mm ²)]	0,06	0,09	0,14	0,14	0,15
Zakres temperatur III - beton niezarysowany: 72°C / 120°C						
Przemieszczenie	δ_{N0} [mm/(N/mm ²)]	0,06	0,08	0,10	0,12	0,14
	$\delta_{N\infty}$ [mm/(N/mm ²)]	0,07	0,09	0,14	0,14	0,16
Zakres temperatur I - beton zarysowany: 24°C / 40°C						
Przemieszczenie	δ_{N0} [mm/(N/mm ²)]	0,11				
	$\delta_{N\infty}$ [mm/(N/mm ²)]	0,16				
Zakres temperatur II - beton zarysowany: 50°C / 80°C						
Przemieszczenie	δ_{N0} [mm/(N/mm ²)]	0,15				
	$\delta_{N\infty}$ [mm/(N/mm ²)]	0,22				
Zakres temperatur III - beton zarysowany: 72°C / 120°C						
Przemieszczenie	δ_{N0} [mm/(N/mm ²)]	0,20				
	$\delta_{N\infty}$ [mm/(N/mm ²)]	0,29				

Tabela C14: Przemieszczenia przy obciążeniu ścinającym

Kotwa naprężeniowa Hilti HZA, HZA-R		M12	M16	M20	M24	M27
Przemieszczenie	δ_{V0} [mm/kN]	0,05	0,04	0,04	0,03	0,03
	$\delta_{V\infty}$ [mm/kN]	0,08	0,06	0,06	0,05	0,05

System iniekcyjny Hilti HIT-HY 200-A V3 oraz HIT-HY 200-R V3

Właściwości użytkowe
Przemieszczenia w przypadku HZA oraz HZA-R

Załącznik C18

Tłumaczenie na język angielski opracowane przez DIBt
Tłumaczenie z języka angielskiego na język polski wykonano na zlecenie Hilti

Tabela C15: Przeszczenia przy obciążeniu rozciągającym

Pręt zbrojeniowy		φ8	φ10	φ12	φ14	φ16	φ20	φ25	φ26	φ28	φ30	φ32	
Zakres temperatur I - beton niezarysowany: 24°C / 40°C													
Przeszczenie	δ_{N0} [mm/(N/mm ²)]	0,02	0,03	0,03	0,04	0,04	0,06	0,07	0,08	0,08	0,09	0,09	
	$\delta_{N\infty}$ [mm/(N/mm ²)]	0,04	0,05	0,06	0,07	0,08	0,10	0,13	0,14	0,15	0,16	0,17	
Zakres temperatur II - beton niezarysowany: 50°C / 80°C													
Przeszczenie	δ_{N0} [mm/(N/mm ²)]	0,03	0,04	0,05	0,05	0,06	0,08	0,10	0,11	0,11	0,12	0,12	
	$\delta_{N\infty}$ [mm/(N/mm ²)]	0,04	0,05	0,06	0,07	0,09	0,11	0,14	0,15	0,15	0,16	0,17	
Zakres temperatur III - beton niezarysowany: 72°C / 120°C													
Przeszczenie	δ_{N0} [mm/(N/mm ²)]	0,04	0,05	0,06	0,07	0,08	0,10	0,12	0,13	0,14	0,15	0,16	
	$\delta_{N\infty}$ [mm/(N/mm ²)]	0,04	0,05	0,07	0,08	0,09	0,11	0,14	0,15	0,16	0,17	0,18	
Zakres temperatur I - beton zarysowany: 24°C / 40°C													
Przeszczenie	δ_{N0} [mm/(N/mm ²)]							0,11					
	$\delta_{N\infty}$ [mm/(N/mm ²)]							0,16					
Zakres temperatur II - beton zarysowany: 50°C / 80°C													
Przeszczenie	δ_{N0} [mm/(N/mm ²)]							0,15					
	$\delta_{N\infty}$ [mm/(N/mm ²)]							0,22					
Zakres temperatur III - beton zarysowany: 72°C / 120°C													
Przeszczenie	δ_{N0} [mm/(N/mm ²)]							0,20					
	$\delta_{N\infty}$ [mm/(N/mm ²)]							0,29					

Tabela C16: Przeszczenia przy obciążeniu ścinającym

Pręt zbrojeniowy		φ8	φ10	φ12	φ14	φ16	φ20	φ25	φ26	φ28	φ30	φ32
Przeszczenie	δ_{V0} [mm/kN]	0,06	0,05	0,05	0,04	0,04	0,04	0,03	0,03	0,03	0,03	0,03
	$\delta_{V\infty}$ [mm/kN]	0,09	0,08	0,07	0,06	0,06	0,05	0,05	0,05	0,04	0,04	0,04

System iniekcyjny Hilti HIT-HY 200-A V3 oraz HIT-HY 200-R V3

Właściwości użytkowe
Przeszczenia w przypadku pręta zbrojeniowego

Załącznik C19

Tłumaczenie na język angielski opracowane przez DIBt
Tłumaczenie z języka angielskiego na język polski wykonano na zlecenie Hilti

Tabela C17: Zasadnicze charakterystyki prętów gwintowanych zgodnie z Załącznikiem A przy obciążeniu rozciągającym dla kategorii wytrzymałości sejsmicznej C1

Pręty gwintowane zgodnie z Załącznikiem A	M10	M12	M16	M20	M24	M27	M30
Dla okresu użytkowania 50 i 100 lat							
Zniszczenie stali							
Nośność charakterystyczna	$N_{Rk,s,C1}$ [kN]			$A_s \cdot f_{uk}$			
Połączone zniszczenie przez wyciągnięcie kotwy oraz przez wyłamanie stożka betonu dla okresu użytkowania 50 lat							
Nośność charakterystyczna wiązania w betonie zarysowanym C20/25							
Zakres temperatur I: 24 °C / 40 °C	$\tau_{Rk,C1}$ [N/mm ²]	5,2					7,0
Zakres temperatur II: 50 °C / 80 °C	$\tau_{Rk,C1}$ [N/mm ²]	3,9					5,7
Zakres temperatur III: 72 °C / 120 °C	$\tau_{Rk,C1}$ [N/mm ²]	3,5					4,8
Połączone zniszczenie przez wyciągnięcie kotwy oraz przez wyłamanie stożka betonu dla okresu użytkowania 100 lat							
Nośność charakterystyczna wiązania w betonie zarysowanym C20/25							
Zakres temperatur I: 24 °C / 40 °C	$\tau_{Rk,100,C1}$ [N/mm ²]	4,5					6,3
Zakres temperatur II: 50 °C / 80 °C	$\tau_{Rk,100,C1}$ [N/mm ²]	3,7					5,2
Zakres temperatur III: 72 °C / 120 °C	$\tau_{Rk,100,C1}$ [N/mm ²]	3,1					4,4
Czynniki wpływające ψ na nośność wiązania $\tau_{Rk,C1}$ oraz $\tau_{Rk,100,C1}$ w betonie zarysowanym							
Wpływ klasy wytrzymałości betonu: $\tau_{Rk} = \tau_{Rk,(C20/25)} \cdot \psi_c$							
Zakres temperatur I do III:	ψ_c [-]						1,0

Tabela C18: Zasadnicze charakterystyki prętów gwintowanych zgodnie z Załącznikiem A przy obciążeniu ścinającym dla kategorii wytrzymałości sejsmicznej C1

Pręty gwintowane zgodnie z Załącznikiem A	M10	M12	M16	M20	M24	M27	M30
Dla okresu użytkowania 50 i 100 lat							
Współczynnik dla przestrzeni pierścieniowej bez zestawu wypełniającego Hilti	α_{gap} [-]				0,5		
Współczynnik dla przestrzeni pierścieniowej z zestawem wypełniającym Hilti	α_{gap} [-]		1,0				1)
Zniszczenie stali bez oddziaływania momentu zginającego							
Nośność charakterystyczna HAS 5.8, HAS-U 5.8, HIT-V 5.8	$V_{Rk,s,C1}$ [kN]				$0,60 \cdot A_s \cdot f_{uk}$		
Nośność charakterystyczna HAS 8.8, HAS-U 8.8, HIT-V 8.8, AM 8.8	$V_{Rk,s,C1}$ [kN]				$0,50 \cdot A_s \cdot f_{uk}$		
Nośność charakterystyczna HAS A4, HAS-U A4, HIT-V-R HAS-U HCR, HIT-V-HCR	$V_{Rk,s,C1}$ [kN]				$0,50 \cdot A_s \cdot f_{uk}$		
Nośność charakterystyczna Standardowe dostępne na rynku pręty gwintowane	$V_{Rk,s,C1}$ [kN]				$0,35 \cdot A_s \cdot f_{uk}$		

1) Nie oceniano właściwości użytkowych.

System iniekcyjny Hilti HIT-HY 200-A V3 oraz HIT-HY 200-R V3

Właściwości użytkowe

Zasadnicze charakterystyki przy obciążeniu rozciągającym i ścinającym dla kategorii wytrzymałości sejsmicznej C1

Załącznik C20

Tłumaczenie na język angielski opracowane przez DIBt
Tłumaczenie z języka angielskiego na język polski wykonano na zlecenie Hilti

Tabela C19: Zasadnicze charakterystyki kotwy naprężeniowej Hilti HZA, HZA-R przy obciążeniu rozciągającym dla kategorii wytrzymałości sejsmicznej C1

Kotwa naprężeniowa Hilti HZA, HZA-R		M12	M16	M20	M24	M27	
Dla okresu użytkowania 50 i 100 lat							
Zniszczenie stali							
Nośność charakterystyczna HZA	$N_{Rk,s,C1}$	[kN]	46	86	135	194	253
Nośność charakterystyczna HZA-R	$N_{Rk,s,C1}$	[kN]	62	111	173	248	¹⁾
Współczynnik częściowy	$\gamma_{Ms,N,C1}^{2)}$	[-]	1,4				
Połączone zniszczenie przez wyciągnięcie kotwy oraz przez wyłamanie stożka betonu							
Średnica pręta zbrojenowego	d	[mm]	12	16	20	25	28
Nośność charakterystyczna wiązania w betonie zarysowanym C20/25							
Zakres temperatur I: 24 °C / 40 °C	$\tau_{Rk,C1} = \tau_{Rk,100,C1}$	[N/mm ²]	6,1				
Zakres temperatur II: 50 °C / 80 °C	$\tau_{Rk,C1} = \tau_{Rk,100,C1}$	[N/mm ²]	4,8				
Zakres temperatur III: 72 °C / 120 °C	$\tau_{Rk,C1} = \tau_{Rk,100,C1}$	[N/mm ²]	4,4				
Czynniki wpływające ψ na nośność wiązania $\tau_{Rk,C1}$ oraz $\tau_{Rk,100,C1}$ w betonie zarysowanym							
Wpływ klasy wytrzymałości betonu: $\tau_{Rk} = \tau_{Rk,(C20/25)} \cdot \psi_c$							
Zakres temperatur I do III:	ψ_c	[-]	1,0				

¹⁾ Nie oceniano właściwości użytkowych.

²⁾ W przypadku braku przepisów krajowych.

Tabela C20: Zasadnicze charakterystyki kotwy naprężeniowej Hilti HZA, HZA-R przy obciążeniu ścinającym dla kategorii wytrzymałości sejsmicznej C1

Kotwa naprężeniowa Hilti HZA, HZA-R		M12	M16	M20	M24	M27	
Dla okresu użytkowania 50 i 100 lat							
Współczynnik dla przestrzeni pierścieniowej bez zestawu wypełniającego Hilti	α_{gap}	[-]	0,5				
Współczynnik dla przestrzeni pierścieniowej z zestawem wypełniającym Hilti	α_{gap}	[-]	1,0				¹⁾
Zniszczenie stali bez oddziaływania momentu zginającego							
Nośność charakterystyczna HZA	$V_{Rk,s,C1}$	[kN]	16	30	47	68	88
Nośność charakterystyczna HZA-R	$V_{Rk,s,C1}$	[kN]	22	39	60	124	¹⁾
Współczynnik częściowy	$\gamma_{Ms,V,C1}^{2)}$	[-]	1,5				

¹⁾ Nie oceniano właściwości użytkowych.

²⁾ W przypadku braku przepisów krajowych.

System iniekcyjny Hilti HIT-HY 200-A V3 oraz HIT-HY 200-R V3

Właściwości użytkowe

Zasadnicze charakterystyki przy obciążeniu rozciągającym i ścinającym dla kategorii wytrzymałości sejsmicznej C1

Załącznik C21

Tłumaczenie na język angielski opracowane przez DIBt
Tłumaczenie z języka angielskiego na język polski wykonano na zlecenie Hilti

Tabela C21: Zasadnicze charakterystyki pręta zbrojeniowego przy obciążeniu rozciągającym dla kategorii wytrzymałości sejsmicznej C1

Pręt zbrojeniowy		φ10	φ12	φ14	φ16	φ20	φ25	φ26	φ28	φ30	φ32	
Dla okresu użytkowania 50 i 100 lat												
Zniszczenie stali												
Nośność charakterystyczna	$N_{Rk,s,C1}$	[kN]	$A_s \cdot f_{uk}^{1)}$									
Nośność charakterystyczna pręta zbrojeniowego B500B zgodnie z DIN 488:-1	$N_{Rk,s,C1}$	[kN]	43	62	85	111	173	270	292	339	388	442
Połączone zniszczenie przez wyciągnięcie kotwy oraz przez wyłamanie stożka betonu												
Średnica pręta zbrojeniowego	d	[mm]	10	12	14	16	20	25	26	28	30	32
Nośność charakterystyczna wiązania w betonie zarysowanym C20/25												
Zakres temperatur I: 24 °C / 40 °C	$\tau_{Rk,C1} = \tau_{Rk,100,C1}$	[N/mm ²]	4,4				6,1					
Zakres temperatur II: 50 °C / 80 °C	$\tau_{Rk,C1} = \tau_{Rk,100,C1}$	[N/mm ²]	3,5				4,8					
Zakres temperatur III: 72 °C / 120 °C	$\tau_{Rk,C1} = \tau_{Rk,100,C1}$	[N/mm ²]	3				4,4					
Czynniki wpływające ψ na nośność wiązania $\tau_{Rk,C1}$ oraz $\tau_{Rk,100,C1}$ w betonie zarysowanym												
Wpływ klasy wytrzymałości betonu: $\tau_{Rk} = \tau_{Rk,(C20/25)} \cdot \psi_c$												
Zakres temperatur I do III:	ψ_c	[-]	1,0									

¹⁾ f_{uk} zgodnie ze specyfikacją pręta zbrojeniowego.

Tabela C22: Zasadnicze charakterystyki pręta zbrojeniowego przy obciążeniu ścinającym dla kategorii wytrzymałości sejsmicznej C1

Pręt zbrojeniowy		φ10	φ12	φ14	φ16	φ20	φ25	φ26	φ28	φ30	φ32	
Dla okresu użytkowania 50 i 100 lat												
Współczynnik dla przestrzeni pierścieniowej bez zestawu wypełniającego Hilti	α_{gap}	[-]	0,5									
Zniszczenie stali bez oddziaływania momentu zginającego												
Nośność charakterystyczna	$V_{Rk,s,C1}$	[kN]	$0,35 \cdot A_s \cdot f_{uk}^{1)}$									
Nośność charakterystyczna pręta zbrojeniowego B500B zgodnie z DIN 488:-1	$V_{Rk,s,C1}$	[kN]	15	22	29	39	60	95	102	118	135	155

¹⁾ f_{uk} zgodnie ze specyfikacją pręta zbrojeniowego.

System iniekcyjny Hilti HIT-HY 200-A V3 oraz HIT-HY 200-R V3

Właściwości użytkowe

Zasadnicze charakterystyki przy obciążeniu rozciągającym i ścinającym dla kategorii wytrzymałości sejsmicznej C1

Załącznik C22

Tłumaczenie na język angielski opracowane przez DIBt
Tłumaczenie z języka angielskiego na język polski wykonano na zlecenie Hilti

Tabela C23: Zasadnicze charakterystyki prętów gwintowanych zgodnie z Załącznikiem A przy obciążeniu rozciągającym dla kategorii wytrzymałości sejsmicznej C2

Pręty gwintowane zgodnie z Załącznikiem A	M12	M16	M20	M24
Dla okresu użytkowania 50 i 100 lat				
Zniszczenie stali				
Nośność charakterystyczna HAS (8.8, 8.8 HDG, A4), HAS-U (-8.8, -8.8 HDG, A4, HCR), HIT-V (-8.8, -8.8 F, -,R, HCR), AM (8.8, 8.8 HDG) Pręt gwintowany (ocynk galwaniczny 8.8, CRC II, CRC III i CRC V, Tabela A1)	$N_{Rk,s,C2}$ [kN]	$A_s \cdot f_{uk}$		
Połączone zniszczenie przez wyciągnięcie kotwy oraz przez wyłamanie stożka betonu				
Nośność charakterystyczna wiązania w betonie zarysowanym C20/25 w otworach wierconych udarowo i otworach wierconych udarowo wiertłem rurowym Hilti TE-CD lub TE-YD				
Zakres temperatur I: 24 °C / 40 °C $\tau_{Rk,C2} = \tau_{Rk,100,C2}$ [N/mm ²]	2,7	4,6	3,5	
Zakres temperatur II: 50 °C / 80 °C $\tau_{Rk,C2} = \tau_{Rk,100,C2}$ [N/mm ²]	2,3	3,9	2,9	
Zakres temperatur III: 72 °C / 120 °C $\tau_{Rk,C2} = \tau_{Rk,100,C2}$ [N/mm ²]	2,0	3,3	2,5	
Czynniki wpływające ψ na nośność wiązania $\tau_{Rk,C2}$ oraz $\tau_{Rk,100,C2}$ w betonie zarysowanym				
Wpływ klasy wytrzymałości betonu: $\tau_{Rk} = \tau_{Rk,(C20/25)} \cdot \psi_c$				
Zakres temperatur I do III:	ψ_c	[-]		1,0

Tabela C24: Zasadnicze charakterystyki prętów gwintowanych zgodnie z Załącznikiem A przy obciążeniu ścinającym dla kategorii wytrzymałości sejsmicznej C2

Pręty gwintowane zgodnie z Załącznikiem A	M12	M16	M20	M24	
Dla okresu użytkowania 50 i 100 lat					
Współczynnik dla przestrzeni pierścieniowej bez zestawu wypełniającego Hilti	α_{gap} [-]	0,5			
Współczynnik dla przestrzeni pierścieniowej z zestawem wypełniającym Hilti	α_{gap} [-]	1,0			
Zniszczenie stali bez oddziaływania momentu zginającego, z użyciem zestawu wypełniającego Hilti					
Nośność charakterystyczna HAS 8.8, HAS-U 8.8, HIT-V 8.8, AM 8.8	$V_{Rk,s,C2}$ [kN]	28	46	77	103
Zniszczenie stali bez oddziaływania momentu zginającego, bez użycia zestawu wypełniającego Hilti					
Nośność charakterystyczna HAS 8.8, HAS-U 8.8, HIT-V 8.8, AM 8.8	$V_{Rk,s,C2}$ [kN]	24	40	71	90
HAS A4, HAS-U A4, HIT-V-R	$V_{Rk,s,C2}$ [kN]	21	35	62	79
HAS-U-HCR, HIT-V-HCR	$V_{Rk,s,C2}$ [kN]	24	40	71	79
HAS 8.8 HDG, HAS-U 8.8 HDG, HIT-V-F 8.8, AM-HDG 8.8	$V_{Rk,s,C2}$ [kN]	18	30	46	66
Pręt gwintowany, ocynk galwaniczny 8.8	$V_{Rk,s,C2}$ [kN]	17	28	50	63
Pręt gwintowany, CRC II i CRC III (Tabela A1)	$V_{Rk,s,C2}$ [kN]	15	25	43	55
Pręt gwintowany CRC V (Tabela A1)	$V_{Rk,s,C2}$ [kN]	17	28	50	55

System iniekcyjny Hilti HIT-HY 200-A V3 oraz HIT-HY 200-R V3

Właściwości użytkowe

Zasadnicze charakterystyki przy obciążeniu rozciągającym i ścinającym dla kategorii wytrzymałości sejsmicznej C2

Załącznik C23

Tłumaczenie na język angielski opracowane przez DIBt
Tłumaczenie z języka angielskiego na język polski wykonano na zlecenie Hilti

Tabela C25: Przeszacowania przy obciążeniu rozciągającym dla kategorii wytrzymałości sejsmicznej C2

Pręty gwintowane zgodnie z Załącznikiem A	M12	M16	M20	M24	
Przeszacowanie DLS, HAS (8.8, 8.8 HDG, A4), HAS-U (-8.8, -8.8 HDG, A4, HCR), HIT-V (-8.8, -8.8 F, -,R, HCR), AM (8.8, 8.8 HDG), Pręt gwintowany (ocynk galwaniczny 8.8, CRC II, CRC III i CRC V, Tabela A1)	$\delta_{N,C2(DLS)}$ [mm]	0,3	0,4	0,5	0,4
Przeszacowanie ULS, HAS (8.8, 8.8 HDG, A4), HAS-U (-8.8, -8.8 HDG, A4, HCR), HIT-V (-8.8, -8.8 F, -,R, HCR), AM (8.8, 8.8 HDG), Pręt gwintowany (ocynk galwaniczny 8.8, CRC II, CRC III i CRC V, Tabela A1)	$\delta_{N,C2(ULS)}$ [mm]	1,2	1,1	0,7	0,9

Tabela C26: Przeszacowania przy obciążeniu ścinającym dla kategorii wytrzymałości sejsmicznej C2

Pręty gwintowane zgodnie z Załącznikiem A	M12	M16	M20	M24	
Montaż z użyciem zestawu wypełniającego Hilti					
Przeszacowanie DLS, HAS 8.8, HAS-U 8.8, HIT-V 8.8, AM 8.8	$\delta_{V,C2(DLS)}$ [mm]	0,6	1,2	1,4	1,1
Przeszacowanie ULS, HAS 8.8, HAS-U 8.8, HIT-V 8.8, AM 8.8	$\delta_{V,C2(ULS)}$ [mm]	3,1	3,2	3,8	2,6
Montaż bez użycia zestawu wypełniającego Hilti					
Przeszacowanie DLS, HAS (8.8, A4), HAS-U (-8.8, A4, HCR), HIT-V (-8.8, -R, HCR), AM 8.8, Pręt gwintowany (ocynk galwaniczny 8.8, CRC II, CRC III i CRC V, patrz Tabela A1)	$\delta_{V,C2(DLS)}$ [mm]	1,9	3,2	2,5	3,5
Przeszacowanie DLS, HAS 8.8 HDG, HAS-U 8.8 HDG, HIT-V-F 8.8, AM HDG 8.8	$\delta_{V,C2(DLS)}$ [mm]	2,2	2,3	3,8	3,7
Przeszacowanie ULS, HAS (-8.8, A4), HAS-U (-8.8, A4, HCR), HIT-V (-8.8, -R, HCR), AM 8.8, Pręt gwintowany (ocynk galwaniczny 8.8, CRC II, CRC III i CRC V, patrz Tabela A1)	$\delta_{V,C2(ULS)}$ [mm]	4,4	9,2	7,1	10,2
Przeszacowanie ULS, HAS 8.8 HDG, HAS-U 8.8 HDG, HIT-V-F 8.8, AM HDG 8.8	$\delta_{V,C2(ULS)}$ [mm]	4,1	4,3	9,1	8,4

System iniekcyjny Hilti HIT-HY 200-A V3 oraz HIT-HY 200-R V3

Właściwości użytkowe

Przeszacowania przy obciążeniu rozciągającym i ścinającym
dla kategorii wytrzymałości sejsmicznej C2

Załącznik C24

Tłumaczenie na język angielski opracowane przez DIBt
Tłumaczenie z języka angielskiego na język polski wykonano na zlecenie Hilti

Nośność charakterystyczna ze względu na kombinację zniszczenia przez wyciągnięcie i zniszczenia betonu w warunkach narażenia na działanie ognia dla klas wytrzymałości betonu od C20/25 do C50/60 w przypadku prętów gwintowanych dla wszystkich metod wiercenia

Nośność charakterystyczną wiązania $\tau_{Rk,fi}(\theta)$ w warunkach narażenia na działanie ognia oblicza się za pomocą następujących równań:

$$\tau_{Rk,fi}(\theta) = k_{fi,p}(\theta) \cdot \tau_{Rk,cr,C20/25}$$

$$\tau_{Rk,fi}(\theta) = k_{fi,p}(\theta) \cdot \tau_{Rk,cr,100,C20/25}$$

gdzie: $\theta \leq 268 \text{ °C}$: $k_{fi,p}(\theta) = 0,8573 \cdot e^{(-0,013 \cdot \theta)} \leq 1,0$

oraz $\theta > \theta_{max}$: $k_{fi,p}(\theta) = 0,0$

$$\theta_{max} = 268 \text{ °C}$$

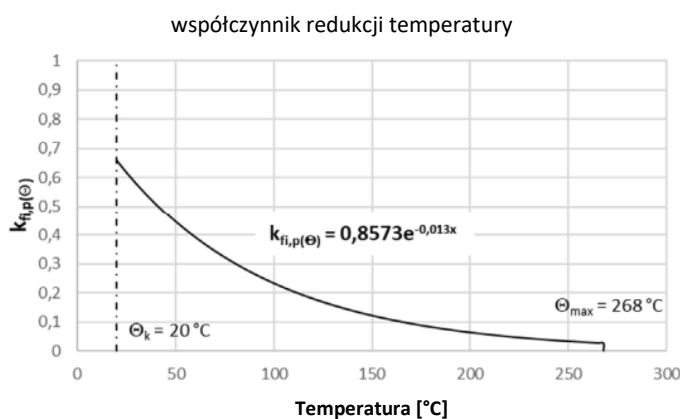
$\tau_{Rk,fi}(\theta)$ = nośność charakterystyczna wiązania w przypadku betonu zarysowanego w warunkach narażenia na działanie ognia dla danej temperatury

$k_{fi,p}(\theta)$ = współczynnik redukcji nośności wiązania w warunkach narażenia na działanie ognia

$\tau_{Rk,cr,C20/25}$ = nośność charakterystyczna wiązania w przypadku betonu zarysowanego C20/25 dla okresu użytkowania 50 lat podano w Tabeli C1

$\tau_{Rk,cr,100,C20/25}$ = nośność charakterystyczna wiązania w przypadku betonu zarysowanego C20/25 dla okresu użytkowania 100 lat podano w Tabeli C1

Rysunek C1 Współczynnik redukcji $k_{fi,p}(\theta)$



System iniekcyjny Hilti HIT-HY 200-A V3 oraz HIT-HY 200-R V3

Właściwości użytkowe

Nośność charakterystyczna wiązania w warunkach narażenia na działanie ognia

Załącznik C25

Tłumaczenie na język angielski opracowane przez DIBt
Tłumaczenie z języka angielskiego na język polski wykonano na zlecenie Hilti

Tabela C27: Nośność charakterystyczna na zniszczenie stali przy obciążeniu rozciągającym w warunkach pożaru

Pręty gwintowane zgodnie z Załącznikiem A	M8	M10	M12	M16	M20	M24	M27	M30
HAS 5.8, HAS-U 5.8, HIT-V 5.8, AM 8.8 $N_{Rk,s,fi(30)}$	1,04	1,80	2,80	5,22	8,15	11,74	15,27	18,67
HAS 5.8 HDG, HAS-U 5.8 HDG, HIT-V-F 5.8, AM-HDG 5.8 $N_{Rk,s,fi(60)}$	0,81	1,36	2,05	3,83	5,98	8,62	11,21	13,70
HAS 8.8, HAS-U 8.8, HIT-V 8.8, AM 8.8 $N_{Rk,s,fi(90)}$	0,58	0,91	1,31	2,44	3,81	5,49	7,14	8,73
HAS 8.8 HDG, HAS-U 8.8 HDG, HIT-V-F 8.8, AM-HDG 8.8 $N_{Rk,s,fi(120)}$	0,47	0,69	0,93	1,74	2,72	3,92	5,10	6,24
HAS A4, HAS-U A4, HIT-V-R $N_{Rk,s,fi(30)}$	2,70	4,93	7,93	14,77	23,06	33,23	43,20	52,81
HAS-U-HCR, HIT-V-HCR $N_{Rk,s,fi(60)}$	1,93	3,49	5,56	10,37	16,18	23,31	30,31	37,05
Pręt gwintowany, CRC III oraz $N_{Rk,s,fi(90)}$	1,17	2,04	3,20	5,96	9,30	13,40	17,42	21,29
Pręt gwintowany CRC V (Tabela A1) $N_{Rk,s,fi(120)}$	0,79	1,32	2,01	3,75	5,86	8,44	10,98	13,42

Tabela C28: Nośność charakterystyczna w przypadku zniszczenia przez wyłamanie stożka betonu przy obciążeniu rozciągającym w warunkach pożaru

Pręty gwintowane zgodnie z Załącznikiem A	M8	M10	M12	M16	M20	M24	M27	M30
HAS 5.8, HAS-U 5.8, HIT-V 5.8, AM 8.8 $N^0_{Rk,s,fi(30)}$	$h_{ef}/200 \cdot N^0_{Rk,c} \leq N^0_{Rk,c}$							
HAS 5.8 HDG, HAS-U 5.8 HDG, HIT-V-F 5.8, AM-HDG 5.8 $N^0_{Rk,s,fi(60)}$								
HAS 8.8, HAS-U 8.8, HIT-V 8.8, AM 8.8 $N^0_{Rk,s,fi(90)}$								
HAS 8.8 HDG, HAS-U 8.8 HDG, HIT-V-F 8.8, AM-HDG 8.8 $N^0_{Rk,s,fi(120)}$	$0,8 \cdot h_{ef}/200 \cdot N^0_{Rk,c} \leq N^0_{Rk,c}$							
HAS A4, HAS-U A4, HIT-V-R $S_{cr,N,fi}$	$4 \cdot h_{ef}$							
HAS-U-HCR, HIT-V-HCR $C_{cr,N,fi}$	$2 \cdot h_{ef}$							
Pręt gwintowany, CRC III oraz Pręt gwintowany CRC V (Tabela A1)								

System iniekcyjny Hilti HIT-HY 200-A V3 oraz HIT-HY 200-R V3

Właściwości użytkowe

Nośność ogniowa ze względu na zniszczenie stali i zniszczenie przez wyłamanie stożka betonu przy obciążeniu rozciągającym

Załącznik C26

Tłumaczenie na język angielski opracowane przez DIBt
Tłumaczenie z języka angielskiego na język polski wykonano na zlecenie Hilti

Tabela C29: Nośność charakterystyczna na zniszczenie stali przy obciążeniu ścinającym bez oddziaływania ramienia dźwigni w przypadku prętów gwintowanych w warunkach pożaru

Pręty gwintowane zgodnie z Załącznikiem A	M8	M10	M12	M16	M20	M24	M27	M30
HAS 5.8, HAS-U 5.8, HIT-V 5.8, AM 8.8 $V_{Rk,s,fi(30)}$	1,04	1,80	2,80	5,22	8,15	11,74	15,27	18,67
HAS 5.8 HDG, HAS-U 5.8 HDG, HIT-V-F 5.8, AM-HDG 5.8 $V_{Rk,s,fi(60)}$	0,81	1,36	2,05	3,83	5,98	8,62	11,21	13,70
HAS 8.8, HAS-U 8.8, HIT-V 8.8, AM 8.8 $V_{Rk,s,fi(90)}$	0,58	0,91	1,31	2,44	3,81	5,49	7,14	8,73
HAS 8.8 HDG, HAS-U 8.8 HDG, HIT-V-F 8.8, AM-HDG 8.8 $V_{Rk,s,fi(120)}$	0,47	0,69	0,93	1,74	2,72	3,92	5,10	6,24
HAS A4, HAS-U A4, HIT-V-R $V_{Rk,s,fi(30)}$	2,70	4,93	7,93	14,77	23,06	33,23	43,20	52,81
HAS-U-HCR, HIT-V-HCR $V_{Rk,s,fi(60)}$	1,93	3,49	5,56	10,37	16,18	23,31	30,31	37,05
Pręt gwintowany, CRC III oraz $V_{Rk,s,fi(90)}$	1,17	2,04	3,20	5,96	9,30	13,40	17,42	21,29
Pręt gwintowany CRC V (Tabela A1) $V_{Rk,s,fi(120)}$	0,79	1,32	2,01	3,75	5,86	8,44	10,98	13,42

Tabela C30: Nośność charakterystyczna na zniszczenie stali przy obciążeniu ścinającym z oddziaływaniem ramienia dźwigni w przypadku prętów gwintowanych w warunkach pożaru

Pręty gwintowane zgodnie z Załącznikiem A	M8	M10	M12	M16	M20	M24	M27	M30
HAS 5.8, HAS-U 5.8, HIT-V 5.8, AM 8.8 $M^0_{Rk,s,fi(30)}$	1,07	2,33	4,36	11,08	21,60	37,36	55,40	74,85
HAS 5.8 HDG, HAS-U 5.8 HDG, HIT-V-F 5.8, AM-HDG 5.8 $M^0_{Rk,s,fi(60)}$	0,83	1,75	3,19	8,13	15,85	27,41	40,65	54,92
HAS 8.8, HAS-U 8.8, HIT-V 8.8, AM 8.8 $M^0_{Rk,s,fi(90)}$	0,60	1,18	2,03	5,18	10,10	17,46	25,90	34,99
HAS 8.8 HDG, HAS-U 8.8 HDG, HIT-V-F 8.8, AM-HDG 8.8 $M^0_{Rk,s,fi(120)}$	0,48	0,89	1,45	3,70	7,22	12,49	18,52	25,03
HAS A4, HAS-U A4, HIT-V-R $M^0_{Rk,s,fi(30)}$	2,76	6,35	12,33	31,34	61,10	105,6	156,6	211,7
HAS-U-HCR, HIT-V-HCR $M^0_{Rk,s,fi(60)}$	1,98	4,49	8,65	21,99	42,87	74,14	109,9	148,5
Pręt gwintowany, CRC III oraz $M^0_{Rk,s,fi(90)}$	1,20	2,64	4,97	12,64	24,64	42,61	63,19	85,38
Pręt gwintowany CRC V (Tabela A1) $M^0_{Rk,s,fi(120)}$	0,80	1,71	3,13	7,96	15,52	26,85	39,81	53,80

System iniekcyjny Hilti HIT-HY 200-A V3 oraz HIT-HY 200-R V3

Właściwości użytkowe

Nośność ogniowa ze względu na zniszczenie stali przy obciążeniu ścinającym

Załącznik C27